

# Holzbau

## Vorlesungsmanuskript

**Educational Material****Author(s):**

Schneider, Jörg

**Publication date:**

1993

**Permanent link:**

<https://doi.org/10.3929/ethz-b-000442148>

**Rights / license:**

[In Copyright - Non-Commercial Use Permitted](#)

# Holzbau

Wie keine andere Bauweise eignet sich der Holzbau dazu, den jungenen Ingenieur in die Kunst des Konstruktions einzu führen. Die in der Regel einfachen Systeme des Holzbau bilden für die Berechnung der Schnittkräfte keine großen Schwierigkeiten. Der Baustoff Holz jedoch zwängt mit seinen Eigenarten, seinen in weiten Grenzen schwankenden Festigkeiten und Verformungseigenschaften, seinen Mängeln und Fehlern zu einer angepassten, liebevollen konstruktiven Durcharbeitung aller Details. Nicht die Schnittkraft steht im Vordergrund des Interesses, auch nicht die Spannung im Stab, sondern meistens der Anschluss der Stäbe, die zweckmäßige Konstruktion.

Dieser Eigenart des Holzbau entsprechen wird nicht so wenig über reine Vorlesungen verständlich wie gerade der Holzbau. Im Vordergrund des Unterrichts im Holzbau wird deshalb die Übung, die Diskussion am konkreten Problem, das Abwägen von Vor- und Nachteilen einer Lösung, kurz - die eigentliche Arbeit stehen.

Der Zweck dieser Autografie ist der, das für diese Arbeit unumgängliche Wissen über den Baustoff, die Verbindungen, Eigenarten der Bezeichnung und über einige laufende Konstruktionsformen bereitzustellen. Es wird von der Möglichkeit Gebrauch gemacht, dass wichtigste aufs äußerste gerafft vorzutragen und weite Teile dem Selbststudium zu überlassen. So wird bald der Zeitpunkt erreicht, wo wir konkrete Aufgaben des Holzbau aufpacken und lösen können.

Die vorliegende Autografie gliedert sich in die folgenden Kapitel

- 1 Grundlagen des Holzbau
- 2 Verbindungen
- 3 Bezeichnung der Stabquerschnitte
- 4 Tragkonstruktionen aus Holz

Die ersten drei Kapitel bringen das Wissen, das lebt stellt ein Sammlersum von Einzelheiten dar, die nicht mehr als lediglich Anregungen zu eigener konstruktiver Arbeit sein sollen.

Auch bei dieser Autografie haben meine Assistenten H. R. Müller und R. Schäfer mit Rat und Tat geholfen, wofür auch zu dieser Stelle gedankt sein soll.

Zürich, Winter 81/82

J. Schneider

Der Korrigierte Nachdruck 1993 eliminiert einige Schreibfehler, berücksichtigt vor allem aber die Anpassungen, die durch die neue Norm SIA 160 "Einwirkungen auf Tragwerke" voraussetzt werden.

Zürich, Winter 1992/93

J. Schneider

# Holzbau

## 1 Grundlagen des Holzbau

1.1 Holz als einheimischer Baustoff		
1.11 Der Wald in der Schweiz	1	
1.12 Holzverarbeitende Industrie	1	
1.13 Wichtigste Bauholzer	2	
1.14 Holz und Substitutionswerkstoffe	3	
1.15 Vor- und Nachteile des Holzbau	4	
1.2 Holz und Holzeigenschaften	7	
1.21 Aufbau des Holzes	7	
1.22 Dichte und Feuchtighaushalt	9	
1.23 Quellen und Schwinden	9	
1.24 Festigkeiteigenschaften	11	
a) Zug	11	
b) Druck	12	
c) Biegung	13	
d) Abscheren	13	
e) Einfluss der Holzfeuchte	14	
f) Einfluss der Lastdauer	14	
1.25 Verformungsverhalten	15	
a) Kurzfristige Belastungen	15	
b) Kreidverformungen	16	
1.26 Strukturstörungen	17	
a) Wurzelfehler	17	
b) Witterungsbedingte Schädigungen	18	
c) Fehler aus Gewinnung und Trans-		
port	19	
d) Fehler aus Schädlingen	19	
1.3 Verwendungsformen von Holz	20	
1.31 Rundholz und Schnittholz	20	
a) Schnittarten	20	
b) Querdrückwerte	21	
c) Lieferlängen	22	
1.32 Sortierung von Schnittholz	23	
1.33 Brettschichtholz	24	
1.34 Holzwerkstoffe	25	
1.4 Holzschutz	27	
1.41 Materialwahl	27	
1.42 Konstruktiver Holzschutz	28	
1.43 Chemischer Holzschutz	29	
1.44 Baudeinwirkung	30	
1.5 BemessungsKonzept Norm SIA 164	31	
1.51 Das traditionelle BemessungsKonzept nach alter Norm	32	
a) Nachweis der Tragfähigkeit	32	
b) Nachweis der Brandfestigkeit	32	
1.52 Anpassung an das neue Bemessungs-Konzept des SIA	33	
1.53 Grundwerte der zul. Spannungen	34	
1.54 Bemessungsspannungen	35	
a) Grundsatz	35	
b) Lastdauerbeiwert $c_d$	36	
c) Holzfeuchtebeiwert $c_w$	36	
d) Geometrisch bedingte Beiwerte	36	
1.55 Durchbiegungen	38	
a) Elastizitäts- und Schubmodul	39	
b) Kreidverformungen	39	
c) Tolerante Durchbiegungen	39	
1.6 Literatur	40	

# 1.1 Holz als einheimischer Baustoff

## 1.11 Der Wald in der Schweiz

Das Eidg. Forstgesetz von 1876 bestimmt, dass die Gesamtfläche des schweizerischen Waldes nicht angefasst werden darf. Der Baumbestand ist jedoch dauernd wechsel unterworfen. Jährlich werden über 5 Millionen m<sup>3</sup> Holz, wovon 27t etwa 4 Millionen gelernt werden. Holz steht also reichlich zur Verfügung. Holz ist, neben Kalk und Ton zur Zementherstellung und für die Ziegelproduktion und den verbreiteten Kiesvorkommen als Basis für die Betonherstellung, ein einheimischer Baustoff. Stahl, Aluminium und Kunststoffe aller Art sind auf ausländische Ressourcen zugewiesen.

Der Wald bedeckt 27% der Gesamtfläche der Schweiz und damit rd. 11200 km<sup>2</sup>. Davon sind 73% in öffentlichem Besitz (Bund, Kantone, Gemeinden und Korporationen), der Rest ist Privatwald. Tannen und Fichten stellen 72% aller Stämme, Föhren, Lärchen und Arven weitere 8%. Diesen 80% Nadelbäumen stehen 20% Laubbäume gegenüber, davon allein 17% Buchen und etwa 1% Eichen. Die restlichen 2% verteilen sich auf rund 20 weitere Arten von Laubbäumen.

Der Wald erfüllt vielerlei Funktionen im allgemeinen Interesse. Er dient zur Erholung der Bevölkerung, erschützt gegen Naturgefahren wie Erosion, Lawinen, Kriechschnee und Stein-Silag und beeinflusst günstig den Wasserhaushalt, indem er Niederschlag zurückhält und bei Trockenheit abgibt. Er schützt auch vor Wind. Er bietet Schutz auch vor Zivilisationsgefahren wie Lärm, Staub und Grundwasserverschlundung. Der Wald gliedert die Landschaft, produziert Sauerstoff und bietet gewissen Pflanzenarten und Tieren die notwendige Umwelt.

Die notwendige Pflege und laufende Verjüngung des Waldes ist auf die holzverarbeitende Industrie zugewiesen.

## 1.12 Holzverarbeitende Industrie

Die Holzverarbeitende Industrie beginnt in der Schweiz verteilt über das ganze Land bei den rd. 1200 Sägereien, die wertvolle Arbeitsplätze vorwiegend in ländlichen Gebieten bieten. Der Säger verarbeitet das Stammholz auf dem Vollgatter oder der Blockbandsäge zu Balken, Brettern und Latten. In Form von Schwästen, Sperrholz und Sägespänen wird jeder Span genutzt, vorwiegend in der Plattenindustrie oder als Energieträger.

Der Zimmermann verarbeitet Bauholz weiter. Zum stehen heute mit dem modernen sog. Jugendbauholzbaus Möglichkeiten zur Verfügung, die den Holzbau nicht nur bei landwirtschaftlichen Bau-

ten und Badistühlen, sondern auch bei grossen Hallen usw. konkurrenzfähig machen. Auch der Stahlebetonbau ist für Schalung und Leiterrost auf den Holzbau und damit den Zimmermann angewiesen. Unter den Bauleuten ist zweifellos der Zimmermann derjenige mit der längsten Tradition und dem grössten Berufstrotz, stellt doch die Holzverarbeitung die grössten handwerklichen Anforderungen. Almühles gilt auch für Jungenleute, die sich heute wieder vermehrt dem Holzbau widmen.

Der Schreiner verarbeitet Holz und Holzwerkstoffe (Platten etc.) zu Möbeln, Fenstern, Wänden und Decken. Parkettböden gehören zu den schönsten und dauerhaftesten Bodenbelägen.

Erhebliche Holzmengen gehen in die Zelluloseherstellung (vorwiegend Papier und Karton). Brennholz spielt z.T. eine sehr geringe Rolle.

Die holzverarbeitende Industrie beschäftigt z.T. in rund 12000 Betrieben rund 80'000 Menschen.

## 1.13 Wichtigste Bauholz

Wir unterscheiden zunächst Nadelholz von Laubholz, die sich durch ihren Aufbau und die dadurch begründeten technologischen Eigenschaften unterscheiden, aber auch in Wachstumsgeschwindigkeit und damit im Preis bemerkenswerte Unterschiede zeigen.

Zu den Nadelholzen gehören vor allem die Weistanne mit raschem Wachstum. Sie liefert vergleichsweise billiges Holz. Ihr Holz ist harzarm und damit von kurzer Lebensdauer, falls der Witterung ausgesetzt. Sie wird bis 70 m hoch mit Stamm-Durchmessern bis gegen 2 m. Das Holz der Rotfichte ist in geschrumpftem Zustand kaum von demjenigen der Weistanne zu unterscheiden. Das Holz dieses auch als Fichte bezeichneten Baums zeigt Harzknoten, ist jedoch ebenfalls nur gering harzhaltig und damit der Weistanne von der Beständigkeit her gesehen nur schwach überlegen. Fichten werden bis 50 m hoch bei Stamm-Durchmessern bis ca 1,50 m. Weistannen und Rotfichten (Fichten) werden bei der Holzverwendung im Bauwesen praktisch nicht unterscheiden: man redet von Tannenholz, gelegentlich auch abgekürzt von FiTa-Holz.

Das Holz der wesentlich langsamer wachsenden Lärche hingegen ist sehr wetterbeständig, wärmesicher, hart und zäh. Lärchen werden bis 50 m hoch, bei Stamm-Durchmessern bis 1,20 m. Es findet wegen des hohen Preises im Holzbau sehr selten Verwendung. Das Holz der Föhre oder Kiefer findet man im Bauwesen häufig. Es ist wegen seines Harzreichtums wesentlich witterungsbeständiger als FiTa-Holz und im Preis erschwinglicher. Die Föhre zeigt zudem vergleichsweise regelmässigen Wuchs und gera-

Die Stämme, was für den Schnitt zu Bauholz besonders wichtig kommen ist.

Aus Nordeuropa wird - vorwiegend in Bretter auf geschnittenen - auch Niedliche Fichte und Niedliche Tanne importiert, insbesondere des günstigen Preises wegen. Die technologischen Eigenschaften sind nicht signifikant verschieden von denjenigen einheimischer Hölzer.

In der Schweiz heimisch geworden, finden wir auch die Douglasie oder Douglas-Tanne, deren Holz qualitätsmäßig dem FiTa-Holz zugeordnet werden kann. Sie wurde als raschwachsender Nadelbaum seinerzeit aus dem westlichen Nordamerika eingeführt. Holz der Douglasie wird jedoch auch heute noch vorwiegend als Riff- und Halbrift-Holz (siehe später) von Nordamerika eingeführt. Ähnliches gilt für hemlock und Redwood als sehr gleichmäßiges und weitgehend astfreies Holz.

Die Verwendung von Laubholzern beschränkt sich auf Eiche und Buche, und zwar wegen des hohen Preises vorwiegend für Einzelteile. Buchenholz ist hart und sehr widerstandsfähig in Bezug auf Abnutzung, jedoch empfindlich auf Feuchtigkeits- und Witterungseinflüsse. Bäume werden bis 35 m hoch bei Stamm-Durchmessern bis 1,10 m.

Das härteste, zähste und bei weitem beste, aber auch teuerste Bauholz ist Eichenholz. Eichen wachsen sehr langsam, erreichen jedoch Höhen bis 60 m bei Stamm-Durchmessern bis 1,80 m.

Die Holzbau-Norm SIA 164 unterscheidet im wesentlichen zwischen Nadelholzern und Laubholzern. Die Sortierung nach Qualitätsklassen ordnet die Holzarten den vorgeschriebenen Verwendungsarten und -Orten zu. Auch wird der Zimmermann bei der Auswahl geeigneter Holzarten mithelfen. Für den Ingenieur ist die Unterscheidung von Nadelholz nach drei verschiedenen Qualitätsklassen I (beste), II und III (schlechteste) ausreichend. Laubholzer, also Buche und Eiche werden vom Ingenieur unter der Bezeichnung Hartholz zusammengefasst.

## 1.14 Holz und Substitutionswerkstoffe

Der Holzbau steht in Konkurrenz zum Stahlbau, zum Stahlbeton-/Spannbetonbau, zum Mauerwerksbau und zur Anwendung von Kunststoffen. Entscheidungskriterien sind u.a.

- Preis
- Inhaltalkosten
- Feuerbeständigkeit
- Umbau-Möglichkeiten
- Abbruch-Kosten
- Wiederverwendbarkeit

Vermehrt beachtet werden sollte in E. die Tatsache, dass es sich beim Holzbau um eine "autonome" Bauweise handelt, die vollständig auf schweizerischen Ressourcen beruht oder beruhen kann, sowie die weitere, weitgehend unbekannte Tatsache, dass leben und wohnen in Holzbauten in ganz besonderem Maße Augenblick und damit "menschlich" ist.

In gewissen Bereichen des Bauwesens, zB für Fundamente, Staumauern usw. ist freilich der Stahlbetonbau praktisch nicht zu ersetzen. Auch für Grossbrücken mag der Holzbau keine Chancen haben. In allen anderen Bereichen kann jedoch der Holzbau durchaus Konkurrenten.

Noch bis vor etwa 30 Jahren gehörten auch in Mehrfamilienhäusern Holzdecken, Holztreppen, Dächer durchaus zum Normalen. Zwischen finden wir jedoch hier fast überall Stahlbetondecken und oft Flachdächer. Besser sieht es in ländlichen Gegenden aus, wo der Zimmermann im Haus- und Chaletbau sein Auskommen finden kann.

Im Hallenbau hat sich das Holz in den letzten Jahren dank des sehr leistungsfähigen Allgemein-Holzbau-Bemerkenswertes Terrain zurückgerobert und steht dort als ernst zu nehmender Konkurrent fest.

## 1.15 Vor- und Nachteile des Holzbau

Einige der Gründe für die Förderung des Holzbau in der Schweiz sind vorstehend erläutert. Holzbau macht unabhängig von ausländischen Ressourcen und bringt Arbeit bis weit hinein in abgelegene Täler. Wir werten dies als Vorteil des Holzbau. Holz ist "heimelig".

Holz hat, bezogen auf seine Dicke, außerordentlich hohe Festigkeiten (siehe zB Baustatik, 2.31 e), Risslänge). Die Festigkeit parallel zur Faser, dividiert durch die Dicke, erreicht Werte, die hochwertigem Stahl nicht nachstehen. Ähnliches gilt für den Elastizitätsmodul. Holzbau verwendet durchweg Bautypen, die leicht, tragfähig und zugleich steif sind. Dies sind wesentliche Eigenschaften für Montagebauweisen.

Holzbau ist eine typische Montagebauweise. Wesentliche Teile der Herstellung von Holzbauten können in die Werkstatt verlegt werden und sind damit ungünstigen Witterungseinflüssen entzogen. Einmal in der Werkstatt bereitgestellt, der Zimmermann nennt das "abgebunden", ist das Aufrichten in der Regel eine kurze Phase: wenige Tage, auch für grössere Bauwerke.

Zimmermeister sind im übrigen beweglich. Das auf Lager zu haltende Spannmaut zu Balken und Brettern ist klein, Kurze Lieferfristen sind die Regel,

ein Vorteil, der für eine rasche Realisierung von Bauwerken ins Gewicht fallen kann.

Holz ist praktisch resistent gegen korrosive Umgebung und chemische Einflüsse (typisches Beispiel: Salzlagerhallen, wo andere Bauweisen versagen).

Holz ist leicht zu bearbeiten und auch die Formgebung sind dank des modernen Holzleimbaus kaum noch Grenzen gesetzt.

Holzbau teile sind schliesslich mehrfach wieder verwendbar und mögen nach endgültiger Erfüllung ihrer Zwecks als Baufolz noch als Energie-lieferant dienen.

Trotz dieser Vorteile werden Holz und Holzprodukte oft nicht näher in Betracht gezogen, wenn es um Planung und Projektierung von Tragwerken geht. Einer der m.E. wesentlichssten Gründe ist die Tatsache, dass die Ingenieure in der Schweiz im allgemeinen durch Ausbildung und Praxis dem Stahlbeton- und Stahlbau wesentlich näher stehen als dem Holzbau. Dies führt zu Hemmungen, die gewöhn ausprägnungsreiche Aufgabe der Projektierung von Holztragwerken zu übernehmen. Freilich mag manches nicht gern Unkenntnis und fehlende praktische Erfahrung zugeben und wird versuchen, seine Hemmung hinter anderen "fiktiven" Argumenten zu verstecken und sog. Nachteile des Holzbau ins Feld zu führen, wie z.B.:

- die Anisotropie und Inhomogenität von Holz
- Schwinden und Quellen
- Die Tendenz zur Rissbildung
- Beschränkte Lebensdauer
- Brändgefahr

An allen diesen Argumenten ist etwas Wahres. Holz ist nicht homogen wie z.B. Stahl und seine Eigenschaften streuen in erheblichem Maß. Holz ist nicht volumenbeständig bei wechselnder Feuchtigkeit und neigt, insbesondere unter Bewitterung, zur Rissbildung, doch Holzbau-Kunst, ausgeübt durch Ingenieur und Zimmermann, kann diese unguten Eigenschaften des Baustoffes Holz unschädlich machen. Wir sehen hier weniger Nachteile als eine Herausforderung, den Baustoff immer besser kennen zu lernen und in Kenntnis seiner Eigenschaften adäquat zu konstruieren.

Die Lebensdauer von Bauwerken darf nicht mit der Lebensdauer von Baustoffen gleichgesetzt werden. Freilich ist ein Betonklotz praktisch von unbegrenzter Lebensdauer. Für Stahlbeton- oder Spannbetontragwerke gilt diese Aussage nicht, ebenso wenig für Stahlbauten oder Holzbauten. In jedem Fall spielt der Unterhalt des betrachteten Bauwerks eine ausschlaggebende Rolle. Stahlbauten bedürfen periodisch eines neuen Austrichts zur Verhinderung der Korrosion. Stahlbetontragwerke im Freien, insbesondere Brücken leiden ebenfalls unter korrosiven Ein-

flüssen, zB aus Tausalz, und auch Holzbauten müssen unterhalten werden, zB durch Nährzischen von Bolzen, Ersatz von Holzteilen, periodische Neuimpregnierung gegen Faulnis und Schädigungsbefall etc.

Sachgemäßen Unterhalt vorausgesetzt, ist die Lebensdauer von Bauwerken in allen diesen Bauweisen von vergleichbarer Grössenordnung: 100 Jahre und mehr. Verglichen mit der effektiven Nutzungsdauer von Bauwerken ist dies in der Regel genugend. Oft werden Bauwerke wesentlich früher abgerissen, weil Form, Größe, Gliederung etc den geänderten Ansprüchen nicht mehr genügen.

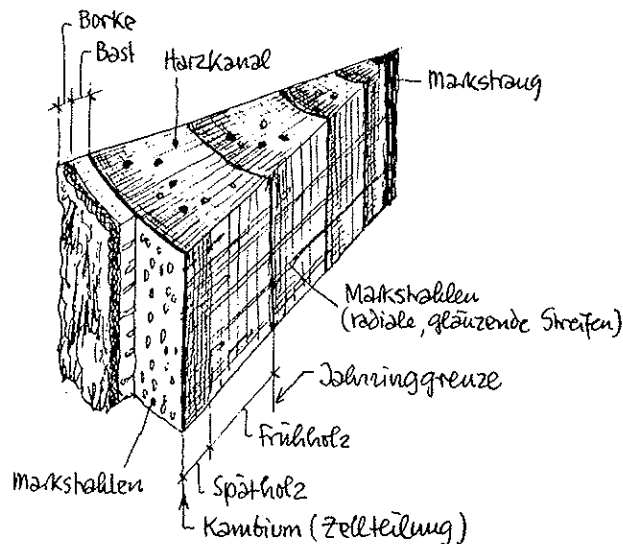
Bleibt die Brändgefahr. Holz brennt, Stahl und Beton nicht. Doch Stahl (und auch die Stahlleimlagen in Stahlbeton- und Spannbetontragwerken) verlieren ihre Festigkeit bei Temperaturen über einigen hundert Grad Celsius. Holz, insbesondere grössere Querschnitte, wie sie im modernen Holzbau wieder vermehrt angewendet werden, verkohlen oberflächlich, wenige mm tief und schützen sich damit selbst. Unter dieser wärmedämmenden Schicht bleibt das Holz voll intakt und tragfähig, freilich nach Maßgabe des durch die verkohlte Schicht reduzierten Querschnitts. Der Feuerwiderstand von Holzbauten ist deshalb weit höher als derjenige ungeschützter Stahlbauten. Holz ist entflammbar (wenn auch recht schwerig bei grösseren Querschnitten), Stahl und Beton nicht. Das ist der Unterschied. Die Standfestigkeit im Falle eines Brandes ist nicht gleichzusetzen mit Entflammbarkeit.

## 1.2 Holz und Holzeigenschaften

Die wesentlichste Grundlage der sog. Holzbaukunst ist Kenntnis der Materialeigenschaften des Baustoffes Holz. Ohne diese ist materialgerechtes Konstruieren nicht denkbar. Wir befassen uns deshalb zunächst mit diesem Aspekt:

### 1.2.1 Aufbau des Holzes

Am nachfolgend skizzierten Ausschnitt aus dem Stamm einer vierjährigen Föhre (beispielsweise) sind makroskopisch die folgenden Merkmale zu erkennen:



Im Kambium, welches nur mikroskopisch erkennbar ist, findet die Zellteilung statt. Nach innen schließen sich hier Holzzellen, nach aussen Bastzellen ab, und zwar im Frühjahr eher grosse, dünnwandige Zellen (Frühholz), später eher kleine, dickwandigere Zellen (Spätholz), welche sich vom Frühholz in der Regel durch dunklere Farbe deutlich abheben. Bast und aussen die als Borke bezeichneten abgestorbenen Bastzellen schützen das Kambium und den Baum vor Witterungs einflüssen. Die nach innen abgeschiedenen Holzzellen dienen der Leitung und Speicherung von Nährstoffen und geben dem Stamm die nötige Festigkeit, zu welcher die Spätholzzellen den grössten Anteil leisten. Bei harzhaltigen Hölzern sind mehr oder weniger grosse Harzkanäle zu entdecken, die sich gelegentlich ausweiten und sog. Harztaschen bilden. Zusätzlich sind, oft kaum sichtbar, Markstrahlen zu erkennen, die von der Rinde zum Mark hin laufen.

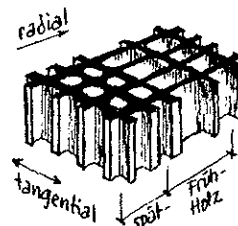
Die Jahrring-Breite wechselt je nach klimatischen Bedingungen des jeweiligen Jahres von ca 1 bis 10 mm und ist typisch für alle Bäume der entsprechenden Region. Aufgrund dieser Tatsache sind im übrigen Altersbestimmungen, z.B. von Siedlungen, bei denen Holzreste gefunden werden, möglich. Auch der Sonnenfleckenzirk-

lus ist, zu den typisch breiteren Jahrringen ablesbar.

Bei vielen Baumarten erfährt der innere Teil des Stamms im Laufe der Jahre eine Veränderung, die sog. Verkernung. Die innere, verkernte Zone besteht aus abgestorbenen Holzzellen, die sich nicht mehr an der Leitung von Nährstoffen beteiligen. Um den Kern herum liegt der sog. Splint, der lebende Teil des Stamms. Kern und Splint sind bei einigen Hölzern verschieden gefärbt, z.B. bei Lärche, Föhre und Eiche. Bei manchen Hölzern ist der Farbunterschied nur in feuchtem Zustand erkennbar, z.B. bei Fichte, Weißtanne und Buche (sog. Reifholzer), bei manchen überhaupt nicht farblich unterscheidbar. Im Kern lagern sich Mineralien, Gerbstoffe und Harze ab, welche das Kernholz gegen Schädlinge und Zersetzung schützen. Kernholz ist gewöhnlich höherwertiger als Splintholz.

Mikroskopisch, aber auch schon mit einer starken Lupe, sind die Holzzellen erkennbar. Sie sind – in Stammrichtung – oft mehrere mm lang, aber weniger als 0,1 mm im Durchmesser bei mikroskopisch dünner Wandstärke. Solche Zellen teilen sich in Stammrichtung faserartig aneinander.

Holz kann man sich in grober Vereinfachung als ein parallel zum Stamm ausgerichtetes Bündel dünnwandiger Röhren vorstellen. Die



gerückte Anordnung dieser Röhren begründet das ausgesprochen anisotrope Verhalten von Holz. Fast alle wesentlichen Eigenschaften von Holz sind stark von der behandelten Richtung abhängig.

So sind z.B. die Festigkeiten und der Elastizitätsmodul parallel zur Faser, also parallel zum Stamm, wesentlich grösser als die entsprechenden Werte in radialer Richtung (von der Rinde zum Mark) oder in tangentialer Richtung (tangential zu den Jahrringen). Dies ist bei Behandlung der "Röhrenanalogie" ohne weiteres verständlich.

Wie man erkennt, ist Holz ein poröser Baustoff. Da die Holzsubstanz eine praktisch konstante Dichte von  $\rho = 1,56 \text{ g/cm}^3$  hat, kann der Anteil an Holzsubstanz durch Abwiegen absolut trockenem Holzes, durch Erwärmung der sog. Darrdichte  $\rho_0$  bestimmt werden. Der Holzsubstanz-Anteil  $\rho_0/\rho$  ist je nach Holzart, Wachstumsbedingungen, Standort usw. stark unterschiedlich. Als Anhaltspunkt mag gelten:

Fichte, Tanne, Föhre	$0,15 - 0,25 - 0,45$
Lärche	$0,20 - 0,30 - 0,50$
Eiche und Buche	$0,25 - 0,40 - 0,55$

Der durch feste Holzsubstanzen nicht ausgefüllte Raum ist Hohlräum, welches im Darrzustand mit Luft gefüllt ist.

## 1.22 Dichte und Feuchtigkeitshaushalt

Eine wichtige Kennzahl von Holz ist die Darrdichte  $\rho_0$  [ $\text{kg}/\text{m}^3$ ]. Sie wird durch Wägen absolut trockenen Holzes bestimmt aus

$$\rho_0 = \frac{m_0}{V_0},$$

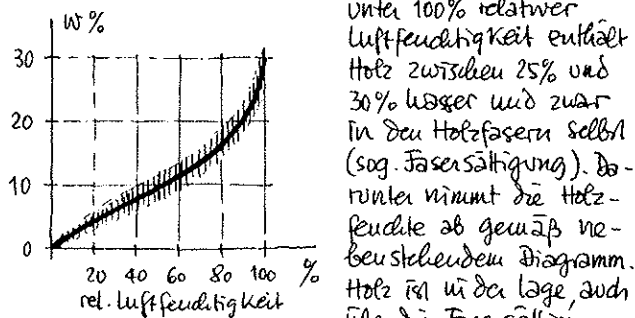
womit  $m_0$  die Masse,  $V_0$  das Volumen bedeuten. Die Messung erfolgt zu ast- und fehlerfreien Proben.

Holz ist jedoch hydrophil und enthält immer eine gewisse Wassermenge, die, in % auf die Darr-Masse bezogen, beträgt

$$w\% = \frac{m_w - m_0}{m_0} \cdot 100.$$

Hierin ist  $m_w$  die Masse eines Holzklotzes im feuchten,  $m_0$  diejenige im gedarren Zustand. Den Feuchtigkeitsgehalt kann man nun auch chemisch (feuchtigkeitsempfindliche Substanzen) oder mittels elektrischer Widerstandsmessung bestimmen.

Die Holzfeuchte von geschnittenem Holz steht im sog. Holzfeuchte-Gleichgewicht mit der Luftfeuchtigkeit der Umgebung (Adsorption dampfförmigen Wassers aus der Umgebung). Bei Lagerung unter 100% relativer Luftfeuchtigkeit enthaltet Holz zwischen 25% und 30% Wasser und zwar in den Holzfasern selbst (sog. Fasersättigung). Darunter nimmt die Holzfeuchte ab gewiß rasch steigendem Diagramm.



hinausgehende Wassermengen zu lagern, das fördert in den Poren selbst als kroppbares Wasser. Folgende Zahlenwerte sind charakteristisch:

darrtrocken	0%
geheizte Räume	6 - 12 %
ungeheizte Räume	9 - 15 %
überdeckte, offene Hallen	10 - 20 %
allseits der Witterung ausgesetzt	18 - 30 %
frisch gesägtes Holz	> 40 %

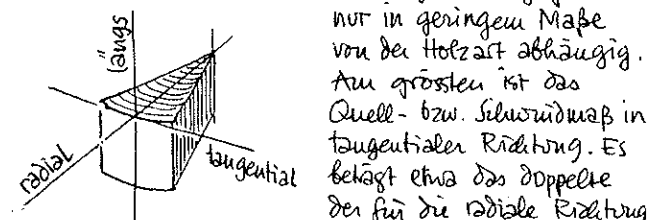
Wie man dieser Tabelle entnehmen kann, schwankt die Holzfeuchte bei eingebautem Konstruktionsholz um  $\pm(3 \div 5)\%$ , während die mittlere Holzfeuchte je nach Verwendungszweck bzw. Standort verschieden ist.

## 1.23 Quellen und Schwinden

Holz quillt und schwindet mit steigendem bzw. fallendem Wassergehalt, jedoch nur zwischen dem Darrzustand und der Fasersättigung. Oberhalb der

Fasersättigung ist kein wesentliches Quellen und Schwinden mehr zu beobachten.

Quell- und Schwind-Maße sind weitgehend proportional zur Holzfeuchte-Änderung. Die spezifischen Quell- und Schwind-Maße ( $\alpha$  in % pro % Holzfeuchte-Änderung) sind starkrichtungsabhängig und



nur in geringem Maße von der Holzart abhängig. Am größten ist das Quell- bzw. Schwindmaß in tangentialem Richtung. Es beträgt etwa das doppelte des für die radiale Richtung gültigen Maßes. In Längsrichtung ist Quellen und Schwinden fast vernachlässigbar klein. Die folgenden Zahlenwerte können angenommen werden:

Holzart	$\alpha_i$ in % für $\Delta w = 1\%$			
	tangential	radial	Längs	Volumen
Nadelholzer	0,32	0,16	0,01	0,50
Eiche	0,35	0,20	0,01	0,55
Buche	0,45	0,22	0,01	0,68

Verhältniszahlen

$\sim 2$

1

$\sim \frac{1}{20}$

Holz "arbeitet" also zB im Laufe des Jahres wegen der unter 1.22 erwähnten Holzfeuchte-Schwankungen. Für  $\Delta w = \pm 5\%$  ändern sich die Abmessungen in tangentialem Richtung zB um

$$\begin{array}{ll} \text{Nadelholzer} & \pm 5 \cdot 0,32 = \pm 1,6 \% \\ \text{Eiche} & \pm 5 \cdot 0,35 = \pm 1,8 \% \\ \text{Buche} & \pm 5 \cdot 0,45 = \pm 2,2 \% \end{array}$$

Eine wichtige bautechnische Konsequenz dieses Verhaltens: zB Bolzen müssen radikalier sein und in gewissen Zeiten auch nachgerichtet werden, um ein Lockern von Verbindungen zu verhindern.

Das unterschiedliche Quellen und Schwinden von Holz in radialem bzw. tangentialem Richtung hat im übrigen die Tendenz zu Radialrisiken zu Folge, denn der Umfang eines Stammes modelliert sich beim Austrocknen waldfrischen Holzes stärker verkürzen als der Radius. Deshalb muss Holz bei Holzfeuchten aufgeschnitten werden, die bei der Fasersättigung oder darüber liegen (zB Wasserlagerung vor der Sägerei oder rasches Aufschneiden nach der Fällung). Aber auch bereits aufgeschnittenes Holz hat je nach Falldring-Stellung ganz typisches Verformungsverhalten beim austrocknen (Verzerrungen, Verwunden, "Schüsseln" etc.):



Merkrieg (verbogen)

Halbholz

Viertelholz

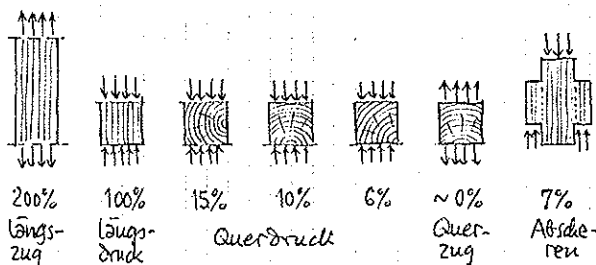
Riftschnitt

Man erkennt aus diesen Skizzen, dass bei markhaltigem Holz mit radialen Rissen zu rechnen ist, die insbesondere die Schubfestigkeit herabsetzen. Markhaltiges Holz ist deshalb als Konstruktionsholz nicht zugelassen.

Daneben ist davon auszugehen, dass Schnittholz mit markhaltig ist. Wird bei Fasersättigung geschnitten und trocknet Holz ausschließlich natürlich oder künstlich auf z.B.  $w = 12\%$  hinunter, nehmen "taugliche" Maße um rd. 6%, "radiale" Maße um rd. 3% ab. Planmäßig auf 160x240 mm geschnittenes Holzholz hat also (neben dem das da Skizze ersichtlichen "Schnürrillen") z.B. nur noch die Abmessungen 155 x 230 mm. Dies ist bei der konstruktiven Durchbildung unter Umständen zu beachten, insbesondere dann, wenn z.B. durch Verbindungen mit entsprechende Verformungen behindert werden.

## 1.24 Festigkeitseigenschaften

Die Festigkeitseigenschaften von Holz sind von verschiedenen Einflüssen abhängig. Die wichtigsten sind Darrdichte  $\rho_0$ , Feuchtigkeit  $w\%$ , Faserstellung und Beanspruchungsart (Zug, Druck, Schub bzw. Abscheren). Insbesondere bei Zug spielen Holzfächer (z.B. Äste) eine grosse Rolle. Ein grober Überblick ergibt:



Die folgenden Angaben beziehen sich zunächst auf Holz mit  $w = 15\%$  und ohne Fächer:

### a) Zug

Die Zugfestigkeit längs zur Faser ist bei ungestörten Proben (z.B. Keine Äste etc.) sehr gross und stark vom Holzsubstanz-Gehalt oder der Darrdichte  $\rho_0$  [ $\text{kg/m}^3$ ] abhängig. Als Anhaltpunkt gilt

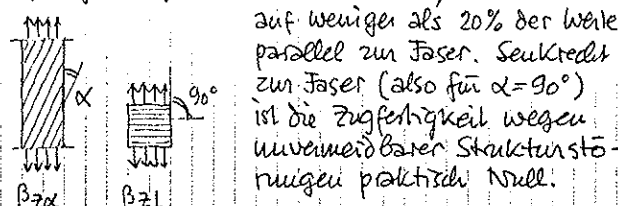
$$\beta_{2||} \approx (0,18 \div 0,22) \cdot \rho_0, \quad \text{bei } w \approx 15\%$$

wobei die kleinere Zahl eher für Laubholz, die grössere für Nadelholz gilt. Typische Mittelwerte sind:

$$\text{Nadelholz } \beta_{2||} \approx 80 \text{ N/mm}^2$$

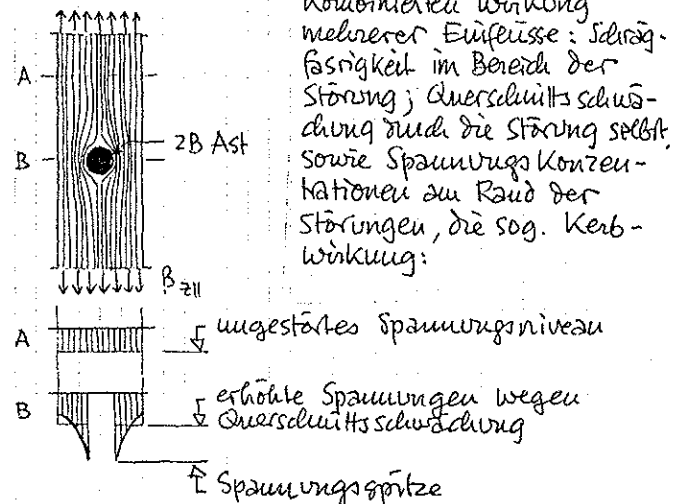
$$\text{Laubholz } \beta_{2||} \approx 120 \text{ N/mm}^2$$

ebenfalls für  $w \approx 15\%$ . Schrägfestigkeit setzt die Zugfestigkeit ganz erheblich herab, z.B. bei  $\alpha = 10^\circ$



auf weniger als 20% der Weite parallel zur Faser. Senkrechts zur Faser (also für  $\alpha = 90^\circ$ ) ist die Zugfestigkeit wegen unvermeidbarer Strukturstörungen praktisch Null.

Die Zugfestigkeit wird durch Strukturstörungen (z.B. Äste) stark herabgesetzt und zwar aus der Kombinierten Wirkung mehrerer Einflüsse: Schrägfestigkeit im Bereich der Störung; Querschnittsschwächung durch die Störung selbst, sowie Spannungs Konzentrationen am Rand der Störungen, die sog. Kerbwirkung:



Durch Auslese (Festigkeitsklassen) müssen solche Einflüsse klein gehalten werden. Im übrigen sind bei Zugbeanspruchung grosse Sicherheitsvorgaben nötig.

### b) Druck

Die Druckfestigkeit längs zur Faser ist ebenfalls vom Holzsubstanz-Gehalt abhängig und beträgt für  $w \approx 15\%$  etwa

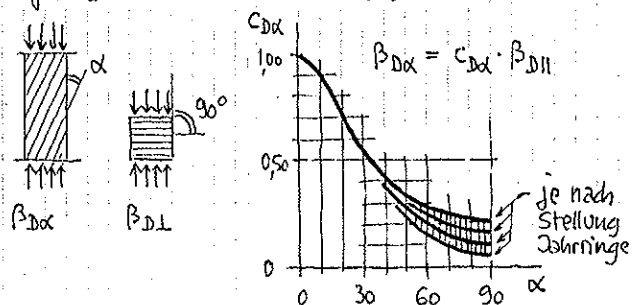
$$\beta_{D||} \approx (0,08 \div 0,10) \cdot \rho_0$$

wobei wieder die kleinere Zahl eher für Laubholz, die grössere für Nadelholz repräsentativ ist. Typische Mittelwerte sind

$$\text{Nadelholz } \beta_{D||} \approx 40 \text{ N/mm}^2$$

$$\text{Laubholz } \beta_{D||} \approx 50 \text{ N/mm}^2$$

Der Abfall der Druckfestigkeit durch Schrägfestigkeit ist weniger ausgeprägt als bei einer Zugbeanspruchung und kann den folgenden Diagramm entnommen werden:



Die längsdruckfestigkeit von Proben mit Strukturstörungen (z.B. Ästen) ist in der Regel nur wenig kleiner als diejenige ungestörter Proben, da in der Regel z.B. Äste den Querschnitt nicht schwächen, sondern, da "häarter", sogar Spannungen "auziehen".

Die Querdruckfestigkeit  $\beta_{Q||}$  ist im übrigen kaum definierbar, sondern meist durch die Begrenzung von Verformungen gegeben (siehe 1.25).

### c) Biegung

Ermittelt man die Biegefestigkeit von Holz unter Annahme der klassischen Biegelehre (siehe zB Baustatik Kap. 5.2) aus Biegebruchversuchen zu Balken, erhält man Werte, die etwa in der Mitte zwischen der Zugfestigkeit und der Druckfestigkeit liegen:

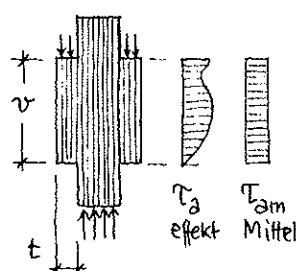
$$\beta_{BII} \approx \frac{1}{2}(\beta_{ZII} + \beta_{DII}).$$

Die Spannungsverteilung im Holzbalken entspricht jedoch nur bei kleinen Spannungen den Formeln der Biegelehre. Der Biegebruch beginnt in der Regel mit einem Bruchknoten der Fasern auf der Biegedruckseite des Balkens, ohne dass die Druckzone wesentlich an Tragfähigkeit verliert. Die Null-Linie verschiebt sich dadurch jedoch nach unten, die Zugzone wird kleiner, die Spannungen auf der Zugseite steigen rasch an, bis schließlich die Fasern auf der Zugseite - in der Regel bei einer Strukturänderung - reißen, und zwar plötzlich und spröde.

Trotzdem wird der Spannungsverlauf die klassische Biegelehre zugrundegelegt. Eine vernünftige Festlegung zulässiger Spannungen wird der oben geschilderten Bruchvorgang berücksichtigt.

### d) Abscheren

Die Scherfestigkeit von Holz wird vorzugsweise an speziellen Prüfkörpern gemessen. Die mittlere Scherfestigkeit hängt dabei stark von der Form, insbesondere von  $v/t$  ab sowie von der absoluten Größe der Scherfläche selbst.



Die Scherfestigkeit parallel zur Faser ist ziemlich klein und beträgt etwa 5-8 %

der Druckfestigkeit  $\beta_{DII}$ . Seukredit zu den Fasern, also bei einer um 90° gedrehten Fasersetzung, sind Scherbrüche kaum möglich. Bei solchen Versuchen wird das Holz in den Auflagerflächen eher zerquetscht, als dass ein Abscheren eintritt.

Die aufbau oben skizzierten Prüfkörper ermittelten Scherspannungen werden im Prinzip auch als repräsentativ angesehen für die Befreiung der Schubspannungen aus Biegung.

Zum übrigen sind die ertragbaren Scherspannungen stark durch allfällige Risse (insbesondere zwischen Jahrringen - sog. Spiegelrisse) beeinflusst, sodass grosse Sicherheitsvorgaben nötig sind.

### e) Einfluss der Holzfeuchte w

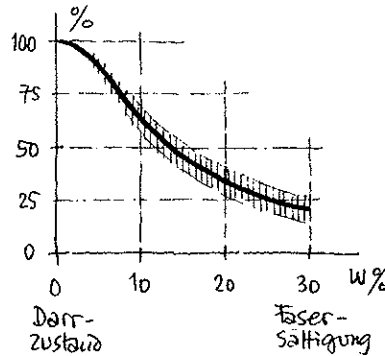
Der Einfluss der Holzfeuchte w auf die vorstehend diskutierten Festigkeiten ist erheblich. Aus Versuchsreihen zu Rotanne hat sich zB ergeben:

$$w = 0\% : \beta_{DII} = 81 \text{ N/mm}^2$$

$$w = 18\% : \beta_{DII} = 36 \text{ "}$$

$$w = 25\% : \beta_{DII} = 25 \text{ "}$$

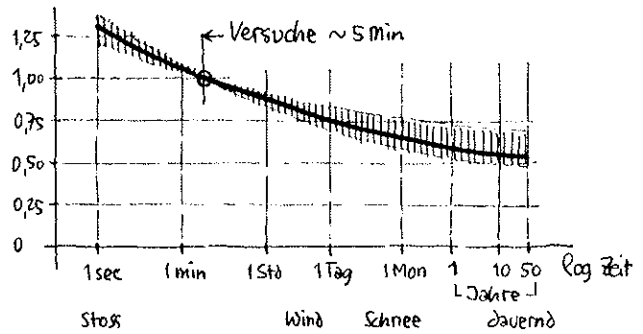
Als Aufhaltspunkt mag folgendes Diagramm gelten, welches den Abfall sämtlicher Festigkeitsgrößen infolge Holzfeuchte charakterisiert:



Mit erkennbar aus diesem Diagramm, dass die unter a) bis d) für  $w = 15\%$  angegebenen Werte der verschiedenen Festigkeiten etwa 50% derjenigen geforderten Proben entsprechen und für grosse Holzfeuchte weiter bis auf etwa die Hälfte absinken können. Der Einfluss der Holzfeuchte muss deshalb bei der Benutzung von Holzteilen berücksichtigt werden. Dies geschieht mittels eines sog. Holzfeuchtebeiwerts.

### f) Einfluss der Lastdauer

Alle vorstehend erwähnten Festigkeitswerte werden in Kurzzeitversuchen ermittelt, deren Dauer in der Größenordnung von Minuten liegt. Unter stoßartigen Belastungen (Größenordnung Sekunden und Bruchteile davon) sind grössere Werte ertragbar, unter langfristigen Lasten (Tage, Jahre) führen schon Kleinere Beaufspannungen zum Bruch. Dieser Effekt - obwohl leicht einschätzbar - im Versuchstechnisch nur mit grossem Aufwand messbar. Angaben sind deshalb nicht sehr vielfältig. In der Regel werden sie auf der Basis einer logarithmischen Zeitskala gegeben und zeigen grosse Unterschiede:



Immerhin ist der Abfall der Festigkeiten für dauernd wirkende Lasten merklich und sollte berücksichtigt werden. Dies geschieht mit Hilfe eines Lastdauerbeiwerts.

## 1.25 Verformungsverhalten

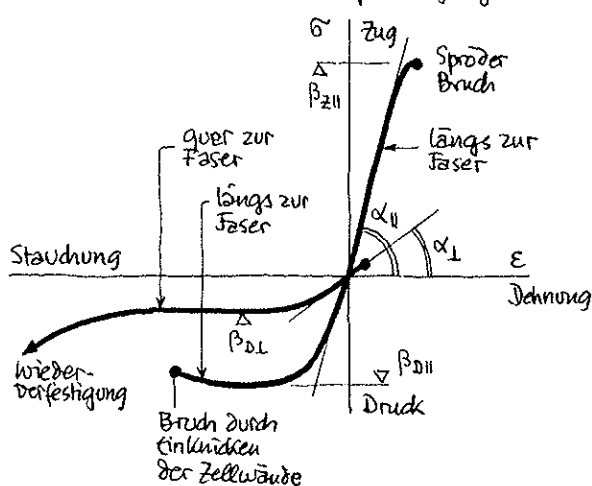
Das Verformungsverhalten von Holz kann für kurzfristige Belastungen durch Aufnahme von Spannungs-Dehnungs-Diagrammen bestimmt werden. Solange die Spannungen klein bleiben, kann die Gültigkeit des Hooke'schen Gesetzes (siehe zB Baustatik Kap 2.31 c) angenommen werden und man redet von elastischen Verformungen, die via Elastizitätsmodul mit den Spannungen verknüpft sind.

Hierzu treten jedoch unter langfristigen Belastungen sog. Kriechverformungen, d.h. kurzfristig sehr einstellende Verformungen vergrößern sich im Laufe der Zeit.

Wir betrachten zunächst kurzfristig sich einstellende Verformungen:

### a) Kurzfristige Belastungen

Das Verhalten von Holz lässt sich in Spannungs-Dehnungs-Diagrammen beschreiben. Hierbei muss natürlich die Richtung der Beanspruchung in Bezug auf die Faserstellung des Holzes berücksichtigt werden. Wir erhalten im Prinzip das folgende:



Aus der Tangente zu die Diagramme kann auf die Elastizitätsmoduli geschlossen werden. Es ist

$$E_{\parallel} = \tan \alpha_{\parallel}$$

$$E_{\perp} = \tan \alpha_{\perp}$$

Die Werte streuen - wie die Festigkeiten in Abhängigkeit vorwiegend von der Darrdichte  $\rho_0$  - in weiten Grenzen. Die folgenden Werte können als Ausgangspunkt dienen, wobei der herausgehobene Wert in den Regel Verformungsberechnungen zugrunde gelegt wird:

Parallel zur Faser:

$$\text{Nadelholzer } E_{\parallel} = 6000 - 10000 - 16000 \text{ N/mm}^2$$

$$\text{Laubholzer } E_{\parallel} = 8000 - 12500 - 22000 \text{ "}$$

Senkrekt zur Faser:

$$\text{Nadelholzer } E_{\perp} = 150 - 300 - 500 \text{ N/mm}^2$$

$$\text{Laubholzer } E_{\perp} = 300 - 600 - 900 \text{ "}$$

Wie man erkennt, ist augenscheinlich der grosse

Streuungen eine genaue Vorausgabe von Verformungen kaum möglich.

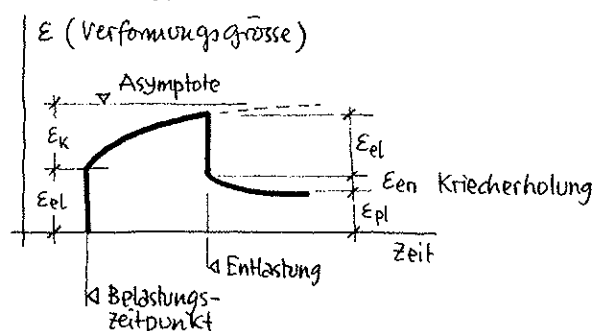
Für die Ermittlung von Verformungen aus Querkraft und Torsion ist der Schubmodul  $G$  einzusetzen. Dieser kann zB aus Torsionsversuchen ermittelt werden und beträgt - bei ebenfalls grossen Streuungen -

$$\begin{aligned} \text{Nadelholzer } G &\approx 500 \text{ N/mm}^2 \\ \text{Laubholzer } G &\approx 1000 \text{ "} \end{aligned}$$

Der Einfluss der Holzfeuchte  $w$  auf diese Elastizitätszahlen ist klein. Bei Fasersättigung sind - im Gegensatz zum grossen Abfall der Festigkeiten - noch immer rd 80% der zu trockenen Proben ermittelten Werte vorhanden.

### b) Kriechverformungen

Unter langdauernden Lasten kommen zu den sich direkt bei der Belastung einstellenden elastischen Verformungen zeitabhängige plastische Verformungen hinzu. Diese Verformungs-Zunahme wird als Kriechen bezeichnet und ist bei allen Baustoffen zu beobachten, bei Holz und Beton bereits bei normalen, bei Stahl erst bei erhöhten Temperaturen. Schematisch lässt sich dieses Verhalten wie folgt darstellen:



Die Kriechverformung kann als Vielfaches der elastischen Verformung angeschrieben werden:

$$E_k = \varphi \cdot E_{el}$$

Die Gesamtverformung beträgt damit für dauernd wirkende Lasten:

$$E_{tot} = E_k + E_{el} = E_{el}(1+\varphi)$$

Bei einer Entlastung wird die elastische Verformung zurückgewonnen, die Kriechverformung jedoch nur zu einem kleinen, praktisch vernachlässigbaren Teil (Een Kriecheholzung, verzögerte Elastizität). Es bleibt auch im entlasteten Zustand eine bleibende plastische Verformung  $E_{pl}$  zurück.

Die Kriechzahlen  $\varphi$  sind im Prinzip von der Beanspruchungsrichtung (zB bezogen auf die Festigkeit unter Kurzzeitlast), der Beanspruchungsart und der Holzfeuchte  $w$  abhängig. Schlüssige Versuchsergebnisse fehlen noch weitgehend. Für die üblicherweise auftretenden Spannungen (die

natürlich nur Bruchteile der entsprechenden Festigkeiten sind), kann angenommen werden, dass die Kreiszahlwerte zwischen 0,5 und 2,0 liegen, wobei der kleinere Wert für geschrückte Bauteile und vorgetrocknetes Holz, der größere für feucht eingebautes Holz oder nicht geschrückte Bauteile gilt. Werden Bauteile während des Austrocknens beansprucht, ist mit noch größeren Werten zu rechnen.

## 1.26 Holzfehler und Strukturstörungen

Zu Vorflechden war häufig von Holzfehlern und Strukturstörungen die Rede, die - teilweise durch entsprechende konstruktive Durchbildung von Holztragwerken, vorwiegend jedoch durch entsprechende Auslese - berücksichtigt werden müssen. Wir unterscheiden verschiedene Fehlerarten:

- Wurzelfehler
- Witterungsbedingte Schädigungen
- Fehler aus Gewinnung und Transport
- Fehler aus Schädlingen

### a) Wuchsfehler

Einer der wichtigsten Wurzelfehler (da unvermeidbar wohl besser als unerwünschte natürliche Eigenschaft bezeichnet) ist die sog. Astigkeit. Äste verkleinern zunächst geometrisch den Querschnitt, beeinflussen aber auch den Faserlauf in Form lokaler Schrägsägbarkeit, unregelmäßiger Jahrringbreite und weiterer Diskontinuitäten. Der Einfluss ist von Größe und Form, Anzahl und Lage der Äste im betrachteten Holzteil und durch die Beanspruchungsart gegeben.

Ergebnis ergibt, dass die Reduktion der Zugfestigkeit deutlich stärker ist als dem flächennahigen Anteil der Äste entspricht. Bezeichnen wir mit  $A_a$  die Querschnittsfläche des Astes, mit  $A$  die Querschnittsfläche ohne Ast, ist der Reduktionsfaktor mit guter Näherung durch

$$(1 - \frac{A_a}{A})^2$$

gegeben. Beträgt die geometrische Querschnittsschwächung durch den Ast  $A_a/A = 0,5$ , sinkt also die Festigkeit der Holzprobe auf nur 25%. Bei Druckbeanspruchung ist die Schwächung geringer und kaum etwa der geometrischen Schwächung gleichgesetzt werden.

Besonders ungünstig wirken sich Äste im Bereich von Verbindungen aus, wo in der Regel weitere Schwächungen und auch Kraftresonanzen auftreten. Hier muss der Zimmermann im Einzelfall aufpassen, während der Grad der Astigkeit generell durch Festigkeitsortierung unter Kontrolle gehalten wird.

Ein weiterer häufiger Wurzelfehler ist die sog. Drehwürdigkeit. Hier laufen die Holzfasern

schraubenlinienförmig um die Stammmasse herum. Aus drehrüchsigen Stämmen herausgeschnittene Balken neigen zum Verdrehen und haben, je nach dem Grad der Drehwürdigkeit, eine mehr oder weniger ausgeprägte Schrägsägbarkeit, wodurch die Festigkeit abgenommen wird. Allzustark drehrüchsiges Holz muss demnach ausgeschieden werden.

In harzhaltigen Nadelholzern (Fichte, Tanne, Lärche, Douglasie) treten oft fladie, innerhalb eines Jahrrings liegende, mit Harz gefüllte, sog. Harztaschen auf. Durch diese werden das Holzgefüge gelockert, Jahrringe getrennt und Fasern umgedreht, wodurch lokal Schrägsägbarkeit entsteht. Unangenehm ist dieser Holzfehler insbesondere deshalb, weil er - auch bei bereits aufgeschüttetem Holz - von außen nicht immer erkennbar ist. Oft sind eigentliche Harzstellen zu beobachten, wo das Holzgewebe wie von Harz gekräuselt erscheint, ohne im engeren Sinn eine Harztasche zu bilden. Solches Holz ist schädhaft und auf jeden Fall auszuschieden.

Ein weiterer Holzfehler wird unter dem Stichwort Reaktionsholz zusammengefasst. Reaktionsholz wird zur Korrektur der Wurzelbildung angelagert und zwar bei Nadelholzern auf der Druckseite des Stammes, bei Laubholzern auf der Zugseite. Druckholz erscheint ausgeprägt gelb oder rotbraun, Zugholz (bei Laubbäumen) gelegentlich heller gefärbt. Reaktionsholz hat stets wesentlich höhere Dichten als normales Holz, ist von größerer Härte, zeigt abnormal großes Schwanken und Quellen. Reaktionsholz ist nur in geringem Anteil des Querschnitts zulässig und soll soweit möglich ausgeschieden werden.

### b) Witterungsbedingte Schädigungen

Witterungsbedingte Schädigungen äußern sich im wesentlichen in Rissen, die u.U. teilweise wieder überwachsen und damit von außen nicht sichtbar sein können.

Ringrisse (oder Schalenrisse) treten häufig bei sprunghaft wechselnder Jahrringbreite auf. Es handelt sich um die teilweise oder umlaufende Ablösung von Holzschichten entlang eines Jahrrings. Bretter mit Ringrissen fallen auseinander, bei Balken ist die Schubfestigkeit reduziert.

Frostrisse verlaufen radial ins Stamminnere und sind darauf zurückzuführen, dass sich der Stammmittelpunkt stärker zusammenziehen will, als es der Stammdurchmesser gestaltet. Sogde Risse können wieder überwachsen, bilden jedoch Ansatzpunkte für Fäulnis.

Trockenrisse entstehen unter extremen Verhältnissen durch austrocknen der äußeren Stamschichten, wobei sich - wie bei Frostrissen - der Zusammen-

zielung des Umfangs der Innere Kern widersetzt. Im übrigen gilt das für Frostlöcher gesagte.

Auch Blitschlag kann feine bis schwere Risse erzeugen, die oft über die ganze Stammänge durchgehen.

Rissiges Holz ist auszuscheiden. Dies gilt jedoch nicht für - meist nur oberflächliche Schwundrisse, die vom Hirnholz ausgehen und erst nach dem Sägen auftreten und unvermeidbar sind.

### c) Fehler aus Gewinnung und Transport

Beim unsachgemäßen Fällen von Bäumen können durch brüsken Fall des Stamms auf harte Bodenerhebungen (Felsköpfe usw.) Ausbrüche und Anrisse entstehen, die oft kaum sichtbar sind. Ähnliche Schäden können durch unsachgemäßen Auf- und Ablad von Stämmen und Schnittholz entstehen. Schädhaftes Holz muss ausgeschieden werden, auch dann, wenn man die Schädigung erst beim Aufrichten der Holzkonstruktion entdeckt.

Auch unsachgemäße Lagerung führt zu Schäden, insbesondere zum Verzug und Verwerfen auf geschnittenem Holz. Das markhaltige Holz wird verwendet werden darf, wurde schon unter 1.23 begründet.

### d) Fehler aus Schädlingen

Insekten können sowohl den stehenden Baum, das gefällte Holz als auch eingebautes Holz befallen. Holzschädigende Käfer legen ihre Eier in Rissen. Die schlüpfenden Larven sind die eigentlichen Schädlinge. Sie ernähren sich von Holzsubstanz und zerstören das Holz - von aussen oft unsichtbar - durch ihre Frassgänge. Oberflächlich sind befallene Hölzer nur durch Schlupfflöcher erkennbar, durch die das geschlüpfte Insekt das Holz verlässt.

Der wichtigste Schädling ist der Haustisch, der - wie auch der sog. Klopfkäfer - trockenes Konstruktionsholz bevorzugt. Sog. Holzwespen befallen vorwiegend gefälltes Holz oder kranke Bäume.

Von Insekten befallenes Holz darf nicht verwendet werden. Werden fertige Konstruktionen nachträglich befallen, ist - bei rechtzeitiger Entdeckung - noch Rettung durch chemische Bekämpfung möglich.

Holzzerstörende Pilze bauen Lignin oder Zellulose ab und verursachen damit das, was im Volksmund Faulnis genannt wird und sich in einem raschen Festigkeitsabfall äußert. Typische Vertreter sind der sog. edle Hausschwamm, der Kellerschwamm und der Parenzahnschwamm. Schwämme bevorzugen feuchtes Holz und feuchte Umgebung. Durch Auslese gesunden Holzes, Einbau trockenem Holzes, ausreichend "belüftete" Konstruktionsdetails, sowie durch chemische Holzsatzmittel (Austrich, Tränkung etc) lässt sich der Befall durch Schwämme verhindern.

## 1.3 Verwendungsformen von Holz

Holz findet im Bauwesen in verschiedenen Formen Verwendung. Wir unterscheiden

- Rundholz und Schnittholz
- Brettschichtholz
- Holzwerkstoffe

### 1.3.1 Rundholz und Schnittholz

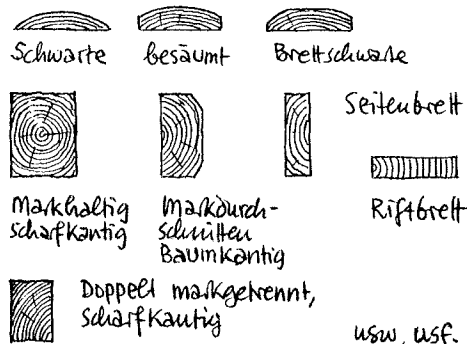
#### a) Schnittarten

Unter Rundware werden volle Rundhölzer, aber auch sog. Halb- und Viertelhölzer und ein- bzw. beidseitig sägegestrichene Rundhölzer verstanden.

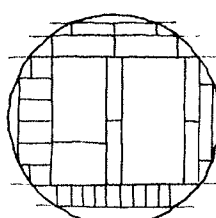


Rundware wird normalerweise nicht im Holzbau verwendet mit Ausnahme von Tragwerken des forstlichen Bauwesens (Stege, Brücken, Hütten, Hochsitze und Türme). Bei markhaltigem Holz ist Vorsicht geboten (siehe 1.23).

Ware mit Parallelschliff wird durch Aufsäumen auf der Gitter- oder der Blockbandsäge aus Rundholz gewonnen. Man unterscheidet Latten (mit den Querschliffen 24/48; 30/48; 30/60 bis ca 80/100 mm), Kanthölzer (6/14-20; 8/12-24; 10/10-28 in Abstufungen von 2 cm bis rd. 20/28 cm) und Bretter (der Dicke 8 bis 40 mm und mindestens 80 mm Breite) bzw. Bohlen (mindestens 40 mm dick und jeweils doppelt so breit wie dick). Alle diese Formen werden, je nach Aufteilung, aus dem gleichen Stamm gewonnen. Dabei treten zB auch Schwarten (besäumt oder unbesäumt) und baumkantiges Holz auf, welches in gewissen Grenzen zulässig ist:

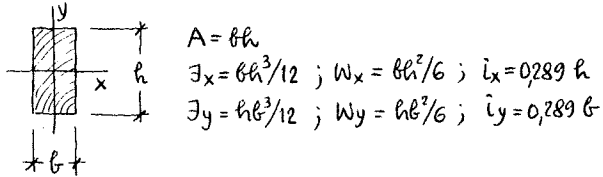


Es ist die grosse Kunst des Sägemeisters, aus einem gegebenen Stamm (der natürlich kegelstumpfartig zum Zapfende hin dünner wird) so aufzuschneiden, dass die optimale Ausbeute an Nutzholz entsteht. Verschiedene Arten der Trennung sind gebräuchlich je nach angestrebtem Sortiment.



## b) Querschnittswerte

Die Querschnittswerte von schiefkantigem Schnittholz liegen bekanntlich:



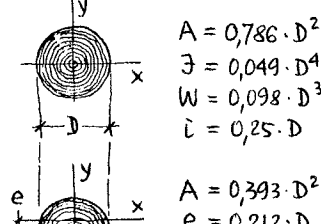
In folgender Tabelle sind die genannten Querschnitte von Latten grösserer Abmessungen und Kautholz nach steigender Querschnittsfläche A mit ihren Querschnittswerten angegeben:

$b/h$ cm/cm	A $\text{mm}^2$ $\cdot 10^3$	$W_x$ $\text{mm}^3$ $\cdot 10^6$	$I_x$ $\text{mm}^4$ $\cdot 10^6$	$W_y$ $\text{mm}^3$ $\cdot 10^6$	$I_y$ $\text{mm}^4$ $\cdot 10^6$
• 6/6	36	0,0360	1,08	0,0360	1,08
6/10	6,0	0,100	5,00	0,0600	1,80
• 8/8	6,4	0,0850	3,41	0,0850	3,41
• 6/12	7,2	0,144	8,64	0,0720	2,16
• 8/10	8,0	0,133	6,67	0,107	4,27
6/14	8,4	0,196	13,7	0,0840	2,52
• 8/12	9,6	0,192	11,5	0,128	5,12
• 10/10	10,0	0,167	8,33	0,167	8,33
8/14	11,2	0,261	18,3	0,149	5,97
• 10/12	12,0	0,240	14,4	0,200	10,0
• 8/16	12,8	0,341	27,3	0,191	6,83
10/14	14,0	0,327	22,9	0,233	11,7
8/18	14,4	0,432	38,9	0,192	7,68
• 12/12	14,4	0,288	17,3	0,288	17,3
10/16	16,0	0,427	34,1	0,267	13,3
8/20	16,0	0,533	53,3	0,213	8,53
• 12/14	16,8	0,392	29,4	0,336	20,2
10/18	18,0	0,540	48,6	0,300	15,0
• 12/16	19,2	0,512	41,0	0,384	23,0
• 14/14	19,6	0,457	32,0	0,457	32,0
• 10/20	20,0	0,667	66,7	0,333	16,7
12/18	21,6	0,648	58,3	0,432	25,9
• 10/22	22,0	0,807	88,7	0,367	18,3
• 14/16	22,4	0,597	47,8	0,523	36,6
• 12/20	24,0	0,800	80,0	0,480	28,8
14/18	25,2	0,756	68,0	0,588	41,2
• 16/16	25,6	0,683	54,6	0,683	54,6
12/22	26,4	0,968	106	0,528	31,7
14/20	28,0	0,933	93,3	0,652	45,7
• 12/24	28,8	1,15	138	0,576	34,6
• 16/18	28,8	0,864	77,8	0,768	61,4
14/22	30,8	1,13	124	0,719	50,3
12/26	31,2	1,35	176	0,624	37,4
• 16/20	32,0	1,07	107	0,853	68,3
18/18	32,4	0,972	87,5	0,972	87,5
16/22	35,2	1,29	142	0,939	75,1
18/20	36,0	1,20	120	1,08	97,2
16/24	38,4	1,54	184	1,02	81,9
• 18/22	39,6	1,45	160	1,19	107
• 20/20	40,0	1,33	133	1,33	133
18/24	43,2	1,73	207	1,30	116
• 20/24	48,0	1,92	230	1,60	160
20/26	52,0	2,25	293	1,73	173
20/28	56,0	2,61	366	1,87	187
24/24	57,6	2,30	276	2,30	276
20/30	60,0	3,00	450	2,00	200
24/26	62,4	2,70	352	2,50	300
24/28	67,2	3,14	439	2,69	323
24/30	72,0	3,60	540	2,88	346
28/28	78,4	3,66	512	3,66	512

Der jeweils oberste Querschnitt, der alle Bedingungen bzgl. A, W, I etc. erfüllt, ist stets auch derjenige mit dem kleinsten Holzbedarf.

Die Querschnitte über etwa 28/28 sind nur in Sonderfällen zu verwenden, da nur schwer erhältlich, insbesondere in grösseren Längen. Man kann sich dies leicht klarmachen durch Ermittlung des Stamm-φ am Zopf für zB einen markfreien Balken von 28/28.

Die Querschnittswerte von Rundholz sind die folgenden:



$$\begin{aligned} A &= 0,786 \cdot D^2 \\ I &= 0,049 \cdot D^4 \\ W &= 0,098 \cdot D^3 \\ i &= 0,25 \cdot D \end{aligned}$$

$$\begin{aligned} A &= 0,393 \cdot D^2 \\ e &= 0,212 \cdot D \\ I_x &= 0,069 \cdot D^4, \min W_x = 0,0239 \cdot D^3 \\ I_y &= 0,025 \cdot D^4, W_y = 0,049 \cdot D^3 \end{aligned}$$

Die folgende Tabelle gibt die wichtigsten Werte:

D			
cm	A $\text{mm}^2$ $\cdot 10^3$	W $\text{mm}^3$ $\cdot 10^6$	I $\text{mm}^4$ $\cdot 10^6$
16	20,1	0,401	32,2
20	31,4	0,785	78,5
24	45,2	1,36	163
28	61,6	2,16	302
32	80,4	3,22	515
36	102	4,58	825
40	126	6,27	1257
44	154	8,35	1840
48	182	10,8	2602
52	212	13,8	3584

## c) Lieferlängen

Holzlängen soll man so kurz wie möglich wählen, da der Rundholzstamm kegelstumpfförmig ist und der kleinste Durchmesser (Zopfdurchmesser) die einschneidbaren Querschnitte bestimmt. Dies ist insbesondere bei grossen Querschnitten zu beachten.

Latten werden in der Regel auf 4m abgelängt. Kautölzer sind bis ca 6m lange Länge leicht erhältlich. Ab 8m Länge werden in der Regel bereits Preisschläge verrechnet. Über 10m Länge Balken sind schwer erhältlich, geben u. Umständen Transportprobleme und verzieren sich im übrigen leicht!

## 1.32 Sortierung von Schnittholz

Holzfächer und Strukturstörungen (siehe 1.26) müssen durch Auslese oder Sortierung auf ein unmittelbares Maß zurückgeführt werden. In einem ersten Schritt werden die frisch gesägten Stämme visuell beurteilt und die mit für das Einschneiden zu Nutzholz geeigneten Stämme ausgeschieden. Geeignete Stämme werden sodann vom Säger zu Schnittware verarbeitet. Erst in dieser Form erfolgt dann die Sortierung, und zwar je nach Verwendungs- zweck in

- Festigkeitsklassen (Festigkeitsortierung), oder
- Qualitätsklassen (Erscheinungs-ortierung).

Zum Rahmen dieser Vorlesung über konstruktiven Holzbau, wo Holz eine tragende Funktion ausübt, wo es also auf seine Festigkeits- und Verformungseigenschaften sowie auf seine Dauerhaftigkeit ankommt, muss nach Festigkeitsklassen sortiert werden. Dabei werden drei Festigkeitsklassen

- FK I für Holz höherer Festigkeit
- FK II für Holz von normaler Festigkeit (normales Konstruktionsholz)
- FK III für Holz geringerer Festigkeit

gebildet. Die Einteilung in eine der drei Klassen wird vom Fachmann aufgrund des Verhältnisseins bzw. des Ausmaßes von visuell erfassbaren und z.T. messbaren Merkmalen vorgenommen. Hierbei sind Sortierkriterien zu beachten, die in der SIA Norm 164 - Holzbau, Kap. 4 festgehalten sind.

Zunächst sind Wuchsmerkmale, wie Jahrringbreiten, Reaktionsholz-Anteil in %, Schnägelfestigkeit, Äste nach Größe, Lage und Astausammelungen, Überwallungen (Überwachungen von Rissen und anderen Fehlstellen), Brüche von Harztaschen und das Verhältnissein von Harzstellen zu beobachten.

Ohne spezielle Vereinbarungen sind keine Einschränkungen über Darrdichte, Feuchtigkeit und Holzfeuchte zu beachten, da diese Größen nur mittels spezieller Messmethoden ermittelt werden können. Diese Größen werden dennoch zur Klassierung nicht herangezogen, obwohl sie einen großen Einfluss auf Festigkeit und Verformungseigenschaften haben. Allerdings spielen insbesondere die Holzfeuchte eine wichtige Rolle bei der eigentlichen Verarbeitung des Holzes, speziell bei der Herstellung von Brettschichtverleimten Trägern.

Bei der Klassierung sind sodann allfällige biologische Schädigungen wie Pilz- und Insektenbefall zu beachten. Derart geschädigtes Holz ist in der Regel auszuscheiden.

Audi mechanische Schädigungen, z.B. Stauchungen und Quetschungen und Risse, vor allem aus dem Fällen und Transport herrührend, führen zum

Ausschluss. Das gleiche gilt für Risse aus un- sinniger Trocknung sowie Schälrisse. Eigentliche Schälrisse, die erst im Verlauf der Trocknung auf die Ausgleichsfeuchte entstehen, bilden jedoch nur ausnahmsweise ein Sortiermerkmal.

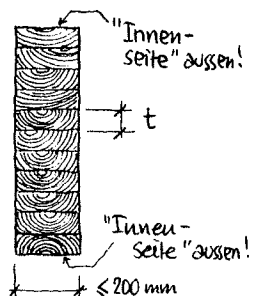
Verformungen von Schnittholz, wie Krümmung, Verwölbungen (Schüsseln) vorwiegend von Brettern und Verdecklungen (Verwindungen) von Kautäpfen, allerdings nicht direkt nach dem Einschneiden, sondern erst unmittelbar vor dem Einbau beurteilt, sind weitere Sortierungskriterien.

Während eines der wichtigsten Kriterien für die Sortierung ist die Schnittart. So ist für FK I zB völlig markfreies, scharfkantiges Holz Voraussetzung, während zB für FK II (überliches Konstruktionsholz) markdurchschüttetes, aber nicht markhaltiges Holz (siehe 1.31 a)) zulässig ist und auch Baumkante beschränkten Ausmaßes toleriert wird. Allerdings wird auch markhaltiges Holz toleriert, wenn die Schnitthaushaltung die Hälfte der zulässigen Werte nicht überschreitet. Da jedoch gerade dies nicht vom Zulieferer bewertet werden kann, sollte der Ingenieur bei der Ausschreibung von Holzbauteilen auf FK II bestehen und dies insbesondere durch Ausscheiden allenfalls markhaltigen Holzes auch durchsetzen.

Schließlich ist auch die Maßhaltigkeit ein Sortierkriterium. Wegen des unvermeidbaren Schwundes und Quellen von Holz sind die zugelassenen Toleranzen auf  $\pm 2$  bis  $3\%$  der Abmessungen bzw. maximal  $\pm 5$  mm festgelegt.

## 1.33 Brettschichtholz

Der moderne Ingenieur-Holzbau arbeitet in steigendem Maße mit Brettschichtholz, das heißt mit Querschichten, die aus Brettern zusammengeleimt werden. Nach dem Erfinder heißt diese Bauweise auch "Hetzter-Bauweise", die 1906 patentierte wurde.



Die Brettbreite und damit auch die Breite von Brettschichtholz ist auf rd 200 mm begrenzt. Beim Verleimen ist immer "Auscuseite" auf "Innenseite" zu leimen. Die äußeren Längsseiten sollen jedoch stets ihre "Innenseite" nach aussen kehren (Querzugbeanspruchung aus Schwinden sind so kleiner).

Die Abmessungen von Brettschichtträgern sind in der Höhe nur durch die Einrichtungen der Zulieferer sowie durch Transport und Montage bedingt. Auf entsprechend eingerichteten Verleimungslinien können auch gekrümmte Träger hergestellt werden, wobei allerdings die Längsdicke  $t$  entsprechend dem kleinsten Krümmungsradius  $r_i$  zu

$$t \leq r_i/200, \text{ max } 33\frac{1}{3} \text{ mm}$$

gewählt werden muss. Die Lamellen selbst werden in modernen Betrieben zunächst zu endlosen Brettern mittels sog. Keilzinkung zusammengefügt, auf die gewünschte Länge abgelängt, beidseitig gehobelt, die alles praktisch unmittelbar vor dem Verleimen. Bei Leim wird



auf die gewünschte Länge abgelängt, beidseitig gehobelt, die alles praktisch unmittelbar vor dem Verleimen. Bei Leim wird maschinell aufgezogen und dann die Lamellen eine nach der anderen in die Lehre gelegt und schliesslich das Bretterpaket mit Zwingen zusammengepresst. Nach dem Aushärten kann der so hergestellte Brettschichtträger aus der Lehre herausgenommen und weiter bearbeitet werden (allseitiges Hobeln, abläugen etc.).

Normalerweise werden Brettschichtträger aus Brettern der FK II hergestellt. Da jedoch bei Biegeträgern die größten Biegespannungen oben und unten, also in den äussersten Lamellen auftreten, kann es gelegentlich vorteilhaft sein, diese durch Bröder der FK I zu bilden. Es sind dann höhere zulässige Spannungen zulässig.

Im übrigen sind die zulässigen Spannungen für Brettschichtholz ohnehin etwa 20% grösser als für Schmittholz. Dies ist gerechtfertigt, weil durch die Lamellierung Störungen (zB Äste) auf eine Lamelle beschränkt bleiben und die Nadelbaumlatten mit hoher Wahrscheinlichkeit nicht an der gleichen Stelle ebenfalls Störungen aufweisen.

Die durch die Verwendung von Brettschichtholz eingeführten Vorteile und Gestaltungsmöglichkeiten haben dem Holzbau einen sehr grossen Aufschwung gebracht und ihm Tragwerke erschlossen, die früher als völlig ausser Reichweite angesehen wurden.

Hierzu gehören zB Bogentragwerke für Hallen von gegen 100 m freier Spannweite (Eisbahnüberdeckung Allmend Bern 1971: 86 m, Kunsteinbahn Kreuzlingen 1977: 72 m), Täubengädächer unter Verwendung von Sperrholzbalmen als Zugglieder, Faltwerke, Schalentragwerke (zB hyperbolisches Paraboloid über der Kapelle St. Nikolausen bei Kerns) etc.

## 1.34 Holzwerkstoffe

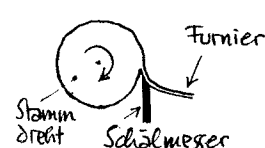
Die Anwendung von Schmittholz ist aus verschiedenem Gründen beschränkt (Abmessungen, Orthotropie, unterschiedliches Schwüden und Quellen etc.). Dies hat zur Entwicklung verschiedener Formen von Holzwerkstoffen geführt. Hierzu gehört im Grunde auch das unter 1.33 bereits besprochene Brettschichtholz, im engeren Sinne jedoch

- Lagenholz,
- Spanholz und
- Faserholz

wobei der Name bereits andeutet, in welchem Maße der Grundstoff Holz zerkleinert wird, um ihn dann mit Hilfe von Leim und Pressen in die gewünschte

Form, in der Regel in Plattenform, zu bringen. Zu statisch-konstruktiver Hinsicht sind lediglich die unter den Oberbegriff Lagenholz fallenden Platten von Bedeutung. Die einzelnen Lagen können dabei aus dünnen oder dickeren sog. Furnieren bestehen, aber auch aus nebeneinander gelagerten dünnen Brettern usw. Lagenholz besteht aus mindestens drei Schichten, wobei die Faserrichtung der einzelnen Schichten gegeneinander verdreht wird. Lagenholz hat in der Regel - von der Mittelschicht ausgehend - symmetrischen Aufbau.

Eine Spezialform von Lagenholz ist das bekannte Sperrholz. Dieses besteht aus drei, fünf und mehr Schichten sog. Furniere, die auf speziellen Maschinen durch Abschaben vom Stamm entstehen.



Die Furniere sind in der Regel wenige mm dick, oft jedoch auch dünner als 1 mm. Als Holzarten kommen Buche und Douglas-Tanne (rel. billig), aber auch andere Laubbäume in Frage.

Die Festigkeit und das Verformungsverhalten von Sperrholzern ist abhängig von den Eigenschaften des verwendeten Holzes, den Furnierdicken, der Anzahl der Schichten und deren Ausrichtung sowie den verwendeten Leimsorten. Grundsätzlich sind auch die Eigenschaften von Sperrholzern richtungsabhängig, wobei sich die Unterschiede jedoch bei steigender Lagenzahl immer mehr ausgleichen. Bezieht man die Bezeichnungen längs II und quer I auf die Faserstellung der Deckfurniere, lassen sich - bezogen auf die gesamte Plattendicke - etwa die folgenden Werte angeben, die natürlich wie üblich mit grossen Streuungen behaftet sind:

	Anzahl Lagen			N/mm²
	3	5	7	
Elastizitätsmodul E <sub>II</sub>	8000	7000	6000	"
	4000	4500	5000	
Druckfestigkeit $\beta_{DII}$	40	35	30	N/mm²
	20	23	25	
Zugfestigkeit $\beta_{ZII}$	65	60	55	N/mm²
	30	40	50	

Auch bei Sperrholzern ist eine Reduktion der Festigkeiten unter lang dauernden Lasten zu beobachten (siehe 1.24 f)). Ebenso stellen sich unter lang dauernden Lasten Kriechverformungen (siehe 1.25 b)) ein. Auch eine Festigkeitsentzugs bei steigender Holzdicke ist - wenn auch etwas gemildert - ähnlich wie bei Schmittholz festzustellen.

Span- und Faserholz, aus weitgehend ungerichtet zugeordneten Spänen bzw. Fasern durch Presseverleimung hergestellt und als Platten vertrieben, findet praktisch ausschliesslich in der Möbelindustrie und im Baustoffeiner-Gewerbe seine Anwendung.

## 1.4 Holzschutz

Jeder Baustoff ist schutzbedürftig, so auch Holz in seinen verschiedenen Verwendungsformen (siehe 1.3). Geeignete Schutzmaßnahmen stellen sowohl die technische Funktionsstüchtigkeit, die Sicherheit und Gebrauchstauglichkeit, aber auch unerwünschte Veränderungen des Ausbauteils augenscheinlich schädigender äußerer und innerer Einflüsse für möglichst lange Zeit gewährleisten. Zu bedenken sind dabei Befall des Holzes durch holzzerstörende (oder auch nur verfärbende) Pilze und holzzerstörende Insekten, Regen, Durchfeuchtung, direkte Sonneneinstrahlung Wärme und Kälte, Feuer. Schutzmaßnahmen sind drei Gruppen zuzuordnen:

- geeignete Materialwahl (Holzart, Leimsorte etc)
- konstruktiver Holzschutz (durch zweckmäßige Ausbildung von Details etc)
- chemisch-physikalischer Holzschutz (durch Anstriche, Tränkung etc)

Grundsätzlich sind die beiden erstgenannten Maßnahmengruppen austreibend, wie Jahrhundertealte Holzbauwerke (gedeckte Holzräder, Dachstühle, Pfahlgrundationen etc.) beweisen. Zu modernem Holzbau hat die dritte Gruppe stark zu Bedeutung gewonnen, jedoch leider auch die Auswirkungen in den beiden traditionellen Gruppen tendenziell verringert. Richtig angewandter chemisch-physikalischer Holzschutz ist so lange wirksam als die angewendeten Substanzen, die sich im Holz oder an seiner Oberfläche auflagern, wirklich vorhanden sind. Dies ist nicht auf unbegrenzte Zeit gewährleistet. Chemisch-physikalische Maßnahmen sind periodisch zu wiederholen. Demgegenüber sind Materialwahl und konstruktive Maßnahmen im weit höheren Maße nachhaltig, sie wirken während der ganzen Lebensdauer des betrachteten Bauwerks. Ihnen soll deshalb größte Aufmerksamkeit geschenkt werden.

### 1.4.1 Materialwahl

Aspekte für die Wahl geeigneter Materialien finden sich für Holz und Holzwerkstoffe in den vorstehenden Kapiteln: der Witterung ausgesetztes Holz soll möglichst harzhaltig sein; die Holzfeuchtigkeit soll bei der Bearbeitung möglichst bereit, diese jüngste Feuchtigkeit aufzuweisen, die als Altersgewichtsfeuchtigkeit während der Nutzung des Bauwerks zu erwarten ist; Verwendung pilzresistenter Holzarten (Lärche, Redwood, unter Laubholztem Bongossi, Eiche).

Bei der Wahl des geeigneten Leimtyps spielen wirtschaftliche Gesichtspunkte, Holzfeuchtigkeit bei der Verarbeitung, Witterungsexposition im Endzustand sowie verarbeitungstechnische Bedingungen eine maßgebende Rolle. Heute haben Kunstharzklebstoffe die leime aus organischen Stoffen (Kaseinkleim, Alginatkleim) fast vollständig verdrängt. Verwendet

werden heute im konstruktiven Bauwesen vor allem Resorcinharzkleine für bewitterte Konstruktionen und Harstoffharzkleine für vor Witterungseinflüssen geschützte Bauteile.

Schließlich ist auch bei der Wahl chemisch-physikalischer Maßnahmen auf Zweck, Umweltbedingungen und Holzarten Rücksicht zu nehmen. Nicht jede Holzart nimmt Stoffe im Tränkverfahren gut auf. Bei bewitterten Bauteilen ist auf die Möglichkeit des sog. Auslaugens zB zu achten.

### 1.4.2 Konstruktiver Holzschutz

Die Hauptmerkmale des konstruktiven (oder baulichen) Holzschutzes sind

- Schutz vor Durchfeuchtung und Feuchtwedelsalz
- Schwinden und Quellen des Holzes nicht behindern (arbeiten lassen)

Durchfeuchtung von Holzbauteilen kann man verhindern oder reduzieren durch rasche Ableitung von Regenwasser, Vordächer oder Abdeckungen, die Regen fernhalten, Distanzierung von Holzbauteilen vom Erdboden (Rückfallwasser), Absolieren (insbesondere von Hirnholz) von feuchten Bauteilen zB durch Dachpappe-Zwischenlage, bauphysikalisch korrekte Ausbildung von Wänden (Kondenswasser). Besonders schädlich wirken Dünger, Tauche, Fäkalien (Stallbauten). Man redet von "Luftig bauen". Holzteile sollen soweit möglich von Luft umspült sein, welche Feuchtigkeit wegtragen kann, sofern sie nicht Feuchtigkeitsgesättigt ist. Der Grund für alle diese Maßnahmen ist die Tatsache, dass holzverfärbende und holzzerstörende Pilze besonders gut in feuchtem Klima gedeihen, im wesentlichen bei Holzfeuchtigkeit über 18 bis 20%. Holz, welches ständig unter Wasser ist (zB Pfähle im Grundwasser) sind jedoch nicht pilzgefährdet.

Feuchtwedel führen zu Rissen, insbesondere von exponiertem Hirnholz ausgehend, zB bei Balkenköpfen, die dem Regen und wedelweise der Sonneneinstrahlung und damit starker Erwärmung ausgesetzt sind.

Holz muss im übrigen "arbeiten" können. Die Behinderung des Schwindens (zB durch Stahltäfelung) führt zu Rissen. In diesen kann sich unter geeigneten Bedingungen Wasser ablagern womit für die Bildung und Ausbreitung von Pilzen günstige Bedingungen gegeben sind. Daneben können natürlich Risse auch das Tragverhalten ungünstig beeinflussen. Die Behinderung des Quellens (zB durch Einbetonieren trockenem Holzes) kann zu Sprengrissen führen, aber auch wieder zum Einschluss von Feuchtigkeit, da der Luftzutritt behindert wird. Wie man erkennt, ist konstruktiver Holzschutz im wesentlichen immer "Vermeidung zu grosser Holzfeuchtigkeit" im

Häufblöde auf Bildung und Ausbreitung von schädlichen Pilzen (im Volksmund "Verwesung" oder "Fäulnis").

Schädliche Insekten (insbesondere Tropenholzinsekten, siehe 1.26 d)) können durch konstruktiven Holzschutz praktisch nicht bekämpft werden. Hier ist chemischer Holzschutz am Platz. An baulicher Hinsicht ist jedoch - wo immer möglich - für die Möglichkeit einer visuellen Kontrolle von Holzelementen zu sorgen. Auch sollten Bauteile für Nachbehandlungen zugänglich sein.

## 1.43 Chemischer Holzschutz

Chemischer Holzschutz ist eine Sache von Oberflächen-Austrichen und Impregnierung, mit dem Zweck, Pflanzwachstum zu verhindern und schädlichen Insekten den Zutritt zu verwehren, zu vergrauen. In beiden Fällen ist eine ausreichende Tiefeinwirkung von ausschlaggebender Bedeutung. Diese hängt sehr stark von der Holzart, der Holzfeuchtigkeit und dem angewendeten Verfahren ab.

Holzimpregnierung geschieht durch Streichen, Spritzen oder Taudien (u.Umständen unter Druck) mit entweder salzhaltigen wasserlöslichen oder ölhaltigen Präparaten. Erstere sind für frisches und leicht gehocknetes Holz geeignet und dringen durch Kapillarität mehr oder weniger tief in das Holz ein. Je nach Art werden sie jedoch bei Bewitterung des Holzes mehr oder weniger rasch ausgewaschen. Ölhaltige Präparate sind hingegen nicht für frisches Holz geeignet, da die eingesetzte Holzfeuchtigkeit ein kapilläres Eindringen ölhaltiger Präparate verhindert.

Bei Austrichen unterscheidet man Lasuraustriche und filmbildende Austriche. Erstere lassen die Holzstruktur sichtbar, letztere decken sie weitgehend ab. Besonders zu bedenken ist der Wasserdampfdiffusions-Widerstand von Austrichen. Ist dieser zu hoch, kann er im Holz enthaltene Feuchtigkeit einschließen. Ist dieser zu klein, wird dem Eindringen von Feuchtigkeit zu wenig Widerstand entgegengesetzt. Erhöhte Schrumpfen und Quellen ist die Folge.

Für Konstruktionsholz sind in der Regel Lasuraustriche mit relativ geringem Diffusionswiderstand, für Fenster und dergleichen eher filmbildende Austriche mit grosserem Diffusionswiderstand zu empfehlen. Auf jeden Fall ist jedoch die Eindringtiefe gering und damit die Schutzwirkung beschränkt, insbesondere bei Rissbildung im Austrichfilm.

Schliesslich spielt auch die Pigmentierung eine Rolle, nicht nur in Bezug auf das Aussehen, sondern auch in Bezug auf die

Erwärmung bei direkter Sonnenbestrahlung und die damit verbundene Möglichkeit von Rissen im Holz. Dunkle Farben sind zu vermeiden.

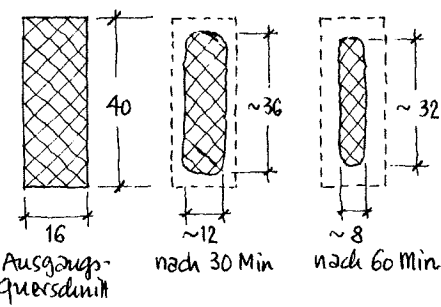
## 1.44 Brandeinwirkung

Holz zerstört sich bei hohen Temperaturen und gibt brennbare Gase frei, die sich (unter Umständen auch selbst) entzünden können. Holz ist aber auch ein guter Isolator und setzt dem Eindringen von Wärme einen erheblichen Widerstand entgegen. Verstärkt gilt dies für verkohltes Holz, welches im Falle eines Brandes innenliegende Holzzeilen schützt.

Diesen Effekt kann durch Flammenschutz-Austriche verstärkt oder gegebenenfalls sogarersetzt werden. Solche Austriche bilden bei hohen Temperaturen eine wärmeisolierende Schutz-Schaum-Schicht und hindern den Luftzutritt und verzögern damit die Entflammung und die Abbrand-Geschwindigkeit.

Der Brauwiderstand von Bauteilen wird gemessen an der Zeit (in Minuten), die sie einem definierten Normenbrand (Zeit-Temperatur-Verlauf normiert) widerstehen können. Für Tragelemente ist das demnach diejenige Zeit, die verstreicht, bis das Tragelement unter seiner Last versagt.

Bei Holztragelementen wird dabei der Querschnitt durch Abbrand im Verlaufe des Brandes reduziert, während die Festigkeit praktisch unverändert bleibt. Die Abbrandgeschwindigkeit beträgt für glattes, rinfreies Nadelholz ca. 0,6 bis 0,8 mm/min, bei Eiche ist sie ungefähr halb so gross. Damit ergibt sich beispielweise folgendes Bild:



Es ist aus dieser Skizze un schwer erkennbar, dass grosse Querschnitte günstigen Brauwiderstand haben. Feingliedrige Querschnitte sind ungünstig.

Brauwiderstände können mit den vorstehenden Angaben reduzierend abgeschätzt werden. Dabei ist gegebenenfalls zu berücksichtigen, dass der Brand nicht allseitig angreift. Demzitzen sind natürlich die Beanspruchungsart (Biegung, Zug, Druck/Knicken und Schub zu beachten, wobei die effektiven Festigkeiten (siehe 1.29) eingeschüttet werden dürfen (keine Sicherheitsvorhalte)).

## 1.5 Bemessungskonzept SIA 164

Auf der Grundlage der vorstehend geschilderten technologischen Eigenschaften des Baustoffes Holz wird die Bemessung von Holzbauten und Holzbauteilen in der Schweiz durch die Norm SIA 164 des Schweizerischen Ingenieur- und Architekten-Vereins SIA geregelt.

Dass diese Vorlesung teilweise, die Norm SIA 164 auf weiten Strecken der Berechnung und Bemessung breiten Raum einräumt, darf nicht darüber hinweg täuschen, dass Holzbau vor allem anderen eine konstruktive Aufgabe ist: Holzbauwerke sind also zunächst zu entwerfen und durchzukonstruieren, unter Abschätzung der nötigen Abmessungen mittels einfacher Formeln z.B. Beim Entwurf sind viele Gesichtspunkte, oft mit gegensätzlicher Tendenz zu beachten und aufeinander abzuwegen. Hierzu gehören:

- Begrenzung von Querschnitten
- Begrenzung von Holzlängen
- Platzbedarf für Verbindungen
- Raumbedingungen der Herstellung
- Anforderungen des Transport
- Anforderungen der Montage
- Kosten und Preis
- Politische Gegebenheiten usw.

Alle diese Gegebenheiten und Argumente in einem Entwurf optimal aufeinander abzustimmen, ist leidlich zugleich Arbeit.

Auf der Grundlage eines guten Entwurf sind viele konstruktive Gesichtspunkte zu berücksichtigen, die sich zum Teil wieder aus den oben aufgeführten Argumenten herleiten, aber auch aus den unter 1.4.2 erwähnten Grundsätzen des konstruktiven Holzschutzes und gewissen Eigenarten des Baustoffes Holz. Hieraus ergibt sich als wichtigster Grundsatz: Vermeiden von Zug quer zur Faser!!

Erst wenn Entwurf und konstruktive Durchbildung ausreichend durchdacht sind, kommt der Nachweis, dass das Entworfene gewissen Bedingungen und Regeln genügt. Diese Reihenfolge ergibt sich im übrigen auch aus der Tatsache, dass fast alle Bemessungsregeln "implizit" formuliert sind, also eigentlich Nachweisregeln sind.

Die Bemessung von Holztragwerken orientiert sich dabei an zwei zentralen Forderungen:

- genügende Tragfähigkeit
- zufriedenstellende Gebrauchstauglichkeit

Während die aus der Forderung nach genügender Tragfähigkeit hergeleiteten Regeln zum Schutze der Allgemeinheit aufgestellt wurden und damit als Muss-Vorschriften verbindlich

charakter haben, wird die Forderung nach zufriedenstellender Gebrauchstauglichkeit vorwiegend vom Bauherren vorgegeben. Entsprechende Regeln der Norm sind deshalb als Soll-Vorschriften zu verstehen und dürfen im Einzelfall den Gegebenheiten angepasst werden.

### 1.5.1 Das traditionelle Bemessungskonzept nach alter Norm

Die obenerwähnte Norm SIA 164 stammt im Prinzip aus dem Jahr 1981 und stützt sich bei der Ermittlung von Lasten und Kräften auf die noch ältere Belastungsnorm SIA 160 des Jahres 1970.

#### a) Nachweis der Tragsicherheit

Beim Tragsicherheitsnachweis wird der Nachweis erbracht, dass die aus Gebrauchslasten resultierenden Beanspruchungen der Bauteile, der Verbindungsmitel und des Gesamttragwerks die entsprechenden zulässigen Werte nicht überschreiten.

Für Verbindungsmitel wird diese Bedingung in der Regel im Maß der Kraft  $F$  (zB KN) ausgeschrieben:

$$\text{vorb } F \leq \text{zul } F$$

Für die Beanspruchung von Holzbauteilen gilt in der Regel der Nachweis im Maß der Normals- bzw. Schubspannungen  $\sigma$  bzw  $\tau$  (zB in N/mm<sup>2</sup>):

$$\text{vorb } \sigma \leq \text{zul } \sigma$$

$$\text{vorb } \tau \leq \text{zul } \tau$$

Der Querstrich gibt zu, dass die zulässigen Werte aus sog. Grundwerten durch Multiplikation mit einer Reihe von Beiwerten (siehe 1.5.4) ermittelt werden, die ihrerseits die wesentlichen Einflüsse auf die Festigkeiten (Abmessungen, Lastdauer, Holzfendte etc.) in die Bemessung einbringen.

Bei der Ermittlung der vorhandenen als auch der zulässigen Werte sind selbstverständlich alle Schwächungen (Locher, Einschlüsse, Kerben etc.) als auch die zugehörigen Kerbwirkungen zu beachten.

#### b) Nachweis der Gebrauchstauglichkeit

Unter den Einwirkungen des normalen Gebrauchs sollen sich die Tragwerke zufriedenstellend verhalten. Die Norm SIA 164 beschränkt sich in diesem Zusammenhang auf einen Vergleich der vorhandenen Durchbiegungen mit den entsprechenden zulässigen Werten:

$$\text{vorb } w \leq \text{zul } w$$

Die zulässigen Werte, die als Empfehlungen aufzufassen sind, werden in der Regel als Bruchteile der entsprechenden Spannweite des Bauteils angegeben (siehe Norm Art. 3.16 bzw. 1.55 c)).

## 1.52 Anpassung an das neue Bemessungskonzept des SIA.

Der SIA hat sich mit der Herausgabe der neuen Norm SIA 160 Einwirkungen im Jahre 1989 ein neues Konzept gegeben, das in Baustatik, Kap. 9 ausführlich dargestellt ist. Das Dargestellte soll hier nicht wiederholt werden, doch sei festgehalten, dass der Tragsicherheitsnachweis auf dem sog. mittleren Niveau gemäß

$$S_d \leq R/\gamma_R = R_d$$

erbracht wird (siehe Baustatik 9.4). Hierin sind  $S_d$  der sog. Bemessungswert der Beaufspannung,  $R$  der zugehörige Tragwiderstand und  $\gamma_R$  ein Widerstandsbeiwert, der Bauweisen-abhängig ist.

Der Wert von  $S_d$  wird als Kraft, Schnittgröße (oder auch Spannung) aus mit gewissen Faktoren  $\gamma$  multiplizierten Kennwerten der Einwirkungen ermittelt gemäß

$$S_d = S(\gamma_G \cdot G_m, \gamma_Q \cdot Q, \sum \gamma_{Qr} Q_r).$$

$G_m$  steht für den Mittelwert von Eigenlasten,  $\gamma_G$  beträgt in der Regel  $\gamma_G = 1.3$ . Der Bruchsfaktor  $Q$  steht für die sog. Leiteinwirkung, der zugehörige Faktor  $\gamma_Q$  beträgt in der Regel  $\gamma_Q = 1.5$ . Zusätzliche, sog. Begegnungseinwirkungen  $Q_r$  werden mit  $\gamma$  zwischen 0 und 1,3 multipliziert.

Die alte Holzbaunorm SIA 164 definiert nun jedoch wobei die Tragwiderstände  $R$ , noch den Faktor  $\gamma_R$ , noch den Bemessungswert  $R_d$  für die verschiedenen Bemessungsprobleme. Man muss sich behelfen und einen Ausweg suchen:

Wie man leicht erkennen kann, liegt das Vergleichsniveau  $S_d$  der neuen Normengeneration zwischen 30% und 50% über dem Vergleichsniveau der traditionellen Norm. Will man die Ergebnisse der Bemessung nicht drastisch verändern, muss also  $R_d$  etwa 30% bis 50% über den zulässigen Werten der Norm SIA 164 angesetzt werden. Die verantwortlichen Gruppen haben im Sinne einer Übergangsregel festgelegt

$$R_d = 1,5 \cdot \text{zul } \bar{F} \text{ bzw.}$$

$$R_d = 1,5 \cdot \text{zul } \bar{S} \text{ bzw.}$$

$$R_d = 1,5 \cdot \text{zul } \bar{T}.$$

Die zulässigen Werte der Norm SIA 164 dürfen also bei einem Vergleich mit den Bemessungswerten der neuen Norm um 50% erhöht werden.

Man kann natürlich auch die Bemessungswerte  $S_d$  nach der neuen Belastungsnorm SIA 160 durch 1,5 dividieren und dann direkt mit den zulässigen Werten vergleichen. Formal heißt das dann:

$$S = \frac{S_d}{1,5} \leq \text{zul } \bar{F} \text{ bzw. zul } \bar{S} \text{ bzw. zul } \bar{T}.$$

Ich schlage vorabhand vor, diesen zweiten Weg einzuschlagen. Es ist jedoch wichtig, dass man sich einmal ganz klar wird über dieses Konzeptlose Herumschieben von Faktoren, die letztlich natürlich am richtigen Ort stehen müssen und nicht vergessen gehen dürfen, soll die Bemessung sicher sein.

Wenn man nun aber schon mal am "wurschten" ist, kann man vielleicht noch einen Schritt weitergehen und – augensichts des meist kleinen Eigenlast-Anteils von Holzkonstruktionen – das Niveau  $S = S_d/1,5$  austesten, indem man die Lastfaktoren  $\gamma_G$ ,  $\gamma_Q$  und  $\gamma$  weglässt und die Schnittgrößen  $S$  (also  $M$ ,  $V$ ,  $N$  etc.) direkt aus den Kennwerten der Einwirkungen gemäß neuer Norm SIA 160 ermittelt. Wir setzen damit

$$S = \frac{S_d}{1,5} \approx S(G_m, Q, \sum Q_r)$$

Was numerisch eher sogar ein wenig auf der sicheren Seite liegt.

In diesem Sinn sind dann auch alle Beispiele dieser Autografie zu lesen. Man muss immer davon ausgehen, dass die dort verwendeten  $M$ ,  $N$ ,  $V$  bzw. die Größen von  $M$ , von  $N$ , von  $V$  bzw. die Kräfte  $F$  in Verbindungen oder die Spannungen von  $S$  und von  $T$  aus den entsprechenden Bemessungswerten  $S_d$  durch Division mit 1,5 entstanden sind oder direkt aus den Kennwerten der Einwirkungen gemäß neuer Norm SIA 160 ermittelt wurden.

Wie bemerkt: das ist "wurschten", und will mir kaum aus der Feder. Doch ist ein sauberer Weg nur über eine neue Norm SIA 164 Holzbauten zu schaffen. Es ist leider anzunehmen, dass diese nicht mehr entsteht, sondern durch die entsprechende Europäische Norm überholt wird.

## 1.53 Grundwerte der zulässigen Spannungen

Aus den Grundwerten der zulässigen Spannungen werden durch Berücksichtigung von Beiwerten (siehe 1.54) die maßgebenden zulässigen Werte ermittelt. Die Grundwerte würden nun so festgelegt, dass für die häufigsten Nachweise die Beiwerte gerade gleich 1 sind. Die Grundwerte gelten also für langfristige Beanspruchungen in vor der Witterung geschützten Bauteilen (entsprechend einer Alterungswertfeurde von 12 bis 15%).

Im folgenden werden die – alle Sicherheitsvorhalte berücksichtigenden – Grundwerte der zulässigen Spannungen in Übereinstimmung mit der Norm SIA 164 zusammengestellt, jedoch wenn

niets anderes erwähnt ist, lediglich für die Festigkeitsklasse FK II (normales Konstruktionsholz) und die Dimension N/mm<sup>2</sup>:

Für Normalspannungen parallel zur Faser gelten für

	[N/mm <sup>2</sup> ]	Schnitt-holz	Brettschichtholz
• Biegung $\sigma_b$		10,0	12,0
• Druck $\sigma_{dI}$		8,5	10,0
• Zug $\sigma_{zII}$		8,5	10,0

Bei den Grundwerten für Druckspannungen senkrecht zur Faser  $\sigma_{dI}$  wird zwischen Werten "ohne Vorholz" und "mit Vorholz" unterschieden. Unter Vorholz wird dabei ein nicht mit Querdruckspannungen stehender Überstand des Holzes von mindestens 100 mm Länge verstanden. Zudem gelten höhere Werte, wenn größere Eindrückungen ohne Einfluss auf den Bestand des tragenden Bauteils sind. Es gelten folgende Werte in N/mm<sup>2</sup>:

	[N/mm <sup>2</sup> ]	Nadelholz	Eiche	Buche
		Schnitt-holz	Brettschichtholz	Buche
• ohne Vorholz		1,2	1,2	3,5
• mit Vorholz		1,6	1,6	4,5
• Eindrückungen unbedenklich		2,0	2,5	4,5

Bei den Grundwerten für Schubspannungen wird zwischen solchen aus Abscheren (in Verbindungen) und solchen aus Querkraft unterschieden! Es gelten folgende Werte

	[N/mm <sup>2</sup> ]	Nadelholz	Eiche	Buche
		Schnitt-holz	Brettschichtholz	Buche
• Abscheren $T_a$		0,6	1,0	1,0
• aus Querkraft $T$		1,0	1,2	1,3

Für andere Grundwerte (z.B. Schräg zur Faser, Querzug) und andere Festigkeitsklassen siehe Norm SIA 164, Art. 3.14.

## 1.54 Bemessungsspannungen

### a) Grundsatz

Aus den Grundwerten der zulässigen Spannungen (siehe 1.53 und Norm SIA 164, Art. 3.14) werden durch Multiplikation mit Beiwerten die für die Bemessung maßgebenden Werte  $\bar{\sigma}$  und  $\bar{T}$  ermittelt. Gleiches gilt für Grundwerte und maßgebenden Werte für die in Verbindungen auftretbaren Kräfte. Man unterscheidet zwischen

- Lastdauerbeiwert  $C_D$
- Holzfeuchtebeiwert  $C_W$  und
- Geometrisch bedingten Beiwerten  $C_{Geo}$ .

Letztere haben verschiedene Ursprung und sind von der absoluten Abmessung des Bauteils, von Schalauflasten oder von der Größe von geometrisch gegebenen Störungen abhängig.

Grundsätzlich gilt

$$\text{zul } \bar{\sigma} = \text{zul } \sigma \cdot C_D \cdot C_W \cdot C_{Geo},$$

analog für Schubspannungen und Kräfte in Verbindungen. Diese zulässigen Werte sind mit den auf dem unter Abschnitt 1.52 dargestellten Wege ermittelten vorhandenen Spannungen bzw. Kräften zu vergleichen. Bei der Ermittlung der vorhandenen Werte sind Querdruck-Schwächungen und gegebenenfalls der Einfluss von Kerben (Kerbwirkung) zu berücksichtigen.

### b) Lastdauerbeiwert $C_D$

Der Lastdauerbeiwert  $C_D$  berücksichtigt den unter 1.24 f) diskutierten Abfall der Festigkeiten unter langdauernden Einwirkungen. Die Norm SIA 164 gibt folgende Werte (Art. 3.15 2):

- Langfristig: Eigenlasten, ständige Lasten, Nutz- und Verkehrslasten, Lagergüter, Schnee usw.  $C_D = 1,00$
- Kurzfristig: Windkräfte und kurzfristige Montagezustände u.ä.  $C_D = 1,25$
- stoßartig: Aufladekräfte, Erdbeben u.ä.  $C_D = 1,90$

### c) Holzfeuchtebeiwert $C_W$

Holzfestigkeiten sind von der Holzfeuchte abhängig (siehe 1.24 e)). Der Holzfeuchtebeiwert  $C_W$  berücksichtigt Abweichungen der Holzfeuchte von den bei der Festlegung der Grundwerte angenommenen Holzfeuchten von 12 - 15%. Die Norm SIA 164 gibt folgende Werte (Art. 3.15 3):

- vor Witterungseinflüssen geschrökt  $C_W = 1,0$
- teilweise geschrökt oder direkt bewertet  $C_W = 0,8$
- für feuchte Bauteile oder solche unter Wasser  $C_W = 0,6$

### d) Geometrisch bedingte Beiwerte

Die Norm SIA 164 unterscheidet folgende geometrisch bedingten Beiwerte:

#### Höhenbeiwert $C_H$ :

Der Höhenbeiwert berücksichtigt die Tatsache, dass Festigkeiten auch von der absoluten Größe des Querdrücktes abhängig sind und zwar insbesondere bei Zugbeanspruchung. Da eigentlich Zugstäbe in der Regel kleine Spannungen aufweisen (maßgebend ist der Platzbedarf der Verbindungen auf die Bemessung von Zugstäben), beschreibt sich die Norm SIA 164 auf die Angabe von Höhenbeiwerten für Biegeträger. In Art 3.33 24 gibt die Norm für Trägerhöhen  $h$

- $h \leq 300 \text{ mm} : C_H = 1,0$
- $h > 300 \text{ mm} : C_H = (300/h)^{1/3}$

wobei  $h$  in [mm] einzusetzen ist. Tabellarisch ausgewertet, ergibt sich das folgende:

$h$ [mm]	$\leq 300$	500	1000	1500	2000
$C_H$	1,00	0,95	0,88	0,84	0,81

Die Tabelle zeigt, dass der Einfluss klein ist und nur bei höheren Breitschichtträgern wirklich maßgebend wird. Zur Übrigen muss der Höhenbeiwert  $C_H$  nicht mit dem Kippbeiwert  $K_D$  (siehe später) kumuliert werden. Nur der kleinere der beiden Werte ist einzusetzen.

#### Kippbeiwert $K_D$ :

Der Kippbeiwert berücksichtigt die Kippgefahr von hohen Schlaufenträgern (siehe auch "Baustatik", Kap. 7.51). Bezeichnet man mit  $a$  den Abstand der sog. Kipphalterungen eines Trägers (Stellen, wo der Träger gegen seitliches Ausweichen und Verdrücken gehalten ist), mit  $h$  die Trägerhöhe und mit  $b$  die Trägerbreite, lässt sich eine sog. Kippschlaufheit  $\lambda_D$  definieren zu

$$\lambda_D = \frac{Va \cdot h}{b}.$$

Der Kippbeiwert  $K_D$  ergibt sich in Funktion dieser Schlaufheit  $\lambda_D$  wie folgt (Norm SIA 164, Art. 3.33 23):

$$\begin{aligned} \lambda_D \leq 10 & : K_D = 1,0 \\ 10 < \lambda_D \leq 20 & : K_D = 1,5 - 0,05 \cdot \lambda_D \\ \lambda_D > 20 & : K_D = 200 / \lambda_D^2 \end{aligned}$$

Die Kippbeiwerte sinken für Kippschlaufheiten über 10 relativ rasch ab, sodass der Einfluss sorgfältig beachtet werden muss:

$\lambda_D$	$\leq 10$	15	20	25	30	35	40
$K_D$	1,00	0,75	0,50	0,32	0,22	0,16	0,13

Eine Kumulation mit dem vorstehend eingeführten Höhenbeiwert  $C_H$  ist nicht nötig. Der kleinere der beiden Werte ist maßgebend:

#### Knickbeiwert $K_K$ :

Der Knickbeiwert  $K_K$  berücksichtigt die Knickgefahr von Druckstäben und ist in Abhängigkeit der schon in "Baustatik", Kap. 7.21 c) eingeführten Knickschlaufheit  $\lambda_K$

$$\lambda_K = \frac{E_K}{i}$$

gegeben wie folgt:

$$\begin{aligned} \lambda_K \leq 22 & : K_K = 1,0 \\ 22 < \lambda_K \leq 96 & : K_K = 1,2 - 0,009 \cdot \lambda_K \\ 96 < \lambda_K \leq 200 & : K_K = 3100 / \lambda_K^2 \end{aligned}$$

In Tabellenform hierzu:

$\lambda_K$	$\leq 22$	25	50	75	100	125	150	175	200
$K_K$	1,00	0,98	0,75	0,53	0,31	0,20	0,14	0,10	0,08

Wie man erkennt, sinken auch die  $K_K$ -Beiwerte bei Schlaufheiten über 22 rasch ab, weshalb der Einfluss sorgfältig zu beachten ist!

Im Holzbau werden Knickstäbe oft mehrteilig aufgebaut. In solchen Fällen sind sog. ideelle Schlaufheiten  $\lambda_{IK}$  zu ermitteln. Mit diesen Werten werden die speziellen Eigenschaften mehrteiliger Druckstäbe berücksichtigt (siehe Norm SIA 164, Art. 3.323 und Kap. 4 dieser Autographe).

#### Kerbbeiwert $C_K$ :

Der Kerbbeiwert  $C_K$  berücksichtigt Spannungskonzentrationen, die sich bei Einschlüßen, Bohrungen und in Ausschluszzonen von Stäben ergeben. Diese sind vor allem auf der Zugseite von Biegeträgern und in Zugstäben gefährlich, da Holz auf Zug spröde versagt. In Druckstäben nur auf der Druckseite von Biegestäben kann eine Berücksichtigung der Spannungskonzentrationen untersbleiben, da Holz durch öft. bides Stauchen und Entwinden der Fasern ein großes Plastifizierungspotenzial aufweist und damit Spannungsspitzen abgebaut werden können.

Die Norm SIA 164 beschränkt sich in den Artikeln 3.211; 3.31 und 3.33 11 auf den Hinweis, dass den Kerbwirkungen angemessen Reduzierung zu tragen sei. Einen Hinweis auf mögliche Größenordnungen des bisher noch nicht systematisch erforschten Kerbfaktors  $C_K$  gibt folgende Tabelle:

Schnitt-holz	Breitschicht-holz
$C_K$	$C_K$
0,8	0,9
0,7	0,8
0,8	0,9
0,5	0,6
0,7	0,8
0,8	0,85

- Bohrungen  
• Kleine  $\phi$  gut verteilt  
• größere Einzelbohrungen

- Nagelverbindungen

- Ringdübelverbindungen

- Einpress-Dübel

- Einseitiger Versatz

Der Kerbfaktor reduziert demnach die Grundwerte der zulässigen Spannungen ganz erheblich zusammen mit der im gleichen Querschnitt vorhandenen Querschnittsreduktion hat dies zur Folge, dass zB bei Zugstäben immer die Ausdehnungszone maßgebend wird, während im freien Bereich des Zugstabs die zulässigen Bewehrungsspannungen bei weitem nicht ausgenutzt werden können.

## 1.55 Durchbiegungen

Der Nachweis der Gebaudestauglichkeit beschränkt sich gemäß Norm SIA 164 in der Regel auf den Nachweis, dass die vorhandenen Durchbiegungen vor  $w_0$  kleiner sind als festgelegte zulässige Werte  $w_{zul}$ . Dabei sind jedoch das Kniechen unter langdauernden Lasten (siehe 1.25 e)) durch Einführung einer Kniezahl  $\varphi$  und die Verformungseigenschaften der Verbindungen (Schlupf, Verschiebungsmodul) zu berücksichtigen. Dies ist gelegentlich recht schwierig.

## a) Elastizitäts- und Schubmoduli

Für die Berechnung von Stabverformungen sind die folgenden Elastizitätszahlen einzusetzen:

	$E_{II}$	$E_I$	$G$	
Nadelholz	10'000	300	500	$\text{N/mm}^2$
Eiche/Buche	12'500	600	1000	"

Die angegebenen Werte gelten für Holz der Festigkeitsklasse FK II, und zwar für Schwellholz und für Brettkleidholz 2. Vorausgesetzt sind gesäuberte Bauteile.

Sind Bauteile nur teilweise vor Witterungseinflüssen gesäubert oder direkt dem Wetter ausgesetzt, sind die Werte auf das 0,9-fache, bei feuchten Bauteilen oder Solden unter Wasser auf das 0,8-fache abzuändern.

Bemerkenswert ist der vergleichsweise kleine Schubmodul, der es nötig macht, im Holzbau auch den Beitrag der Schubverformungen gelegentlich zu berücksichtigen.

Zulässige Werte für den Verschiebungsmodul von Verbindungen siehe Norm SIA 164 oder Kap. 2 dieser Autografie.

## b) Kriechverformungen

Kriechverformungen unter langdauernden Lasten dürfen näherungsweise als das  $\varphi$ -fache der elastisch ermittelten Verformungen berechnet werden. Bezeichnet man die elastischen Durchbiegungen mit  $w_{el}$ , ist die Gesamtdurchbiegung einschließlich der Kriechverformung demnach

$$w_{tot} = w_{el} + \varphi w_{el} = w_{el}(1+\varphi)$$

wobei natürlich in diesem Zusammenhang nur dauernd wirkende Lasten zu berücksichtigen sind.

Als Kriechzahlen  $\varphi$  gibt die Norm SIA 164 in Artikel 3.162 folgende Werte:

- Vor Witterung gesäuberte Bauteile
  - auf Gebrauchsfeuchte vorkonditioniertes Holz  $\varphi = 0,5$
  - leicht ange trocknet oder feucht eingebautes Holz  $\varphi = 1,0$
- Übrige Bauteile  $\varphi = 2,0$

Das heist, dass die unter Dauerverlasten sich bei Belastung kurzfristig einstellenden elastischen Verformungen im Laufe der Zeit auf das 1,5 bis 3-fache anwachsen.

## c) Zulässige Durchbiegungen

Die Norm SIA 164 gibt in Art 3.164 Empfehlungen für die Begrenzung von Durchbiegungen, und zwar als Bruchteile der jeweiligen Spann-

weite, wobei die Kriechverformungen zu berücksichtigen sind:

- Träger zur Unterstützung rissgeplündeter Bauteile  $\ell/500$
- Träger im Allgemeinen  $\ell/300$
- Pfosten und Sparren in Dämmen  $\ell/200$

Bei Flachdächern sind u.U. kleinere Durchbiegungen einzuhalten, um Wassersäcke und damit erhebliche Mehrbelastungen zu vermeiden. Für auskragende Träger ist für  $\ell$  die doppelte Knagweite einzusetzen.

gewisse Tragsysteme (z.B. Fachwerke) und Bauteile (z.B. Brettschlitzträger) können "überholt" werden, d.h. mit einer gewissen Durchbiegungen korrigierende Verkrümmung hergestellt werden. Wird dies getan, beispielsweise für alle ständigen Lasten einschließlich der Kriechverformungen, genügt es, wenn die oben genannten zulässigen Durchbiegungen unter den Nutzlasten allein (Schnee, Wind, Verkehrslasten) eingehalten werden. Immerhin soll die Gesamtdurchbiegung infolge aller Einflüsse die 1,5-fachen Werte der zulässigen Durchbiegungen nicht übersteigen.

Überschreitungen müssen selbstverständlich in den Ausführungsplänen angegeben und bei der Herstellung auch wirklich realisiert werden.

## 1.6 Literatur

Bei der Ausarbeitung dieser Autografie ist eine Reihe von Büchern und Artikeln zu Rate gezogen worden. Diese Literatur kann in Spezialfällen weitere Tiefe breiten. Wesentliche Literaturstellen sind nachfolgend zusammengestellt:

- Norm SIA 164 Holzbau, SIA Zürich, 1981
- Einführung in die Norm SIA 164, Einführungskurs für Ingenieure 7. bis 9. Okt. 1981, Publikation Nr. 81-1 ETH, Baustatik und Stahlbau Prof. Dr. P. Dubas, E. Gelni, A. Steurer
- Holzbau - Tabellen Herausgeber LIGNUM, Falkenstr. 26, 8008 Zürich
- Entwurf und Bewertung von Schwellholz-Konstruktionen mit neuzeitlichen Verbindungen. Schweiz. Arbeitsgemeinschaft für Holzforschung (SAH). Herausgeber: LIGNUM wie oben
- Holzbau - Atlas; Götz, Hoor, Möhler, Natterer Institut für internationale Architektur - Dokumentation GmbH, München 1978
- Statischer Nachweis von Holzkonstruktionen SIA/Lignum, IP Holz 841 d, 1991
- Brettschlitzholz SIA/Lignum, IP Holz 842 d, 1991
- Bemessungsgrenzwerten Verbindungen und Verbindungsmitte, Lignum, 1992 und dazugehörige Beispieldarstellung.

# Holzbau

## 2 Verbindungen

2.1 Einleitung				
2.1.1 Verbindungsarten	1			
2.1.2 Verbindungs hilfsmittel	1			
2.1.3 Bemessungskonzept der Norm SIA 164	1			
a) Kraft - Verschiebung - Diagramm	4			
b) Tragfähigkeit und zulässige Kräfte	4			
c) Verformungen	5			
d) Regelung Holzstärken	5			
2.2 Holzverbindungen	6			
2.2.1 Beispiele und Anwendungsfommen	7			
2.2.2 Bemessung und Nachweise	7			
a) Hirnholzstoss	12			
b) Stoss schräg zur Faser	12			
c) Querdrückstoss	13			
d) Versatz	14			
2.3 Stabförmige Verbindungsmitte	16			
2.3.1 Allgemeines	16			
2.3.2 Nagelverbindungen	17			
a) Nagelausordnung	17			
b) Holzstärken	18			
c) zulässige Belastung	19			
d) Verformungen	19			
e) Kontrolle im Holz	20			
f) Nägel auf Zug	20			
2.3.3 Pässbolzen und Passschauben	21			
2.3.4 Bauschrauben	22			
a) Bauschrauben als Scher verbindung	22			
b) Bauschrauben auf Zug	22			
c) Simplex - Verbinden	23			
2.3.5 Holzschräuben	24			
2.4 Sonderformen von Nagelverbindungen	25			
2.4.1 System Menig	25			
2.4.2 Aug - Nail - System	27			
2.4.3 System Greim	30			
2.4.4 Stahlblech - Formteile	31			
2.5 Dübelverbindungen	33			
2.5.1 Flachdübel	33			
2.5.2 Rügdübel	36			
2.5.3 Bulldog - Dübel	39			
2.6 Leim - Verbindungen	42			

## 2.1 Einleitung

## 2.11 Verbindungsarten

Die Verbindungen des Holzbau bestimmen in der Regel die Abmessungen der Tragelemente, da sie relativ viel Platz erfordern und die Tragelemente im Auschlußbereich oft stark schwächen. Wir nehmen deshalb die Besprechung der Holzbaubindungen voraus und gehen erst ausschließend auf die Bemessung der Tragelemente selbst ein.

Man unterscheidet zwischen

- Zimmermannsmäßigen Verbindungen und
  - Verbindungen des Ingenieurholzbau.

Die Bezeichnungen deuten bereits an, dass die Verbindungen der ersten Gruppe dem traditionellen Holzbau zugehören. Sie können in jeder Zimmerei hergestellt werden und benötigen im wesentlichen nur Säge, Stemmisen und Bolzer (heute in der Regel durch entsprechende Maschinen ersetzt). Zimmereimaterial mögliche Verbindungen sind in der Regel wenig leistungsfähig und im Prinzip nur für die Übertragung von Druckkräften zwischen Holzern geeignet (Stoss senkrecht und schräg zur Faser, Versatz usw.). Durch geschickte Anordnung der Verbindungsformen sind jedoch auch Zugstäbe und Zugstöße möglich.

Unter Verwendung von Stahl, Stahlguss usw wurden im Laufe der Zeit - im wesentlichen von Ingenieuren - leistungsfähigere Verbindungen entwickelt, die dem Holz in der Form des Ingenieurholzbau ein wesentlich größeres Anwendungsfeld erschlossen haben. Verbindungen des Ingenieurholzbau setzen jedoch eine wesentliche stärkere Mediumsierung der Zimmereien voraus. Es braucht zusätzlich zum traditionellen Handwerkszeug, Ringöbelfräsmaschinen, Hobelmaschinen, Keilzinken-Fräsmaschinen, Pressen, Leimauflagemaschinen, Verleimungsböden etc.

Die begriffliche Trennung in diese beiden Verbindungsarten ist jedoch nicht sehr schärf. Manches, was vor 50 Jahren neu - und ingenieurmäßig - war, gehört heute zur Tradition. Wir werden deshalb dieses Kapitel nicht im angekündigten Sinn gänzlich, sondern eher von der Wirkungsweise von Verbindungen ausgehen.

## 2.12 Verbindungshilfsmittel

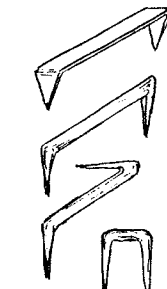
Dem Zimmermann stehen eine Reihe von typischen Hilfsmitteln zur Verfügung, um Verbindungen in ihrer Lage zu sichern, ohne dass ihnen wesentliche Kraftübertragende Wirkung zukommt. Ein Teil dieser Hilfsmittel war Ausgangspunkt der Entwicklung ingenieurmäßiger Verbindungen und wird heute - oft in vereinfachter Form - als

tragendes Element eingesetzt. Zu diesen Hilfsmitteln gehören unter anderem:

- \* Holznägel oder Dollen: Adhäsive oder run-  
de Holzstäbe aus zählem Holz (zB  
Eiche, Esche, Ahorn), die in vorge-  
bohrte Löcher getrieben wer-  
den und zur  
gegenseitigen  
Lagesicherung  
benötigter  
Holzer dienen.

\* Keile : meist aus Eiche , zum satten, kraft -  
schlüssigen Ausfüllen  
von Ausschnitten . Vor -  
sicht : locken sich u.U.  
durch Schwinden . Nach -  
freiben und setzen  
gegen herausfallen .

\* Klammern: aus Flach- oder Rundstahl, meist geschlängelt.

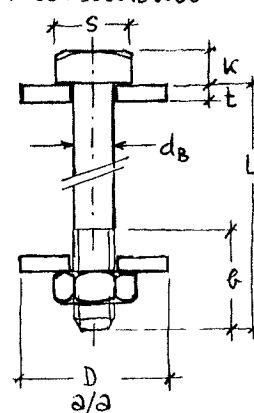


Bauklammer (oft verdeckt im Tragelement belassen)  
Gerüst-Klammer meist zum Heften beim Aufrichten

## Winkelklammer

Kräppen, zB zur Sicherung von Flach'eisen auf Holz

## \* Bauschräben



Im Holzbau unabdingbar sind gross bemessene Unterkragstreben (rund oder quadratisch).

Mehrstieliges Gewinde, meist  
Kopf Vierkant, Mutter sechs-  
eckig.

Gewindelänge b so wählen, dass nadirziehen möglich

Wichtigste Abmessungen  
siehe nachstehende Tabelle:

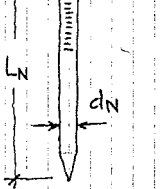
Bezeichnung	M 12	M 14	M 16	M 18	M 20	M 22
d <sub>b</sub> mm	12	14	16	18	20	22
k mm	8	9	10½	13	13	16
b mm	50	50	55	60	65	70
L <sub>min</sub>	140	160	160	160	200	230
L <sub>max</sub>	400	500	700	750	750	750
A mm <sup>2</sup>	113	154	201	254	314	380
A <sub>sp</sub> mm <sup>2</sup> *	84	117	157	199	245	296
D mm	45	52	58	68	79	92
t mm	4	5	5	6	7	8
z mm	40	55	60	70	80	90

\*  $A_{SD}$  = wirksamer Querschnitt im Gewinde.

\* Holzschrauben: Verschiedene Kopfformen, zB Halbrund-, Senk- und Sedskant - (Schlüssel-) Schrauben. Seltener Vierkant. Für tragende Verbindungen des Holzbau sollten die Holzschrauben aus Stahl (in der Regel verzinkt) bestehen. Übliche Abmessungen sind die folgenden Tabelle zu entnehmen:

Schaft- $\varnothing$ $d$ [mm]	Längen [mm]		
	Halbrund	Senk	Sedskant
6	20-130	20-130	20-60
8	30-130	30-150	25-100
10	-	40-150	30-140
12	-	-	40-200
16	-	-	60-200
20	-	-	80-200

\* Nägel: Im zimmereumannsmaßen Holzbau in der Regel nur zur Heftung bzw. Sicherung verwendet, im ingenieurmaßen Holzbau auch eindeutig als Nagel.



Normale Nägel werden aus gezogenem Stahldraht von  $\beta_2 \geq 600 \text{ N/mm}^2$  durch Aufstauen des Kopfes hergestellt. Die zwei Zahlen der Nagelbezeichnung (zB 42/110) geben den Durchmesser  $d_N$  in  $1/10 \text{ mm}$  und die Länge in mm. Die folgenden Abmessungen sind üblich:

$d_N$	28	31	35	40	45	50	55	65	70	75	85
$LN$	60	75	90	100	110	130	150	180	230	245	275
	70	80			120	140	160	200	260		300

Entsprechend der Nagelbezeichnung ist  $d_N$  in  $1/10 \text{ mm}$ ,  $LN$  in mm eingebragen. Die Zeile mit der Bezeichnung  $\Delta$  gibt die minimale Holzdicke, in welche die entsprechenden Nägel ohne Vorbohren geschlagen werden dürfen. Dies gilt, wie man sich leicht vorstellen kann, nur für Nadelholz. Bei Laubholzern ist stets vorzuhören, bei Nadelholz nur, wenn die obigen Holzdicke  $d$  unterschritten sind (Ausnahmen: Schalungsbretter und Nageltäger).

Für Sonderfälle gibt es eine Reihe von Sondernägeln, zB mit schraubenförmigem oder gerilltem Schaft (größerer Ausziehwiderstand), Nagel mit platzförmigem Schaft (Dadi-pappnägel). Auch für maschinelle Nagelung gibt es Sonderformen, sowie für die Nagelung von Blechen auf Holz (zB sog. Glulam rivets aus Kanada usw.).

Unter Nägeln laufen im Ingenieurholzbau auch Nagelplatten und Nagelkissen. Diese werden jedoch später an geeignetem Ort behandelt.

\* Bolzen: Unter dem Begriff fallen alle zylindrischen Stäbe ohne besondere Kopf- und Spitzenausbildung. Die Durchmesser variieren von 4 mm bis ca 30 mm. Bolzen werden gelegentlich auch als Stabdübel bezeichnet. Sie werden in Knapp vorgebohrte Löcher geschlagen und wirken im Prinzip wie Nägel, allerdings praktisch ohne Ausziehwiderstand. Als Werkstoff ist Stahl und Holz möglich.

\* Dübel: Während Dübel aus Hartholz in runder und eckiger Form schon immer im Zimmermannsmaßen Holzbau verwendet wurden, werden im Ingenieurholzbau Einlass- und Einpresstdübel aus Stahl in verschiedenen Formen verwendet. Besprechung dieser Formen an geeigneten Ort.

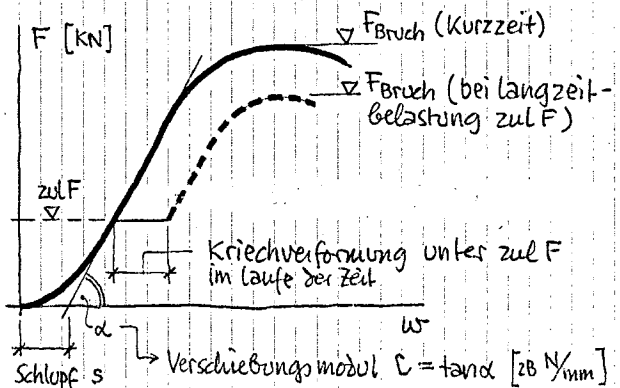
\* Leim: Schliesslich gehören auch die verschiedenen Leime zu den Verbindungsmittern. Im Konstruktiven Holzbau finden wir heute fast ausschließlich Kunstharz-Leime. Für geschlitzte Bauteile vorwiegend sog. Härstoffharzleime, für bewehrte Bauteile vor allem Resorzinharzleime.

## 2.13 Bemessungskonzept SIA 164

Die Norm SIA 164 enthält nur für die wichtigsten Verbindungsarten die nötigen Angaben. Auch hier ist zu unterscheiden zwischen dem Tragsicherheitsnachweis und dem Nachweis der Gebrauchstauglichkeit über die Ermittlung von Verformungen. Allerdings können die Verformungen (bzw. die Steifigkeit) von Verbindungen auch die Tragfähigkeit von Tragelementen beeinflussen, was gegebenenfalls (zB bei mehrteiligen Druckstäben) zu beachten ist.

### a) Kraft-Verschiebungs-Diagramm

Ein typisches Kraft-Verschiebungs-Diagramm einer Verbindung zeigt folgende Abbildung:



Man erkennt aus diesem Diagramm die folgenden Eigenschaften: Fast alle Verbindungen zeigen einen gewissen Schlupf (Ausnahme: Leimverbindungen). Die Tangente zu das Diagramm etwa bei der zulässigen Last zul F kennzeichnet den Verschiebungsmodul C der Verbindung. Je größer C, desto steifer die Verbindung. Die Bruchlast einer Verbindung wird in der Regel im Kurzzeitversuch ermittelt. Eine langzeitwirkende Belastung führt jedoch zu Kriechverformungen und im Allgemeinen zu einer Reduktion der Tragfähigkeit. Zusätzlich gibt die Fläche unter der Kurve ein Maß für das sog. Arbeitsevermögen der Verbindung.

### b) Tragfähigkeit und zulässige Kräfte

Die zulässige Last einer Verbindung wird in der Regel aus der Bruchlast ermittelt, die man im Kurzzeitversuch beobachtet. Sicherheitsgrade der Größenordnung 2 bis 3 sind typisch. Die Norm SIA 164 gibt sog. Grundwerte der zulässigen Belastung von Verbindungen, die für langfristige Lasten in gesicherten Bauteilen gelten. Aus diesen Grundwerten zul F werden die maßgebenden Werte zul F ermittelt durch Multiplikation mit den lastdauerbeiwerten  $C_D$  und den zutreffenden Holzfeuchtigkeitsbeiwerten  $C_W$ . Daraus ist

$$\text{zul } \bar{F} = \text{zul } F \cdot C_D \cdot C_W$$

Die Größen von zul F entnimmt man der Norm oder den folgenden. Die Beiwerte  $C_D$  und  $C_W$  sind unter 154 b) und c) festgehalten.

In der Regel ist nicht nur das Verbindungsmitel selbst, sondern auch das Holz im Ausschlussbereich zu untersuchen (Nettoquerschnitt nach Abzug von Schraubbüchern, Kerbwerte etc.). Hier macht sich oft auch bemerkbar die unterschiedliche Tragfähigkeit eines Verbindungsmittels auf Zug bzw. Druck.

Bei gleichzeitiger Verwendung schlupffreier Verbindungsarten in einer Verbindung erfolgt die Verteilung der Kräfte aufgrund der Steifigkeiten. Bei zwei Verbindungsarten A und B ergibt sich dann:

$$\text{zul } \bar{F} = \left[ \frac{C_A}{C_A + C_B} \cdot \text{zul } F_A + \frac{C_B}{C_A + C_B} \cdot \text{zul } F_B \right] \cdot C_D \cdot C_W$$

In der Regel wird man jedoch auf diesen Einfluss verzichten und die ganze Kraft dem steiferen Verbindungsmitel zuweisen.

### c) Verformungen

Die Verformungen von Verbindungen unter Gebäudelasten werden nach Norm SIA 164 entweder durch die Angabe von Schlupfmaßen oder durch Angabe von Verschiebungsmodulen C erfasst. Diese gelten in der Regel für Kurzzeitig wirkende Lás-

ten. Bezeichnet man mit  $F$  die in der Verbindung wirkende Totallast und mit  $F_p$  die dauernd wirkende ständige Last (Eigenlast und dauernd wirkende Nutzlasten - siehe 1.52), so wie mit  $\varphi_F$  die Koeffizient (siehe 1.55 b)), ergibt sich die Verformung der Verbindung total zu

$$\omega = s + \frac{F}{C} \cdot [1 + \varphi_F \cdot \frac{F_p}{F}]$$

Hierin ist  $s$  der sog. Schlupf und  $C$  der Verschiebungsmodul. Für einige Verbindungen überwiegt  $s$  und das zweite Glied ist vernachlässigbar (zB Versatz), für andere ist  $s$  vernachlässigbar (zB für Nägel, Bolzen, Passschrauben), für eine dritte Gruppe (Bauschrauben, Einloßdübel) sind beide zu berücksichtigen. Angaben finden sich später bei der Besprechung der jeweiligen Verbindung.

### d) Regeln für Holzstärken

Bei der versuchstechnischen Ermittlung der Tragfähigkeit und des Verformungsverhaltens von Verbindungen werden natürlich ganz bestimmte geometrische Verhältnisse zwischen Verbindungsmitel (zB Nagel) und den Dicken der zu verbindenden Hölzer gewählt. Die Versuchsergebnisse werden selbsterklärend durch diese Wahl beeinflusst und die aus Versuchen hergeleiteten Grundwerte der zulässigen Belastung von Verbindungs mitteln gelten nur, wenn die bei der Ausführung festgelegten geometrischen Verhältnisse einzelnmaßen den Versuchsbedingungen entsprechen.

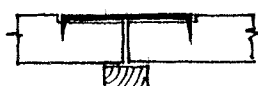
Dies ist zumindest einer der Gründe, warum die Norm SIA 164 auch Bedingungen für die Dicke der zu verbindenden Hölzer sowie die Größe der Abstände der einzelnen Verbindungsmitel untereinander und zu den Holzrändern hin enthält. Solche Bedingungen sind, genauso wie die zulässige Belastung der Verbindungs mittel, sorgfältig einzuhalten.

## 2.2 Holzverbindungen

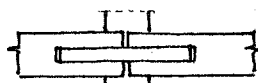
Die sog. Holzverbindungen sind in der Regel typisch für den zimmermannsmäßigen Holzbau. Grundprinzip ist die Übertragung der Kräfte auf Druck von einem Stab auf den anderen oder auf die Unterlage. Stahlteile, wie Bauschnallen, Klammer, Flachrissen, Nägel, aber auch Dollen (siehe 2.12) dienen in der Regel nur zur Lagesicherung.

### 2.2.1 Beispiele und Anwendungsformen

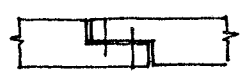
Die folgenden Skizzen zeigen aus der Vielfalt des traditionellen zimmermannsmäßigen Holzbau häufige Formen. Sie dienen als Ideensammlung und zur Erfüllung der zugelöufigen Fachausdrücke:



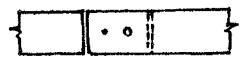
Stumpfer Stoß von Balken über Schwelle, mit Bauklammer gesichert



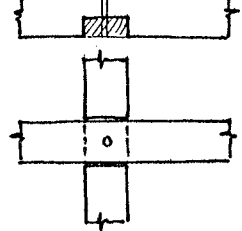
eine schräg geschnittene Verbindung zur Verbesserung der Auflagerung.



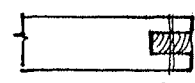
sog. Blattstoß, mit Nägeln gesichert



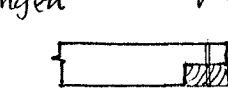
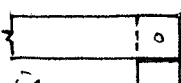
sog. Kreuzblatt



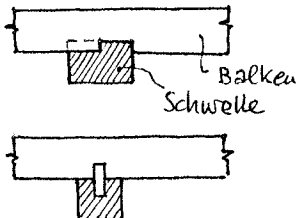
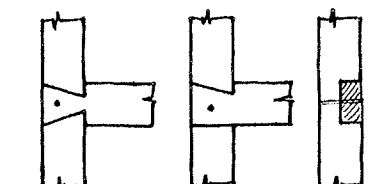
Jeder der beiden durchlaufenden Stäbe wird auf die Hälfte geschrägt. Sicherung mit Nagel, Holznagel etc.



einsitzige Überblattungen

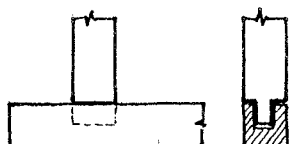


Schwalbenschwanz bzw. Weisschwanz  
Aufnahme geringer Zugkraft möglich

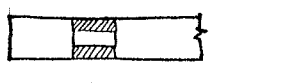


Verkürzung (zur Sicherung der Stäbe gegen Verschieben).

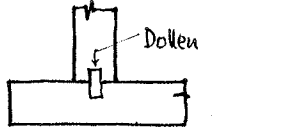
Einfacher: Sicherung mit Dollen



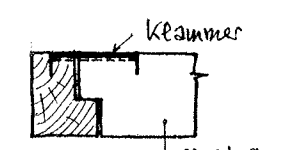
Pfostenverbindung mit Zapfen auf Schwelle. Sehr häufig im Riegelbau. Allerdings Schwächung der Anschlussfläche auf rd 2/3 des Stützenquerschnitts.



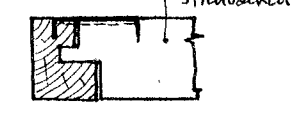
Günstiger: Dollen, die Schwächung ist damit auf den Dollen-Querschnitt begrenzt und praktisch vernachlässigbar.



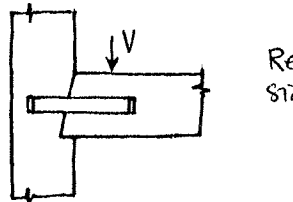
Falls Querdruck maßgebend, Hartholz zwischenlage, mit Nägeln (verbogen) gesichert



Brüstung (Querverbindung in einer Ebene zwischen tragendem und getragtem Balken - sog. Stichbalken). Sicherung mit Bauklammer. Oft auch zusätzlich mit Zapfen.

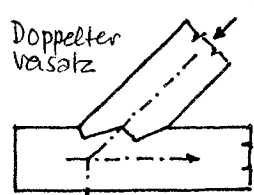
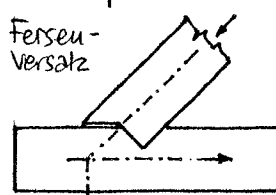
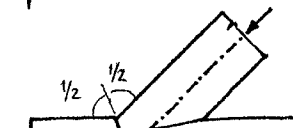


Redtwinkliger Versatz, gesichert mit Bauklammer.



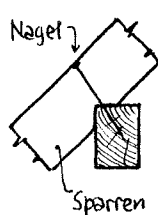
Versatz:

einfacher Stirnversatz (Sicherung durch Bauklammer, Bauschnalle, seitlich aufgezacktes Brett nicht gezeichnet).



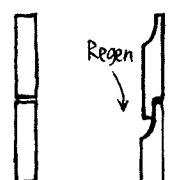
Der Versatz gehört zu den wichtigsten zimmermannsmäßigen Verbindungen. Sorgfältige "Zentrierung" nötig!

In die gleiche Reihe gehört, allerdings mit sehr geringem Winkelgrad, der sog. Schrägzapfen.



Sparrenklause (zur Auflagerung von Spannen auf Pfette). Nicht zu tief einschneiden wegen Schwundung, aber Vorsicht auf Schrägdruck. Gesichert mit Nagel

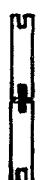
#### Brettverbindungen:



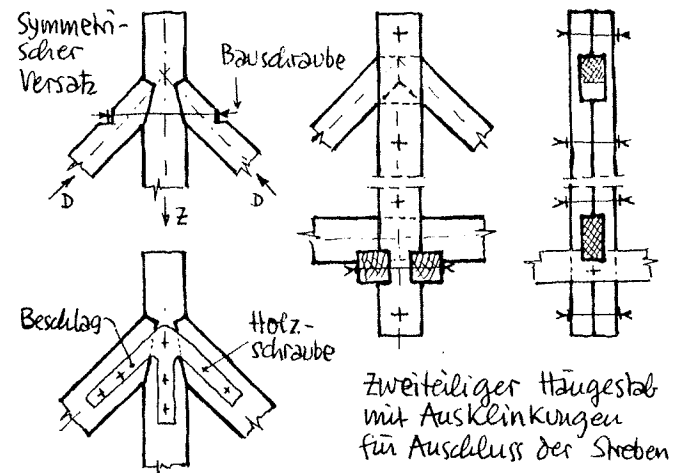
Stumpf (unidirkt)  
Falz-Gitter



Spundung

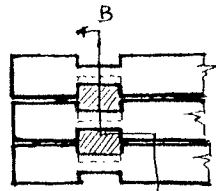


Nut und Feder

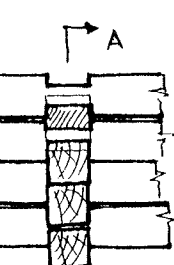


Zweiteiliger Hängestab mit Ausklinkungen für Auschluss der Streben

#### Blockbau-Verbindungen:

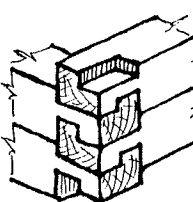


Schnitt A-A

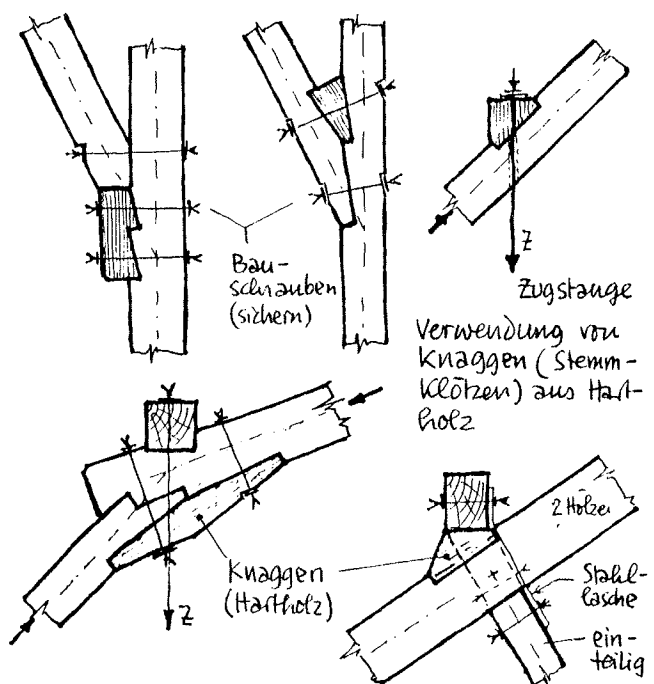


Schnitt B-B

Blockbau mit Vorstößen

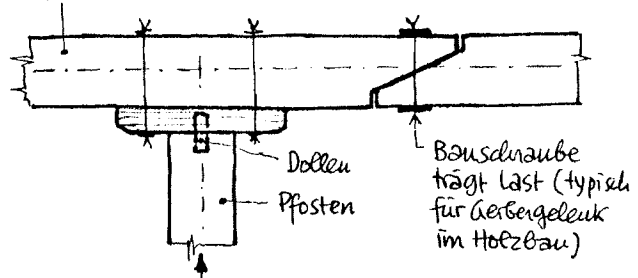


Blockbau ohne Vorstöße



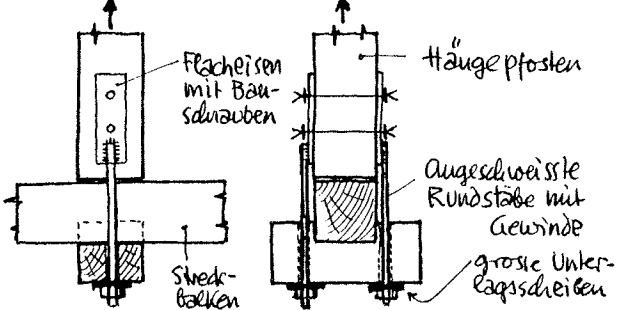
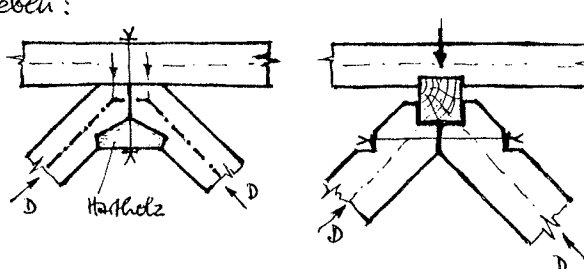
Verwendung von Knaggen (Stemmklötzen) aus Hartholz

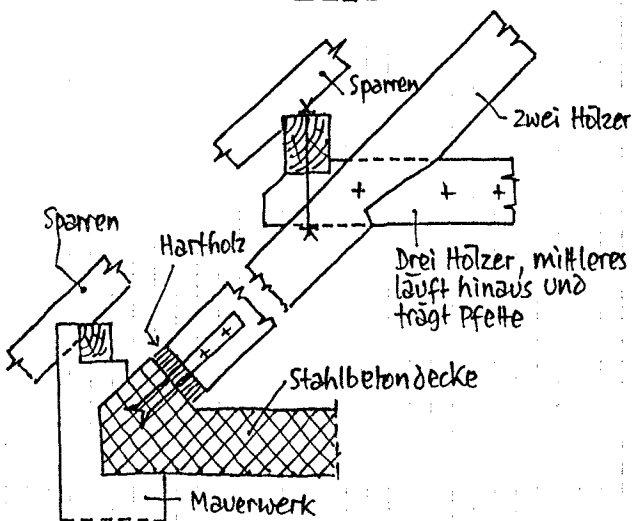
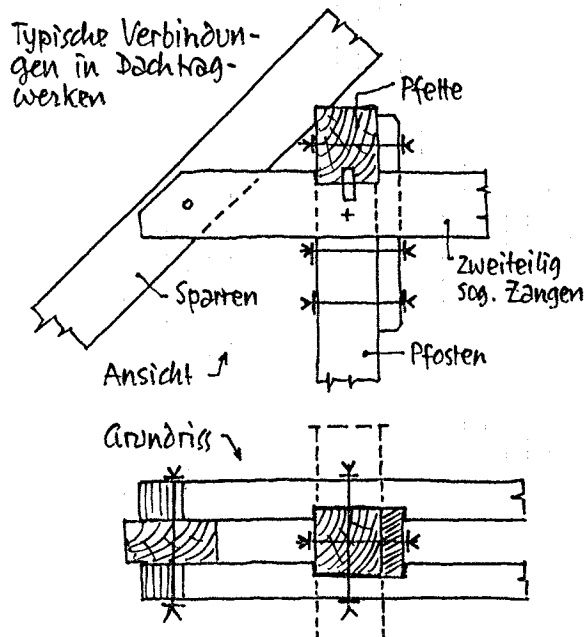
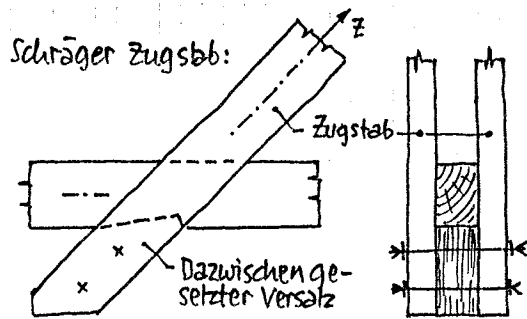
#### Pfette mit Pfosten und Gelenkgelenk:



Bauschraube trägt Last (typisch für Gelenkgelenk im Holzbau)

#### Anhängen von Lasten an Hängepfosten:



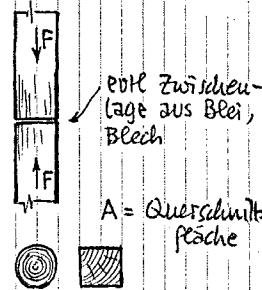


Mit diesem Beispiel wird diese willkürliche Ausumlung von Skizzen abgebrochen. Es wäre jedoch gut, wenn sich der Leser intensiv in das dargestellte eindeutig, sich den Kraftfluss vorstellt und die Art und Weise, wie die Kräfte von einem Stab auf den anderen übertragen werden. Er wird damit einerseits die nachfolgend auch in ihrer Berechnung dargestellten Grundfälle überall wieder entdecken, andererseits fähig werden, selbst angepasste Lösungen für gegebene Probleme zu entwickeln. Und gerade das ist das Faszinierende am Zimmermannsmaßigen Holzbau.

## 2.22 Bemessung und Nachweise

### a) Hirnholzstoss

Unter Hirnholzschluß versteht man einen Schluß senkrecht zur Faser. Setzt man Stäbe Hirnholz auf Hirnholz aufeinander, redet man von einem Hirnholzstoss.



Die vorhandene Normalspannung ist

$$\text{vom } \bar{\sigma}_H = \frac{F}{A_n}$$

wobei  $A_n$  die Netto-Querschnittsfläche des Stoßes ist (alle Dellen etc abgezogen).

Bei Stoss Hirnholz auf Hirnholz ohne Zwischenlage beträgt

$\text{zul } \bar{\sigma}_H = 0,8 \cdot \text{zul } \bar{\sigma}_{\text{dil}} \cdot c_d \cdot c_w$  (siehe 1.54), für Schlußholz FK II, langfristige Lasten und vorwitterungseinflußlos geschränkt demnach

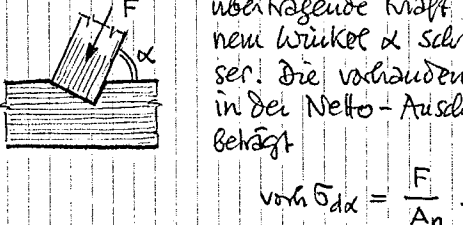
$$\text{zul } \bar{\sigma}_H = 6,8 \text{ N/mm}^2.$$

Wird eine (lastverteilende) Zwischenlage zB aus Blei, Blech etc angeordnet, dürfen die zulässigen Spannungen um 25 % erhöht werden.

Es ist mit einem Schlupf von  $s = 1,0 \div 1,5 \text{ mm}$  zu rechnen.

### b) Stoss schräg zur Faser

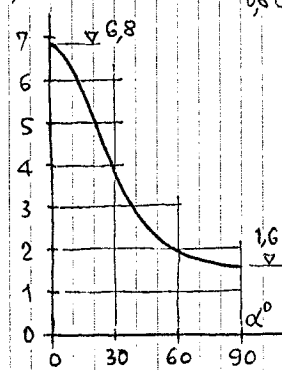
Beim Fersenversatz, aber auch bei den Details auf Spalte 9 unten und auf Spalte 10 liegt oft die zu übertragende Kraft  $F$  unter einem Winkel  $\alpha$  schräg zur Faser. Die vorhandene Spannung in der Netto-Ausschlifffläche  $A_n$  beträgt



Diese muss kleiner bleiben als die zulässige Spannung, deren Grundwert

$$\text{zul } \bar{\sigma}_{\text{dd}} = \frac{0,8 \cdot \text{zul } \bar{\sigma}_{\text{dil}}}{0,8 \cdot \bar{\sigma}_{\text{dil}} \cdot \sin^2 \alpha + \bar{\sigma}_{\text{dil}} \cdot \cos^2 \alpha}$$

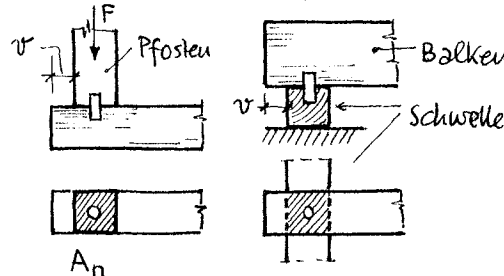
Dies ergibt für FK II, langfristige Lasten, geschlitzte Bauwerke und ausreichendes Vorchholz  $v > 100 \text{ mm}$  den nebenstehenden Verlauf



Für andere Verhältnisse sind die Werte mit  $c_d$  und  $c_w$  zu multiplizieren und gegebenenfalls an Kürzeres Vorchholz anzupassen.

### c) Querdruckstoss

Querdruckstosse kommen vor bei Pfosten auf Schwellen und bei Balkenauflagern:



In jedem Fall beträgt die vorhandene Querdruckspannung

$$\text{vord } \tilde{\sigma}_{dL} = \frac{F}{A_n}$$

wobei  $F$  beim Balkenauflager der Auflagerkraft entspricht. Die zulässige Spannung beträgt

$$\text{zul } \tilde{\sigma}_{dL} = \text{zul } \tilde{\sigma}_{dL} \cdot C_D \cdot C_W$$

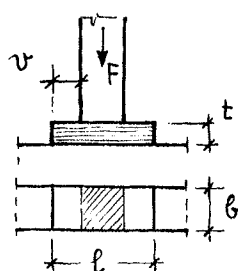
wobei Holzart und Vierholzlänge  $v$  zu berücksichtigen sind (siehe 1.53). Unter Vierholz wird der nicht unter Querdruck stehende Überstand  $v$  verstanden. Ist  $v < 100 \text{ mm}$ , sind die zulässigen Spannungen geringer. Es gilt für langfristige Lasten und geschlitzte Bauteile

$\text{zul } \tilde{\sigma}_{dL} \text{ N/mm}^2$	Nadelholz	Eiche
Schnitt - holz	Brettschicht - holz	Buche
• ohne Vierholz	1,2	3,5
• mit Vierholz	1,6	4,5
• Enddrückungen unbedenkt	2,0	4,5

Ergeben sich Schwierigkeiten mit der Einhaltung dieser Spannungen, kann oft durch Anordnung einer Hartholz-Zwischenlage die Situation wesentlich verbessert werden, ohne z.B.

durch Vergrößern der Querschnittsfläche des Pfostens zu vergrößern (siehe Spalte 8 und Spalte 10), da die Querdruckspannung auf Hartholz wesentlich größer sein darf als auf Nadelholz.

Freilich muss die Zwischenlage ausreichend dick sein (Lastverteilung, Beanspruchungen). Es lässt sich herleiten:



$$t \geq 0,80 \cdot \tilde{\sigma}_1 \cdot v$$

$$t \geq 0,35 \cdot \sqrt{\tilde{\sigma}_1} \cdot v \cdot l$$

womit alle Abmessungen in mm und

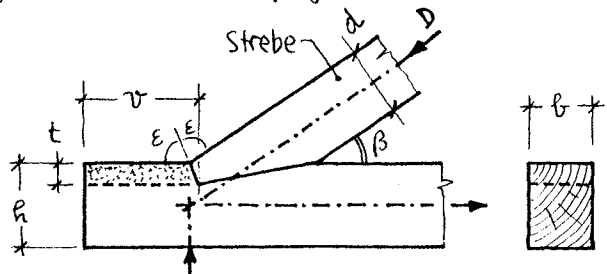
$$\tilde{\sigma}_1 = \frac{F}{b \cdot l} \text{ in N/mm}^2$$

eingesetzt sind. Dies sind in der Regel sehr grosse Werte und oft schwer zu realisieren.

### d) Versatz

Obwohl der Versatz zu den ältesten Verbindungsmitthen des Holzbau gehörte und sich bei sorgfältiger Ausbildung bestens bewährt hat, gehen die Ausichten über seine Wirkungsweise und seine Bemessung unter Fachleuten immer noch auseinander. Dies liegt vor allem daran, dass die Passgenauigkeit der bearbeiteten Flächen unterschiedlich bewertet wird und das Schwund und Quellen sowie Verformungen das Kräftespiel stark beeinflussen.

Die durch Normen geforderten Nachweise sind deshalb immer "nominelle" Nachweise, die von gewissen Modellvorstellungen ausgehen. Die Norm SIA 164 fordert für den sog. einfachen Versatz das folgende:



$$v \geq \frac{D \cdot \cos \beta}{b \cdot T_a \cdot C_D \cdot C_W} \geq 150 \text{ mm}$$

$$t \geq \frac{D \cdot \cos \beta}{b \cdot \tilde{\sigma}_{dL} \cdot C_D \cdot C_W} \quad (\text{mit } \alpha = \beta/2)$$

$$d \geq \frac{D}{b \cdot \tilde{\sigma}_{dL} \cdot C_D \cdot C_W} \quad (\text{mit } \alpha = \beta)$$

Der Grundwert der zulässigen Scherspannung  $T_a$  ist dabei  $T_a = 0,6 \text{ N/mm}^2$  und  $\tilde{\sigma}_{dL}$  ist nach b) für den angegebenen Winkel zu ermitteln. Zusätzlich besteht die Bedingung

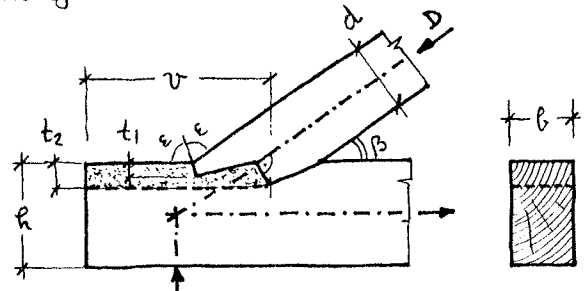
$$h \geq 4t \text{ für } \beta \leq 50^\circ$$

$$h \geq 6t \text{ für } \beta \geq 60^\circ$$

> dazwischen interpolieren

In der Regel ist die Vierholzlänge  $v$  für die Ausbildung des Versatzes bestimmend

Für den doppelten Versatz gelten folgende Bezeichnungen:



Mit diesen Bezeichnungen gelten die gleichen

Formeln wie für den einfachen Versatz. Für  $t$  ist  $t = t_1 + t_2$  einzusezen sowie  $\alpha = \frac{3}{4} \cdot \beta$  für die Festlegung von  $\delta_{dd}$  bei der Ermittlung von  $t$ . Es soll zusätzlich gelten:

$$\begin{aligned} t_1 &\leq t_2 - 10 \text{ mm} \\ h &\geq 6t_1 \\ h &\geq 4t_2 \end{aligned} \quad \left. \begin{array}{l} \text{unabhängig von } \beta \end{array} \right.$$

Damit sind die Nachweissachen gegeben. Ein Beispiel soll den Bezeichnungsgang erläutern. Gegeben seien auf der Basis von Kap. 1.52 z.B.:

$$\begin{aligned} D &= 50 \text{ kN} \\ b &= 160 \text{ mm} \\ \beta &= 40^\circ \rightarrow \cos \beta = 0,77 \\ \text{langfristige Lasten: } C_D &= 1,0 \\ \text{direkt bewittert: } C_W &= 0,8 \end{aligned}$$

Für den einfachen Versatz ist damit:

$$\begin{aligned} v &\geq \frac{50 \cdot 10^3 \cdot 0,77}{160 \cdot 0,6 \cdot 1,0 \cdot 0,8} = 500 \text{ mm} \\ t &\geq \frac{50 \cdot 10^3 \cdot 0,77}{160 \cdot 5,0 \cdot 1,0 \cdot 0,8} = 60 \text{ mm} \\ &\quad \uparrow \delta_{dd} \text{ für } \alpha = 40^\circ / 2 = 20^\circ \text{ lt. B)} \\ d &\geq \frac{50 \cdot 10^3}{160 \cdot 2,8 \cdot 1,0 \cdot 0,8} = 140 \text{ mm} \\ &\quad \uparrow \delta_{dd} \text{ für } \alpha = \beta = 40^\circ \text{ lt. B)} \\ h &\geq 4 \cdot 60 = 240 \text{ mm} \end{aligned}$$

Für einen doppelten Versatz gilt analog:

$$\begin{aligned} v &\geq 500 \text{ mm} \\ t &\geq \frac{50 \cdot 10^3 \cdot 0,77}{160 \cdot 4,1 \cdot 1,0 \cdot 0,8} = 73 \text{ mm} \quad \begin{array}{l} t_1 = 30 \text{ mm} \\ t_2 = 43 \text{ mm} \end{array} \\ &\quad \uparrow \delta_{dd} \text{ für } \alpha = \frac{3}{4} \cdot \beta = 27^\circ \text{ lt. B)} \\ d &\geq 140 \text{ mm} \\ h &\geq 6 \cdot 30 = 180 \text{ mm maßgebend} \\ h &\geq 4 \cdot 43 = 172 \text{ mm} \end{aligned}$$

Zeichnet man diese beiden Möglichkeiten auf, erkennt man, dass der doppelte Versatz vom Platzbedarf her geringere Anforderungen stellt. Hingegen sind naturnaherweise die Ansprüche an die Genauigkeit der handwerklichen Arbeit größer. Selbstverständlich sind die ermittelten Abmessungen der Holzer auf Norm-Maße und die Einschütt-tiefen auf vernünftige Weise aufzurunden.

## 2.3 Stabförmige Verbindungs-mittel

### 2.3.1 Allgemeines

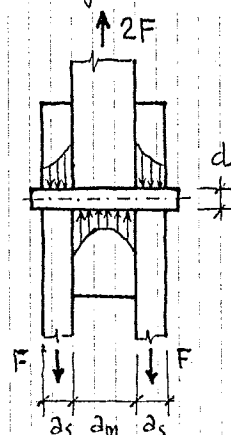
Nägel, Bolzen und Schrauben (siehe 2.12) sind sog. stabförmige Verbindungsmitte: Sie sind in ihrer Grundform schon sehr alt. Der moderne Stahlstift hat lediglich gegenüber dem alten Holznagel beträchtlich höhere Tragfähigkeit. Gemeinsame Merkmale stabförmiger Verbindungsmitte sind:

- zylindrische Form
- Belastung senkrecht zur Axe des Verbindungsmitte
- Vorwiegend auf Biegung beansprucht
- Kraftübertragung zwischen Holz und Stab über sog. Lodeleibungsspannung
- Rund- und Zwischenabstände zwischen Verbindungsmitte sind wichtig.

Die Tragfähigkeit von Verbindungen, die von stabförmigen Verbindungsmitte gebaut werden, ist in der Regel abhängig von

- der Anzahl der Stäbe in der Verbindung,
- deren Dicke  $d$ ,
- der Länge des Stabes oder der Dicke der zu verbindenden Holzer
- der Anzahl der beanspruchten "Schlitte"
- dem Winkel zwischen Kraft und Faser abhängig. Dazu kommen wie üblich Holzart, Lastdauer, Holzfeuchtigkeit sowie die Festigkeits-eigenschaften des Verbindungsmitte selbst.

Die Wirkungsweise stabförmiger Verbindungs-mittel lässt sich gut an der folgenden sog. zweischnittigen Verbindung erklären:



Wie man erkennt, wird der Verbindungsstab zweimal, in zwei Schlitte mit je der Kraft  $F$  beansprucht, womit das Verbindungsmitte  $2F$  übertragen kann.

Je steifer der Verbindungsstab ist, das heisst, je dicker in Bezug auf die Gesamtstärke der zu verbindenden Holzer desto gleichmässiger ist die sog. Lodeleibungs-Spannung über die Länge verteilt. Die auf den Stab wirkenden Spannungen beanspruchen ihn auf Biegung, wobei die Biegemomente im wesentlichen proportional zur Stablänge, der Biege widerstand also be-

Kann man Gründen proportional zur 3. Potenz der Stabdicke  $d$  und zur Festigkeit des Stabmaterials ist. Legt man gewisse Proportionen zwischen Stabdicke und Holzstärken fest (was zB bei Nägeln durch geometrische Gründe von vornherein gegeben ist), ist zu erwarten, dass die Tragfähigkeit eines Schuhes im Prinzip gegeben ist durch

$$F = K \cdot d^\alpha$$

Dieser einheitliche Ansatz ist typisch für die Norm SIA 164, wobei die Konstante  $K$  und der Exponent  $\alpha$  vom jeweiligen Verbindungsmittel abhängig ist.

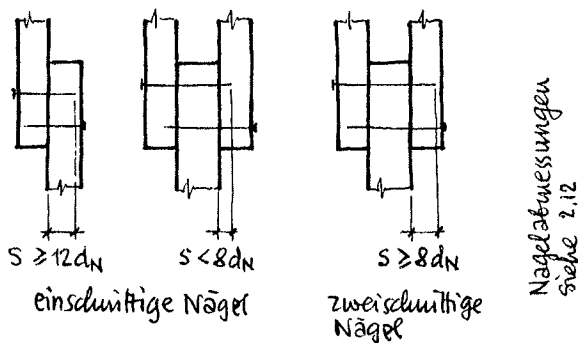
Zu übrigens ist leicht einzusehen, dass auch die Steifigkeit bzw. der Verschiebungsmodul der Verbindung grundsätzlich eine ähnliche Form haben muss.

Zusätzlich zum Nachweis der zulässigen Tragkraft des Verbindungsmittels selbst ist natürlich auch die Beanspruchung des Holzes im Verbindungsgebiet unter Berücksichtigung allfälliger Schwankungen und Verformungen zu überprüfen.

## 2.32 Nagelverbindungen

### a) Nagelanordnung

Man unterscheidet einschlämige und zweischlämige Verbindungen, wobei als Grundsatz gilt dass ein Schuh nur dann als tragend gezählt werden darf, wenn der Nagel mindestens um  $s$  in das benachbarte Holz eindringt, wobei  $d_N$  der Durchmesser des Nagels ist. Darauf gilt das folgende:



In Nagelverbindungen sind gewisse Nagelabstände einzuhalten. Dies darf man nicht dem Zufall überlassen. Man zeichnet deshalb Nagelbilder und nagelt entsprechend, unter Umständen nach Schablone.

Bei der Festlegung der Nagelabstände ist zunächst zu unterscheiden, ob die Nägel vorbohrt werden oder nicht. Daraus ist zwischen Abständen in Faserrichtung und senkrecht dazu zu unterscheiden. Bei Raumabständen ist im

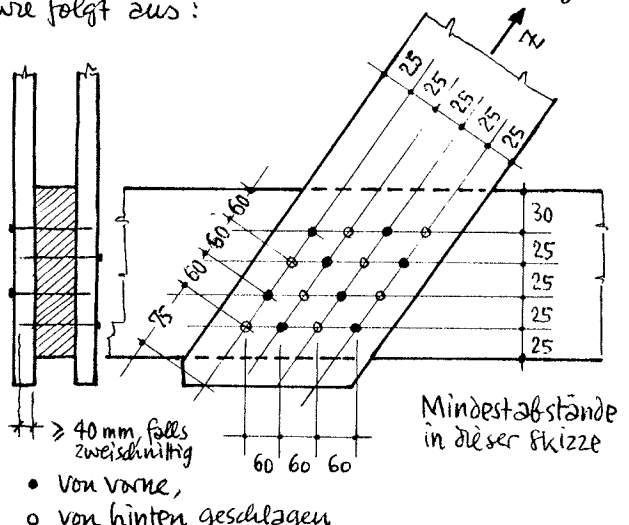
Übrigen zu berücksichtigen, ob der Raum "belastet" oder "nicht belastet" ist.

Es gelten folgende Werte:

	ohne Vorbohrung	mit Vorbohrung
Abstand von Nagel zu Nagel	12d_N ⊥ 5d_N	7d_N 4d_N
Abstand vom belasteten Raum	15d_N ⊥ 6d_N	10d_N 6d_N
Abstand vom unbelasteten Raum	9d_N ⊥ 5d_N	7d_N 4d_N

Die größten Abstände sollen in Faserrichtung 40 dN und senkrecht zur Faser 20 dN nicht überschreiten.

Ein typisches Nagelbild für  $d_N = 5 \text{ mm}$  (beispielweise) sieht dann ohne Vorbohrung wie folgt aus:



Die Nägel werden beim Nageln um mindestens einen halben Nageldurchmesser seitlich von der Systemlinie versetzt.

### b) Holzstärken

Bei Nagelverbindungen müssen gewisse Mindestholzstärken eingehalten werden, einerseits um die Spaltgefahr zu bauen, andererseits im Hinblick auf die Tragfähigkeit von Nagelverbindungen selbst. Die Norm SIA 164 gibt hierzu folgende Werte:

$$\min s = (3 + 0,8 \cdot d_N) \cdot d_N \geq 24 \text{ mm}$$

für Massivholz und Brettschichtholz sowie  $\frac{2}{3}$  dieses Wertes für gekreuzte Brettlagen in Nagelträgern und Brettsperrholz. In diesem letzteren Fall muss jedoch die Dicke eines Brettes oder die Dicke des Brettsperrholzes mindestens 18 mm betragen.

Die sich aus obengeschilder Formel ergebenden Werte sind in der Tabelle unter 2.12 eingeblättert.

### c) zulässige Belastung

Der Grundwert der zulässigen Belastung eines Nagels auf Abscheren beträgt gemäß Norm SIA 164 pro Schmitt

$$F_N = 50 \cdot d_N^{1.7}$$

womit  $F_N$  in N für  $d_N$  in mm. Dieser Wert ist unabhängig vom Winkel zwischen Kraft und Faserstellung. Für die üblichen Nagel-Durchmesser ergibt sich:

$d_N$	3,1	3,5	4,0	4,5	5,0	5,5	6,5	7,0	7,5	8,5	mm
$F_N$	340	420	530	640	770	910	1200	1370	1540	1900	N

Diese Werte sind gültig für geschlitzte Bauteile und langfristige Lasten ( $C_D = 1,00$ ;  $C_W = 1,00$ ). Sind diese Voraussetzungen nicht erfüllt, ergibt sich mit den zugehörigen Werten von  $C_D$  und  $C_W$

$$\text{zul } \bar{F}_N = F_N \cdot C_D \cdot C_W.$$

In der unter a) skizzierten Verbindung sind insgesamt 16 Nägel vorhanden, je 8 von beiden Seiten. Sofern diese zwei schichtig wirken ( $s \geq 8d_N = 40 \text{ mm}$ ), sind demnach 32 Schnitte wirksam, die bei  $d_N = 5 \text{ mm}$  in geschlitzter Umgebung kurzfristig beispielsweise

$$\text{zul } \bar{F}_N = 32 \cdot 770 \cdot 1,25 \cdot 1,0 = 30'800 \text{ N} = 30,8 \text{ kN}$$

übertragen können.

Die zulässige Belastung von Nagelgruppen ist um 10% zu reduzieren, wenn mehr als 10 Nägel hintereinander angeordnet werden. Mehr als 20 Nägel in einer Reihe sind zu vermeiden.

Bei vorgebohrten Nägeln ist bei Kraftangriff parallel zur Faser eine Erhöhung der zulässigen Belastung um 20% gestattet.

Eine zusätzliche Erhöhung um 20% ist im übrigen zulässig für (stets vorgebohrte) Nägel in Eiche oder Buche.

Weitere Regeln und Hinweise auf Spezialfälle enthält die Norm SIA 164.

### d) Verformungen

Die Verformung von Nagelverbindungen ist durch einen Sollkopf von

$$s = 0,5 \pm 1,0 \text{ mm}$$

sowie pro Nagel und Schmitt durch einen Verschiebungsmodul von

$$C = 40 d_N^{1.7} \text{ in N/mm}$$

gekennzeichnet. Diese Werte gelten für kurzfristige Lasten.

Für die unter a) skizzierte Verbindung ist deshalb unter einer kurzfristig wirkenden Last  $Z = 30 \text{ kN}$  bei 32 Schnitten eine Verschiebung von

$$w \approx 0,5 + \frac{30'000}{32 \cdot 40 \cdot 5^{1.7}} = 0,5 + 1,5 \approx 2 \text{ mm}$$

zu erwarten.

Bei Vorböhrung darf mit einem Verschiebungsmodul von

$$C = 60 \cdot d_N^{1.7} \text{ N/mm}$$

gerechnet werden.

### e) Kontrolle im Holz

Für die Kontrolle der Beanspruchung im Holz im Bereich des Auschlusses ist der Netto-Querschnitt zugrunde zu legen und die Kerbwirkung zu berücksichtigen. Die Beanspruchungen sind jedoch in der Regel klein.

Für den unter a) skizzierten Anschluss ergibt sich zB bei Seitenholztem 50/140 und vier Nägeln  $d_N = 5 \text{ mm}$  quer zur Kraftrichtung eine Netto-Querschnittsfläche von

$$A_n = 50(140 - 4 \cdot 5) = 6000 \text{ mm}^2$$

Diese Querschnittsfläche wird durch zB

$$\frac{Z}{2} = \frac{30}{2} = 15 \text{ kN}$$

kurzfristig beansprucht, womit

$$\text{vorch } \bar{\sigma} = \frac{15 \cdot 10^3}{6000} = 2,5 \text{ N/mm}^2.$$

Dieser Spannung steht ein zulässiger Wert gegenüber, der bei einem Kerbfaktor

$$C_K = 0,8 \quad (\text{siehe 1,54 d)})$$

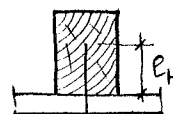
mit  $C_D = 1,25$  beträgt

$$\text{zul } \bar{\sigma}_{zII} = 8,5 \cdot 0,8 \cdot 1,25 = 8,5 \text{ N/mm}^2.$$

Wie man erkennt, ist man in diesem Beispiel noch weit von einer vollen Ausnutzung des Querschnitts entfernt.

### f) Nägel auf Zug

Nägel haben auf Herauszischen nur einen sehr geringen und unzulässigen Widerstand, der im übrigen durch Schwaden des Holzes weiter vermindert wird. Glattschärfte Nägel dürfen kurzfristig mit



$$F_{N,z} = 1,0 \cdot d_N \cdot l_H$$

belastet werden, sofern sie in trockenem Holz eingeschlagen würden. In dieser Formel ergibt sich mit  $d_N$  und  $l_H$  in mm die zulässige Kraft  $F_{N,z}$  in N. Falls die Nägel in feucht aufgetrocknetes Holz eingeschlagen werden und das Holz weiter austrocknen kann, muss die Kraft mindestens auf die Hälfte herabgesetzt werden.

## 2.33 Passbolzen und Passschrauben

Unter Passbolzen werden runde, glänzende oder verzinkte Stahlzylinder verstanden, die in Knapp sitzend vorgebohrte Löcher getrieben werden. Passschrauben haben die unter 2.12 für Bauschrauben angegebenen Abmessungen und werden ebenfalls in Knapp Bohrlöcher gesetzt.

Für Passbolzen- und Passschraubenverbindungen gilt in mancher Beziehung ähnlich wie für Nagelverbindungen, sodass wir uns hier kurz halten können.

Ähnlich wie für Nägel sind minimale Abstände einzuhalten. Es gilt nach Norm SIA 164 folgendes mit  $d_s$  = Durchmesser ( $\leq 30\text{ mm}$ ):

Abstand von Bolzen zu Bolzen bzw Schraube	Faser	$6,0 \cdot d_s$
	$\perp$ Faser	$3,5 \cdot d_s$
Abstand vom belasteten Rand	Faser	$8,0 \cdot d_s$
	$\perp$ Faser	$5,0 \cdot d_s$
Abstand vom unbefestigten Rand	Faser	$6,0 \cdot d_s$
	$\perp$ Faser	$3,5 \cdot d_s$

Bei einschüttigen Verbindungen soll die minimale Holzdicke betragen

$$\min d = 4,5 \cdot d_s \text{ bei Kraftangriff } \parallel \text{Faser} \\ = 6,0 \cdot d_s \text{ bei Kraftangriff } \perp \text{Faser}$$

Bei mehrschüttigen Verbindungen sollen die Außenhölzer

$$\min d = 4,0 \cdot d_s \text{ bzw } 5,3 \cdot d_s, \\ \text{die Innenhölzer}$$

$$\min d = 6,0 \cdot d_s \text{ bzw } 8,0 \cdot d_s$$

jeweils erster Wert für Kraftangriff  $\parallel$  zur Faser zweiter für solchen  $\perp$  zur Faser. Dazwischen darf interpoliert werden.

Sofern diese Bedingungen eingehalten sind, beträgt der Grundwert für die zulässige Belastung von Passbolzen und Passschrauben pro Schmitt:

$$F_{SII} = 44 \cdot d_s^{1,7} = \begin{array}{|c|c|c|c|c|c|c|} \hline & M12 & M14 & M16 & M18 & M20 & M22 \\ \hline 3,01 & 3,91 & 4,90 & 5,99 & 7,16 & 8,43 & \\ \hline \end{array} \text{ KN} \\ F_{SI} = 50 \cdot d_s^{1,5} = \begin{array}{|c|c|c|c|c|c|c|} \hline & M12 & M14 & M16 & M18 & M20 & M22 \\ \hline 2,08 & 2,62 & 3,20 & 3,82 & 4,47 & 5,16 & \\ \hline \end{array} \text{ KN}$$

für Kraftangriff parallel bzw senkrecht zur Faser. Hierin ist wieder  $d_s$  in mm einzusetzen, womit sich  $F_S$  in N ergibt.

Für  $d_s = 20\text{ mm}$  ergibt sich damit beispielsweise

$$F_{SII} = 7165 \text{ N} = 7,17 \text{ KN}$$

$$F_{SI} = 4472 \text{ N} = 4,47 \text{ KN}$$

Greift die Kraft unter einem Winkel  $\alpha$  schräg zur Faser an, ist in Funktion von  $\alpha$  linear zu interpolieren.

Die Werte gelten wieder für langfristige Be-

lastung und geschrückte Bauteile. Sind diese Voraussetzungen nicht erfüllt, ergibt sich mit den zutreffenden Werten von  $C_D$  und  $C_W$

$$\text{zur } F_S = F_S \cdot C_D \cdot C_W.$$

Bei Bolzen oder Schrauben in Eiche und Buche dürfen die Werte um 20% erhöht werden. Sie sind jedoch zu reduzieren, falls mehr als 5 Bolzen oder Schrauben in einer Reihe angeordnet sind, und zwar um 2% pro Bolzen bzw Schraube. Mehr als 10 Bolzen bzw Schrauben in einer Reihe dürfen nicht in Reduzierung gestellt werden.

Der Schlupf einer Passbolzen- bzw Passschraubenverbindung ist nahezu Null. Der Verschiebungsmodul beträgt - wie bei vorgebohrten Nägeln - für Kurzfristige Belastung

$$C = 60 \cdot d_s^{1,7} \quad \text{N/mm}$$

pro Schmitt.

Die Norm SIA 164 enthält Tabellen mit allen interessierenden Werten.

## 2.34 Bauschrauben

### a) Bauschrauben als Scherverbindung

Werden Bauschrauben (wie die vorstehend beschriebenen Passbolzen oder Passschrauben oder wie Nägel) als Scherverbindung verwendet, gelten die unter 2.33 angegebenen Holzdicken und Abstände. Lediglich die Grundwerte der zulässigen Belastung sind mit

	M12	M14	M16	M18	M20	M22
$F_{BII}$ = $40 \cdot d_s^{1,7}$	2,73	3,55	4,46	5,45	6,51	7,66
$F_{BI}$ = $45 \cdot d_s^{1,5}$	1,87	2,36	2,88	3,44	4,02	4,22

und 10% kleiner als bei Passbolzen. Dies liegt daran, dass Bauschrauben in Löcher mit bis zu 1mm Lochspiel eingesetzt werden, womit der Sitz und die Spannung im Holz nicht mehr voll gewährleistet ist.

Zur Sicherung der Tragwirkung, die sich ohne Riss erst bei grösseren Verformungen einstellt, sind im übrigen stets Untlagschichten (siehe 2.12) anzuordnen.

Der Schlupf  $s$  der Verbindung liegt etwa beim doppelten Wert des Lochspiels, also bei  $s = 1,0$  bis  $2,0\text{ mm}$ . Der Verschiebungsmodul ist gleich gross wie bei Passbolzen bzw. Passschrauben.

### b) Bauschrauben auf Zug

Werden Bauschrauben (oder entsprechende Gewindestangen) auf Zug in Richtung der Schraubenachse beansprucht, zB beim Aufhängen von Lasten (siehe zB 2.21, Spalte 10), ist zu beachten, dass der maßgebende Querschnitt der Schraube

im Gewinde liegt ( $A_{sp}$  = Spannungsquerschnitt siehe 2.12, Spalte 2 unten). Dieser ist natürlich kleiner als der nominelle Querschnitt A des Schraubenschafts.

Zu übrigen bestimmt auch die Größe der Unterlagscheibe A<sub>us</sub> die zulässige Zugkraft in der Bauschraube, da die Kraft ausreichend bis auf die zulässige Bruchspannung im Holz quer oder schräg zur Faser abgenützt werden muss. Die zulässige Zugkraft in einer Bauschraube beträgt damit

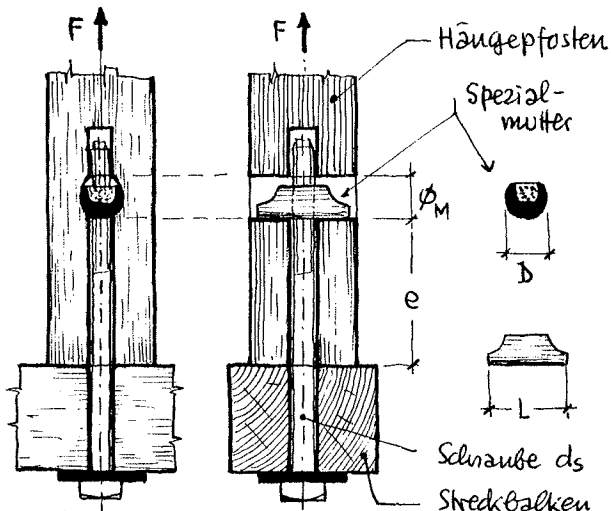
$$F_{Bz} = A_{sp} \cdot \text{zul } \bar{\sigma}_t$$

$$F_{Bz} = A_{us} \cdot \bar{\sigma}_{da}$$

wobei der kleinere Wert maßgebend ist. Der Wert  $\bar{\sigma}_{da}$  kann 2.27 b) entnommen werden unter Berücksichtigung von  $C_D$  und  $C_W$ . Die zulässige Zugspannung  $\text{zul } \bar{\sigma}_t$  im Spannungsquerschnitt  $A_{sp}$  hängt vom Schrauben-Material ab. Für übliche Qualitäten gilt  $\text{zul } \bar{\sigma}_t = 150 \text{ N/mm}^2$ .

### c) SIMPLEX-Verbinder

Für Zugverbindungen, zB zwischen Hängepfosten und Streckbalken (siehe zB Spalte 10 unten) gibt es für mäßig grosse Kräfte den sog. SIMPLEX-Verbinder handelsüblich zu kaufen:



Kernstück der Verbindung ist eine in ein rundes Bohrloch passende Schraubenmutter aus Gussstahl. Über die Abmessungen sind die folgenden:

Schraube ds mm	8	12	16	20	24	30
Spezialmutter:						
D mm	14	22	30	38	48	58
L mm	30	52	74	92	112	136
Ø <sub>M</sub> mm	15	24	32	40	50	60
Abstand e mm	60	80	110	140	160	210
zul F kN	2,5	6,5	10	16	20	32

Der Simplex-Verbinder ist in der Norm SIA 164 nicht geregelt. Die in vorstehender Tabelle angegebene zulässige Belastung zul F ist je-

doch im Rahmen dieser Norm durchaus vertretbar (Angaben der Herstellerfirma).

Besonders zu beachten sind die Pressungen unter der Unterlagscheibe und die Spannung im Holz im Bereich des Lochs für die Spezialmutter, wobei auch die Kerbwirkung zu beachten ist.

Als Beispiel für den entsprechenden Nachweis sei  $d_s = 20 \text{ mm}$  gewählt. Wegen der Länge der Spezialmutter mit  $L = 92 \text{ mm}$  ist mindestens ein Pfostenquerschnitt von 100/100 erforderlich. Der Nettoquerschnitt beträgt im Lochbereich

$$A_n = 100(100 - 40) = 6000 \text{ mm}^2$$

Die Normalspannung im Nettoquerschnitt beträgt unter zul F = 16 kN

$$\text{vorch } \bar{\sigma}_{z||} = \frac{16 \cdot 10^3}{6000} = 2,67 \text{ N/mm}^2$$

Als zulässige Spannung ergibt sich mit

$$\text{zul } \bar{\sigma}_{z||} = 8,5 \text{ N/mm}^2$$

einem Kerbfaktor von

$$c_K = 0,7 \quad (\text{siehe 1.54 d)})$$

für Dauerlast und direkt bewehrte Bauteile

$$\text{zul } \bar{\sigma}_{z||} = 8,5 \cdot 0,7 \cdot 0,8 = 4,76 \text{ N/mm}^2$$

Die hier untersuchte Situation ist demnach zulässig. Allerdings müsste der Zimmermann bei der Ausführung darauf achten, dass im kritischen Bereich nicht auch gerade noch ein zusätzlich schwächender Ast ist.

## 2.35 Holzschrauben

Holzschrauben (siehe 2.12) werden im Prinzip wie einschlägige Nägel (siehe 2.32) verwendet. Die Norm SIA 164 behandelt Holzschraubenverbindungen deshalb auch in mancher Beziehung ähnlich wie Nagelverbindungen.

Dies gilt vor allem für die minimalen Holzabmessungen und die Abstände der Holzschrauben untereinander und von den Rändern, für die die für vorgebohrte Nägel gültigen Werte unverändert übernommen werden.

Die zulässige Belastung von Holzschrauben hingegen entspricht genau den für Bauschrauben (siehe 2.34) zulässigen Werten, wobei lediglich für d<sub>b</sub> die Schraubendicke d der Holzschraube einzusetzen ist. Das gleiche gilt für Schlupf und Verformungsmodul der Verbindung.

Für Holzschrauben auf Zug in Schaftrichtung gilt hingegen

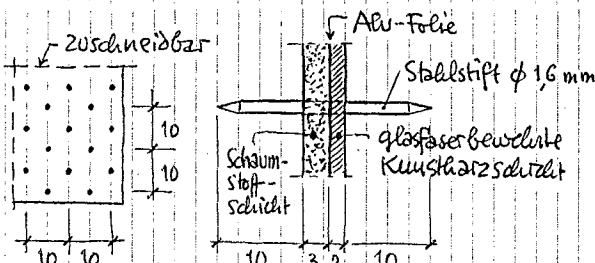
$$F_{H,z} = 3 \cdot d \cdot l_a \quad \text{N bei } d \text{ und } l_a \text{ in mm}$$

wobei l<sub>a</sub> die wirksame, das heißt wirklich auf Zug einbindende (fassende) Länge des Schraubgewindes ist. Natürlich ist dieser Wert weit grösser als für Nägel (siehe 2.32 f)).

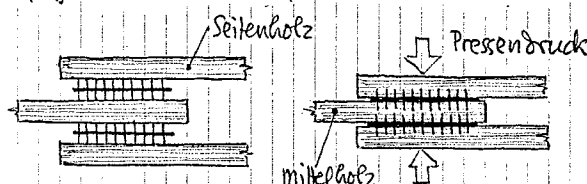
## 2.4 Sonderformen von Nagelverbindungen

### 2.4.1 System Menig

Das System Menig besteht aus sog. Menig-Nagelplatten. Zu einer zweidimensionalen, rund 5 mm dicke und auf rd 3 mm zusammenpressbare Hölzplatte sind in Abständen von  $10/\sqrt{2} = 7,07$  mm beidseitig zugespitzte Dratstifte von 1,6 mm Durchmesser eingesetzt:



Die nur für die Verbindung von Nadelholzern geeigneten Nagelplatten werden (auf Maß zugeschnitten) zwischen die zu verbindenden Hölzer gelegt. Durch Pressdruck werden dann die Stifte eingedrückt. Die Hölzplatte sorgt dafür, dass die Stifte beidseitig gleichmäßig ins Holz eingreifen:



Menig-Nagelplatten gibt es im Standardformat von 500 x 750 mm, die man auf beliebige kleinere Formate zuschneiden kann. Als kleinste Größe sollen jedoch  $35 \text{ cm}^2$  bzw. mindestens 50 mm Breite nicht unterschritten werden. Größere Seitenlängen als 250 mm sind zu vermeiden.

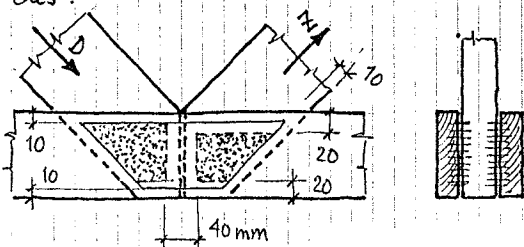
Die Holzstücke sollen in folgenden Abständen liegen:

- Seitenhölzer :  $24 \leq d \leq 80 \text{ mm}$
- Mittelhölzer :  $38 \leq d \leq 80 \text{ mm}$

Die Nagelplatten sollen kleiner als die Kontaktfläche der zu verbindenden Hölzer sein und zwar sollen folgende Randsabstände eingehalten werden:

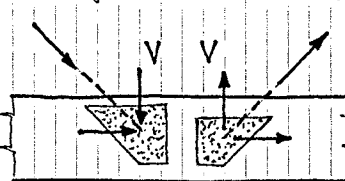
- Beausprichtete Ränder : 20 mm
- unbeausprichtete " " : 10 mm

Ist dies - z.B. aus technischen Gründen - nicht möglich, sind diese Randsabstände reduziert bei der Ermittlung der wirkenden Auschlussfläche in Abzug zu bringen! Ein typischer Knoten eines "dreidimensionalen" Fachwerks sieht damit wie folgt aus:



Eingezeichnet ist in vorstehender Skizze die effektive Größe der Nagelplatte und angedeutet die wirkende Auschlussfläche, die sich aus der Bedeutung der Randsabstände zum belasteten Rand ergeben. Zu beachten ist in vorstehender Skizze zusätzlich zweitens: einmal sind die Stäbe nicht "zentriert", d.h. die Stabachsen kreuzen sich nicht in einem Punkt, zum anderen ist auch die Auschlussfläche nicht zentral, das heißt mit ihrem Schwerpunkt auf der Stabaxe platziert. Beides erzeugt Biegemomente in den Stäben, was bei deren Bemessung zu berücksichtigen ist.

Zudem ist zu beachten, dass bei Menig-Knoten die durchlaufenden Hölzer auch die Funktion sog. Knotenplatten übernehmen müssen, indem sie die Übertragung der Kräfte aus der einen Stabe in die andere besorgen. Dies erzeugt neben den bereits erwähnten Biegemomenten zusätzlich erhebliche



Querkräfte V in den durchlaufenden Hölzern zwischen den beiden Auschlussflächen. Entsprechende Schubspannungen

$\tau$  müssen kleiner als zulässige Werte bleiben, die gemäß 1.53 in der Größenordnung von rd  $\tau = 1,0 \text{ N/mm}^2$  liegen.

Schliesslich interessiert natürlich die zulässige Auschlusskraft, für welche allerdings die Norm SIA 164 keine Angaben liefert. Aus Versuchen hat sich ergeben, dass mit Auschluss-Scherspannungen von  $\tau = 1,0 \text{ N/mm}^2$  in Faserrichtung und mit  $0,75 \text{ N/mm}^2$  quer zur Faser gerechnet werden darf. Mit  $A_w$  = wirkender Auschlussfläche (bedeutet  $2 \times$  die in obenstehender Skizze markierte Fläche, da Nagelplatten in zwei Ebenen), ergibt sich damit

$$F_{MII} = 1,0 \cdot A_w$$

$$F_{MI} = 0,75 \cdot A_w$$

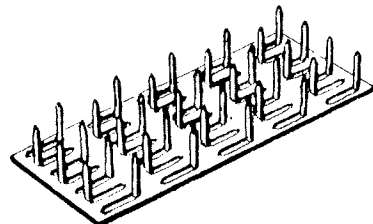
jeweils in N für  $A_w$  in  $\text{mm}^2$ . Für andere Winkel  $\alpha$  wird die Kraft und Faserrichtung darf geradlinig interpoliert werden.

Menig-Nagelplatten werden vorwiegend bei der Herstellung von leichten Fachwerkbrücken verwendet und haben sich als zweckmäßig und zuverlässig erwiesen. Besonders von Vorteil ist, dass von der eigentlichen Verbindung Oberflächen nicht stützbar ist.

Für die Ausführung von Menig-Knotenplattenverbindungen sind spezielle Einrichtungen und insbesondere Pressvorrichtungen nötig, sodass spezialisierte Betriebe für die Ausführung zuzuziehen sind.

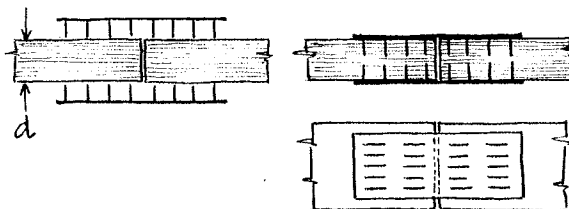
## 2.4.2 Gang-Nail-System

Audi das Gang-Nail-System verwendet Nagelplatten, hier jedoch aus dünnen, galvanisch verzinkten Stahlblechen, aus welchen nagelförmige Schlitze herausgestanzt und einseitig in Form von Nägeln herausgebogen werden:



Gang-Nail-Platten gibt es in verschiedenen Größen und verschiedenen Blechdicken bzw. Nagellängen.

Auch Gang-Nail-Platten werden mit Pressen in die zu verbindenden Hölzer eingequetszt, hier jedoch beidseitig, womit "einsichtige" Konstruktionen möglich werden:



Die in den Hölzern wirkenden Kräfte werden demnach durch die Nägel "aus dem Holz herausgenommen" und im gelodeten Blech "über die Stoßstelle geführt" und dann wieder an das nächste Holz "abgegeben". Die gelodeten Stahlbleche wirken demnach als Láschen, die den Stoß überbrücken, und gleichzeitig als gemeinsamer "Nagelkopf" aller Nägel.

Bei der Bemessung von Gang-Nail-Verbindungen sind deshalb die zwei Funktionen zu beachten:

- 1) Übertragung der Kräfte vom Holz via Nagel auf die Láscheplatte, wobei die wirksame Auschlussfläche wieder aus der Brutto-Kontaktfläche des Blechs mit dem Holz durch Abzug eines 10 mm breiten Randstreifens von den freien Kanten und Berührungsflächen der Hölzer gewonnen wird.
- 2) Weiterleitung der Kräfte in der Láscheplatte, wobei die Richtung der Kräfte in Bezug auf die Richtung der Schlitze zu beachten ist.

Eine Gang-Nail-Verbindung kann aus beiden Gründen (zB im Versuch) zu Bruch gehen:

- durch Ausreissen oder Abscheren der Nägel
- durch Bruch der als Knotenbleche wirkenden, durch die Löcher geschnittenen Bleche.

Es ist Sache einer korrekten Bemessung und Anordnung der Gang-Nail-Platten, dieses Ver sagen mit gewisser Sicherheit zu verhindern. In diesem Sinne sind die nachfolgenden Angaben zu beachten.

Gang-Nail-Platten gibt es in drei verschiedenen Typen mit den folgenden charakteristischen Werten:

Bezeichnung:		GN 20	GN 18	GN 14
Blechstärke	mm	1,00	1,25	2,00
Nagellänge	mm	9,5	14,3	20,2
Nagelabstand	längs mm	14,3	19,8	33,1
	quer mm	6,3	7,1	9,5

Die Längen und Breiten der Platten sind jeweils ein Vielfaches der entsprechenden Nagelabstände mit den folgenden Minimal-Messungen:

GN 20: 25/58 mm  
GN 18: 35/59 mm  
GN 14: 38/100 mm } längere Seite stets in Längsrichtung.

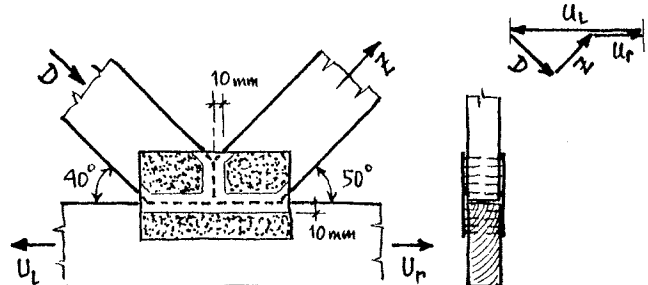
Die Holzdicke  $d$  muss natürlich der Nagellänge angepasst werden:

GN 20:  $d \geq 30$  mm  
GN 18:  $d \geq 35$  mm  
GN 14:  $d \geq 47$  mm

Die von einer Gang-Nail-Platte übertragbare Kraft  $F$  [N] kann - wie bei der Meißig-Nagelpalte - aus der wirksamen Auschlussfläche  $A_w$  bestimmt werden. Es gilt damit

$$F_{GN} = T \cdot A_w$$

Auch hier ist die wirksame Auschlussfläche durch Abzug eines 10 mm breiten Abstands zu Holzrändern aus der eigentlichen Kontaktfläche ermittelt werden, wobei die gekennzeichnete Fläche zweimal gezählt werden darf, da beidseitig Platten angeordnet sind.



Bei der Festlegung der zulässigen Scherspannung  $T$  [ $\text{N/mm}^2$ ] sind zwei Winkel zu berücksichtigen, und zwar

$\alpha$  = Winkel zwischen Kraft und Plattenlängsrichtung

$\beta$  = Winkel zwischen Kraft und Faserrichtung.

Für die obenstehende Figur ergibt sich beispielsweise für den Auschluss von

$$\text{z: } \alpha = 50^\circ, \beta = 0$$

$$\text{D: } \alpha = 40^\circ, \beta = 0$$

$$(U_L - U_R): \alpha = 0, \beta = 0$$

Die zulässige Scherspannung  $T$  ergibt sich

beispielsweise für die stärkste Aug-Nail-Platte GN 14 (aus der in Deutschland erteilten Zulassung) aus folgender Tabelle in N/mm<sup>2</sup>:

T [N/mm <sup>2</sup> ]	α zwischen Kraft und Plattenrichtung							
	0°	15°	30°	45°	60°	75°	90°	
β = 0°	1,20	1,12	1,04	0,96	0,88	0,80	0,72	
↑ 15°	0,86	0,86	0,86	0,86	0,86	0,80	0,72	
≥ 30°	0,60	0,60	0,60	0,60	0,60	0,60	0,60	

Winkel zwischen Kraft und Faserrichtung

Obige Tabelle gilt mit guter Genauigkeit auch für den Typ GN 18 (schwächere, aber mehr Nägel pro Flächeneinheit).

Für die Kontrolle der Beanspruchung der Holzplatte werden zunächst die einseitig eines als kritisch angesehenen Schnittes der Länge a angreifenden Kräfte in eine Komponente N (senkrecht zum Schnitt) und eine solche V (parallel zum Schnitt) zerlegt. Durch Division mit der Schnittlänge a erhält man bezogene Kräfte

$$n = \frac{N}{a} \quad \text{und} \quad v = \frac{V}{a}$$

jeweils in N/mm. Diese Werte werden mit zugelassenen Werten zu n und zu v verglichen, die von der Lage des Schnittes bzw. dem Winkel γ zwischen Schnitt und Plattenlängsrichtung abhängig sind gemäß folgender (für den Typ GN 14 geltender) Tabelle:

γ	zul. n N/mm		zul. v N/mm	
	0	15	30	45
0°	53	46		
15°	53	49		
30°	53	53		
45°	53	63		
60°	88	74		
75°	123	66		
90°	158	58		
105°	123	30		
120°	88	30		
135°	53	30		
150°	53	30		
165°	53	30		
180°	53	46		

Für die kleineren Typen GN 18 und GN 20 gelten kleinere Werte (siehe entsprechende Unterlagen). Sofern n und v gleichzeitig auftreten, muss folgende Interaktionsformel erfüllt sein:

$$\left(\frac{n}{zul\ n}\right)^2 + \left(\frac{v}{zul\ v}\right)^2 \leq 1$$

Ist n eine Druckkraft, wird dem Blech häufig nur die halbe Größe zugewiesen in der Annahme, dass die andere Hälfte direkt durch

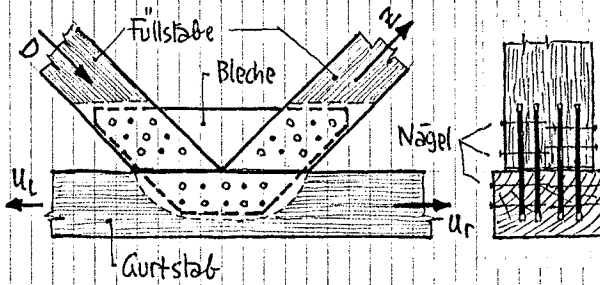
Druckkontakt zwischen den Holzern übertragen wird. Dies ist – kleinstmögliche Spaltbreiten beim Zusammenbau vorausgesetzt – unmöglich vor dem Bruch einer Druckverbindung sicher der Fall.

Auch Aug-Nail-Platten werden vorwiegend bei der Herstellung leichter Fachwerkbinden verwendet. Wegen des "einschlägigen" Aufbaus eines solchen Binders ergibt sich ein sehr geringer Holzbedarf und damit eine äußerst wirtschaftliche Bauweise.

Aber auch hier sind spezielle Einrichtungen für den Zusammenbau, insbesondere geeignete Pressen nötig, sodass die Herstellung nur in spezialisierten Werkstätten möglich ist.

## 2.43 System Greim

Auch die Verbindungen nach dem System Greim werden vorwiegend im Fachwerkbau eingesetzt. Die Füllstäbe werden dabei – in der Regel aus Schnittholz – gleich breit gewählt und so zugeschnitten, dass sie knotenzentriert – an die Knotenstäbe stumpf anschließen. Mit dünnen, in festlegbarem Abstand zugleich laufenden Kreissägeblättern werden die Stäbe im Bereich der Knoten mit mehreren, max. 2 mm breiten Schlitten verschoben, in die verzinkte Stahlbleche als Knotenplatten eingeschoben werden können. Die Bleche haben eine Dicke von 1,0 bis 1,75 mm. Dann werden von beiden Seiten Nägel von 2,5 bis ca. 4,2 mm Durchmesser durch Holz und Bleche gerieben, was ohne Vorbohren möglich ist:



Wie man unschwer ein sieht, entspricht jeder ein Blech durchdringende Nagel einer zweischlitzigen Nagelverbindung. In der skizzierten Verbindung ist beispielsweise der Zugstab z insgesamt mit 9 Nägeln geschlossen (4 von vorne, 5 von hinten), die je zwei Bleche durchdringen, insgesamt also 18 Durchdringungen, die je als zwei Schlitze zählen. Die Verbindung des Zugstabes ist demnach 36-schlitzig. Jeder Nagel tragt also viermal, wodurch eine außerordentlich tragfähige und steife Verbindung entsteht.

Für Holzdicken (der durch Sägeschlitte gebrochenen Balken) sowie Nagelabstände gibt das für

Nagelverbindungen unter 2.32 festgehaltene. Da die Verhältnisse in solchen Verbindungen besonders günstig sind, dürfen die dort angegebenen Grundwerte der zulässigen Nagelbelastung um 10% erhöht werden.

Zu den vorne skizzierten Verbindung ergibt sich demnach bei Verwendung von Nägeln 4,0/100 eine zulässige Zugkraft in der Zugdiagonale von

$$\text{zul } Z = 36 \cdot 1,10 \cdot 50 \cdot 4^{1,7} = 20900 \text{ N} = 20,9 \text{ kN}$$

↑ Erhöhung um 10%

Es ist jedoch zusätzlich zu prüfen, ob die Knotenbleie nicht überbeansprucht werden. Dies geschieht nach den Regeln des Stahlbaus. Bei Verwendung der speziellen Circim-Bleche und füralten gewisser Bedingungen ist dies jedoch nicht zu befürchten.

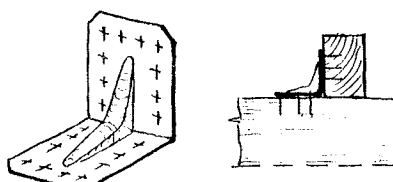
Natürlich muss bei Zugstäben die Schwächung des Brutto-Querschnitts durch die Schlitze und die Kerbwirkung berücksichtigt werden. Bei Druckstäben ergibt sich eine unter Umständen maßgebende Schwächung, weil im Ausdehnungsbereich die Brügesteifigkeit durch das Schlitzen erheblich reduziert wird. Siehe hierzu Kap 3.

Das System Circim ist, wie auch das System Menig und das Gang-Nail-Verfahren, patentiert. Die Herstellung ist vom Vorhandensein der speziellen Säge- bzw. Schlitzmaschine abhängig und damit nur in entsprechend eingerichteten Betrieben möglich, wenigstens wenn man zu einer industriellen Fertigung denkt. In einfachen Fällen können entsprechende Blech-Holz-Verbindungen natürlich in jeder einigermaßen eingerichteten Zimmerei hergestellt werden.

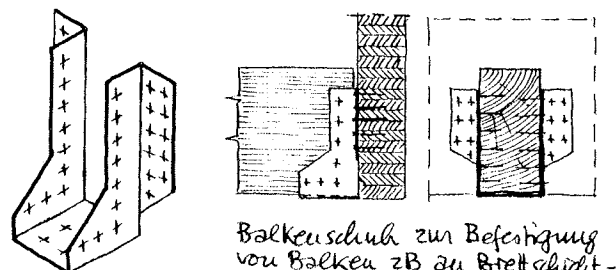
## 2.44 Stahlblech-Formteile

Seit einigen Jahren sind fabrikmäßig vorgefertigte, verzinkte Stahlblech-Formteile auf dem Markt erhältlich, mit denen Ausschlüsse von Holzern untereinander auf einfache Weise ohne aufwendige Holzbearbeitung hergestellt werden können.

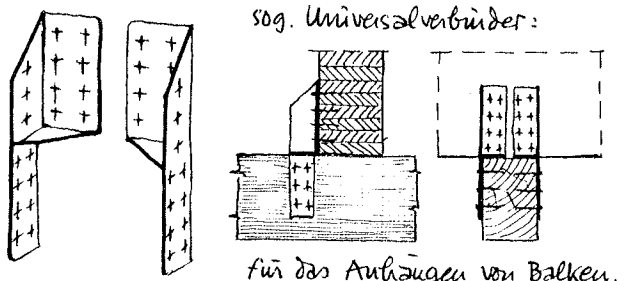
Es ist unverkennbar und nach meiner Meinung bedauerlich, dass damit die Holzbaukunst ins gewissermaßen Primitive abgleitet. Man sollte deshalb versuchen, diese Mittel auszukommen, was in der Regel möglich ist. Zur Sine einer anzustrebenden Vollständigkeit sollen trotzdem einige typische Vertreter dieser Verbindungs hilfsmittel vorgestellt werden:



Winkel-Verbindungsstück mit Rippen-Verstärkung



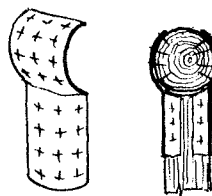
Balkenschuh zur Befestigung von Balken zB zu Brettschichtträgern



für das Anhängen von Balken.

Die Nagelung dieser Verbindungen durch die im Blech vorgebohrten Löcher erfolgt mit der erforderlichen Nageldichte in der Regel mit gerippten oder schraubenförmigen Nägeln, um ein Herausziehen zu verhindern.

Auch für Rundholz-Konstruktionen, wie sie im forstlichen Bauwesen oft vorkommen, gibt es vorgefertigte Verbindungsbleie, von denen hier eine der vielen Varianten, alle auf verschiedene Holzquersymmetriemuster angepasst, skizziert ist.



Eine spezielle Richtung des modernen Holzbau verweist im übrigen Stahlteile und Konstruktionselementen aus Stahl in grossem Ausmaß. Holz spielt in dieser Art des Holzbau - etwas überspielt formuliert - nun noch die Rolle einer Verkleidung von Stahlkonstruktionen. In architektonischer Hinsicht gelingen oft faszinierende Konstruktionen, das ist durchaus zu zugeben, doch von materialgeredeter Holzbaukunst kann hier keine Rede mehr sein.

## 2.5 Dübel-Verbindungen

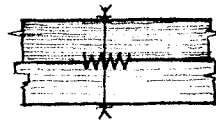
Als Ursprung der Dübel gilt der sog. "Zimmermannsdübel", das sind rechteckige Hartholzklötze, die in vorbereitete Aussparungen eingesetzt werden. Aus diesen wurden moderne Formen entwickelt, die entweder in ausgefräste Aussparungen eingelassen werden (sog. Einlassdübel), oder die mit scharfen Zähnen oder Spitzen ins Holz eingepresst werden (sog. Einpresstdübel):



Zimmermannsdübel  
oft auch in Form von  
Hartholzkeilen. Schrauben  
zur Sicherung



Einlassdübel  
Ringdübel aus Stahl  
Scheibendübel aus Hartholz  
oder Stahl

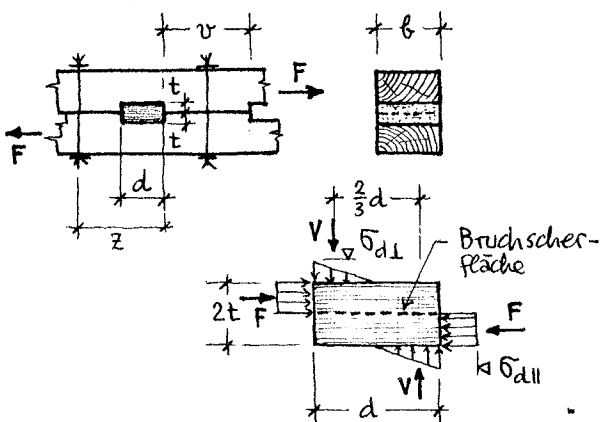


Einpresstdübel  
zB Bulldog-Dübel  
Geka-Dübel etc

Dübel dienen zur schlüpfesten Verbindung von übereinander gelegten Balken (Verdübelter Balken siehe Kap. 3) oder für die Verbindung von Stäben zB in Fachwerkknöten. Sie haben dort eine ähnliche Funktion wie Nägel, Bolzen und Schrauben, nur ist ihre Tragfähigkeit in der Regel wesentlich größer.

## 2.51 Flachdübel

Unter dem Begriff "Flachdübel" werden sowohl Zimmermannsdübel als auch scheibenförmige Dübel aus Hartholz oder Stahl zusammengefasst. Wir betrachten die Wirkungsweise am rechteckigen Zimmermannsdübel:



Die Tragfähigkeit einer Flachdübel-Verbindung wird durch eine Reihe von Größen beeinflusst, die wir unter den Titeln "Dübel",

"Holzteil" und "Schraube" diskutieren:

Der Dübel ist auf Abscheren gefährdet. Die zugehörige Scherspannung muss kleiner als die zulässige Scherspannung bleiben. Daraus ergibt sich

$$\tau_a = \frac{F}{b \cdot d} \leq \text{zul } \bar{\tau}_a$$

Stirnseitig darf die Längsdruckspannung zulässige Werte nicht überschreiten:

$$\sigma_{d11} = \frac{F}{b \cdot t} \leq \text{zul } \bar{\sigma}_{d11}$$

Unter der Wirkung der beiden Kräfte  $F$ , die das Kräftepaar  $F \cdot t$  bilden, will der Dübel aufkippen. Er wird durch das Kräftepaar  $V \cdot \frac{t}{2}$  niedergehalten. Daraus folgt

$$V = 1,5 \cdot F \cdot \frac{t}{d}$$

woraus die Querdruckspannung bei dreieckförmiger Verteilung folgt zu

$$\sigma_{d11} = \frac{2 \cdot V}{b \cdot \frac{1}{2} d} = \frac{6 \cdot F \cdot t}{b \cdot d^2} \leq \text{zul } \bar{\sigma}_{d11}$$

Der Holzteil ist durch die gleichen Längsdruckspannungen beansprucht wie der Dübel. Das gleiche gilt für die Querdruckspannungen. Da das Holzteil in der Regel aus Tannenholtz, der Dübel jedoch aus Hartholz besteht, müssen die beiden Bedingungen für das (weniger tragfähige) Nadelholz erfüllt sein.

Zudem kann das sog. Variflotz zwischen den Dübeln abscheren. Die zugehörige Bedingung lautet:

$$\tau_a = \frac{F}{b \cdot v} \leq \text{zul } \bar{\tau}_a$$

Schliesslich ist die Zugbeanspruchung der das Aufkippen des DüBELS verhindern Schraube zu kontrollieren. Dabei ist zu berücksichtigen, dass die Schraubekraft  $F_B$  am Hebelarm  $z$  wirkt, um das Kippmoment  $F \cdot t$  zu kompensieren. Daraus folgt:

$$F_{B,z} = \frac{F \cdot t}{z} \leq \text{zul } \bar{F}_{B,z}$$

zur Schraube, deren zulässige Kraft nach 2.34 b) ermittelt werden kann, gehört natürlich die ausreichend bemessene Unterlagscheibe.

Die folgenden Grundwerte der zulässigen Spannungen sind einzuhalten:

$$\begin{aligned} \text{zul } \bar{\tau}_a : & \text{ Nadelholz } 0,6 \text{ N/mm}^2 \\ & \text{ Hartholz } 1,0 \text{ N/mm}^2 \end{aligned} \left. \begin{array}{l} \text{siehe 1.53} \\ \text{und} \end{array} \right\}$$

$$\text{zul } \bar{\sigma}_{d11} : 8,5 \text{ N/mm}^2$$

$$\text{zul } \bar{\sigma}_{d11} : 2,0 \text{ N/mm}^2$$

Setzt man diese Werte in vorstehende Formeln ein, ergibt sich die zulässige Kraft  $F$  im Dü-

Bei unter der Voraussetzung, dass

$$d \geq 8,5 \cdot t$$

$$v \geq 1,7 \cdot d$$

(§1, in N zu

$$\text{zul } \bar{F} = 8,5 \cdot b \cdot t \cdot c_D \cdot c_W$$

womit mit den Beiwerten  $c_D$  und  $c_W$  (siehe 1.54) Verhältnisse berücksichtigt werden, die von langfristigen Lasten und geschrägter Lage abweichen.

Sind die Bedingungen bzgl.  $d$  und  $v$  nicht eingehalten, ist die Kraft  $F$  entsprechend proportional abzumindern.

Die Zugkraft  $F_{B,z}$  in der Schraube ergibt sich aus der vorhandenen Kraft  $F$  zu

$$F_{B,z} = F \cdot \frac{t}{z}$$

womit die Schraube und die zugehörige Unterlagschraube bemessen werden können. Damit ist das Problem für Zimmermannsdübel gelöst.

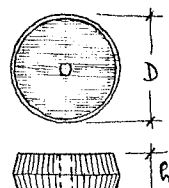
Runde Schließendübel aus Hartholz oder Stahl, die in entsprechend ausgefräste Aussparungen eingesetzt werden sind im Verhältnis zum Durchmesser  $D$  ziemlich dick, sodass die Scherspannung  $T_a$  bzw. die Querdruckspannung  $\bar{\sigma}_{d\parallel}$  maßgebend wird. Auf analogem Weg wie vorstehend für den Zimmermannsdübel gezeigt, lassen sich zulässige Dübelkräfte gewinnen. Der kleinste der vier folgenden Werte ist maßgebend:

$$\text{zul } F \leq 4,25 \cdot D \cdot R$$

$$\text{zul } F \leq 0,39 \cdot \frac{D^3}{h}$$

$$\text{zul } F \leq 0,60 \cdot D^2 \cdot \left[ \frac{e}{D} \left( 1 + \frac{h}{D} \right) - 0,79 \right]$$

$$\text{zul } F \leq 0,79 \cdot D^2$$



Für Stahl-Schließendübel fällt die letzte der vier Bedingungen weg (Abscheren des Dübelkörpers). Die Größe  $e$  ist der Dübelabstand.

Die vorstehenden Werte sind mit  $c_D \cdot c_W$  zu multiplizieren, wenn es sich nicht um langfristige Lasten und geschrägte Bauwerke handelt.

Die das Aufkippen des Dübels verhindende Schraube wird durch das Zentrumslöch des Dübels gestopft. Die nötige Schraubenkraft  $F_{B,z}$  ergibt sich proportional zur vorhandenen Dübelkraft  $F$  zu

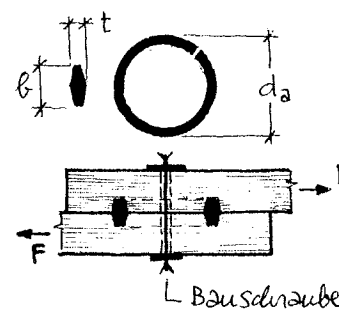
$$F_{B,z} = 0,85 F \cdot \frac{h}{D}$$

womit auch Schraube und Unterlagschraube bemessen werden können.

Festzuhalten ist, dass mit Flachdübeln der vorstehend beschriebenen Art nur Kräfte in Faserlangrichtung übertragen werden können (Längsstöße, verdübelte Balken). Der Ausdruck von Schrägstäben (z.B. in Fachwerken) ist hiermit nicht möglich.

## 2.52 Ringdübel

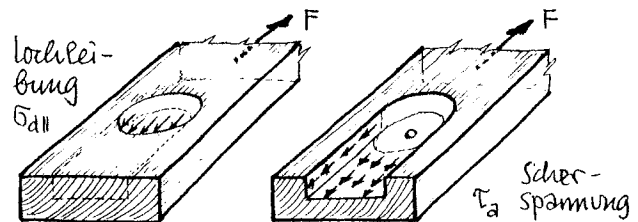
Ringdübel gehören zu den am häufigsten verwendeten Dübelformen. Wie schon der Name sagt, haben sie Ringform und greifen je halbtig in die zu verbindenden Hölzer ein; in welche eine ringförmige Nut gefräst wird.



Ringdübel bestehen aus Stahl und sind geschlitzt, damit sie dem "atmen" des Holzes keinen Widerstand entgegensetzen.

Die Kraftübertragung vom Holz auf den

Ringdübel erfolgt via sog. Lochleibungs- spannung. Diese selbst wird im Vierholz durch Scherspannungen aufgebaut:



Die Scherspannungen im sog. Kern, der beim Fräsen der Nut innen stehen bleibt, bleiben außer Ansatz, weil sich bei Versuchen zeigt, dass der Kern bereits weit vor dem eigentlichen Bruch der Verbindung abschert und zur Bruchlast nichts beiträgt.

Die in Wirklichkeit ungleichmäßig über die Kontaktfläche verteilte Lochleibungs- spannung kann in erster Näherung als über den Durchmesser  $d_a$  und die Eindringtiefe  $h/2$  gleichmäßig verteilt angenommen werden. Sie muss kleiner als ein zulässiger Wert  $\text{zul } \bar{\sigma}_{d\parallel}$  bleiben:

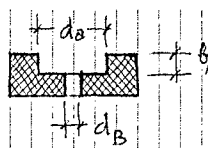
$$\bar{\sigma}_{d\parallel} = \frac{F}{d_a \cdot h/2} \leq \text{zul } \bar{\sigma}_{d\parallel}$$

Die so auf den abscherrenden Holzteil übertragene Dübelkraft muss nun in der angedeuteten Scherfläche  $A_s$  übertragen werden. Die entsprechende Scherspannung  $T_a$  muss kleiner als ein zulässiger Wert  $\text{zul } T_a$  bleiben

$$T_a = \frac{F}{A_s} \leq \text{zul } T_a$$

Schliesslich ist natürlich nachzuweisen, dass die Kraft im geschwächten Stab unter Beachtung der Kerbwirkung übertragen werden kann. Dies geschieht durch Prüfung der Bedingung

$$\bar{\sigma}_{z\parallel} = \frac{F}{A_{\text{netto}}} \leq \text{zul } \bar{\sigma}_{z\parallel} = \text{zul } \bar{\sigma}_{z\parallel} \cdot c_D \cdot c_W \cdot c_K$$



worin Anello die nebenstehend skizzierte Restfläche des Holzquerschnitts ist. (Kerbwert  $c_k$  siehe 1.54).

Damit ist grundsätzlich die Wirkungsweise beschrieben.

Die Norm SIA 164 hat in Art. 3.24.3 für Ringdübeltypen mit

$b \geq 0,25 \cdot d_a$   
und Holzdicken

$a \geq 1,5 \cdot b$  bzw.  $\geq 30 \text{ mm}$  für einseitigen,

$a \geq 2,0 \cdot b$  bzw.  $\geq 50 \text{ mm}$  für beidseitigen

Ringdübel eingriff die zulässige Kraft parallel zur Faser für einen Ringdübel normiert auf

$$\text{zul } F_{DII} = 12 \cdot d_a^{1.5}$$

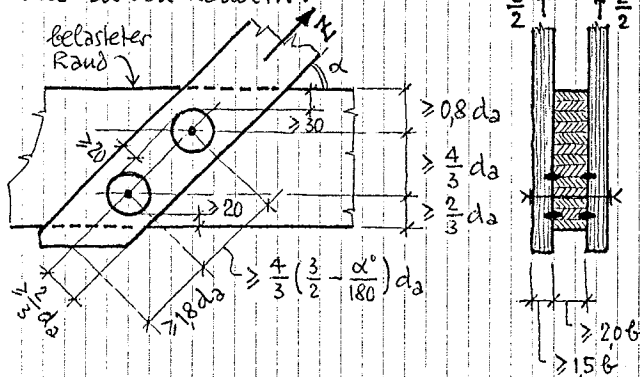
wobei  $d_a$  in mm einzusetzen ist, um die zulässige Kraft in N zu ermitteln.

Wählt die entsprechende Kraft unter dem Winkel  $\alpha$  zur Faserrichtung, ergibt sich die zulässige Kraft zu

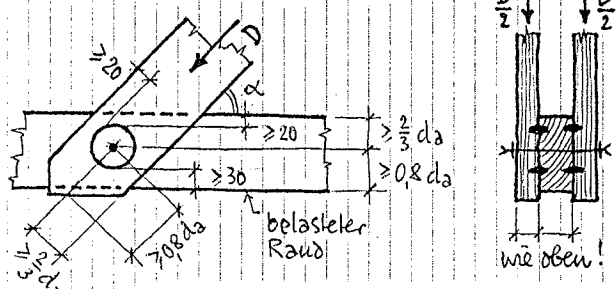
$$\text{zul } F_{D\alpha} = \text{zul } F_{DII} \left( 1 - \frac{\alpha}{180} \right),$$

Wird also für den Fall einer Kraft  $\perp$  zur Faser auf die Hälfte reduziert ( $\alpha = 90^\circ$ ).

Voraussetzung für diese Kräfte ist die Einhaltung gewisser Abstände zwischen den Dübeln und zu den Rändern:



Die hier dargestellte Situation ist allerdings selten. Normalerweise wird ein Stab nur mit einem Dübel angeschlossen. Wir skizzieren diese Situation für einen Druckstab, womit auch die Lage des belasteten Randes und der Überstand ändern:



Da die Norm keine Tabelle für Ringdübel enthält, soll hier für gängige Größen das wichtigste zusammengefasst werden:

Bezeichnung RD ... = $d_a$	60	80	100	120	140	160	180	200
$b \text{ mm}$	18	22	26	30	36	40	48	50
$t \text{ mm}$	4	5	6	6	7	8	8	8
zul F [KN]								
$\alpha = 0^\circ$	5,6	8,6	12,0	15,8	19,9	24,3	29,0	33,9
$\alpha = 90^\circ$	2,8	4,3	6,0	7,9	9,9	12,1	14,5	17,0
Mittelholz $\geq$	50	50	55	60	75	80	95	100
Seitenholz $\geq$	30	33	40	45	55	60	70	75
Holzbreiten:								
$\alpha \leq 30^\circ$	100	120	140	160	190	220	240	270
$\alpha > 30^\circ$	110	130	150	180	210	240	270	300
Schraube M...	12	14	14	16	16	18	18	20
US a/t	40/4	50/5	50/5	60/5	70/6	70/6	80/7	

Unter der Annahme von RD 140 ist die vorstehend skizzierte Verbindung in der Lage, bei  $\alpha = 45^\circ$  beispielsweise die Kraft

$$\text{zul } D = 2 \cdot 19,9 \left( 1 - \frac{45}{180} \right) = 29,8 \text{ KN}$$

zu übertragen. Die notwendigen Holzquerschlüsse sind

Mittelholz :  $\geq 75/210$

Seitenholz :  $2 \times \geq 55/210$

Als Schraube ergibt sich

M 16, US 60/5

Die ermittelte Kraft gilt für langfristige Lasten und für vor Witterungseinflüssen geschützte Bauteile. Ist dies nicht der Fall, ist mit  $C_d \cdot C_u$  zu multiplizieren. Dies gilt für die Werte F der Tabelle ebenfalls.

Als Schlupf von Ringdübelverbindungen ist  $s = 1 \text{ mm}$

einzusetzen. Der Verschiebungsmodul beträgt pro Ringdübel unter Kurzfristiger Belastung

$$C = d_a^2 \text{ in N/mm bei } d_a \text{ in mm}$$

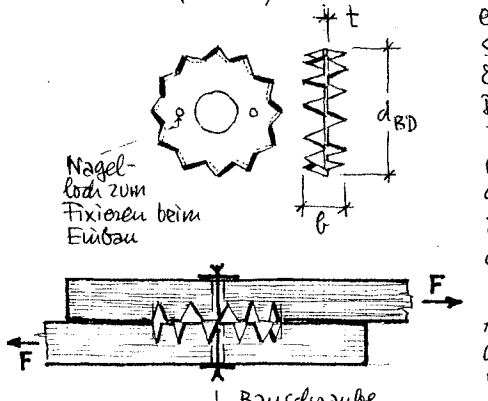
Bei Beulspannung quer zur Faser ist der halbe Wert einzusetzen.

Ringdübel führen zu grossen Schwächungen der Stäbe im Anschlussbereich und zu grossen Spannungskonzentrationen (rel. kleiner Kerbfaktor). Deshalb haben Ringdübel für Fachwerk-Konstruktionen die Bedeutung verloren. Auch sind die bei grösseren Ringdübeln erforderlichen grossen Holzbreiten oft unerwünscht.

Mit 25 Nägeln 4,5/120 lässt sich bei Holzbreiten von 140 mm und Holzdicken von rd 40 mm ein zweischichtiger Anschluss herstellen, der eine Kraft von  $D = 25 \cdot 2 \cdot 50 \cdot 4,5^{1.7} = 32240 \text{ N} = 32,24 \text{ KN}$  trägt (siehe 2.32). Man erkennt hieraus, dass Nägel häufiger und holzsparender sind.

## 2.53 Bulldog-Dübel

Von den vielen Eimpres-Dübeln ist der Bulldog-Dübel praktisch der einzige, der verwendet wird. Es handelt sich hierbei um - meist runde - Stahlplatten mit am Rande herausgebogenen scharfen Zähnen, die sich in die zu verbindenden Hölzer eimprennen, wenn die Verbindung mit



einer Presse zusammengedrückt wird. Die zu jedem Bulldog gehörige Schraube genügt nicht zur Erzeugung des nötigen Eimpresdrucks.

Auch ist die Verwendung von Bulldog-Dübeln (wie aller Eimpresdübel) auf Nadelholz beschränkt. In Hartholzern ist ein Eimprennen unmöglich.

Während Rügdübel-Verbindungen bereits bei relativ kleinen Verschiebungen durch Abscheren des Kerns und dann des Nachholzes versagen (sog. sprödes Verhalten), sind Bulldog-Verbindungen wesentlich duktiler. Bei steigender Belastung "gleitet" der Verbinder, das Holz im Bereich der Zähne zerquetschend, bei gleichzeitigem Umbiegen von Zähnen. Bei wachsendem Verschiebungsweg verlieren die Zähne ihren Griff. Mittlerweile ist jedoch auch die Bauschraube zum Anliegen an der Lochwandung gekommen und trägt mittlerweile voll mit. Im Gegensatz zur Rügdübelverbindung trägt die Bauschraube voll mit und die Tragfähigkeiten von Bulldog und Schraube addieren sich.

Während die zulässige Last der Bauschraube nach Kap. 2.34 leicht ermittelbar ist, kann der Beitrag des Bulldog-DüBELS nur aus Versuchen gewonnen werden. Derartige Versuche fordert auch die Norm SIA 164.

Aus solchen Versuchen ergibt sich folgender Ausatz:

$$F_{BD\parallel} = 7,5 \cdot d_{BD}^{1,5} + 40 \cdot d_B^{1,7} \cdot \frac{\lambda}{6}$$

$$F_{BD\perp} = 7,5 \cdot d_{BD}^{1,5} + 45 \cdot d_B^{1,5} \cdot \frac{\lambda}{6}$$

Hierin sind  $d_{BD}$  der Neum-Durchmesser des Bulldog-DüBELS,  $d_B$  der Schaft-Durchmesser der Bauschraube und

$$\lambda = \frac{d_m}{d_B} \leq 6$$

die Schlaufheit der Bauschraube, wobei  $d_m$  die Dicke des Mittelholzes ist. Größere

Schlaufheiten als  $\lambda = 6$  dürfen nicht eingesetzt werden.

Diese Aussätze sind nur gültig, wenn bestimmte Holzstärken nicht unterschritten werden:

$$\lambda \geq 0,95 \cdot d_{BD} \text{ für einseitigen Eingriff}$$

$$\lambda \geq 0,60 \cdot d_{BD} \text{ für beidseitigen Eingriff}$$

Die Holzbreite soll mindestens 40 mm breiter sein als der Durchmesser des Bulldogs, bei Winkeln  $\alpha$  zwischen Kraft und Faser  $\alpha > 30^\circ$  sogar 60 mm breiter.

Außerdem sind folgende Abstände einzuhalten, jeweils bezogen auf Dübelmitte:

- zwischen Dübeln:  $\parallel$  Faser  $1,2 \cdot d_{BD}$  bzw.  $6 \cdot d_B$   
 $\perp$  Faser  $1,2 \cdot d_{BD}$

- Abstand vom freien Ende des Rands:  $\parallel$  Faser:  $1,5 \cdot d_{BD}$  bzw.  $8 \cdot d_B$   
 $\perp$  Faser:  $5 \cdot d_B$

- Abstand vom unbeschnittenen Rand:  $\parallel$  Faser:  $1,2 \cdot d_{BD}$  bzw.  $6 \cdot d_B$   
 $\perp$  Faser:  $0,5 \cdot d_{BD} + 20 \text{ mm}$

Bulldog-Dübel werden in Durchmessern von 50 bis 165 mm angeboten. Hinzu kommen zwei quadratische und ein ovaler Dübel, für die bei der Ermittlung der zulässigen Dübelkraft ein äquivalenter Durchmesser definiert wird.

Nachfolgend werden alle interessierenden Größen zusammengestellt:

Berechnung BD ... = d <sub>BD</sub>	50	62	75	95	117	140	165	70 130
b mm	10	17	19	25	30	31	33	25
t mm	1,0	1,2	1,25	1,25	1,5	1,6	1,8	1,5
zul F [kN]								
• Dübel allein:	2,65	3,66	4,87	6,94	9,49	12,4	15,9	7,50
• inkl. Schraube:								
Faser :	9,17	5,94	7,66	9,73	13,8	16,7	20,8	10,8
⊥ Faser :	3,43	4,83	6,22	8,29	11,5	14,4	18,1	9,01
z zul. Mittelholz $\geq$	40	60	60	60	80	80	80	60
z zul. Seitenholz $\geq$	30	45	45	45	60	60	60	45
Holzbreiten:								
$\alpha \leq 30^\circ$	90	100	120	140	160	180	210	140
$\alpha > 30^\circ$	110	110	140	150	180	200	230	180
Schraube M...	12	12	16	16	20	20	24	20
z zul. $\lambda/t$	40/4	40/4	60/5	60/5	80/7	80/7	100/8	80/7

Außerdem sind die zulässigen Kräfte mit  $c_D \cdot c_W$  zu multiplizieren, wenn die Verhältnisse nicht kantfristigen Lasten und geschützter Umgebung entsprechen.

Eine Verbindung entsprechend Spalte 37 unten mit  $\alpha = 45^\circ$  und 2 BD 140 trägt damit (bei linearer Interpolation zwischen || und ⊥ Faser)

$$\text{zul } D = \frac{1}{2} (16,7 + 14,4) \cdot 2 = 31,1 \text{ kN}$$

und benötigt

Mittelholzer :  $\varnothing 80/200$

Seitenholzer :  $2 \times \varnothing 60/200$

sowie als Schraube:

M 20, US 80/7

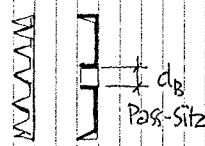
Ein Vergleich mit dem entsprechenden Ringdübel-Auschluss (Spalte 3e) zeigt etwas gleichen Holzbedarf.

Der Schlupf und der Verschiebungsmögl. hängen stark vom stoffl. Ausziehen der Bauschraube ab (nachziehen nach Abschwinden!!). zuverlässige Größenordnungen für s und c können nicht angegeben werden.

Auch bei Bulldog-Dübeln wird durch das Loch für die Bauschraube und das Einschneiden der Zähne der Querschnitt geschwächt. Mit grober Näherung kann als Schwächung durch den Eintritt der Dübel die Fehlfäche zu  $\frac{1}{2} \cdot d_{BD} \cdot \frac{b}{2} = d_{BD} \cdot \frac{b}{4}$  gesetzt werden.

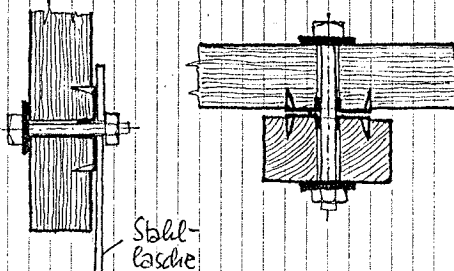
Bulldog-Dübel werden vor allem bei Faduwerken sowie - flieg. einfäden Handhabung wegen - für viele Anschlussprobleme im Zimmereigewerbe eingesetzt, im übrigen auch bei Anschlüssen von (leicht abgeschrägten) Rundholzern an Schüttholz

Einsitzige Bulldog-Dübel verdienen besondere Erwähnung. Bei diesem sind die Zähne nur nach einer Seite hin aufgebogen und das Zentrumsloch passt - mit eingepresster Verstärkung - genau zur Bauschraube:



Die Kraft geht dabei vom Holz über die Zähne in den einsitzigen Dübel und von dort über den Pass-Fitz auf die Schraube via Verzahnungsspannung.

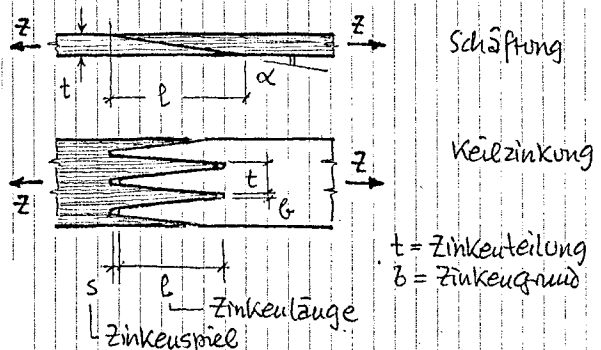
Damit wird im Prinzip das Bolzenloch verstärkt. In Übrigen lassen sich damit Hölzer zu Stahl-Laschen anschliessen und demontierbare Verbindungen herstellen:



## 2.6 Leim-Verbindungen

Leim-Verbindungen spielen - abgesehen von der Verleimung von Brettern zu Brettschichtholz und der sog. Keilzinkung - im modernen Holzbau nur eine geringe Rolle.

Die Festigkeit von Leim-Verbindungen ist für reine Scher- bzw. Schubbeanspruchung am größten und sinkt, sobald Zugspannungen sekundär zur Leimfläche auftreten, sofort auf vergleichsweise kleine Werte ab. Der Schäftsungs- bzw. Zinkenwinkel  $\alpha$  spielt deshalb eine große Rolle:



Für den Schäftsungsinkel wird  $\alpha \approx 10^\circ$  angestrebt. Für die Keilzinkung werden drei Gruppen unterschieden:

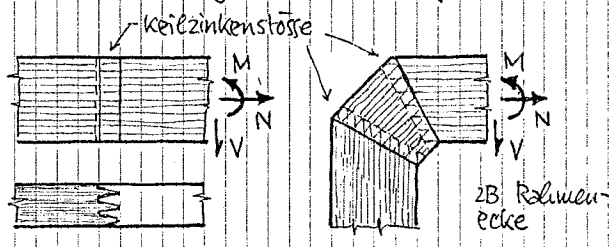
Min:  $\alpha \approx 7,5^\circ$ ,  $b = 0,2 \text{ mm}$

Midi:  $\alpha \approx 22^\circ$ ,  $b = 1,0 \text{ mm}$

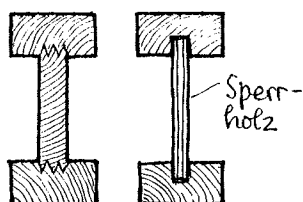
Maxi:  $\alpha \approx 50 \text{ bis } 60^\circ$ ,  $b = 2,0 \text{ mm}$

Als Flankeneigung wird  $1:7$  angestrebt, was  $t \approx b + l/3,5$  entspricht.

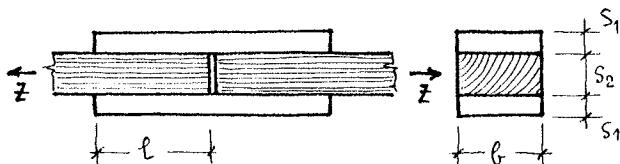
Bei Wahl der geeigneten Leimsorte und korrekter Ausführung der Verleimungsarbeiten (Holzauswahl, Trocknung, Hobeln, Leimauflauf, Pressdruck etc.) kann davon ausgegangen werden, dass die Verleimung stärker ist als das Holz in unmittelbarer Nachbarschaft der Leim-Kontaktfläche. Für einen Keilzinkenstoss ist deshalb die Holzfestigkeit im Zinkengrund unter Berücksichtigung der Querschlüsse schwächer maßgebend. Die Schwächung beträgt einschließlich Kerbwirkung etwa 20% (Norm SIA 164, Art. 3.25.32). Man kann deshalb Spannungs nachweise ganz normal führen (natürlich unter Berücksichtigung eines allfälligen Winkels  $\alpha$  zwischen Kraft und Faserstellung) und die zulässigen Spannungen um rd. 20% abminder, um die Schwächung durch eine Keilzinken-Verbindung zu berücksichtigen:



Weitere Beispiele sind Stegträger, die aus Schnittholz unter Verwendung einer speziellen Keilzinkenform hergestellt werden, oder wo Sperrholzstege in gefräste Nuten eingeleimt werden. Maßgebend ist in jedem Fall die Festigkeit der durch die Leimung abgeschlossenen Hölzer oder Holzwerkstoffe:



Etwas spezielle Verhältnisse liegen vor beim verkleimten Längenstoss:



Hier ist die Scherfestigkeit der Leimverbindung von den Geometrie des Stoßes abhängig. Unter Berücksichtigung eines erheblichen Sicherheitsabstandes wird vorgeschlagen, die mittlere Scherbeanspruchung  $T_a$  der Leimfuge wie folgt einzusetzen:

$$T_a = 5 \cdot \sqrt[3]{\frac{s_1}{l^2}} \text{ N/mm}^2, \quad s_1 \text{ & } l \text{ in mm.}$$

Die durch den Stoss aktivierbare Normalspannung  $\sigma_{zII}$  beträgt aus naheliegenden Gründen

$$\sigma_{zII} = \frac{2 \cdot T_a \cdot l}{s_2} = 10 \cdot \sqrt[3]{\frac{s_1 \cdot l}{s_2}}$$

Für den naheliegenden Fall  $s_1 = 0,5 s_2$  ergibt sich daraus

$$\sigma_{zII} = 7,9 \cdot \sqrt[3]{\frac{l}{s_2^2}}.$$

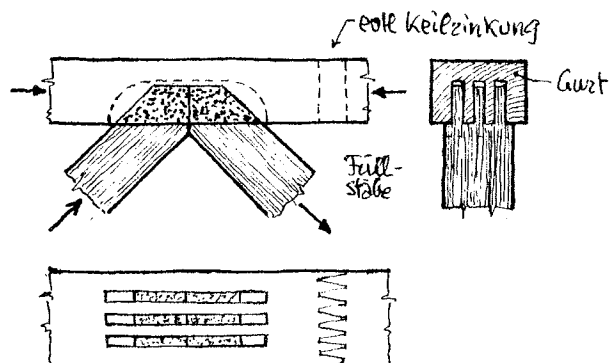
Es zeigt sich, dass für zunehmbare Stosslängen und Holzdecken nur geringe Spannungen im zu stossenden Holz zulässig sind. Zum Beispiel ergibt sich für  $l = 800 \text{ mm}$  und  $s_2 = 120 \text{ mm}$  nur

$$\sigma_{zII} = 7,9 \sqrt[3]{\frac{800}{120^2}} = 3,01 \text{ N/mm}^2,$$

das sind kaum 30% der zulässigen Spannungen in einem Brettschichtträger. Längenstöße sind also stets an wenig beanspruchte Stellen zu legen.

Für Brettschichtträger schliesslich ist die Regel einfach: Vorausgesetzt, dass gewisse Regeln bzgl. Breitdicke, Brettbreite, Schnittart eingehalten werden und die Herstellung nach den Regeln der Kunst erfolgt, darf davon gerechnet werden, dass die Festigkeitseigenschaften in jeder Beziehung dem Ausgangsmaterial entsprechen.

Endlich werden auch Fachwerke mittels Leimverbindungen zusammengefügt, und zwar werden die Füllstäbe mittels Zinken in die durchgehenden (evtl durch Keilzinken gestoßenen) Gurte eingeleimt:



Im Bereich der Knoten darf das Holz praktisch keine Aske aufweisen, muss also im Prinzip die Anforderungen der FK I erfüllen. Im Knotenbereich werden - allerdings auf kleinen Flächen - Hölzer mit nicht paralleler Faserführung miteinander verklemt. Solche Verbindungen werden zusätzlich durch unterschiedliches Schwinden und Quellen des Holzes beansprucht, sodass die nutzbare Scherspannung  $T_a$  zwischen den Hölzern relativ klein ist. Es wird empfohlen, unter den lasten des normalen Gebäudes

$$T_a = 0,3 \text{ bis } 0,6 \text{ N/mm}^2$$

nicht zu überschreiten. Damit lassen sich Regeln für die Geometrie der Verbindung entwickeln, die bei den entsprechend standardisierten Fachwerken dieses Typs normalerweise eingehalten sind.

# Holzbau

## 3 Bemessung von Stäben

3.1	Zugstäbe	
3.11	Centrischer Zug	1
3.12	Zug mit Biegung	1
3.2	Druckstäbe	2
3.21	Technischer Druck	4
a)	Einfache Druckstäbe	4
b)	Mehrteilige Druckstäbe	5
c)	Ein Beispiel	6
3.22	Druck mit Biegung	10
3.3	Biegestäbe	11
3.31	Einfache Biegung	14
a)	Normalspannungen	14
b)	Schubspannungen	17
c)	Durchbiegungen	18
d)	Bezeichnungsformeln	22
3.32	Zweifache Biegung	23
3.4	Zusammengesetzte Träger	26
3.41	Möglichkeiten	26
3.42	Verdüberter Balken	27
a)	Wirkungsweise	27
b)	Bezeichnung	28
c)	Bestimmung der Verdübelung	30
d)	Beispiel	31
e)	Außere Formen	32
3.43	Brettschlitzträger	32
a)	Bezeichnung und Spannungsmodiweise	32
b)	Gekrümmte Brettschlitzträger	33
c)	Variable Trägerhöhe	35
3.44	Stegträger	36
a)	Verkleimte Stegträger aus Massivholz	36
b)	Verwendung von Sperrholzstegen	37
c)	Genagelte Stegträger	39
d)	Sog. Nagelträger	41
3.45	Fachwerkträger	44
a)	Knoten und Ausfachung	44
b)	Querschnittsaufbau	46
c)	Ermittlung der Stabkräfte	47
d)	Bezeichnung der Stäbe	47
e)	Durchbiegungen	48

Die Bemessung von Holzbauteilen ist sehr komplex, da die verschiedensten Gesichtspunkte, wie

- \* zulässige Spannungen
- \* zulässige Durchbiegungen
- \* Schwächungen, Kerbwirkungen
- \* Holzfürdite, Lastdauer
- \* Kriechen
- \* Ausdehnungen und Verbindungen
- \* Holzlängen
- \* verfügbare Querschnittsformen und -Größen
- \* Möglichkeiten der ausführenden Firma
- \* Montagevorgang und -zustände

wurde gleichzeitig zu beachten sind. Ein allgemeingültiges Vorgehen gibt es nicht. Hingegen ist stets zu empfehlen, zuerst - zB mit geschätzten Abmessungen - zu konstruieren und dann erst ausführlich zu reduzieren mit dem Ziel, das Entwurfselement zu verbessern bzw. nachzuweisen, dass der Entwurf zweckmäßig ist.

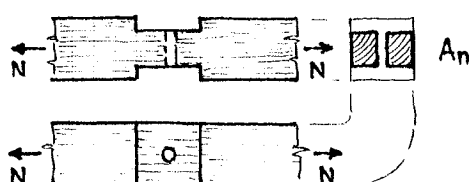
Im folgenden werden für typische Bauteile die Probleme und Lösungswägen in angepasster Form besprochen.

## 3.1 Zugstäbe

Für Zugstäbe aus Holz sind in aller Regel die örtlichen Spannungszustände im Bereich der Verbindungen maßgebend. Dabei sind die Kerbwirkung zu beachten und auffällig vorhandene Exzentrizitäten der Kraft bzgl. der Stabaxe zu berücksichtigen.

### 3.1.1 Zentrischer Zug

Zentrischer Zug liegt dann vor, wenn die Zugkraft  $N$  auf ganze Länge des Stabes - auch im Bereich von notwendigerweise symmetrischen Schwächungen - mit der Stabaxe zusammenfällt. Der Nachweis ist dann im geschwächten Schnitt zu führen:



Es muss dann der folgende Nachweis erbracht werden:

$$\text{vorh } \bar{\sigma}_{z\parallel} = \frac{N}{A_n} \leq \text{zul } \bar{\sigma}_{z\parallel}$$

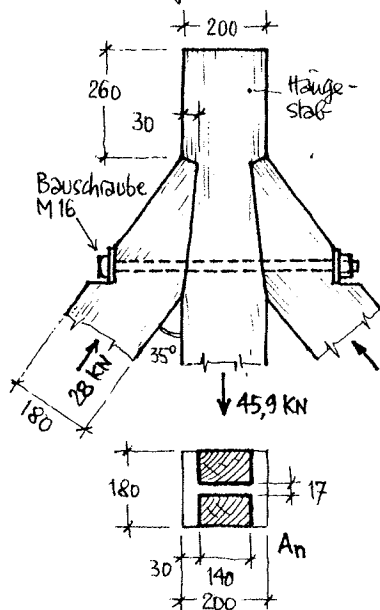
wobei

$$\text{zul } \bar{\sigma}_{z\parallel} = \text{zul } \bar{\sigma}_{z\parallel} \cdot C_D \cdot C_W \cdot C_K$$

Hierin ist  $\text{zul } \bar{\sigma}_{z\parallel}$  der Grundwert der zulässigen Zugspannungen gemäß 1.53 (gleich  $8,5 \text{ N/mm}^2$  für Schnittholz FK II und  $10,0 \text{ N/mm}^2$  für Brettschichtholz). Die Beiwerte  $C_D$  und  $C_W$  berücksichtigen

Lastdauer und Holzfürdite und  $C_K$  stellt den Kerbfaktor dar. Die Werte dieser Beiwerte kann 1.54 entnommen werden.

Ein Beispiel zeigt das Vorgehen: Gegeben sei ein Hängestab, der mit beidseitigem Versatz abgeschlossen ist. Die Normalkraft betrage  $N = 45,9 \text{ kN}$  und als Querschnitt sei ET 18/20 aus FK II gewählt. Die Konstruktion stehe unter langfristigen Lasten und sei bei Witterung direkt ausgesetzt:



Sicherheitsshalber wird auch die Schwächung durch das Schraubenloch bei der Ermittlung des Nettoquerschnitts berücksichtigt:

$$A_n = 140 \cdot (180 - 17) = 22,8 \cdot 10^3 \text{ mm}^2$$

$$\text{vorh } \bar{\sigma}_{z\parallel} = \frac{45,9}{22,8} = 2,01 \text{ N/mm}^2.$$

Für die Ermittlung von  $\text{zul } \bar{\sigma}_{z\parallel}$  ist  $C_W$  mit  $C_W = 0,8$  und die Kerbwirkung mit  $C_K \approx 0,8$  zu berücksichtigen. Damit ergibt sich für Holz der FK II:

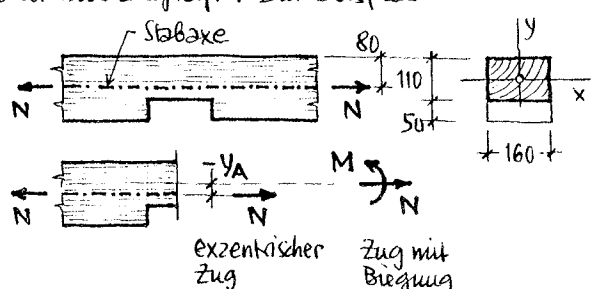
$$\text{zul } \bar{\sigma}_{z\parallel} = 8,5 \cdot 0,8 \cdot 0,8 = 5,44 \text{ N/mm}^2$$

$$\text{vorh } \bar{\sigma}_{z\parallel} = 2,01 < 5,44 = \text{zul } \bar{\sigma}_{z\parallel}$$

Die skizzierte Lösung ist demnach zulässig. Ein Nachweis im freien Teil des Hängestabs hätte jedoch ein völlig unzutreffendes Bild der Beanspruchung ergeben. Als Übungsaufgabe: Prüfe, ob der Versatz ausreichend ist!

## 3.12 Zug mit Biegung

In Zugstäben treten zusätzlich Biegemomente auf, wenn die Zugkraft nicht in der Stabaxe liegt. Biegemomente sind jedoch auch zu beachten, wenn zwar die Zugkraft in der Stabaxe wirkt, jedoch der Stab lokal einseitig geschwächt ist, da dann - bezogen auf den Schwerpunkt des geschwächten Querschnitts, die Zugkraft exzentrisch angreift. Ein Beispiel:



Die Bedaußspannung im maßgebenden, geschrägten Querschnitt lässt sich – statisch äquivalent – auf zwei Arten beschreiben (siehe auch Baustatik Kap. 5.25):

- Exzentrischer Zug :  $N, y_A$
- Zug mit Biegung :  $N, M_x = N \cdot y_A$

Mit dieser Bedaußspannung könnte jetzt mittels der dreigliedrigen Spannungsformel (siehe Baustatik, Kap. 5.22, 5.24 und 5.25) die grösste Zugspannung, hier näher am unteren Rand bei  $y = -110/2 = -55 \text{ mm}$ , ermittelt werden. Unter Bedingung von  $x_A = 0$  fällt ein Glied weg, und wir erhalten mit den Netto-Querschnittswerten

$$\text{vorb} \bar{\sigma}_{zII} = \frac{N}{A_n} + \frac{N \cdot y_A}{J_{xn}} \cdot y$$

Diese Spannung, zusammengesetzt aus einem aus der Normalkraft allein herrührenden Anteil

$$\text{vorb} \bar{\sigma}_z = \frac{N}{A_n}$$

und einem Anteil aus Biegung

$$\text{vorb} \bar{\sigma}_z = \frac{N \cdot y_A}{J_{xn}} \cdot y$$

muss natürlich kleiner als die zulässige Spannung sein, also:

$$\text{vorb} \bar{\sigma}_{zII} + \text{vorb} \bar{\sigma}_z \leq \text{zul} \bar{\sigma}$$

Nun ist im Holzbau jedoch die zulässige Spannung für Zug  $\text{zul} \bar{\sigma}_{zII}$  verschieden von derjenigen für Biegung  $\text{zul} \bar{\sigma}_z$ . Deshalb muss der Nachweis modifiziert werden, im Prinzip dadurch, dass die vorstehende Bedingung durch  $\text{zul} \bar{\sigma}$  unter Einsetzen der jeweils zutreffenden Werte dividiert wird!

$$\frac{\text{vorb} \bar{\sigma}_{zII}}{\text{zul} \bar{\sigma}_{zII}} + \frac{\text{vorb} \bar{\sigma}_z}{\text{zul} \bar{\sigma}_z} \leq 1$$

Ist diese Bedingung eingehalten, ist die Bedaußspannung zulässig.

Wir zeigen das Vorgehen am vorher schon vorbereiteten Beispiel. Es sei  $N = 55 \text{ kN}$  aus Wind in einer bei Witterung ausgesetzten Konstruktion aus Schlittholz FK II. Damit ergibt sich folgende Zahlenreduzierung:

$$N = 55 \text{ kN}$$

$$y_A = -\left(80 - \frac{110}{2}\right) = -25 \text{ mm}$$

$y = -55 \text{ mm}$  (maßgebende Faser)

$$A_n = 110 \cdot 160 = 17,6 \cdot 10^3 \text{ mm}^2$$

$$J_{xn} = \frac{110^3 \cdot 160}{12} = 17,75 \cdot 10^6 \text{ mm}^4$$

$$\text{vorb} \bar{\sigma}_{zII} = \frac{55}{17,6} = 3,13 \text{ N/mm}^2$$

$$\text{vorb} \bar{\sigma}_z = \frac{55 \cdot 10^3 \cdot 25}{17,75 \cdot 10^6} \cdot 55 = 4,26 \text{ N/mm}^2$$

$$C_D = 1,25 \quad (\text{Wind ist kurzfristige Last})$$

$$C_W = 0,80 \quad (\text{der Witterung ausgesetzt})$$

$$C_k = 0,8 \quad (\text{geschätzt})$$

$$\text{zul} \bar{\sigma}_{zII} = 8,5 \cdot 1,25 \cdot 0,80 \cdot 0,8 = 6,8 \text{ N/mm}^2$$

$$\text{zul} \bar{\sigma}_z = 10,0 \cdot 1,25 \cdot 0,80 \cdot 0,8 = 8,0 \text{ N/mm}^2$$

Damit ergibt sich

$$\frac{3,13}{6,8} + \frac{4,26}{8,0} = 0,46 + 0,53 = 0,99 < 1$$

Die Situation ist demnach unter den geschilderten Umständen gerade noch zulässig.

Ein nicht geschrägter Querschnitt würde demgegenüber eine Normalkraft aus Wind von

$$N = 160^2 \cdot 8,5 \cdot 1,25 \cdot 0,80 \cdot 10^{-3} = 218 \text{ kN}$$

zuverlässig übertragen können. Das ist praktisch vielmehr meln. Man erkennt daraus, wieviel zu zulässiger Last durch Schwämmungen und Exzentrizitäten verloren geht.

## 3.2 Druckstäbe

Druckstäbe sind immer auf Knicken zu untersuchen. Die Knicklänge  $l_k$  ist dabei in der Regel die theoretische Stablänge  $l$  zwischen räumlich gehaltenen Knotenpunkten einzusetzen (siehe auch Baustatik Kap 7).

Die Knickschlaufenhöhe  $\Delta K$  ergibt sich bekanntlich durch Division der Knicklänge  $l_k$  durch den Trägheitsradius  $i$ :

$$\Delta K = \frac{l_k}{i} \quad i = \sqrt{\frac{J}{A}}$$

Da in der Regel die Querschnitte von Druckstäben nicht rund oder quadratisch sind, müssen zwei Trägheitsradien  $i_x$  und  $i_y$  beachtet werden, wobei der kleinere – zur grösseren Schlaufenhöhe  $\Delta K$  – weit maßgebend ist. Gelegentlich sind auch die Knicklängen für das Ausknicken in den beiden Richtungen  $y$  bzw  $x$  unterschiedl. Dann ist die grössere Schlaufenhöhe maßgebend.

Die Schlaufenhöhen sind nach Möglichkeit klein zu halten und sind im Holzbau auf  $\Delta K \leq 150$ , im Brückenbau auf  $\Delta K \leq 120$  begrenzt. Für Windverbände (Kurzfristige Lasten) darf  $\Delta K$  bis auf 200 erhöht werden.

Schwämmungen von Druckstäben (vor allem in den äusseren Bereichen von Querschnitten) müssen berücksichtigt werden, hingegen müssen Kerbfaktoren wegen der Duktilität von Holz gegenüber Druckspannungen nicht eingeführt werden.

## 3.21 Zentrischer Druck

Zentrische Bedaußspannung darf nur aufgenommen werden, wenn diese im Rahmen baupraktischer Genauigkeit auch wirklich gegeben ist. Aewise, unvermeidbare Exzentrizitäten sind im

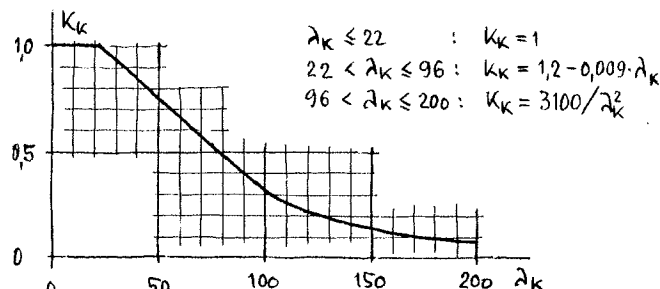
Knickbeiwert  $K_K$  (siehe 1.54 d)) bereits berücksichtigt. Bei grösseren Exzentrizitäten, zB aus exzentrischer Kräfteinleitung, krummen Druckstäben oder aus Querbelastung (siehe Baustatik Kap 7.32) ist ein Druckstab auf Druck mit Biegung zu untersuchen (siehe 3.22).

### a) Einteilige Druckstäbe

Der Nachweis einteiliger, unverschwächter Druckstäbe ist sehr einfach. Es ist lediglich nachzuweisen, dass die vorhandene Druckspannung höchstens kleiner ist als die mit dem Knickbeiwert  $K_K$  abgewanderte zulässige Druckspannung  $\text{zul } \bar{\sigma}_{\text{dil}}$  ist:

$$\text{vom } \bar{\sigma}_K = \frac{N}{A} \leq \text{zul } \bar{\sigma}_{\text{dil}} \cdot K_K \cdot C_D \cdot C_W = \text{zul } \bar{\sigma}_K$$

Der Knickbeiwert  $K_K$  ist von der Schlankheit  $\lambda_K$  abhängig (siehe 1.54 d), nach SIA 164, Art 3.32.2 oder nach folgendem Diagramm:



Als Beispiel:  $N = 40 \text{ kN}$  (Druck) aus langfristigen Lasten in geschlitzter Umgebung ( $C_D = 1$ ,  $C_W = 1$ ). Als Knicklänge gilt  $l_K = 4,5 \text{ m}$ , als Querschnitt soll ET 16/20 gewählt werden. Die Überprüfung läuft wie folgt ab:

$$\begin{aligned} i_{\min} &= \sqrt{\frac{J_{\min}}{A}} = \sqrt{\frac{d \cdot b^3}{12 b d}} = 0,289 \cdot b = 0,289 \cdot 160 = 46 \text{ mm} \\ \lambda_K &= \frac{4500}{46} = 98 \rightarrow K_K = 0,32 \\ \text{vom } \bar{\sigma}_K &= \frac{40 \cdot 10^3}{160 \cdot 200} = 1,25 \text{ N/mm}^2 \end{aligned}$$

$$\text{zul } \bar{\sigma}_K = 85 \cdot 0,32 \cdot 1,0 \cdot 1,0 = 2,72 \text{ N/mm}^2$$

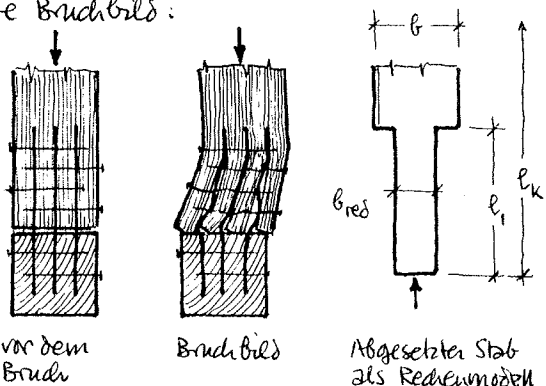
Der gewählte Querschnitt ist also gut ausreichend und könnte (nur durch Probieren lösbar) auf zB ET 14/14 reduziert werden.

Schwächen von Druckstäben, insbesondere im mittleren Drittel der Knicklänge und in den Außenzonen des Querschnitts, sind sehr gefährlich und sollten vermieden werden. Gegebenfalls liegt man auf der sicheren Seite, wenn man annimmt, dass die Abmessungen im verschwächten Teil auf die ganze Stablänge durchgehen.

Spezielle Erwähnung verdienen in diesem Zusammenhang Druckstäbe in Fachwerken, die (zB mittels Grein-System siehe 2.43) verschwächtet angeschlossen werden.

Wir nehmen im folgenden diesen Fall zu, wo der Stab im Endbereich durch Schlitze in mehrere schmale Lamellen aufgeteilt wird. Die Summe

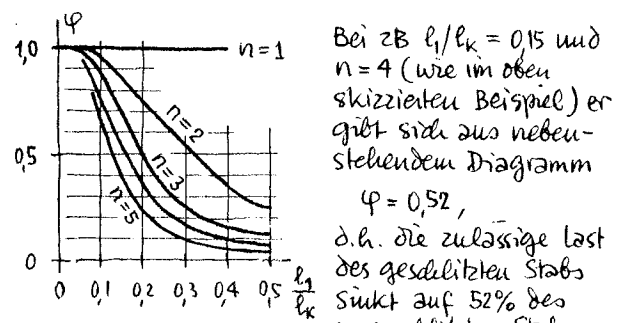
der Trägheitsmomente dieser Lamellen ist natürlich kleiner als dasjenige des ungeschlitzten Stabs. Auch sind die auf Druck beanspruchten Bleche in den Schlitten relativ locker gehalten und neigen ihrerseits zum Ausknicken. In Versuchen zeigte sich gelegentlich das folgende Bruchbild:



Das Problem kann auf dasjenige eines sog. Abgesetzten Stabs zurückgeführt werden, der auf eine Länge  $l_1$  (Auschlusslänge) eine reduzierte Breite  $b_{\text{red}}$  besitzt. Diese wird so bestimmt, dass sie zum gleichen Trägheitsmoment führt wie die Summe der Lamellen zusammen aufbringen. Bei gleichen Lamellenradien ergibt sich:

$$b_{\text{red}} = b / \sqrt[3]{n^2}$$

womit  $n$  die Anzahl der Lamellen ist. Der Einfluss lässt sich durch Einführen eines zusätzlichen Abminderungsfaktors  $\varphi$  bei der zulässigen Knickspannung  $\text{zul } \bar{\sigma}_K$  erfassen, wobei  $\varphi$  von  $n$  und  $l_1/l_K$  abhängig ist gemäß folgendem Diagramm:



Bei zB  $l_1/l_K = 0,15$  und  $n = 4$  (wie im oben skizzierten Beispiel) ergibt sich aus nebenstehendem Diagramm

$$\varphi = 0,52,$$

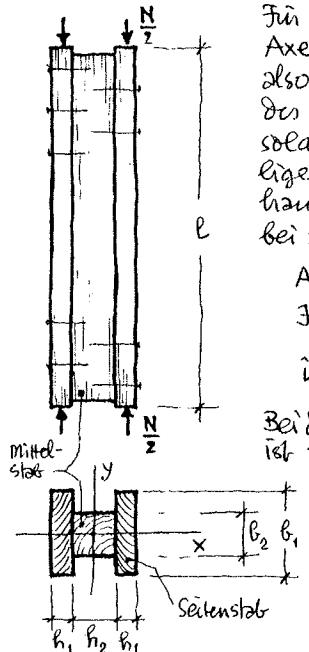
d.h. die zulässige Last des geschlitzten Stabs sinkt auf 52% des ungeschlitzten Stabes.

Wie man erkennt, ist der Einfluss beträchtlich und darf nicht vernachlässigt werden.

### b) Mehrteilige Druckstäbe

In Holzbau, insbesondere bei Fachwerken, werden Druckstäbe oft aus mehreren Einzelstäben zusammengesetzt. Die Einzelstäbe können dabei kontinuierlich, das heisst auf ganze Länge des Druckstabs miteinander verbunden werden oder nur - mittels Zwischenholzern - in gewissen Abständen zusammen gehalten sein. Im letzteren Fall spricht man von gespalteten Stäben. In beiden Fällen entstehen in der Regel doppelt-symmetrische Querschnitte, deren Ver-

halten von der betrachteten Axe und der Steifigkeit der Verbindungsmitte abhängig ist. Wir betrachten zwei typische Fälle, zuerst den aus drei Stäben bestehenden, kontinuierlich verbundenen Druckstab:



Für das Knicken um die x-Axe (die sog. Materialaxe), also in Richtung der y-Axe des Querschnitts, kann ein solches Stab wie ein einteiliger Druckstab (siehe a)) behandelt werden. Es ist dabei:

$$A = 2 \cdot h_1 \cdot b_1 + h_2 \cdot b_2$$

$$\bar{J}_x = 2 \cdot \frac{h_1 \cdot b_1^3}{12} + \frac{h_2 \cdot b_2^3}{12}$$

$$\bar{r}_x = \sqrt{\frac{\bar{J}_x}{A}} \rightarrow r_{KX} = \frac{\bar{r}_x}{i_x}$$

Bei der Berechnung von  $\lambda_{KX}$  ist natürlich als Knicklänge  $i_{KX}$  diejenige einzusetzen, die für die betrachtete Ausbiegung in y-Richtung aus der Lage der Wendepunkte der Knickbrügelkurve resultiert. Der weitere Ablauf des Nachweises entspricht vollständig dem unter a) Dargestellten.

Für das Knicken um die y-Axe, also in Richtung der x-Axe, spielt die Steifigkeit der Verbindung der Stäbe eine Rolle:

Bei starrer Verbindung (nur bei Verleimung der Stäbe realisierbar) ergibt sich als Trägheitsmoment für die y-Axe nach Baustatik, Kap. S.23d)

$$\bar{J}_{yo} = 2 \cdot b_1 \cdot h_1 \left( \frac{h_1 + h_2}{2} \right)^2 + \frac{b_2 \cdot h_2^3}{12} + 2 \cdot \frac{b_1 \cdot h_1^3}{12},$$

während die Querschnittsfläche A wieder oben aus der Summe der Einzelflächen bestimbar ist. Hieraus lässt sich wieder der Trägheitsradius  $i_y$

$$i_{yo} = \sqrt{\frac{\bar{J}_{yo}}{A}}$$

und die Schlaufheit  $\lambda_{ky}$  unter Erfüllung der für das Knicken um die y-Axe maßgebenden Knicklänge  $i_{ky}$  ermitteln. Der weitere Nachweis folgt wieder dem unter a) beschriebenen Vorgehen.

Für den anderen Grenzfall, nämlich praktisch vollständige Nachgiebigkeit der Verbindung, aber unter Voraussetzung der gleichen Knickbrügelkurve aller drei Einzelstäbe fällt bei der Ermittlung des Trägheitsmoments  $\bar{J}_y$  das erste Glied weg und es bleibt lediglich

$$\bar{J}_{yo} = 2 \cdot \frac{b_1 \cdot h_1^3}{12} + \frac{b_2 \cdot h_2^3}{12}$$

womit  $i_{yo}$ ,  $\lambda_{ky}$  etc. wieder bestimbar sind.

Normalerweise geschieht die Verbindung der Stäbe jedoch mit Nägeln, Ringdübeln, Bulldog-Dübeln und dergleichen, die eine gewisse

Nachgiebigkeit aufweisen, die durch den sog. Verschiebungsmodul C (siehe 2.13 a)) und bei den entsprechenden Verbindungsarten gegeben ist. Es ist ohne weiteres einzusehen, dass dadurch das wirksame Trägheitsmoment eff.  $\bar{J}_y$  des zusammengesetzten Stabs zwischen den beiden vorstehend geschilderten Grenzwerten liegt. Wir können diesen Wert durch Abändern des erweiterten ersten Glieds anzusetzen wie folgt:

$$\text{eff. } \bar{J}_y = \frac{2 \cdot b_1 \cdot h_1}{1+k} \left( \frac{h_1 + h_2}{2} \right)^2 + \frac{b_2 \cdot h_2^3}{12} + 2 \cdot \frac{b_1 \cdot h_1^3}{12}$$

womit mit  $k=0$  die starre Verbindung (Verleimung), mit  $k=\infty$  der völlig nachgiebig verbundene mehrteilige Druckstab erfasst ist. Der Koeffizient k muss demnach die Steifigkeit der Verbindung beschreiben und wird im Normalfall zwischen 0 und  $\infty$  liegen. Damit lässt sich auch der sog. Wirkungsgrad  $\gamma$  der Verbindung definieren als

$$\gamma = \frac{\text{eff. } \bar{J}_y}{\bar{J}_{yo}}$$

$\gamma=1$  charakterisiert dann die starre,  $\gamma=0$  die völlig nachgiebige Verbindung.

Das Problem ist damit auf die Festlegung der Verbindungsart und die Ermittlung des zugehörigen Koeffizienten k zurückgeführt. Es sind verschiedene Wege möglich, die hier jedoch nicht im Einzelnen beschrieben werden sollen. Wir folgen der Norm SIA 164, Art 3.32 c):

Bezeichnet man mit  $\bar{F}$  die - unter Berücksichtigung von Längsdauer und Holzfeuchte ermittelte - zulässige Kraft eines gewählten Verbindungsmittels (zB eines Bulldog-DüBELS), mit  $n_V$  die Anzahl der auf die ganze Stablänge  $l$  für den Ausdiluss eines Seitenstabs zugeordneten Verbindungsmittel (zB 5) und mit C den Verschiebungsmodul eines Verbindungsmittels (zB  $C = 25000 \text{ N/mm}$ ), beträgt die "mittlere Steifigkeit" der Fuge für die Stablänge  $l$

$$c = \frac{n_V \cdot C}{l} [\text{N/mm}^2].$$

Damit lässt sich (gemäß Norm) der Koeffizient K ermitteln aus

$$K = \frac{\pi^2 \cdot E_i \cdot b_1 \cdot h_1}{c \cdot l^2}$$

womit eff.  $\bar{J}_y$  festliegt, und auch  $\gamma$  bestimmbar ist. Damit läuft der Nachweis mit den "ideellen" Werten

$$i_{y,id} = \sqrt{\frac{\text{eff. } \bar{J}_y}{A}} \quad \text{und}$$

$$\lambda_{ky,id} = \frac{i_{ky}}{i_{y,id}} = \frac{i_{ky}}{\sqrt{l}}$$

wie vorstehend beschrieben. Die Norm fordert zusätzlich eine minimale Anzahl von Verbindungsstellen, um dem zusammengesetzten Stab eine gewisse Mindeststeifigkeit zu geben. Diese ist

von einer willkürlich eingesetzten Querkraft  $V$  vom Betrag

$$V = \frac{\lambda_{xy,id}}{2000} N$$

also von Schlaufigkeit und vorhandener Normalkraft  $N$  abhängig gewandt. Aus dieser ergibt sich der Schubfluss  $T$  zu

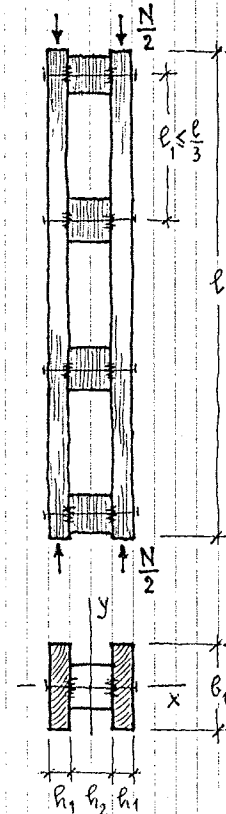
$$T = V \cdot \frac{b_1 \cdot b_1 \cdot (h_1 + h_2)}{2 \cdot \text{eff } J_y} \cdot \frac{1}{1+k}$$

und damit die Forderung

$$n_V > \frac{T \cdot F}{\text{zul } F}$$

Wie man erkennt, ist das genau ein typischer Nachweis, wo man alle Größen kennen muss, um die Situation als ausreichend sicher nachzuweisen zu können.

Besteht die Verbindung der beiden Seitenholzer lediglich aus - in Abständen  $l \leq l/3$  angeordneten - Zwischenholzern, bleibt für das Kürcken um die  $x$ -Achse, also in  $y$ -Richtung alles beim alten. Es ist (unter Bedingung, dass der Zwischenstab fehlt), lediglich



$$A = 2 \cdot h_1 \cdot b_1 \\ J_x = 2 \cdot \frac{h_1 \cdot b_1^3}{12}$$

$$i_x = \sqrt{\frac{J_x}{A}} \rightarrow \lambda_{KX} = \frac{l_{KX}}{i_x}$$

womit der Nachweis gemäß a) erbracht werden kann.

Für das Kürcken um die (jetzt materialfreie)  $y$ -Achse, also in  $x$ -Richtung gelten zunächst die gleichen Formeln wie für den kontinuierlich verbindenden Stab. Lediglich ist (rechnerisch) in allen diesen Formeln  $b_2 = 0$  zu setzen (fehlender Mittelstab).

Man erhält also zunächst  $J_{yo}$  und  $\text{eff } J_y$  und daraus den Winkelungsgrad  $\eta$  zu

$$\eta = \frac{\text{eff } J_y}{J_{yo}}$$

Sodann werden zwei Schlaufigkeiten  $\lambda_{ky}$  und  $\lambda_1$  bestimmt und zwar einerseits für den Gesamtstab unter Annahme starker Verbindungen via

$$i_{yo} = \sqrt{\frac{J_{yo}}{A}} \quad \text{zu}$$

$$\lambda_{ky} = \frac{i_{ky}}{i_{yo}}$$

und mit dem Trägheitsradius

$$i_1 = \frac{1}{\sqrt{12}} \cdot h_1 = 0,289 \cdot h_1$$

die Schlaufigkeit  $\lambda_1$  des Einzelstabs der Länge  $l$ ,

$$\lambda_1 = \frac{l_1}{i_1}$$

Damit ergibt sich schliesslich die ideelle Schlaufigkeit  $\lambda_{ky,id}$  zu

$$\lambda_{ky,id} = \sqrt{\frac{\lambda_{ky}^2}{2} + \lambda_1^2}$$

Für diese Schlaufigkeit entnimmt man dem Diagramm unter a) den Kürckbeitrag  $K_K$  und führt damit wie üblich den Spannungsnachweis.

### c) Ein Beispiel

Das unter b) Dargestellte Bedarf eines Beispiels.

Gegeben sei eine langfristige Normalkraft  $N = 20000 \text{ N}$  in einer vor Witterungseinflüssen geschützten Konstruktion. Der die Normalkraft übertragende Stab hat eine Länge von  $3 \text{ m}$ , welche für beide Richtungen auch den Kürcklängen entspricht. Der Stab habe nebenstehende Konfiguration mit  $h_1 = 40 \text{ mm}$ ,  $h_2 = 120 \text{ mm}$ ,  $b_1 = 160 \text{ mm}$ . Die Bindenhölzer haben einen Abstand von  $l_1 = 0,75 \text{ m}$ . Zwischen Seitenholz und Bindenhölzern sind je 9 Nägel 45/110 mit  $d_N = 4,5 \text{ mm}$  angeordnet. Der Nachweis läuft damit wie folgt:

$$A = 2 \cdot 40 \cdot 160 = 12,8 \cdot 10^3 \text{ mm}^2$$

$$\text{vom } G_K = \frac{20000}{12,8 \cdot 10^3} = 1,56 \text{ N/mm}^2$$

Kürcken um  $x$ -Achse:

$$J_x = 2 \cdot \frac{40 \cdot 160^3}{12} = 27,3 \cdot 10^6 \text{ mm}^4$$

$$i_x = \sqrt{\frac{27,3 \cdot 10^6}{12,8}} = 46,2 \text{ mm}$$

$$\lambda_{KX} = \frac{3000}{46,2} = 64,9 \rightarrow K_K = 0,62$$

$$\text{zul } G_K = 0,62 \cdot 8,5 \cdot 1,0 \cdot 1,0 = 5,23 \text{ N/mm}^2 > 1,56 \text{ OK}$$

Kürcken um  $y$ -Achse:

$$J_{yo} = 2 \cdot 160 \cdot 40 \cdot \left( \frac{40+120}{2} \right)^2 + 2 \cdot \frac{160 \cdot 40^3}{12} = 83,63 \cdot 10^6 \text{ mm}^4$$

$$i_{yo} = \sqrt{\frac{83,63 \cdot 10^6}{12,8}} = 80,8 \text{ mm} \rightarrow \lambda_{ky} = \frac{3000}{80,8} = 37,1$$

$$\begin{aligned} \text{Nägel: } n_V &= 5 \cdot 9 = 45 \quad (\text{5 Bindenhölzer}) \\ 45/110 & C = 40 \cdot 4,5^{1,7} = 516 \text{ N/mm} \end{aligned}$$

$$\text{zul } F = 50 \cdot 4,5^{1,7} \cdot 1,0 \cdot 1,0 = 645 \text{ N}$$

Daraus mit  $l = 3000 \text{ mm}$  und  $E_l = 10'000 \text{ N/mm}^2$  (siehe 1.55 a)):

$$C = \frac{45 \cdot 516}{3000} = 7,74 \text{ N/mm}^2$$

$$K = \frac{\pi^2 \cdot 10000 \cdot 160 \cdot 40}{7,74 \cdot 3000^2} = 9,07$$

$$\text{eff } J_y = \frac{2 \cdot 160 \cdot 40 \cdot \left( \frac{40+120}{2} \right)^2 + 2 \cdot \frac{160 \cdot 40^3}{12}}{1+9,07} = 9,84 \cdot 10^6 \text{ mm}^4$$

$$\eta = \frac{9,84}{83,63} = 0,118$$

$$i_1 = \frac{1}{\sqrt{12}} \cdot 40 = 11,56 \text{ mm} \rightarrow \lambda_1 = \frac{750}{11,56} = 64,9$$

damit ergibt sich

$$\hat{\gamma}_{K_y, \text{d}} = \sqrt{\frac{37,1^2}{0,118} + 64,9^2} = 126 \rightarrow K_K = 0,20$$

$$\text{zul } \bar{\sigma}_K = 0,20 \cdot 8,5 \cdot 1,0 \cdot 1,0 = 1,66 \text{ N/mm}^2 > 1,56 \text{ OK}$$

Schliesslich ist zu prüfen, ob die Anzahl der Verbindungsstücke ausreicht. Hierzu

$$V = \frac{126}{2000} \cdot 20'000 = 1260 \text{ N}$$

$$T = 1260 \cdot \frac{160 \cdot 40 (40+120) \cdot 1}{2 \cdot 9,84 \cdot 10^6 \cdot 1+9,07} = 6,51 \text{ N/mm}$$

$$n_V = 45 > \frac{6,51 \cdot 3000}{645} = 30,3 \text{ OK}$$

Damit sind also alle Bedingungen erfüllt und der gewählte Stab mit allen seinen Einzelheiten genugend.

Das Beispiel zeigt im übrigen durch Einsetzen anderer Werte zB für die Anzahl der Bindenholze, die Anzahl der Nägel etc den Einfluss der jeweiligen Größen. Es zeigt auch den erheblichen Rechenaufwand für den Nachweis, der natürlich durch Bereitstellung von Diagrammen etc vermindert werden kann.

Ordnet man statt der 5 Bindenholz einen durchgehenden Mittelstab mit den Abmessungen  $b_2 = 40 \text{ mm}$  und  $b_3 = 120 \text{ mm}$  zu und wählt man Nägel 40/100 im Abstand von 75 mm, ergibt sich im übrigen eine zulässige Last für den Druckstab von zul  $N = 39,6 \text{ kN}$  (Kontrolle zur Übung). Bei etwas weniger Nägeln aufwärts und kaum mehr Holzbedarf steigt dann nach der zulässige Stabkraft auf etwa das Doppelte.

Für andere Formen des Druckstabaufbaus erhält schliesslich die Norm SIA 164 die notwendigen Hinweise.

## 3.22 Druck mit Biegung

In Druckstäben treten oft zusätzlich Biegemomente auf und zwar aus Querbelastung, aus "planmässigen" Exzentrizitäten  $e$  sowie aus ungewollten Aufgangsverformungen  $e_0$  (krumme Stäbe, Inhomogenitäten etc.). Derartige Probleme haben wir in der Baustatik unter dem Stichwort "Probleme 2. Ordnung" im Kap. 7.3 behandelt. Wir haben dort gesehen, dass sich unter der Wirkung gleichzeitig vorhandener Druckkräfte eine Vergrösserung vorhandener Auslenkungen einstellt. Unter 7.32 haben wir dort für häufige Fälle Näherungslösungen bereitgestellt für das maximale Biegemoment  $M$  unter Berücksichtigung der Elastizität 2. Ordnung, die wir nur sehr grober Näherung wie folgt zusammenfassen können:

$$M = [M_I + N \cdot e_0] \cdot \frac{1}{1 - F/F_E}$$

Hierin ist

$$M_I = Mq + N \cdot e$$

das plausibel wirkende maximale Biegemoment aus Querbelastung (zB  $q$  in KN/m) und planmässiger Exzentrizität  $e$ .  $N$  ist die wirkende Normalkraft und  $e_0$  die ungewollte Aufgangsverformung eines (anfänglich zB bereits gekrümmten Stabs). Im Vergrösserungsfaktor

$$\frac{1}{1 - F/F_E}$$

ist  $F$  die normalerweise mit einem Sicherheitsfaktor vergrösserte Normalkraft  $N$  und  $F_E$  die Euler'sche Knicklast des betrachteten Stabs.

Die aus  $M$  hervorbrechenden Biegespannungen  $\sigma_{\text{B}}$  müssen nun, überlagert mit den aus der Druckkraft hervorbrechenden Spannungen  $\sigma_{\text{D}}$ , kleiner als ein zulässiger Wert bleiben. Zur Holzbau ist hier wieder - wie unter 3.12 - zu bedenken, dass die zulässigen Spannungen für Druck verschieden sind von denjenigen für Biegung, was zu der dort eingeführten Schreibweise des Nachweises führt.

Für Stäbe unter Druck mit gleichzeitiger Biegung um die x-Achse des Querschnitts, bei denen durch geeignete Maßnahmen ein Auswölben senkrecht zur betrachteten Verformungsebene ausgeschlossen ist, gilt dann beispielsweise analog zu 3.12:

$$\frac{\text{voh } \bar{\sigma}_{\text{dil}}}{\text{zul } \bar{\sigma}_{\text{dil}}} + \frac{\text{voh } \bar{\sigma}_b}{\text{zul } \bar{\sigma}_b} \leq 1$$

wobei die vorhandenen Spannungen aus  $N$  und  $M$  unter Berücksichtigung der Querschnittsänderungen zu ermitteln sind. Die hierfür benötigten Größen  $F$  und  $F_E$  sind gemäß Norm SIA 164 mit

$$F = 2,0 \cdot N \text{ bzw. } F_E = 0,8 \cdot \frac{\pi^2 \cdot E_{\parallel} \cdot J_x}{l_K^2}$$

einzu setzen.

Als ungewollte Aufgangsverformung  $e_0$  sind gemäß Norm SIA 164 im übrigen für Schmalholz FK II und Brettschichtholz die folgenden Werte anzunehmen:

$$l_K \leq 85 : e_0 = \frac{l_K}{270}$$

$$l_K > 85 : e_0 = \frac{l_K}{60} \left(1 - \frac{66}{l_K}\right)$$

Für andere Fälle siehe Norm, Artikel 3.33.42.

Die Norm gestaltet im übrigen auch einen vereinfachten Nachweis unter Vernachlässigung ungewollter Aufgangsverformungen und fordert

$$\frac{\text{voh } \bar{\sigma}_{\text{dil}}}{\text{zul } \bar{\sigma}_{\text{dil}}} + \frac{\text{voh } \bar{\sigma}_b}{\text{zul } \bar{\sigma}_b} \leq 0,9,$$

wobei mit  $\text{zul } \bar{\sigma}_{\text{dil}}$  im Numerator des ersten Quotienten die zulässige Knickspannung gemäß 3.21 steht, also die mit dem Knickbeiwert  $K_K$  abgeunderte zulässige Druckspannung und  $\text{voh } \bar{\sigma}_b$  nur mit dem planmässigen Biegemoment  $M_I$  zu ermitteln ist.

Als Beispiel für das Vierstehende wählen wir den unter 3.21 a) untersuchten Druckstab mit  $N=40 \text{ kN}$ ,  $l_K = 4,50 \text{ m}$  und dem Querschnitt  $\text{I}16/20$  unter den dort geschilderten Umständen. Zusätzlich nehmen wir an, dass eine Querbelastung von  $q = 1,0 \text{ kN/m}$  herrsche und die Druckkraft plausibel mit einer Exzentrizität von  $e = 20 \text{ mm}$  eingeleitet werden (zB durch einen Versatz). Nach dem vereinfachten Nachweis ergibt sich

$$M_I = 1 \cdot \frac{15^2}{8} + 40 \cdot 0,02 = 3,33 \text{ kNm}$$

$$\exists_x = \frac{200 \cdot 160^3}{12} = 68,3 \cdot 10^6 \text{ mm}^4 \quad (\text{Annahme: Biegung um schwache Axe})$$

$$\text{vorb} \exists_b = \frac{3,33 \cdot 10^6}{68,3 \cdot 10^6} \cdot 80 = 3,90 \text{ N/mm}^2$$

und den dort angefügten Zahlenwerten

$$\frac{1,25}{2,72} + \frac{3,90}{10,0} = 0,85 < 0,9 \text{ OK.}$$

Der ausführliche Nachweis ist umständlicher:

$$F_E = 0,8 \cdot \frac{\pi^2 \cdot 10'000}{98^2} \cdot 160 \cdot 200 \cdot 10^{-3} = 263 \text{ kN}$$

$$F = 2,0 \cdot 40 = 80 \text{ kN}$$

$$e_0 = \frac{4500}{60} \left(1 - \frac{66}{98}\right) = 25 \text{ mm}$$

$$M = [3,33 + 40 \cdot 0,025] \cdot \frac{1}{1 - 80/263} = 6,22 \text{ kNm}$$

$$\text{vorb} \exists_b = \frac{6,22 \cdot 10^6}{68,3 \cdot 10^6} \cdot 80 = 7,29 \text{ N/mm}^2$$

$$\frac{1,25}{8,5} + \frac{7,29}{10,0} = 0,88 < 1,0 \text{ OK.}$$

Auf beiden Nachweis-Wegen zeigt sich, dass der Stab den Anforderungen genügt.

### 3.3 Biegestäbe

Für Biegestäbe sind in der Regel drei Nachweise erforderlich, nämlich

$\text{vorb} \sigma \leq \text{zul} \sigma$	Normalspannungen
$\text{vorb} \tau \leq \text{zul} \tau$	Schubspannungen
$\text{vorb} \omega \leq \text{zul} \omega$	Durchbiegung

Wir beschränken uns im folgenden auf die im Holzbau bei weitem vorherrschenden Rechteckquerschnitte.

Normalerweise zerlegen wir die in der Kraft-Ebene (siehe Baustatik, Kap. 5.12) wirkende Belastung  $q$  eines Biegestabes in die Richtungen der beiden Hauptachsen  $x$  und  $y$  des Querschnitts.

Der Index der beiden Komponenten  $q_x$  und  $q_y$  orientiert sich am Index der jeweiligen Axe. Dabei ist zu bedenken, dass der Index der zugehörigen Querkräfte gleich, derjenige der zugehörigen Biegemomente vertauscht ist. Die Richtung der zugehörigen Durchbiegung stimmt hingegen wieder mit demjenigen der Belastungskomponente überein:

$$q_x = q \cdot \sin \beta \rightarrow V_x, M_y, w_x$$

$$q_y = q \cdot \cos \beta \rightarrow V_y, M_x, w_y$$

Die Schnittgrößen werden – am jeweils zugehörigen statischen System (dieses ist für  $q_x$  und  $q_y$  oft verschieden) – nach den Methoden der Baustatik bestimmt.

In vielen Fällen fällt die Kraft-Ebene mit der  $y$ -Axe zusammen, das heißt, der Winkel  $\beta$  ist gleich Null. Man redet dann von einaxiger Biegung, dem häufigsten Normalfall. In diesem Fall kann man die Indices auch weglassen, da kaum eine Verweildisziplin gefahr besteht. Wir behandeln diesen Fall zuerst:

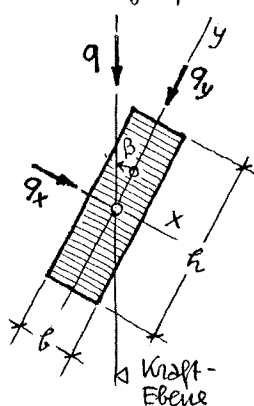
#### 3.3.1 Einaxige Biegung

##### a) Normalspannungen

Aus der in der  $y$ -Achse wirkenden Belastung ergibt sich am zugehörigen statischen System im maßgebenden Schnitt das dem Absolutbetrag nach größte Biegemoment  $\max M_x$ . Aus diesem ergeben sich die Normalspannungen

$$\text{vorb} \sigma = \frac{\max M}{\exists_x} \cdot y$$

Der Absolutbetrag der größten Randspannungen ergibt sich mit  $y = b/2$ , wobei man in der



Regel das Vorzeichen für die beiden in Frage kommenden Ränder nach der Ausbildung festlegt. Zur Vereinfachung der Tabellenrechnung definieren wir das sog. Widerstandsmoment des Querschnitts  $W_x$  zu

$$W_x = \frac{J_x}{h/2} = \frac{bh^3}{12 \cdot h/2} = \frac{bh^2}{6}$$

Damit ist der Absolutbetrag der Randspannung vor  $\bar{\sigma}_b$  aus Biegung gegeben durch

$$\text{vorb } \bar{\sigma}_b = \frac{\max M_x}{W_x}$$

Die Widerstandsmomente  $W_x$  sind im übrigen in der Tabelle unter 1.31 b) tabelliert für übliche Querschnittsbemessungen.

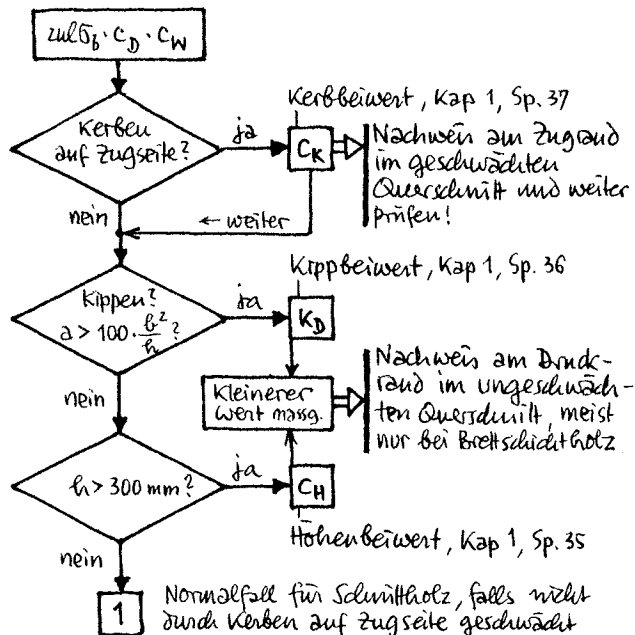
Die vorhandene Randspannung aus Biegung vor  $\bar{\sigma}_b$  muss nun kleiner sein als die zulässige Biegespannung  $\text{zul } \bar{\sigma}_b$ . Diese ergibt sich aus dem Grundwert der zulässigen Biegespannung  $\text{zul } \bar{\sigma}_b$

$$\begin{aligned} \text{zul } \bar{\sigma}_b &= 10,0 \text{ N/mm}^2 \text{ Schüttholz FK II} \\ &= 12,0 \text{ " Brettschichtholz} \end{aligned}$$

durch Multiplikation mit den Beiwerten  $C_D$  und  $C_W$  (siehe 1.54 b) und c)) zu

$$\text{zul } \bar{\sigma}_b = \text{zul } \bar{\sigma}_b \cdot C_D \cdot C_W$$

Zusätzlich sind jedoch noch eine Reihe von geometrischen bedingten Beiwerten zu berücksichtigen, die sich aus folgender Übersicht ergeben:



Bei der "möglichen Frage" Kippen? ist  $a$  der Abstand der sog. Kipphalterungen des Biegestabs (Stellen, wo der Stab gegen Kippen gehalten ist).

Mit diesen Beiwerten lässt sich nun der Nachweis erbringen. Als Beispiel wählen wir einen Brettschichtholz unter Eigenlast  $q = 3,6 \text{ kN/m}$  und  $p = 7,0 \text{ kN/m}$  bei einer Spannweite von  $l = 9,00 \text{ m}$

unter geschwächten Umständen. Die Belastung sei vorwiegend langfristig. Es ist

$$\max M_x = 10,6 \cdot \frac{9,00^2}{8} = 107,3 \text{ kNm}$$

Der Träger sei an den Enden sowie in den Drittelpunkten gegen Kippen gehalten, jedoch weise er keine Kerben am Zugrand auf. Damit ist  $C_K$  nicht weiter zu beachten.

Eine erste Schätzung ergibt  $b = 120 \text{ mm}$ ,  $h = 750 \text{ mm}$ . Hierfür ist:

$$100 \cdot \frac{120^2}{750} = 1920 < 2 = 3000 \rightarrow \text{Kippen ist zu berücksichtigen!}$$

$$\lambda_D = \sqrt{\frac{3000 \cdot 750}{120}} = 12,5$$

$$K_D = 1,5 - 0,05 \cdot 12,5 = 0,88 \text{ nach Kap. 1, Sp. 36.}$$

Der Höhenbeiwert ist  $C_H > K_D$ , sodass letzterer maßgebend wird. Damit ergibt sich schließlich

$$\text{zul } \bar{\sigma}_b = 12,0 \cdot 1 \cdot 0,88 = 10,6 \text{ N/mm}^2$$

$$\text{vorb } W_x = 120 \cdot 750^2 / 6 = 11,25 \cdot 10^6 \text{ mm}^3$$

$$\text{vorb } \bar{\sigma}_b = 107,3 / 11,25 = 9,54 \text{ N/mm}^2 < \text{zul } \bar{\sigma}_b \text{ ok}$$

Der gewählte Querschnitt könnte also, von den Biegespannungen her gesehen, noch etwas verringert werden.

Der vorstehend beschriebene Nachweis lässt sich, sofern geometrische Beiwerte ( $C_K$ ,  $K_D$ ,  $C_H$ ) keine Rolle spielen, umformen in eine Bemessungsformel. Aus

$$\text{zul } \bar{\sigma}_b \geq \text{vorb } \bar{\sigma}_b = \frac{\max M_x}{\text{vorb } W_x}$$

ergibt sich dabei

$$\text{vorb } W_x \geq \text{erf } W_x = \frac{\max M_x}{\text{zul } \bar{\sigma}_b}$$

Für Schüttholz FK II ergibt sich mit  $\text{zul } \bar{\sigma}_b = 10 \text{ N/mm}^2$ ,  $\max M_x$  in kNm und  $W_x$  in  $\text{mm}^3 \cdot 10^{-6}$  die folgende, dimensionsgebundene Formel:

$$\text{vorb } W_x \geq \text{erf } W_x = \frac{0,1}{C_D \cdot C_W} \cdot \max M_x$$

Die Bemessung erfolgt dann beispielweise für einen Prüftafel Balken mit  $q_y = 5 \text{ kN/m}$ ,  $l = 4,5 \text{ m}$  für langfristige Lasten ( $C_D = 1$ ) und der Witterung ausgesetzter Konstruktion ( $C_W = 0,8$ ) wie folgt:

$$\max M = 5 \cdot \frac{4,5^2}{8} = 12,67 \text{ kNm}$$

$$\text{erf } W_x = \frac{0,1}{1 \cdot 0,8} \cdot 12,67 = 1,58 \cdot 10^6 \text{ mm}^3$$

Aus der Tabelle unter 1.31 b) finden wir hierzu diejenigen Querschnitte, für die  $\text{vorb } W_x \geq \text{erf } W_x$  ist, im Beispiel

• □ 16/24 (knapp unterschritten)

• □ 18/24

• □ 20/24

Welcher dieser Querschnitte der günstigste ist, hängt von weiteren Umständen ab, unter anderem von den sich aus Schubspannungen und durchbiegung ergebenden Forderungen.

Wir kommen auf die Frage der Bemessung unter d) zusammenfassend zurück.

## b) Schubspannungen

Aus der in der y-Achse wirkenden Belastung ergibt sich ein zugehöriges statischen System, meist unmittelbar neben den Auflagern, die dem Absolutbetrag nach größte Querkraft  $\max V_y$ . Aus dieser ergeben sich die Schubspannungen

$$\text{vorb } \tau = \frac{\max V_y \cdot S_{xx}}{b(a) \cdot t_x}$$

Die größten Schubspannungen ergeben sich in einem Schnitt auf Höhe der Balkenaxe (siehe Baustatik, Kap 5.32 a)). Es ergibt sich damit

$$\text{vorb } \tau = 1,5 \cdot \frac{\max V_y}{A}$$

womit A die Querschnittsfläche des betrachteten Rechteckquerschnitts ist.

Die vorhandene maximale Schubspannung  $\text{vorb } \tau$  muss nun kleiner sein als die zulässige Schubspannung  $\text{zul } \bar{\tau}$ . Diese ergibt sich wieder aus dem Grundwert der zulässigen Schubspannung  $\text{zul } \bar{\tau}$

$$\begin{aligned} \text{zul } \bar{\tau} &= 1,0 \text{ N/mm}^2 \quad \text{Schlitzholz FK II} \\ &= 1,2 \quad " \quad \text{Brettschlitzholz} \end{aligned}$$

Durch Multiplikation mit den Beiwerten  $C_D$  und  $C_W$  (siehe 1.54 b) und c)) zu

$$\text{zul } \bar{\tau} = \text{zul } \bar{\tau} \cdot C_D \cdot C_W$$

Geometrische Beiwerte sind hier nicht zu berücksichtigen.

Für das unter a) behandelte Beispiel eines Brettschlitzträgers heißt dies beispielsweise:

$$\begin{aligned} \max V_y &= 10,6 \cdot \frac{9,0}{2} = 47,7 \text{ kN} \\ A &= 120 \cdot 750 = 90 \cdot 10^3 \text{ mm}^2 \end{aligned}$$

$$\text{zul } \bar{\tau} = 1,2 \cdot 1 \cdot 1 = 1,2 \text{ N/mm}^2$$

$$\text{vorb } \tau = 1,5 \cdot 47,7 / 90 = 0,8 \text{ N/mm}^2 < \text{zul } \bar{\tau} \quad \text{OK}$$

Der Querschnitt ist also auf Schub ausreichend.

Auch hier lässt sich der Nachweis in eine Bemessung umformulieren. Es ergibt sich, wie man leicht herleiten kann, für  $\max V_y$  in KN und A in  $\text{mm}^2 \cdot 10^{-3}$  für Schlitzholz FKII die folgende dimensionsgebrüderte Formel:

$$\text{vorb } A \geq \text{erf } A = \frac{1,5}{C_D \cdot C_W} \cdot \max V_y$$

Für das unter a) eingeführte Beispiel ist demnach

$$\max V_y = 5 \cdot \frac{4,5}{2} = 11,25 \text{ kN}$$

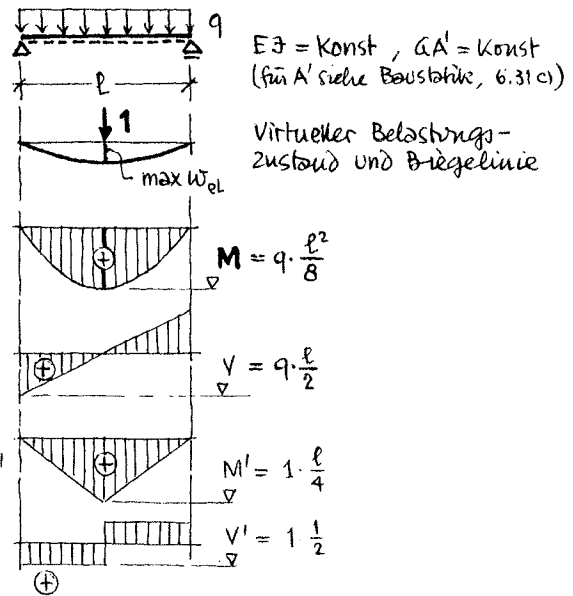
$$\text{erf } A = \frac{1,5}{1,0 \cdot 0,8} \cdot 11,25 = 21,1 \cdot 10^3 \text{ mm}^2$$

Die Tabelle 1.31 b) zeigt, dass die wegen der Einhaltung der Biegespannungen infrage kommenden Querschnitte weit größere Querschnittsflächen  $\text{vorb } A$  aufweisen, Schub also für die Bemessung nicht maßgebend ist. Wir kommen auf Bemessungsfragen zusammenfassend unter d) zurück.

## c) Durchbiegungen

Aus der in der y-Achse wirkenden Belastung ergibt sich ein zugehöriges statisches System in der Regel im Bereich der Feldmitte eines Trägers die größte Durchbiegung  $\max w$ . Diese kann nach den Regeln der Baustatik, Kap 6 ermittelt werden, wobei zusätzlich zum Einfluss der Biegemomente wegen des geringen Schubmoduls G von Holz auch der Querkraftanteil berücksichtigt werden muss, und der Einfluss des Knickradius (siehe 1.54 b)) unter langdauernden Lasten einzubeziehen ist.

Wir behandeln zunächst die elastischen Verformungen an einem einfachen Balken unter Gleichlast q und stützen uns auf Baustatik, Kap 6.32:



Es ergibt sich (zB mit Hilfe der Tabelle der Arbeitsintegrale, siehe Baustatik Kap 6.32 e)):

$$\begin{aligned} \max w_{el} &= \frac{1}{EJ} \cdot \left[ \frac{1}{3} \cdot l \cdot (1+0,5^2) \cdot M \cdot 1 \cdot \frac{l}{4} \right] + \dots \\ &\quad + \frac{1}{GA'} \cdot \left[ 2 \cdot \frac{l}{2} \cdot V \cdot \frac{1}{2} \cdot 1 \cdot \frac{1}{2} \right] \\ &= \frac{5Ml^2}{48EJ} + \frac{Vl}{4GA'} \\ &= \frac{Ml^2}{EJ} \cdot \left[ \frac{5}{48} + \frac{V}{4GA'} \cdot \frac{EJ}{Ml^2} \right] \end{aligned}$$

Im Klammerausdruck können wir V und M durch q und l ausdrücken. Damit ergibt sich

$$\max w_{el} = \frac{Ml^2}{EJ} \cdot \left[ \frac{5}{48} + \frac{E}{G} \cdot \frac{J}{A' l^2} \right]$$

Zusammen mit dem die Biegebeanspruchung des Stabs charakterisierenden Faktor  $M^2/EJ$  repräsentiert das erste Glied in der Klammer die elastische Verformung aus Biegemomenten, das zweite Glied diejenige aus Querkräften. Das erste Glied ist dabei von der Form der Momentenfläche abhängig (im vorliegenden Fall Parabel),

Während das zweite Glied unverändert auch zB für eine Einzellast in Feldmitte eines einfachen Balkens als auch für gleichmäßig verteilte Last in Feldern von Daueraufträgern gilt. Vereinfachen wir diese Zufälligkeit, kommen wir zu folgendem Ausatz:

$$\text{vom } w_{\text{el}} = \frac{M l^2}{E J} \cdot \left[ C + \frac{E}{G} \cdot \frac{3}{A l^2} \right]$$

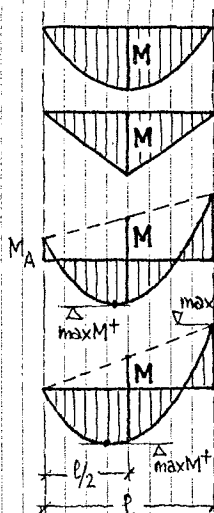
womit  $C$  ein von der Form der Momentenfläche abhängiger dimensionsloser Koeffizient ist. Nehmen wir diesen auch noch vor die Klammer, erhalten wir

$$\text{vom } w_{\text{el}} = C \cdot \frac{M l^2}{E J} \cdot \left[ 1 + \frac{1}{C} \cdot \frac{E}{G} \cdot \frac{3}{A l^2} \right]$$

Die eckige Klammer entspricht dabei einem Vergrößerungsfaktor  $f_v$ , mit dem wir die Verformung aus Biegung allein multiplizieren müssen, um die gesamte elastische Verformung zu erhalten. Wir kommen auf

$$f_v = \left[ 1 + \frac{1}{C} \cdot \frac{E}{G} \cdot \frac{3}{A l^2} \right]$$

Später zurück und betrachten zunächst den Faktor  $C$ . Für den einleitend behandelten Fall "gleichmäßig verteilte Belastung auf einfachem Balken" ist offenbar  $C = 5/48 = 0,104$ . Für andere Formen der Momentenfläche lassen sich die zugehörigen  $C$ -Werte relativ leicht ermitteln. Für häufige Fälle ergibt sich das folgende, wobei  $M$  die absolute Größe der Biegemomente unter Gebrauchslast charakterisiert und in die Formel einzusetzen ist.



$$C = 0,104$$

$$C \approx 0,104 - 0,0625 \cdot \frac{M_A + M_B}{M}$$

wobei  $M_A$  und  $M_B$  in der skizzierten Form positiv einzusetzen sind.

$$C \approx 0,104 - 0,06 \cdot \frac{M_B}{M}$$

gleiche Bezeichnung wie vor.  
In den beiden letzten Fällen ist  $\max M \neq M$

Für den Vergrößerungsfaktor  $f_v$  können wir nun auf den hier vorausgesetzten Rechteck-Querschnitt  $b h$  und das für Nadelholz gültige Verhältnis (1.55 a)  $E/G$  spezialisieren:

$$\frac{E_{\parallel}}{G} = \frac{10^4 \cdot 1000}{500} = 20$$

Weiter ist für Rechteckquerschnitte  $A' = \frac{5}{6} A$  (siehe Baustatik, 6.31 c), womit

$$\frac{3}{A'^2} = \frac{b h^3 \cdot 6}{12 \cdot 5 \cdot b h \cdot l^2} = 0,1 \cdot \frac{h^2}{l^2}$$

also von der Schädlichkeit des Stabes abhängig ist. Darauf ergibt sich der die Schubverformung er-

fassende Vergrößerungsfaktor  $f_v$  zu

$$f_v = \left[ 1 + \frac{1}{C} \cdot 20 \cdot 0,1 \cdot \left( \frac{h}{l} \right)^2 \right] \\ = \left[ 1 + \frac{2}{C} \cdot \left( \frac{h}{l} \right)^2 \right]$$

Für den einfachen Balken unter Gleichlast ergibt sich darum (gültig für  $C = 0,104$ ):

$h/l$	0,025	0,05	0,075	0,10	0,125	0,15
$f_v$	40	20	13,3	10	8	6,7
$f_v$	1,01	1,05	1,11	1,19	1,30	1,43

Für schllanke Träger ( $\frac{h}{l}$  klein) ist der Faktor deutlich fast vernachlässigbar, für vergleichsweise hohe Träger kann er erheblich werden.

Die elastische Verformung unter kurzzeitig wirkenden Lasten beträgt damit

$$\text{vom } w_{\text{el}} = C \cdot \frac{M l^2}{E J} \cdot f_v .$$

Hierin ist der Elastizitätsmodul parallel zur Faser, also  $E_{\parallel}$  gewiß 1.55 a) einzusetzen. Dieser ist für den weiter ausgesetzte Konstruktionen mit 0,9, für Bauteile unter Wasser mit 0,8 abzunehmen. Mit dem bekannten Holzfeuchte-Beiwert  $C_W$  lässt sich  $E_{\parallel}$  ansetzen zu

$$E_{\parallel} = 10^4 \cdot 10^4 \cdot C_W \text{ N/mm}^2 .$$

Zu lösen bleibt damit lediglich noch das Problem des Kriechens unter dem dauernd wirkenden Anteil der Belastung. Bezeichnen wir mit  $\delta$  das Verhältnis der kriecherzeugenden Dauerlasten zum Gesamtlast

$$\delta = \frac{\text{Dauerlast}}{\text{Gesamtlast}},$$

lässt sich die Gesamtverformung  $\max w$  einschließlich Kriecheinfluss in Abhängigkeit zu 1.55 b) durch Vergrößerung der elastischen Kurzzeitverformung mit

$$(1 + \delta \cdot \varphi)$$

ermitteln, wobei  $\varphi$  die Kredizität ist, welche der Norm SIA 164 oder 1.55 b) entnommen werden kann. Damit ergibt sich endlich

$$\max w = C \cdot \frac{M l^2}{E_{\parallel} J} \cdot (1 + \delta \cdot \varphi) \cdot f_v .$$

Diese Durchbiegung muss kleiner bleiben als ein zulässiger Wert, der in der Regel mit

$$w_{\text{zul}} = \frac{l}{n}$$

als Bruchteil der Trägerspannweite eingesetzt wird mit  $n = 500$  bis 200 je nach Ausprägung.

Nehmen wir im unter a) eingeführten Beispiel an, dass die Hälfte der Nutzlast zusammen mit der Eigenlast lauffristig wirken, ergibt sich

$$\delta = \frac{3,6 + 0,5 \cdot 7}{10,6} = 0,67 .$$

Für  $\varphi$  setzen wir  $\varphi = 0,5$ , da das Breitschlitzholz für die Herstellung des Trägers auf Gebrauchsfeuch-

te vorkonditioniert wird (siehe 1.55 b)). Der Koeffizient C ist für einen einfachen Balken unter Gleichlast zu  $C = 0,104$  einzusetzen. Schließlich gilt für M das Moment in Balkenhöhe, also

$$M_x = 107,3 \text{ kNm}.$$

Der Schub einfluss lässt sich für

$$\frac{h}{l} = \frac{750}{9000} = 0,083$$

mit

$$f_V = 1,14 \quad (\text{Tabelle})$$

einsätzen. Damit ergibt sich mit

$$J_x = \frac{120 \cdot 750^3}{12} = 4218 \cdot 10^6 \text{ mm}^4$$

$$\max w = 0,104 \cdot \frac{107,3 \cdot 10^6 \cdot 9000^2}{10'000 \cdot 4218 \cdot 10^6} \cdot (1 + 0,67 \cdot 0,5) \cdot 1,14 \\ = 33 \text{ mm}.$$

Setzt man die zulässige Durchbiegung als

$$\text{zul } w = \frac{l}{300} = \frac{9000}{300} = 30 \text{ mm}$$

zu, wäre also der Brettschlitzträger leicht unterschritten. Man könnte allerdings den Träger um zB 20 mm überhöhen (siehe 1.55 c)) und müsste dann die zulässige Durchbiegung nur unter Nutzlast allein einhalten. Unter  $p = 7 \text{ kN/m}$  ergäbe sich dann beispielsweise

$$M_x = 7 \cdot \frac{g^2}{8} = 70,9 \text{ kNm}$$

Wieder ist jetzt

$$\delta = \frac{0,5 \cdot 7}{7} = 0,5$$

womit sich die Durchbiegung  $\max w_p$  aus Nutzlast allein zu

$$\max w_p = 0,104 \cdot \frac{70,9 \cdot 9000^2}{10'000 \cdot 4218} \cdot (1 + 0,5 \cdot 0,5) \cdot 1,14 \\ = 20 \text{ mm}$$

ergibt. Mit Überhöhung ist also der Träger noch als ausreichend zu betrachten.

Auch der Durchbiegungsnachweis lässt sich in eine Bemessungsformel, hier für das Trigheitsmoment  $J_x$ , umformen. Aus

$$\text{zul } w = \frac{l}{n} > c \cdot \frac{M_x \cdot l^2}{E'' J_x} \cdot (1 + \delta \varphi) \cdot f_V$$

ergibt sich unter Berücksichtigung des Einflusses der Holzfeuchte auf den Elastizitätsmodul gemäß früher eingeführtem Ausatz

$$E'' = 10'000 \cdot \sqrt{c_W} \text{ N/mm}^2$$

folgender Ausdruck, der  $\text{erf } J_x$  in  $\text{mm}^4 \cdot 10^6$  liefert, sofern  $M_x$  in kNm und  $l$  in m eingesetzt werden:

$$\text{voh. } J_x > \text{erf } J_x = \frac{c \cdot n}{10 \cdot \sqrt{c_W}} \cdot M_x \cdot l \cdot (1 + \delta \varphi) \cdot f_V.$$

In der Größe  $n$  äußern sich die Anforderungen an die Begrenzung der Durchbiegungen. Der Faktor  $f_V$  ist - da die Balkenhöhe noch nicht

bekannt ist - zunächst aufgrund einer Schätzung der Höhe des Balkens außerhalb der vorne eingeführten Formel festzulegen.

Für das auf Spalte 16 unten eingeführte Beispiel ergibt sich bei einer Forderung

$$\text{zul } w = \frac{l}{300}$$

$n = 300$ , während  $c = 0,104$  ist. Der Balken ist der Witterung ausgesetzt, woraus  $c_W = 0,8$  folgt. Schließlich sei  $\delta = 0,5$  und  $\varphi = 1,0$  (leicht angekochtes Holz eingebaut). Der Faktor  $f_V$  schliesslich kann zu  $f_V = 1,05$  aufgesetzt werden. Damit folgt

$$\text{erf } J_x = \frac{0,104 \cdot 300}{10 \cdot \sqrt{0,8}} \cdot 12,67 \cdot 4,5 \cdot (1 + 0,5 \cdot 1,0) \cdot 1,05 \\ = 313,2 \cdot 10^6 \text{ mm}^4.$$

Daraus ergibt sich, dass die unter a) in Aussicht genommenen Querschnitte alle nicht genügen, sondern ein Querschnitt

- □ 20/28 FK II

gewählt werden muss, wenn man die Durchbiegungsbegrenzung einhalten will.

#### d) Bemessungsformeln

Um erste Anhaltspunkte für die Abmessungen eines Brüststabes zu erhalten, können wir die unter a) bis c) hergeleiteten Bemessungsformeln heranziehen. Diese lauten:

$$\text{erf } W_x = \frac{0,1}{c_D \cdot c_W} \cdot \max M_x \cdot 10^6$$

$$\text{erf } A = \frac{1,5}{c_D \cdot c_W} \cdot \max V_y \cdot 10^3$$

$$\text{erf } J_x = \frac{c \cdot n}{10 \cdot \sqrt{c_W}} \cdot M_x \cdot l \cdot (1 + \delta \varphi) \cdot f_V \cdot 10^6$$

wobei  $\max M$  und  $M_x$  in kNm,  $\max V_y$  in kN und  $l$  in m einzusetzen sind, um  $\text{erf } W_x$  in  $\text{mm}^3$ ,  $\text{erf } A$  in  $\text{mm}^2$  und  $\text{erf } J_x$  in  $\text{mm}^4$  zu erhalten.

Für den durch folgende häufig vorkommende Bedingungen charakterisierten Fall:

- einfacher Balken mit  $h \leq l/16$ , FK II
- gleichförmig verteilte, langfristige Last
- vor Witterungseinflüssen geschützt  $\rightarrow \delta \varphi \approx 0,5$
- Holz leicht angekochnet eingebaut,
- zul. Durchbiegung zul  $w = l/n$

ergeben sich folgende einfache Ausdrücke:

$$\text{erf } W_x = 0,1 \cdot \max M_x \cdot 10^6 \text{ [mm}^3\text{]}$$

$$\text{erf } A = 1,5 \cdot \max V_y \cdot 10^3 \text{ [mm}^2\text{]}$$

$$\text{erf } J_x = \frac{n}{60} \cdot \max M_x \cdot l \cdot 10^6 \text{ [mm}^4\text{]}$$

wobei als Maßeinheiten für Kräfte kN und für Längen m einzusetzen sind. Damit ist eine Bemessung rasch erledigt.

Als Beispiel für die Anwendung dieser Formeln ein typischer Fall, zB für ein Deckenbalken, mit  $\text{zul} \omega = l/300$ :

$$q = 3 \text{ kN/m} \rightarrow \max M = 3 \cdot \frac{5l^2}{8} = 9,4 \text{ kNm}$$

$$\max V = 3 \cdot \frac{5l}{2} = 7,5 \text{ kN}$$

$$\text{erf } W = 0,1 \cdot 9,4 = 0,94 \cdot 10^6 \text{ mm}^3$$

$$\text{erf } A = 1,5 \cdot 7,5 = 11,25 \cdot 10^3 \text{ mm}^2$$

$$\text{erf } I = \frac{300}{60} \cdot 9,4 \cdot 5 = 235 \cdot 10^6 \text{ mm}^4$$

Aus der Tabelle unter 1.31 b) findet man als billigsten Querschnitt (min A), der alle Bedingungen erfüllt:

Et 20/26 FK II

Man hat natürlich die Tendenz, den - kleineren - Vierkantquerschnitt Et 20/24 zu verwenden. Da die Durchbiegung via erf  $\exists$  maßgebend war für die Bemessung, könnte mit der allgemeinen gültigen Formel unter Erfüllung zutreffender Werte für  $\delta_{\text{sp}}$ ,  $f_v$  der Anspruch an erf  $\exists$  überprüft werden.

Die vorstehenden Bemessungsformeln dürfen im übrigen auch für Brettschlitträger verwendet werden, wobei die erforderlichen Querschnittswerte (mit Ausnahme von erf  $\exists_x$  in der komplizierteren Form) um rund 20% reduziert werden dürfen.

### 3.32 Zweiaxige Biegung

Von zweiaxiger oder schiefen Biegung spricht man dann, wenn die Kraft-Ebene nicht mit der y-Achse eines Rechteckquerschnitts zusammenfällt. Wie schon auf Spalte 14 festgestellt, rechnet man die Belastung um in die zwei parallel zu den Achsen x und y des Querschnitts wirkenden Komponenten  $q_x$  und  $q_y$ , wobei der Index sich von der zugehörigen Achse herleitet. Aus den beiden Komponenten ergeben sich zu den zugehörigen statischen Systemen die Schnittkräfte und Durchbiegungen, und zwar aus

$$q_x = q \cdot \sin \beta \rightarrow V_x, M_y, \omega_x$$

$$q_y = q \cdot \cos \beta \rightarrow V_y, M_x, \omega_y$$

Diese Größen sind die Grundlage für die nötigen Nachweise.

Für den Nachweis der Normalspannungen sind getrennt die Biegespannungen  $\text{vorch}_{bx}$  und  $\text{vorch}_{by}$  zu ermitteln sowie die zugehörigen zulässigen Spannungen  $\text{zul } \tilde{\sigma}_{bx}$  und  $\text{zul } \tilde{\sigma}_{by}$  unter Beachtung von Lastdauer-, Holzfeuchte- und geometrischen Beiwerten. Für die zulässigen Spannungen gelten die unter 3.31 a) gegebenen Hinweise, während die vorhandenen Werte mit den zugehörigen Widerstandsmomenten zu ermitteln sind:

$$\text{vorch}_{bx} = \frac{\max M_x}{W_x} ; \text{vorch}_{by} = \frac{\max M_y}{W_y}$$

Mit diesen Werten ist nachzuweisen, dass die folgende Bedingung erfüllt ist:

$$\frac{\text{vorch}_{bx}}{\text{zul } \tilde{\sigma}_{bx}} + \frac{\text{vorch}_{by}}{\text{zul } \tilde{\sigma}_{by}} \leq 1$$

Der Nachweis ist nicht im Sinne einer Bemessung umkehrbar. Der nötige Querschnitt kann nur durch Probieren gefunden werden. Allerdings enthalten die Holzbau-Tabellen und andere Handbücher praktische Diagramme für eine erste Vorbemessung.

Die vorhandenen Schubspannungen von T ermitteln wir der Einfachheit halber aus den resultierenden Querkraft  $\max V$

$$\max V = \sqrt{\max V_x^2 + \max V_y^2}$$

zu

$$\text{vorch } T = 1,5 \cdot \frac{\max V}{A}$$

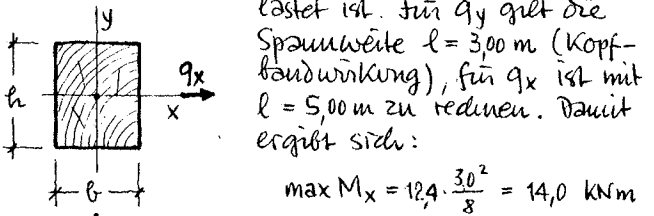
und vergleichen diesen Wert mit der unter 3.31 b) angegebenen zulässigen Schubspannung  $\text{zul } \tilde{T}$ .

Schliesslich sind die Durchbiegungen  $\text{vorch } w_x$  und  $\text{vorch } w_y$  nach den unter 3.13 c) angegebenen Formeln zu ermitteln. Die maximale Durchbiegung  $\max w$  ergibt sich dann durch vektorielle Addition zu

$$\max w = \sqrt{\text{vorch } w_x^2 + \text{vorch } w_y^2}$$

Dieser Wert ist wieder mit der zulässigen Durchbiegung  $\text{zul } w$  zu vergleichen.

Als Beispiel wählen wir einen sog. Kopfbauträger (siehe Kap 4.11 d)), welcher vertikal mit  $q_y = 12,4 \text{ kN/m}$ , horizontal mit  $q_x = 3,4 \text{ kN/m}$  belastet ist. Für  $q_y$  gilt die Spannweite  $l = 3,00 \text{ m}$  (Kopfbauwirkung), für  $q_x$  ist mit  $l = 5,00 \text{ m}$  zu reduzieren. Daraus ergibt sich:



$$\max M_x = 12,4 \cdot \frac{3,0^2}{8} = 14,0 \text{ kNm}$$

$$\max M_y = 3,4 \cdot \frac{5,0^2}{8} = 10,6 \text{ kNm}$$

$$\max V_x = 3,4 \cdot \frac{5,0}{2} = 8,5 \text{ kN}$$

$$\max V_y = 12,4 \cdot \frac{3,0}{2} = 18,6 \text{ kN}$$

Wir nehmen weiter an, dass der Stab in gesetzter Umgebung liegt ( $c_w = 1,0$ ), dass  $q_x$  aus Wind herrührt ( $c_0 = 1,25$  für  $q_x$ ),  $q_y$  jedoch langfristigen Charakter hat ( $c_0 = 1,00$  für  $q_y$ ) und dass das Holz leicht vorgetrocknet eingebaut wird.

Nach einigem Probieren schreint ein Querschnitt

$$\text{Et 24/26} \quad A = 62,4 \cdot 10^3 \text{ mm}^2$$

$$W_x = 2,70 \cdot 10^6 \text{ mm}^3, \quad W_y = 2,50 \cdot 10^6 \text{ mm}^3$$

$$I_x = 352 \cdot 10^6 \text{ mm}^4, \quad I_y = 283 \cdot 10^6 \text{ mm}^4$$

ausreichend zu sein. Für diesen Querschnitt werden nun die nötigen Nachweise geführt.

Nachweis der Brügebeanspruchungen:

$$\text{vorb } \bar{\sigma}_{bx} = \frac{14,0}{2,70} = 5,2 ; \text{ zul } \bar{\sigma}_{bx} = 10,0 \cdot 1,0 \cdot 1,0 = 10,0$$

$$\text{vorb } \bar{\sigma}_{by} = \frac{10,6}{2,50} = 4,2 ; \text{ zul } \bar{\sigma}_{by} = 10,0 \cdot 1,25 \cdot 1,0 = 12,5$$

Damit folgt:

$$\frac{5,2}{10,0} + \frac{4,2}{12,5} = 0,86 < 1 \text{ OK}$$

Nachweis der Schubbeanspruchungen:

$$\max V = \sqrt{85^2 + 186^2} = 20,5 \text{ kN}$$

$$\text{vorb } T = 1,5 \cdot \frac{20,5}{62,4} = 0,49 \text{ N/mm}^2 < \text{zul } T = 1,0 \text{ OK}$$

Die Durchbiegungen betragen:

$$\text{vorb } w_x = 0,104 \cdot \frac{10,6 \cdot 10^6 \cdot 5000^2}{10'000 \cdot 283 \cdot 10^6} \cdot 1,05 = 10,2 \text{ mm}$$

$$\text{vorb } w_y = 0,104 \cdot \frac{14,0 \cdot 10^6 \cdot 3000^2}{10'000 \cdot 352 \cdot 10^6} \cdot (1+1,0 \cdot 1,0) \cdot 1,17 = 8,7 \text{ mm}$$

$$\max w = \sqrt{10,2^2 + 8,7^2} = 13,4 \text{ mm}$$

Für Balkentragwerke (dem das Beispiel entnommen ist) gilt als zulässige Durchbiegung

$$\text{zul } w = l/200.$$

Beziehen wir den errechneten Wert auf die wirkende Spannweite  $l = 3000 \text{ mm}$ , ergibt sich

$$\text{zul } w = 3000/200 = 15 \text{ mm.}$$

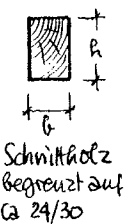
Die vorhandene Durchbiegung ist demnach zulässig.

## 3.4 Zusammengesetzte Träger

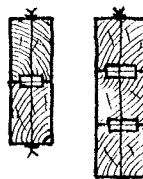
Für größere Spannweiten und Lasten reichen die normalen, aus dem Stamm geschnittenen Schnithölzer nicht mehr aus und zwar wegen ihrer Längsbegrenzung und der Begrenzung der Querschnittshöhenabmessungen. Schon früh hat sich deshalb der Zimmermann um zusammengesetzte Träger bemüht. Typische Beispiele sind verdübelte und verzahnte Träger und Bogen, Hängewerke, Sprengwerke und eine ganze Reihe von Fachwerkartigen Tragsystemen. Mit Hilfe der modernen Verbindungsmitte des Dingerischen Holzbau, insbesondere Nagel und Leim, stehen dem Holzbau heute in dieser Hinsicht fast alle Türen offen.

### 3.4.1 Möglichkeiten

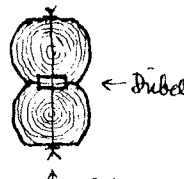
Typische Querschnittsformen, insbesondere für Tragelemente, die auf Biegung (und Schub) beansprucht sind, sind die folgenden



Schnitholz begrenzt auf ca 24/30



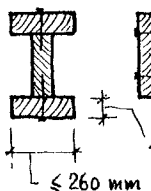
zwei- und dreiteilig verdübt



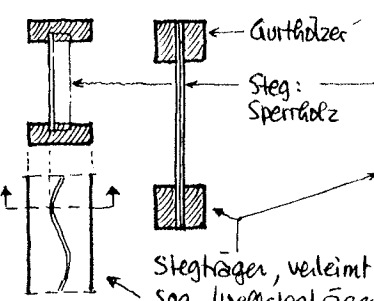
Balken, auch aus sägegeschriftem Rundholz (förmlichen Bauarten).



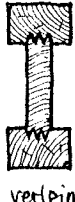
Breitschlitzverleimte Träger, auch gekrümmmt! Breite  $b \leq 200 \text{ mm}$  (Brettbreite). Höhe  $h$  praktisch durch Herstellungseinrichtungen und statisch durch Kippgefahr begrenzt.  $h = 2000 \text{ mm}$  jedoch durchaus erreichbar



Bohlenträger ver Nagelt, Abmessungen begrenzt durch Schnitholzabmessungen



Stegträger, verleimt oder vernagelt sog. Wellstegträger (Grundriss & Querschnitt)



vertleimt

Hinzu kommen alle Möglichkeiten von Fachwerkträgern aus Brettern, Bohlen und Kanthölzern, verbunden mit den in Kap. 2 beschriebenen Verbindungsmittele, insbesondere Nägeln, Bolzen, Dübeln, Nagelplatten etc.

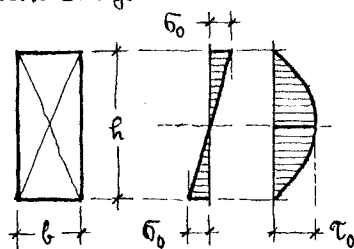
### 3.42 Verdübelter Balken

Verdübelte Balken waren lange das einzige Mittel des Zimmermanns, die natürlichen Grenze von Schuhholz zu überspringen. Sie sind jedoch aufwendig in der Herstellung und benötigen vergleichsweise viel Holz. Sie kommen deshalb heute nur noch dort in Betracht, wo z.B. verleimte Träger nicht herstellbar und auch nicht von Lieferanten beziehbar sind.

#### a) Wirkungsweise

Die Wirkungsweise eines verdübelten Balkens lässt sich leicht durch Vergleich eines Vollholzträgers mit gleichem Querschnitt erklären:

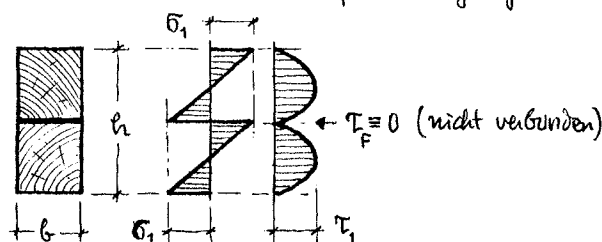
Vollholzträger:



Querschnittswerte:

$$\begin{aligned} A_0 &= bh \rightarrow t_0 \\ W_0 &= bh^2/6 \rightarrow \overline{b}_0 = M/W_0 \\ \overline{\tau}_0 &= bh^3/12 \rightarrow w_0 \end{aligned}$$

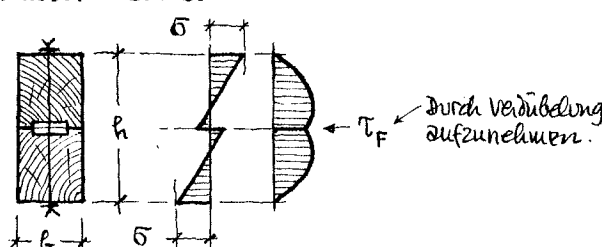
Zwei Einzelbalken: lose aufeinandergelegt!



Querschnittswerte:

$$\begin{aligned} A_1 &= A_0 \\ W_1 &= 2 \cdot b \cdot (\frac{h}{2})^2/6 = bh^2/12 \rightarrow \overline{b}_1 = 2 \cdot \overline{b}_0 = \overline{b}_0/0,5 \\ \overline{\tau}_1 &= 2 \cdot b \cdot (\frac{h}{2})^3/12 = bh^3/48 \rightarrow w_1 = 4 \cdot w_0 = w_0/0,25 \end{aligned}$$

Verdübelter Balken:



Querschnittswerte:

$$\begin{aligned} A &= A_0 & \rightarrow T_F = t_0 \cdot \gamma \\ W &= \beta \cdot W_0 & \rightarrow \overline{b} = \overline{b}_0 / \beta \\ \overline{\tau} &= \eta \cdot \overline{\tau}_0 & \rightarrow w = w_0 / \eta \end{aligned}$$

Die in vorstehenden Ausdrücken eingeführten

Koeffizienten  $\gamma$ ,  $\beta$ ,  $\eta$  beziehen die "wirksamen" Querschnittswerte des verdübelten Balkens auf diejenigen eines Vollholzträgers gleicher Längen. Durch Vergleich mit dem Grenzfall zweier lose aufeinandergelegter Einzelbalken sehen wir, dass die Koeffizienten in folgenden Grenzen liegen müssen:

$$0 < \gamma < 1$$

$$0,5 < \beta < 1$$

$$0,25 < \eta < 1$$

Theoretische Untersuchungen zeigen, dass zwischen den drei Koeffizienten genau definierte Zusammenhänge bestehen:

$$\beta = 3\eta / (1+2\eta)$$

$$\gamma = (4\eta - 1) / 3\eta$$

Damit erhält der schon unter 3.21 b) eingeführte Wirkungsgrad  $\eta$  der Schlußverbindung zwischen den beiden Balken eine Art Schlüsselstellung. Ist  $\eta$  bekannt, lassen sich  $T_F$  (und damit die Verdübelung), die maximale Randspannung  $\overline{\tau}$  und die Durchbiegung des verdübelten Balkens aus den Werten des Vollquerschnitts gleicher Längenfläche ermitteln.

Die Größe des Wirkungsgrades  $\eta$  hängt nun von einer Reihe von Einflüssen ab, u.a. von der

- Tragkraft und Steifigkeit der Verdübelung
- Spannweite des Balkens
- Belastungsart

Im Prinzip können die Ansätze der Norm SIA 164, Art. 3.32.33 verwendet werden, um  $\eta$  zu bestimmen. Für die normalen Verhältnisse gestaltet jedoch die Norm vereinfacht zu reden, indem sie  $\eta$  zu

$$\eta = 0,65$$

festlegt. Damit wird automatisch

$$\beta = 0,85$$

$$\gamma = 0,82$$

und alle gewünschten Querschnittswerte sind bestimmbar.

#### b) Bemessung

Die Bemessung eines verdübelten Balkens benutzt im Prinzip die gleichen Formeln, wie sie unter 3.31 hergeleitet und in 3.31 d) zusammengestellt sind, allerdings ist folgendes zu beachten:

- Die Schlußspannung in der Verbindungsfläche  $T_F$  muss auf die Tragkapazität der Verbindungsmitte (Zimmermannsdübel, Ringdübel, Einpreßdübel) begrenzt bleiben.
- Bei der Kontrolle der Normalspannungen muss die Schwächung durch das Schraubloch einschließlich entsprechender Kerbwirkung beachtet werden.

Wir greifen den ersten Punkt zuerst auf, indem

wir auf Kap. 2 zurückgreifen und die zulässige Knap in den Verbindungsstellen auf den durch minimale Abstände definierten Platzbedarf beziehen, also die "mittleren" Scherspannungen  $\tau_m$

$$\tau_m = \frac{F}{A}$$

ermitteln. Für Flachdübel (oder Zinnensmann-Dübel siehe 2.51) ergibt sich

$$\tau_m = \frac{8,5 \cdot b \cdot t}{(d+v)b} = \frac{8,5 \cdot t}{8,5 \cdot t + 1,7 \cdot 8,5 \cdot t} = 0,37 \text{ N/mm}^2.$$

Ringdübel leisten demgegenüber (siehe 2.52):

$$\tau_m = \frac{12 \cdot d_a^{1,5}}{2 \cdot d_a \cdot 2 \cdot \frac{2}{3} \cdot d_a} = \frac{4,5}{\sqrt{d_a}} \quad \text{N/mm}^2 \text{ für } d_a \text{ in mm.}$$

Für die verschiedenen Ringdübel-Durchmesser ergibt sich damit:

RD	60	80	100	120	140	160	180	200	mm
$\tau_m$	0,58	0,50	0,45	0,41	0,38	0,36	0,34	0,32	$\text{N/mm}^2$

Im Bereich der auf übliche Balkenbreiten abgestimmten Ringdübel-Durchmesser ist also dieser Verbindungs-Typ nicht leistungsfähiger als der alte Zinnensmannsdübel.

Für Bulldog-Dübel (siehe 2.53) ergibt sich einschließlich der zugehörigen Schraube die folgende Tabelle:

BD	50	62	75	95	117	140	165	70/130	mm
$\tau_m$	0,64	0,80	0,66	0,61	0,62	0,55	0,50	0,49	$\text{N/mm}^2$

Bulldog-Dübel sind also leistungsfähiger, doch in ihrem Verformungsverhalten weniger günstig als Ringdübel. Man tut deshalb gut daran, die Scherspannungen  $\tau_F$  im verdübelten Balken auf etwa

$$\tau_F \leq 0,35 \text{ N/mm}^2$$

zu begrenzen. Diese Zahl ist  $\tau = 1,0 \text{ N/mm}^2$  gegenüberzustellen, die der Bemessung der Querschnittsfläche A (siehe 3.31 b)) zugrundegelegt wurde.

Beziehen wir alles auf den Mittelpunkt bh des gedachten Vollholz-Querschnitts, wird also die Querschnittsfläche  $A_0$  unter Bedingung von  $\gamma = 0,82$  betragen müssen

$$\begin{aligned} \text{vorb } A_0 &\geq \text{erf } A_0 = 0,82 \cdot 1,0 \cdot \frac{1,5}{0,35} \cdot \frac{1}{C_D \cdot C_W} \cdot \max V \\ &= \frac{3,5}{C_D \cdot C_W} \cdot \max V \end{aligned}$$

wobei sich  $A_0$  in  $\text{mm}^2 \cdot 10^{-3}$  ergibt für V in KN (wie unter 3.31 d)). Dies ist mehr als doppelt soviel, als bei einem Vollholz-Querschnitt gleichen Umrißes nötig wäre (wenn es ihm gäbe).

Für die Bemessung eines verdübelten Balkens auf Einhaltung der Brügespannungen ist neben dem Koeffizienten  $\beta = 0,85$  die Schwächung durch das Schraubenloch und die zugehörige Kerbwirkung zu beachten. Nehmen wir zu, daß der lochdurchmesser  $0,13 \cdot b$  beträgt und der Kerbwert mit  $C_K = 0,8$  richtig eingeschätzt ist, ergibt sich, wieder auf den Vollholzquerschnitt bh

bezogen, die folgende Forderung:

$$\begin{aligned} \text{vorb } W_0 &\geq \text{erf } W_0 = \frac{1}{0,8 \cdot (1-0,13)} \cdot \frac{1}{0,85} \cdot \frac{0,1}{C_D \cdot C_W} \cdot \max M \\ &= \frac{0,17}{C_D \cdot C_W} \cdot \max M \end{aligned}$$

in  $\text{mm}^3 \cdot 10^{-6}$  für M in KNm. Dies ist 70% mehr als für einen äquivalenten Vollholz-Querschnitt.

Bei der Bemessung auf Durchbiegung schließlich ist  $\gamma = 0,65$  zu beachten, wobei allerdings die Lochschwächung unberücksichtigt bleibt darf. Damit ergibt sich analog

$$\text{vorb } \vartheta_0 \geq \text{erf } \vartheta_0 = \frac{1}{0,65} \cdot \frac{C \cdot \eta}{10 \cdot C_W} \cdot M \cdot l \cdot (1 + \delta \varphi) \cdot f_v,$$

wieder in  $\text{mm}^4 \cdot 10^{-6}$  für m und KNm. Dies ist wieder gut 50% mehr als ein Vollholz-Querschnitt erfordern würde.

Für die unter 3.31 d) definierten Bedingungen ergeben sich - analog zusammengestellt wie dort - die folgenden Bedingungen:

$$\text{erf } W_0 = 0,17 \cdot \max M \quad [\text{mm}^3 \cdot 10^{-6}]$$

$$\text{erf } A_0 = 3,5 \cdot \max V \quad [\text{mm}^2 \cdot 10^{-3}]$$

$$\text{erf } \vartheta_0 = \frac{n}{40} \cdot \max M \cdot l \quad [\text{mm}^4 \cdot 10^{-6}]$$

wieder für KN bzw m. Im Vergleich zu den dort angegebenen Formeln erkennt man die höheren Anforderungen an den Holzbedarf.

### c) Bestimmung der Verdübelung

Hat man den Querschnitt aufgrund der vorstehenden Formeln bestimmt (liegt also b und h fest), ist die im zu  $\max V$  gehörigen Schnitt (meist beim Auflager) vorhandene Scherspannung  $\tau_F$  bestimmbar zu

$$\text{vorb } \tau_F = 0,82 \cdot 1,5 \cdot \frac{\max V}{bh} = 1,23 \cdot \frac{\max V}{bh}$$

Nun wird - abgestimmt auf die Balkenbreite - der Dübeltyp gewählt und dessen zulässige Kraftrule  $F$  nach Kap 2 bestimmt. Der Dübelabstand e bis hin zum nächsten Dübel lässt sich damit aus der Bedingung

$$\text{vorb } \tau_F \cdot b \cdot e \leq \text{zul } F$$

bestimmen zu

$$e \leq \frac{\text{zul } F}{\text{vorb } \tau_F \cdot b} = 0,81 \cdot \frac{\text{zul } F}{\max V} \cdot h.$$

Entsprechend den gegen die Balkenmitte hin abnehmenden Querkräften (siehe Querkraftfläche) darf dieser Abstand der Dübel gegen die Balkenmitte hin vergrößert werden, wobei jedoch aus konstruktiven Gründen ein maximaler Abstand von etwa

$$\text{max } e = 1,5 \cdot h$$

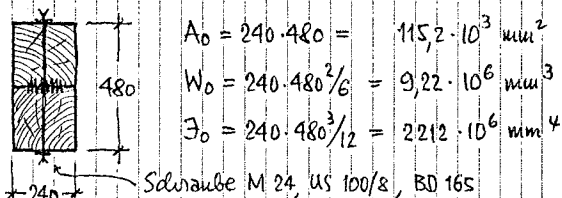
nicht überschritten werden sollte. Damit ist die Verdübelung bestimmt.

### d) Beispiel

Als Beispiel wählen wir einen einfachen Balken mit  $l = 6,0 \text{ m}$  und einer gleichmäßig verteilten Last von  $q = 10 \text{ kN/m}$ , wovon  $g = 4 \text{ kN/m}$  als langfristig zu betrachten sind. Als zulässige Durchbiegung ist  $\text{zul } w = l/300$  ( $\rightarrow n=300$ ) anzusehen. Das Holz wird leicht abgetrocknet eingebaut ( $\varphi=0,5$ ). Schließlich sei der Balken in vorwitterungsempflossen geschränkter Lage ( $c_w=1$ ). Daraus ergibt sich:

$$\begin{aligned} \text{max } M &= 10 \cdot 6^2 / 8 = 45 \text{ kNm} \\ \text{max } V &= 10 \cdot 6 / 2 = 30 \text{ kN} \\ S &= 4/10 = 0,4 ; f_V \approx 1,10 \text{ (geschätzt)} \\ \text{erf } A_0 &= 3,5 \cdot 30 = 105 \cdot 10^3 \text{ mm}^2 \\ \text{erf } W_0 &= 0,17 \cdot 45 = 7,65 \cdot 10^6 \text{ mm}^3 \\ \text{erf } J_0 &= \frac{1}{0,65} \cdot \frac{0,104 \cdot 300}{10} \cdot 45 \cdot 60 \cdot (1+0,4,0,5) \cdot 1,10 \\ &= 1710 \cdot 10^6 \text{ mm}^4 \end{aligned}$$

Der folgende Querschnitt erfüllt alle diese Belastungen:



wir wählen Bulldog - Dübel BD 165. Hierfür ist  
 $\text{zul } F_{BD} = 20,8 \text{ kN}$  (Tabelle unter 2.53)

und der Dübelabstand beim Auflager

$$e \leq 0,81 \cdot \frac{20,8}{30} \cdot 480 = 270 \text{ mm}.$$

Dieser Abstand darf gegen Balkenmitte hin umgekehrt proportional zum Querkraftverlauf vergrößert werden, soll jedoch

$$e = 1,5 \cdot 480 = 720 \text{ mm}$$

nicht überschreiten.

Als Übung ermittle man einen Brettschichtträger gleicher Leistungsfähigkeit und vergleiche den Holzbedarf.

### e) Andere Formen

Auch dreikellige Verdübelte Balken sind denkbar und von der Norm SIA 164 her gestaltet. Sie sind jedoch mit  $h=0,33$ ;  $\beta=0,60$  und  $\gamma=0,90$  sehr holzaufwendig und deshalb nicht zu empfehlen.

Im forstlichen Bauwesen werden im übrigen auch verdübelte Balken aus sägegestrichenem Rundholz (siehe 3.41) verwendet. Für die Bemessung des dort skizzierten Querschnitts kann man die vorstehend hergeleiteten Formeln verwenden, wenn man

$$b \approx 0,75 \cdot D$$

$$h \approx 1,70 \cdot D$$

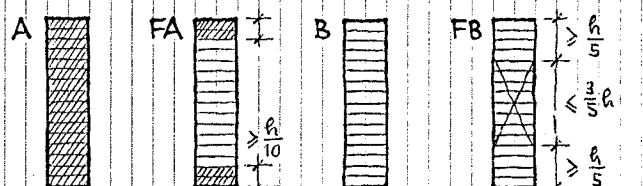
mit  $D$  = Durchmesser des Rundholzes einsetzt.

### 3.43 Brettschichtträger

Für die auch als Herzer-Träger bezeichneten Brettschichtträger ist vieles für die Bemessung wichtig. Wichtiges bereits unter 3.3 schon gesagt. Wir kommen dort zu kurzen:

#### a) Bemessung und Spannungsnachweise

Bei der Bemessung von Brettschichtträgern ist zunächst zu beachten, wie und mit welchen Festigkeitsklassen die Träger aufgebaut werden:



Allgemeine Bezeichnungen:  
A: Alle Bretter aus FK I oder min. 2 Lamellen der FK II mit Keilzinkenstößen  
FA: Alle Bretter aus FK II mit Keilzinkenstößen aus FK I alle mit Keilzinkenstößen  
B: Alle Bretter aus FK II im mittleren Teil dürfen Bretter stumpf gestoßen werden

Die Bezeichnung A bzw B bezieht sich auf die Festigkeitsklasse in den maßgebenden Zonen des Brettschichtträgers. Der Vorsatz F steht für "flexion" - Biegung - wo in den auf Biegung besonders beanspruchten Zonen besondere Anforderungen gestellt werden.

Die für Durchbiegungen maßgebende Elastizitätsmodul  $E_{II}$  sowie die zulässigen Normalspannungen bewegen sich für die verschiedenen Aufbau-Typen nach Norm SIA 164:

	A	FA	B	FB	$N/\text{mm}^2$
$E_{II}$	11'000	11'000	10'000	10'000	
$\text{zul } \tilde{\sigma}_2$	14	14	12	12	"
$\text{zul } \tilde{\sigma}_{2II} = \text{zul } \tilde{\sigma}_{dII}$	11	10	10	8	"

während unabhängig vom Aufbau

$\text{zul } \tilde{\sigma}_{dI}$ ohne Vochholz ( $v < 100 \text{ mm}$ )	1,2	$N/\text{mm}^2$
$\text{zul } \tilde{\sigma}_{dI}$ mit Vochholz oder bei Endauflagerung ( $v > 100 \text{ mm}$ )	1,6 (2,5)	"
$\text{zul } \tilde{\sigma}_a$ Abdrücken	1,0	"
$\text{zul } \tilde{\sigma}_c$ Schlub	1,2	"

ist, wobei der in Klammern gesetzte Wert dann zulässig ist, wenn größere Einindrückungen maßgeblich ohne Einfluss auf den Bedarf des Bauteils sind.

Alle Spannungen sind mit Lastdauer- und Holzfeuchtigkeits-Biwert (siehe 1.54 b und c)) sowie mit einer Reihe von geometrisch bedingten Biwerten (siehe 1.54 d)) zu multiplizieren, um die Bruchspannungen  $\tilde{\sigma}$  bzw.  $\tilde{\tau}$  zu erhalten.

Die unter 3.31 hergeleiteten Beiwertsgleichungen basieren auf kleineren Werten für  $E_{II}$ ,  $\sigma_b$  und  $T$  (10'000, 10 und 1,0). Die durch die Formeln gestellten Anforderungen können deshalb proportional abgeändert werden. Daraus ergibt sich aus 3.31 d):

$$\text{erf } W_x = \frac{10}{\text{zul } \sigma_b} \cdot \frac{0,1}{C_D \cdot C_W} \cdot \max M_x$$

$$\text{erf } A = \frac{1,0}{\text{zul } T} \cdot \frac{1,5}{C_D \cdot C_W} \cdot \max V_y$$

$$\text{erf } \beta_x = \frac{10'000}{E_{II}} \cdot \frac{C_n}{10 \cdot \sqrt{C_W}} \cdot M_x \cdot l \cdot (1 + \delta \varphi) \cdot f_r$$

Wobei  $\max M_x$  und  $M_x$  in kNm,  $\max V_y$  in kN und  $l$  in m einzusetzen sind, um die Querschnittswerte in  $\text{mm}^3 \cdot 10^{-5}$  bzw.  $\text{mm}^2 \cdot 10^{-3}$  und  $\text{mm}^4 \cdot 10^{-6}$  zu erhalten.

Es zeigt sich jedoch, dass diese Formeln nur einen ersten Anhaltspunkt geben können, da normalerweise zusätzlich geometrisch bedingte Beiwerte ( $C_H$  und  $K_D$ ) zu beachten sind. Auch können Brettschichtträger überschlägt werden, um den Durchbiegungsanteil aus ständigen Lasten zu kompensieren (siehe 1.55c). Daraus sinken die Ausprägung am  $\beta_x$ . Aus diesen Gründen ist stets ein zu die überschlägliche Beiwertsgleichung ausdifferenzierter Spannungsnachweis und ein Durchbiegungsnachweis nötig. Siehe hierzu insbesondere 3.31 a) und c).

### b) gekrümmte Brettschichtträger

Ein besonderer Vorteil der Brettschicht-Bauweise ist, dass Träger gekrümmt werden können und auch variable Bauhöhe möglich ist. Dabei sind jedoch einige zusätzliche Einflüsse zu beachten:

Durch das Krümmen der Brett-Lamellen beim Verleimen gekrümmter Träger werden Biegespannungen in jede Lamelle eingespannt und im Brettschichtträger quasi "eingefroren". Diese Zusatzspannungen  $\sigma_{z,i}$  hängen von der Lamelldicke  $t$  und dem Krümmungsradius  $r$  ab. Nach Baustatik, Kap. 5.41 b) ist mit  $\beta = r = \text{Krümmungsradius}$

$$\beta = \frac{1}{\phi} = \frac{EJ}{M} = r$$

womit  $M$  das aus Krümmung erzeugte Biegemoment in der Lamelle ist, welches die gesuchten Biegespannungen  $\sigma_{z,c}$  erzeugt. Es ist bekanntlich

$$\sigma_{z,c} = \frac{M}{J} \cdot \frac{t}{r^2} = \frac{EJ}{r \cdot J^2} \cdot \frac{t}{r} = E \cdot \frac{t}{2r} .$$

Dieser Wert wird durch Kriechen des Holzes leicht abgeändert, wobei sich zeigt, dass dieser Einfluss je größer ist, je größer das Verhältnis  $t/r$  ist. Versuche haben gezeigt, dass der Abminderungsfaktor  $\psi$  etwa proportional zu  $t/r$  an-

gesetzt werden kann zu

$$\psi = 1 - 30 \cdot \frac{t}{r} .$$

Daraus wird nach Abgleichen dieses Kriech- bzw. Relaxationsvorgangs

$$\sigma_{z,c} = \psi \cdot E \cdot \frac{t}{2r} = (1 - 30 \cdot \frac{t}{r}) \cdot E \cdot \frac{t}{2r} .$$

Setzen wir nun Beispielwerte  $E_{II} = 11'000 \text{ N/mm}^2$  und  $t = r/200$ , ergibt sich:

$$\sigma_{z,c} = (1 - 30 \cdot \frac{1}{200}) \cdot 11'000 \cdot \frac{1}{400} = 23 \text{ N/mm}^2 .$$

Wie man erkennt, ist diese Zusatzspannung von erheblicher Größenordnung. Allerdings handelt es sich nicht um eine aus Lasten herrührende Spannung, sondern um Zusatzspannungen, für die – von der Tragfähigkeit her gesehen – andere Maßstäbe gelten. Die Norm SIA 164 fordert in diesem Zusammenhang die Abminderung der zulässigen Biegespannungen mit dem Krümmungs-Beiwert  $C_C$  entsprechend

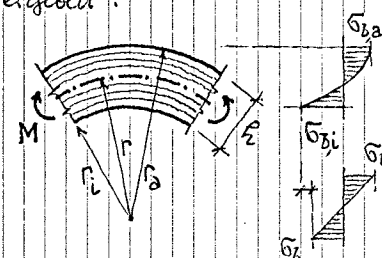
$$C_C = 1 - 40 \cdot \frac{t}{r} .$$

und fordert zusätzlich die Begrenzung der Lamelldicke auf

$$t \leq r/200 ,$$

wobei  $t = 33 \text{ mm}$  (auch bei geraden Brettschichtträgern) nicht überschritten werden soll. Daraus ist der Beiwert  $C_C$  auf Kleinstaus  $C_C = 0,8$  begrenzt. Der Krümmungs-Beiwert  $C_C$  muss jedoch nicht mit den geometrisch bedingten Beiwerten  $C_H$ ,  $K_D$  oder  $C_K$  (siehe 1.54d) kumuliert werden.

Zusätzlich sind Einflüsse zu beachten, die sich aus der Krümmung des Brettschichtträgers selbst ergeben:



Erstens handelt es sich um die Tatsache, dass die Biegespannungen am Innenrand eines Trägers grösser sind als am Außenrand.

Dieser sich aus dem Bernoulli'schen Satz vom Ebenbleiben des Querschnitts (siehe Baustatik Kap. 5.14) ergebende Effekt wird erfasst durch

$$\sigma_{z,i} = \sigma_B \cdot (1 + \frac{h}{2r}) ; \quad \sigma_{z,a} \approx \sigma_B$$

wobei  $\sigma_B$  die zu einem gleichbelasteten geraden Träger gehörige Biegespannung ist. Am Außenrand kann die geringe Reduktion der Spannung vernachlässigt werden.

Zweitens ergeben sich in gekrümmten Trägern auch Spannungen in radialer Richtung, also senkrecht zur Faser. Diese Radialspannung ist proportional zur Biegespannung  $\sigma_B$  und ist tatsächlich abhängig von der Balkenhöhe  $h$  und dem

Krümmungs-Radius  $r$  und Brüge absolute

$$\bar{\sigma}_1 = |\bar{\sigma}_3| \cdot \frac{h}{4r}.$$

Diese Radialspannung kann sowohl eine Druck- wie auch eine Zugspannung sein. Es ist leicht vorstellbar, dass es sich um eine Zugspannung handelt, wenn am Innerrand Zugspannungen  $\sigma_3$  auftreten (also im oben skizzierten Fall), während es sich um Druckspannungen handelt, wenn am Innerrand Druckbiegespannungen auftreten (umgekehrte Pfeilrichtung der oben eingezeichneten Biegemomente  $M$ ). Während die zulässigen Querdruckspannungen zul $\sigma_{11}$  zwar klein, aber selten maßgebend werden, sind die Querzugspannungen bekanntlich besonders gefährlich und sind auf eine Größenordnung von

$$\text{zul } \bar{\sigma}_{z1} = 0,15 \text{ N/mm}^2$$

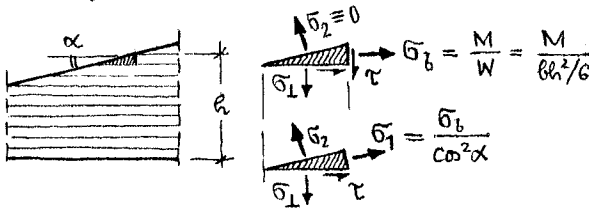
(siehe Norm SIA 164, Art. 3.14.24) zu begrenzen. Daraus ergibt sich eine Begrenzung der Brüge spannung  $\bar{\sigma}_3$  auf

$$\bar{\sigma}_3 \leq 0,15 \cdot \frac{4r}{h} = 0,6 \cdot \frac{r}{h} \text{ N/mm}^2$$

Was natürlich nur gilt für den Fall, dass Brüge-zugspannungen  $\bar{\sigma}_3$  auf der Innenseite des Tri- ecks auftreten. Bei normalen Verhältnissen  $r/h$  ist diese Begrenzung maßgebend.

### c) Variable Trägerhöhe

Schliesslich werden Brettschichtträger oft mit variabler Balkenhöhe ausgeführt. Dabei werden Lamellen schräg abgeschnitten:



Aus dem Vergleich der beiden skizzierten Dreiecke ergibt sich die Spannung parallel zum Rund von

$$\sigma_1 = \frac{\sigma_b}{\cos^2 \alpha}$$

welche mit der zulässigen Spannung schräg zur Faser (Winkel  $\alpha$ ) zu vergleichen ist. Die Bedingungen der Norm SIA 164 führen (hier ohne Ableitung) zu folgender Bedingung:

$$\text{vorb } \bar{\sigma}_3 \leq \text{zul } \bar{\sigma}_3 \cdot \frac{1}{1 + \alpha \cdot \tan^2 \alpha},$$

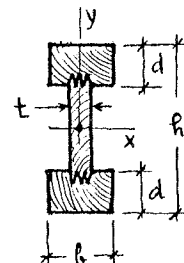
wobei für  $\alpha$  am Druckrand  $\alpha \approx 10^\circ$  und für  $\alpha$  am Zugrand  $\alpha \approx 240^\circ$  zu setzen ist.  $\text{zul } \bar{\sigma}_3$  ist der mit den Beiwerten  $C_D$  und  $C_W$  multiplizierte Grundwert der zulässigen Brüge spannung  $\text{zul } \sigma_3$ , während der Bruch als zusätzlicher geometrischer Beiwert gedeutet werden kann.

## 3.44 Stegträger

Bei der Beurteilung von Stegträgern (siehe 3.41) ist der konstruktive Aufbau zu berücksichtigen. Im folgenden werden die verschiedenen Formen gekennzeichnet:

### a) Verleimte Stegträger aus Massivholz

Bei der Beurteilung verleimter Stegträger aus Schnittholz kann mit einem vollkommenen Zusammenwirken von Gurthölzern und Steg gerechnet werden. Die Querschnittswerte ergeben sich zu



$$A = 2bh + t(h-2d)$$

$$J_x = 2 \cdot \frac{bh^3}{12} + \frac{t(h-2d)^3}{12} + \frac{bd}{2}(h-d)^2$$

$$\max S_{Ax} = \frac{bd}{t} \cdot \frac{h-d}{2} + \frac{(h-2d)^2}{8}$$

Gehen wir davon aus, dass solche Querschnitte vorwiegend für Biegeträger verwendet werden, ergeben sich mit den maximalen Schnittkräften  $\max M_x$  und  $\max V_y$  die folgenden Spannungen:

$$\text{vorb } \bar{\sigma}_3 = \frac{\max M_x}{J_x} \cdot \frac{h}{2}$$

$$\max T = \frac{\max V_y}{J_x} \cdot \frac{\max S_{Ax}}{t}$$

Diese Werte müssen kleiner bleiben als die mit den Beiwerten  $C_D$  und  $C_W$  (siehe 1.54 b+c) multiplizierten Grundwerte der zulässigen Spannungen (siehe 1.53).

Bei der Berechnung der Druckbiegungen von  $w$  kann die unter 3.31 c) hergeleitete Formel verwendet werden. lediglich der durch  $f_V$  erfasste Schnitt einfluss ist entsprechend der Schnittfläche  $A' = ht$  (siehe Baustatik 6.31 c)) zu modifizieren auf

$$f_V = \left[ 1 + \frac{1}{c} \cdot 20 \cdot \frac{J_x}{ht^2} \right]$$

und wird damit von grösserem Einfluss. Die Druckbiegung ergibt sich damit wie früher zu

$$\text{vorb } w = C \cdot \frac{M \cdot l^2}{E_{II} \cdot J_x} \cdot (1 + \delta \varphi) \cdot f_V$$

womit

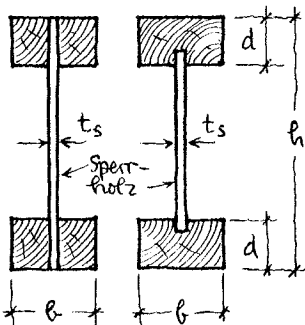
$$E_{II} = 10'000 \cdot C_W \text{ N/mm}^2$$

einsetzen ist und  $C$  bzw  $M$  von 3.31 c) übernommen werden kann. Damit sind alle nötigen Ergänzungen gegeben für diesen Trägertyp.

Bei Verwendung von Schnittholz für den Steg ist die Trägerhöhe auf  $h = 500$  bis  $600$  mm begrenzt. Für den Steg (und natürlich auch für die Gurthölzer) kann natürlich auch Brettschichtholz verwendet werden, womit der Anwendungsbereich wiederum bei gleichbleibenden Formeln.

## b) Verwendung von Sperrholzstegen

Auch bei Verwendung von Sperrholzstegen aus Furnier-Sperrholz oder Brettsperrholz lässt sich die Bauhöhe von Steghägern vergrößern. Dabei wird aus praktischen Gründen (Verschwinden) die Faserstellung der Außenfurniere der meist fünf- bis siebenlagigen Furnierplatten parallel zu den Längungen gelegt. Beim Spannungsnahtwurz ist



zu berücksichtigen, dass der E-Modul von Sperrholz geringer ist als derjenige von Massivholz. Dieser kann, bezogen auf die Sperrholzdicke  $t_s$ , zu etwa 3/5 desjenigen von Massivholz angesehen werden. Die unter a) hergeleiteten Formeln bleiben

gültig (für den rechts dargestellten Querschnitt genau, für den linken mit sehr guter Näherung), wenn wir mit einer idealen Stegbreite von

$$t = 0,6 \cdot t_s$$

rechnen. Als zulässige Biegespannung  $\text{zul} \bar{\sigma}_z$  ist der für die Festigkeitsklasse der Längungen gültige Wert einzusehen.

Die Schubspannungen sind, auf die effektive Stegbreite  $t$ , bezogen, natürlich kleiner als die mit der idealen Stegbreite berechneten Werte. Es ist

$$\text{voraus } T = \frac{\max M_y}{3x} \cdot \frac{\max S_{ax}}{t} \cdot \frac{t}{t_s}$$

Die zulässigen Schubspannungen  $\text{zul} \bar{T}$  sind hingegen für Sperrholz größer als diejenigen für Massivholz. Die Norm EN 164 gibt hierfür keine Werte. Es kann jedoch angenommen werden, dass

$$\text{zul} \bar{T} = 1,8 \cdot C_D \cdot C_W \quad \text{N/mm}^2$$

zulässig ist.

Auch für die Ermittlung der Durchbiegungen sind die unter a) angegebenen Formeln gültig, wobei in  $f_V$  für  $t$  die Größe  $t_s$  gesetzt werden darf.

Hohle Steghäger sind auf Kippen gefährdet und müssen in gewissen Abständen  $a$  am Druckpunkt gegen Kippen gehalten werden. Der Kippnachweis kann dabei näherungsweise durch einen Nachweis gegen seitliches Ausknicken ersetzt werden. Hierfür ermitteln wir die Druckspannung  $\text{voraus} \bar{\sigma}_K$  im Schwerpunkt des Druckpunkts zu

$$\text{voraus} \bar{\sigma}_K = \frac{\max M_x}{3x} \cdot \frac{h-d}{2}$$

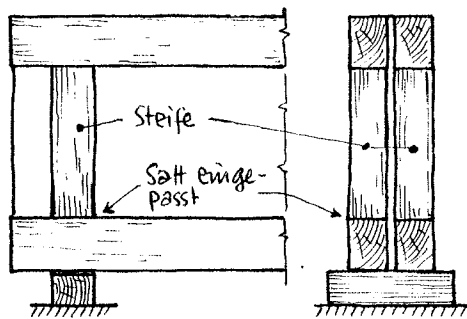
und vergleichen diesen Wert mit der zulässigen Knickspannung

$$\text{zul} \bar{\sigma}_K = \text{zul} \bar{\sigma}_{dil} \cdot K_K \cdot C_D \cdot C_W$$

gemäß 3.21 a). Der Knickbeiwert ergibt sich aus dem dort angegebenen Diagramm für

$$\bar{\sigma}_K = \frac{a}{0,289 \cdot b} \cdot$$

Ein Ausbeulen (siehe Baustatik Kap 7.52) der dünnen Stege ist nicht zu befürchten, solange die Stegdicke dicker als  $h/75$  ist und in Abständen von  $a \leq 2h$  sog. Steifen angeordnet werden. Solche sind insbesondere auch im Auflagerbereich nötig, um die Auflagerkraft sicher in den Steg einzuleiten:



Steghäuser werden gelegentlich auch als Kastenträger mit beidseitig aufgeleimten Sperrholzstegen ausgeführt. Auch hierfür gelten die vorstehenden Be- messungsplimweise, wenn

$$t = 0,6 \cdot 2 \cdot \frac{t_s}{2} = 0,6 \cdot t_s$$

gesetzt wird. Derartige Träger sind in der Lage, auch Torsionsmomente aufzunehmen (siehe Baustatik, Kap. 5.34 b)) und sind weit weniger kipgefährdet als einsteigige Steghäger. Auf diese Einzelheiten kann hier jedoch nicht weiter eingegangen werden. Auch bei dieser Trägerformen sind jedoch zur Einleitung der Auflagerkräfte Steifen analog obiger Skizze einzuleimen.

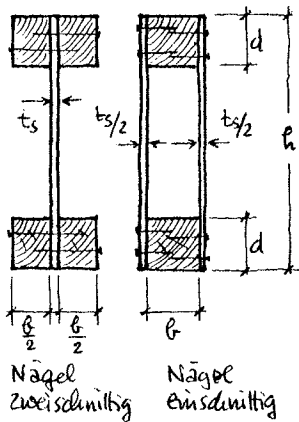
Eine Sonderform des Steghägers bildet die sog. Wellsteghäuser, wo der Sperrholzsteg im Grundriss etwa nach einer Sinuskurve gewellt ist. Dadurch wird ein erhöhter Widerstand des Stegs gegen Ausbeulen erreicht und auch eine bessere Staufestigkeit. Wellsteghäuser werden industriell - die Längungen durch Keilzinken gestossen - praktisch endlos hergestellt und können auf die gewünschten Längen abgelängt werden. Im Auflagerbereich sind lediglich wieder Steifen anzubringen, um die Auflagerkräfte in den normalerweise sehr dünnen Steg einzuleiten. Da der Steg gewellt ist, kann er jedoch praktisch keine Normalspannungen aufnehmen, weshalb  $3x$  unter Annahme von  $t=0$  zu ermitteln ist.

Eine weitere Sonderform sind die sog. Kämpf-Steghäuser, bei denen der Steg aus zwei oder drei sich unter flachem Winkel kreuzenden Bretthalagen besteht, die miteinander verklebt sind. Auch diese

werden industriell hergestellt, sind jedoch heute wegen des grösseren Holz- und Herstellungsaufwandes stark durch Brettschichtträger konkurrenziert.

### c) Genagelte Stegträger

Stegträger der beiden folgenden Typen kommen auch durch Verriegelung der Sperrholzstege mit den Gurtungen hergestellt werden. Dabei sind die Nägel mit 0,8 bis 0,9 · d<sub>N</sub> vorzubohren. Bei der Ermittlung



der Spannungen und Verformungen sollte Träger im jedoch die Nachgiebigkeit der Verbindungen zu berücksichtigen. Der Berechnungsangang folgt im Prinzip dem unter 3.21 b) dargestellten, wobei für V die Querkraft aus äusseren Lasten einzusetzen ist. Im folgenden werden die nötigen Formeln nicht hergeleitet, sondern einfach angegeben. Eine Überprüfung ist bei einer Fantasie möglich, da die Formeln einige Näherungen enthalten, die nicht offensichtlich sind:

Zunächst ermitteln wir einen Näherungswert für den Koeffizienten k aus folgender, dimensionsgebundener Formel

$$k = \frac{\pi^2 \cdot E \cdot b \cdot d \cdot (h-d)}{\max V \cdot l^2}$$

womit  $E = 10\,000 \text{ N/mm}^2$ , die Querschnittsabmessungen b, d und h sowie die Trägerlänge l in mm und die Querkraft max V in N einzusetzen ist.

Damit ergibt sich das wirksame Trägheitsmoment zu

$$\text{eff } J_x = \frac{2 \cdot b \cdot d}{1+k} \cdot \left( \frac{h-d}{2} \right)^2 + t \cdot \frac{h^3}{12} + 2 \cdot \frac{b \cdot d^3}{12}$$

womit wieder aus den unter b) erwähnten Gründen  $t = 0,6 \cdot t_s$  zu setzen ist.

Nun wählt man den Nageltyp und ermittelt die zulässige Ausdruckskraft zul F<sub>N</sub> pro Nagelschuh nach 2.32 c) zu

$$\text{zul } F_N = 50 \cdot d_N^{1,7} \cdot C_D \cdot C_W \text{ in N für } d_N \text{ in mm.}$$

Bei Vorbohren der Nägel kann dabei statt 50 die Zahl 60 gesetzt werden.

Damit ergibt sich schliesslich die auf die ganze Trägerlänge l für den Ausdruck eines Gurtes nötige Anzahl n<sub>V</sub> der Nagelschüsse aus

$$n_V = \frac{b \cdot d \cdot (h-d) \cdot l}{2 \cdot \text{eff } J_x \cdot (1+k)} \cdot \frac{\max V}{\text{zul } F_N}$$

Diese Anzahl Schüsse wird gleichmäßig über die ganze Trägerlänge l verteilt, wobei zu beachten

ist, dass jeder Nagel im linken skizzierten Querschnittstyp bei genügender Länge zwei Schüsse, im rechten skizzierten Typ nur je einen Schuss bringt.

Damit ist die Verriegelung bestimmt und das wirksame Trägheitsmoment eff J<sub>x</sub> bekannt. Damit ergibt sich die Durchbiegung zu

$$\text{vorb } \delta = C \cdot \frac{M \cdot l^2}{E \cdot \text{eff } J_x} \cdot (1+\delta_p) \cdot f_v$$

Bei den Spannungen wirkt sich ebenfalls der nachgiebige Ausdruck aus. Es ist deshalb im Gurtholz am Rand des Trägers

$$\text{vorb } \delta_g = \frac{\max M_x}{\text{eff } J_x} \cdot \frac{1}{1+k} \cdot \frac{h-d}{2} + \frac{d}{2}$$

im Schwerpunkt des Gurtholzes

$$\text{vorb } \delta_k = \frac{\max M_x}{\text{eff } J_x} \cdot \frac{1}{1+k} \cdot \frac{h-d}{2}$$

sowie am Trägerrand im Sperrholz

$$\text{vorb } \delta_{bs} = \frac{\max M_x}{\text{eff } J_x} \cdot \frac{h}{2} \cdot \frac{t}{t_s}$$

Für die beiden ersten Werte gilt im Bezug auf zulässige Spannungen das unter b) gesagte, während für die Randspannung im Sperrholz ein Wert von zul δ<sub>bs</sub> = 9,0 N/mm<sup>2</sup> angenommen werden kann.

Die maximale Schubspannung im Sperrholzsteg schliesslich ergibt sich zu

$$\text{vorb } \tau = \frac{\max V_y}{t_s \cdot \text{eff } J_x} \cdot \left[ \frac{bd}{1+k} \cdot \frac{h-d}{2} + t_s \cdot \frac{h^2}{8} \right]$$

wodurch soll kleiner als der unter b) angegebene Wert von zul τ = 1,8 N/mm<sup>2</sup> bleiben.

Ein Zahlenbeispiel soll das ganze erläutern. Wir wählen einen einfachen Balken mit

$$l = 8 \text{ m}$$

$$h = 0,9 \text{ m}$$

$$b = 120 \text{ mm}, d = 120 \text{ mm}$$

} links skizzierter

$$t_s = 12 \text{ mm} \rightarrow t = 0,6 \cdot 12 = 7 \text{ mm}$$

} Aufbau

sowie q = 7 KN/m laufend in geschützter Umgebung. Daraus folgt

$$\max V_y = 7 \cdot \frac{8}{2} = 28 \text{ KN}$$

$$k = \frac{\pi^2 \cdot 10\,000 \cdot 120^2 \cdot (900-120)}{28 \cdot 10^3 \cdot 8000^2} = 0,62$$

$$\begin{aligned} \text{eff } J_x &= \frac{2 \cdot 120^2}{1+0,62} \cdot \left( \frac{900-120}{2} \right)^2 + 7 \cdot \frac{900^3}{12} + 2 \cdot \frac{120 \cdot 120^3}{12} \\ &= 3164 \cdot 10^6 \text{ mm}^4 \end{aligned}$$

wir wählen als Nageltyp 50/130 mit d<sub>N</sub> = 5 mm und bohren die Nagellocher vor. Damit ist

$$\text{zul } F_N = 60 \cdot 5^{1,7} = 926 \text{ N}$$

Damit ergibt sich die Anzahl Schüsse n<sub>V</sub> zu

$$n_V = \frac{120^2 \cdot (900-120) \cdot 8000}{2 \cdot 3164 \cdot 10^6 (1+0,62)} \cdot \frac{28 \cdot 10^3}{926} = 265$$

Da jeder Nagel zwei Schüsse bringt, braucht es

für den Auschluss der beiden Gurthölzer je  $265/2 = 133$  Nägel auf ganze Trägerlänge, also einen Nagelabstand von

$$e = \frac{8000}{133} = 60 \text{ mm},$$

von jeder Seite also einen Abstand von 120 mm.

Die Spannungen ergeben sich zu

$$\text{vom } \sigma_3 = 7 \cdot \frac{8^2}{8} = 56 \text{ kNm}$$

zu

$$\text{vom } \sigma_3 = \frac{56}{3164} \cdot \frac{1}{1+0,62} \cdot \frac{900-120}{2} + \frac{120}{2} = 5,3 \text{ N/mm}^2$$

$$\text{vom } \sigma_K = \frac{56}{3164} \cdot \frac{1}{1+0,62} \cdot \frac{900-120}{2} = 4,3 \text{ N/mm}^2$$

$$\text{vom } \sigma_{3s} = \frac{56}{3164} \cdot \frac{900}{2} \cdot \frac{7}{12} = 4,7 \text{ N/mm}^2$$

$$\text{vom } \tau = \frac{28 \cdot 10^3}{12 \cdot 3164 \cdot 10^6} \cdot \left[ \frac{120^2}{1+0,62} \cdot \frac{900-120}{2} + 12 \cdot \frac{900^2}{8} \right] = 3,45 \text{ N/mm}^2$$

Während die Normalspannungen ~ ausreichende Kipphaltungen (siehe 6)) vorausgesetzt - alle kleiner als die zulässigen Werte sind, ist der Steg mit

$$\text{vom } \tau = 3,45 > 1,8 \text{ N/mm}^2 \text{ (siehe 6)}$$

deutlich überbeansprucht. Entweder müsste der Steg dicker gemacht werden oder es müsste auf den rechts skizzierten Querschnittstyp übergegangen werden, wobei die Sperrholzdicke auf 12 mm belassen werden könnte. Damit ändert natürlich auch die Verriegelung.

Die Durchbiegung ergibt sich übrigens für den (nun als zu schwach erkannten) Träger mit  $c = 0,104$  (siehe 3.31c) und

$$f_v = \left[ 1 + \frac{1}{0,104} \cdot 20 \cdot \frac{3164 \cdot 10^6}{900 \cdot 12 \cdot 8000^2} \right] = 1,88$$

sowie  $\delta_{\varphi} = 0,5$  (Annahme) zu

$$\text{vom } w = 0,104 \cdot \frac{56 \cdot 8000^2}{10^6 \cdot 0,000 \cdot 3164} \cdot (1+0,5) \cdot 1,88 = 33 \text{ mm.}$$

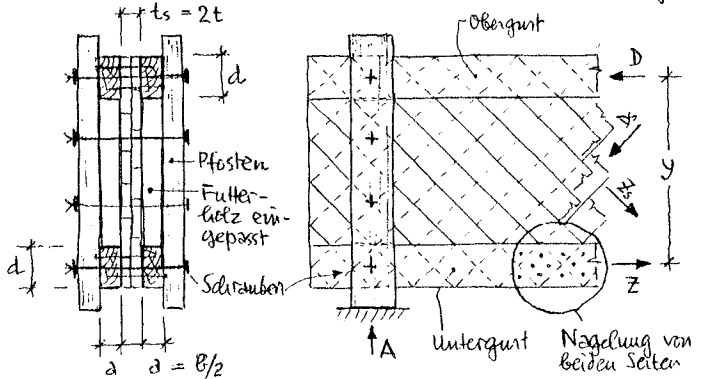
Dies entspricht  $l/240$ , was zB für einen Dachträger als zulässig angesehen werden könnte.

#### d) sog. Nagelträger

In der Praxis findet man gelegentlich sog. Nagelträger, bei denen der Steg (außer des Sperrholzes) aus schräg verlaufenden und miteinander sowie mit den Gurtungen verhügelten Brettern zusammengesetzt ist. Die Herstellung solcher Nagelträger ist sehr einfach und braucht keine besonderen Vorbereitungen oder Werkzeuge. Allerdings ist der Holzbedarf - insbesondere für den Steg - sehr gross, was die Wirtschaftlichkeit und die Konkurrenzfähigkeit gegenüber Brettschichtträgern und Stegträgern beeinträchtigt.

Die zweckmäßigste Form dieser Nagelträger ist diejenige mit innerliegendem Steg, wodurch aus zwei

sich kreuzenden Brettwänden besteht. Die Gurthölzer bestehen aus Böhlen. Am Auflager sind in gewissen Abständen sind vertikale Pfosten nötig:



Aus der begrenzten Länge  $l_N$  der Nägel (siehe 2.12) und den auf die Nageldicke  $t$  abzustimmenden Dicken  $t$  der Stegbretter ergeben sich die praktisch möglichen Abmessungen, die in folgender Tabelle zusammengestellt sind.

Nägel dn / LN	Steg t	Gurtung a	mind
4,5/120	20	40	120
5,0/140	24	50	120
5,5/160	27	60	140

Die angegebene minimale Breite der Gurtung mind gilt für zwei übereinander angeordnete Nagelreihen.

Für jede zusätzliche Nagelreihe sind 40 mm zu zählen.

In statischer Hinsicht ist ein solcher Nagelträger ein sehr engmaschiges, mehrzähniges dreieckiges Strebenfachwerk (siehe Baustatik, 4.41a)). Die Kräfte in den Stegbrettern tragen im betrachteten Schnitt mit  $D_s$  und  $Z_s$  zusammen die Querkraft  $V$ , während die Gurtkräfte  $D$  und  $Z$  das Biegemoment  $M$  übernehmen. Es ist offensichtlich

$$Z = D = M/y,$$

wobei die Eigensteifigkeit der Gurthölzer und der entsprechende Beitrag zur Aufnahme von Biegemomenten vernachlässigt bleibt. Mit

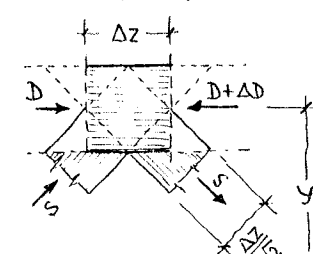
$$A_g = 2ad = bd$$

ergibt sich damit

$$\text{vom } \sigma_{zII} = \text{vom } \sigma_{dII} = \frac{M}{y \cdot A_g}.$$

Diese Spannungen müssen kleiner als die zulässigen Zug- bzw. Druckspannungen bleiben, wobei Querschnittsschwächungen usw berücksichtigt werden müssen (Nettoflächen, Korbförderweite).

Zur Ermittlung der Beanspruchung von Stegbrettern und Nagelung betrachten wir folgende Skizze.



Es ist offensichtlich die Kraft S in jedem Stegbrett

$$S = \Delta D / \sqrt{2}.$$

Daraus ergibt sich die Normalspannung in den Stegbrettern durch Division mit der Quer-

Schlittfläche  $t \cdot \Delta z / \sqrt{2}$  zu

$$\sigma_s = \frac{\Delta D}{t \cdot \Delta z}.$$

Betrachtet man, dass aus bekannten Gründen

$$\frac{\Delta D}{\Delta z} = \frac{\Delta M}{y \cdot \Delta z} \approx \frac{1}{y} \cdot \frac{dM}{dz} = \frac{V}{y}$$

ist, ergibt sich

$$\sigma_s = \frac{V}{t \cdot y}.$$

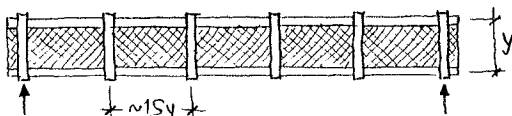
Diese Spannung ist in der Regel klein und ohne Belang für die Bemessung.

Die Nagelung zwischen Steg und Gurtungen muss auf der Strecke  $\Delta z$  die Kraft  $\Delta D$  aufnehmen. Mit der zulässigen Nagelkraft zu  $F_N$  (siehe 2.32 c) ergibt sich die auf der Strecke  $\Delta z$  notwendige Anzahl Schlüsse zu

$$\text{erf } n = \frac{\Delta D}{\text{zul } F_N} = \frac{V}{\text{zul } F_N} \cdot \frac{\Delta z}{y}.$$

Bei zweischlüssigem Nageln (Normalfall) sind demnach auf der Länge  $\Delta z$  halb so viele Nägel zu schlagen und zwar je zur Hälfte von beiden Seiten unter Bedeutung des erforderlichen Randschlüsselabstands.

In Abständen von etwa  $1,5 \cdot y$  sind im übrigen Pfeilern anzutragen, die – wie auf Spalte 42 skizziert – gegenüberlich mittels Schrauben verbunden werden und so den Träger verstetzen:

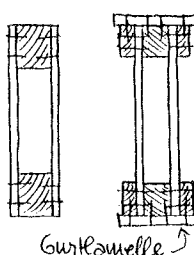


Der Obergurt (Druckgurt) des schlanken Trägers muss – wie übrigens derjenige jeden Stegträgers – gegen seitliches Ausweichen (Kippen) durch geeignete Verbände gehalten werden.

Für die Berechnung der Druckbiegungen von Nagelträgern setzt man in der Regel lediglich das Tragheitsmoment der Gurtungen ein entsprechend

$$I_x = 2 \cdot A_g \cdot \left(\frac{y}{2}\right)^2 + 2 \cdot \frac{2ad^3}{12} = \frac{1}{2} A_g (y^2 + \frac{d^2}{3}).$$

Damit bleibt der Verformungsanteil aus Stegbreitspruch und Nagelschub unberücksichtigt, aber auch die verstetende Wirkung der mit jeweils mehreren Nägeln angeschlossenen Stegbretter. Diese Einflüsse dürfen sich etwa ausgleichen.



Die nebenstehenden Nagelkopfformen findet man gelegentlich in der Praxis. Sie sind bzgl. Nagelung unproblematischer, jedoch statisch unvorteilhaft (entweder Torsion im Gurtstab oder Empfindlichkeit gegen wechselnde Querkräfte).

### 3.45 Fachwerkträger

Auch Fachwerkträger gehören zu den aus Einzelteilen zusammengesetzten Trägern. Holz wird in den Stäben von Fachwerkträgern vorwiegend parallel zur Faser beansprucht, also in einer Art und Weise, die den Holzeigenschaften ganz besonders gut entspricht. Verwendet wird in der Regel Schwellholz (Bretter, Bohlen, Kautschuk), welches mit den verschwindenden zur Verfügung stehenden Verbindungsmiteln miteinander verbinden wird. Dabei gehen normalerweise die den Umriss bildenden Kautschukbretter durch, werden also in den Knoten nicht gestoßen, sondern – falls nötig – allenfalls zwischen den Knoten. Die Füllstäbe (Streben, Pfosten) gehen von Knoten zu Knoten.

Beim Entwurf von Fachwerkträgern und bei ihrer Berechnung sowie bei der Bemessung der Stäbe und Verbindungsmitel sind eine Reihe von Gestaltungspunkten zu beachten, auf die nachfolgend eingegangen werden soll.

#### a) Umriss und Ausfachung

Der Umriss von Fachwerkträgern folgt in der Regel weitgehend dem Verwendungszweck des Fachwerks. Der Untergurt liegt meist horizontal und geht gerade von Auflagen zu Auflagen durch. Der Obergurt hingegen folgt z.B. der Dachneigung, wodurch Dreieck- oder Trapez-Fachwerke entstehen oder liegt auch horizontal, z.B. bei Brücken oder bei Flachdächern, was zu Parallelgurt-Fachwerken führt.

Die Bauhöhe in den Fachwerken, d.h. der Abstand der Achsen der Gurtungen, soll nicht zu knapp gewählt werden. Normal ist  $\frac{1}{8}$  bis  $\frac{1}{12}$  der Spannweite.

Die Fachwerkstreben sollen nicht zu flach liegen, da die Strebenkräfte im Prinzip ungekehrt proportional zum Tanguis der Strebenneigung gegenüber den Horizontalen sind. Schließlich sollen Druckstäbe eher kurz sein wegen der Kürzefehler.

Schließlich bestimmt auch die Wahl der Verbindungsmitte die Ausfachung. Mit Zimmereimauern möglichen Verbindungsmittele (Weisatz, Querdrückstoss) sind beispielsweise Druckkräfte leicht und billig, Zugkräfte überhaupt nicht auszuschließen.

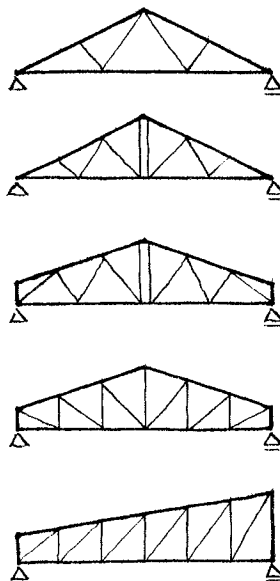
Fachwerk-Knoten werden im übrigen je komplizierter, je mehr Stäbe in ihnen zusammenlaufen und gegenseitig ihre Kräfte austauschen. Man soll deshalb wenn immer möglich das Minimum ausstreben: das ist der den Knoten umgestoßen durchlaufende Gurtstab zuzüglich der zwei im Minimum nötigen Füllstäbe.

Endlich sind die Stäbe mit ihren Stabachsen

auf den Knoten zu zentrieren. Jeder exzentrische Ausdehnung erzeugt unerwünschte Biegemomente und vergrößert damit Spannungen und Verformungen. Das Zentrieren macht jedoch oft Schwierigkeiten, zB bei gekrümmten Längen, zB im First eines Dreieck-Fachwerks oder deswegen, weil man auf Symmetrie der Ausfachung besonderen Wert legt.

Die erwähnten Argumente führen beispielsweise zu folgenden Fachwerkformen. Für die Ausfachung sind jeweils weitere Varianten denkbar, zB eine Verdickung im Hinblick auf kleinere Knotendistanzen usw.:

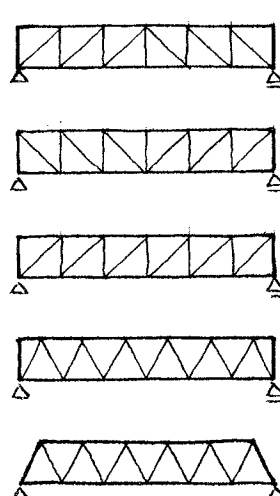
Geneigter Obergurt:



Schwierigkeiten im First wegen Auschluss von 4 Stäben. Beliebbar durch doppelte Führung eines Firstpfosten. Dadurch jedoch keine Zentrierung. Ungünstige Zone am Auflager durch Aufheben der Traufe lösbar (steilere Strebenneigung).

Variante für Ausfachung, hier wieder (beliebbar) mit Schwierigkeiten in Trägermitte im First und am Untergurt-Knoten.

Parallelgurt - Fachwerke:



lange Druckstreben können durch wechselnde Richtung vermieden werden. Der Wunsch nach Symmetrie der Ausfachung schafft in Trägermitte Schwierigkeiten, die behoben werden können durch Kompromiss.

Symmetrische Formen sind leichter zu erzeugen mit sog. Strebenfachwerken. usw.

Aus diesen wenigen Beispielen dürfte klar geworden sein, was mit den vorstehend aufgeführten Gesichtspunkten gemeint ist.

Zur Illustration des Gesichtspunktes "Druckstäbe" wird empfohlen, in vorstehenden Skizzen alle unter vertikaler Last druckkräftige tragenden Stäbe farbig anzulegen.

## b) Querschnitts-Aufbau

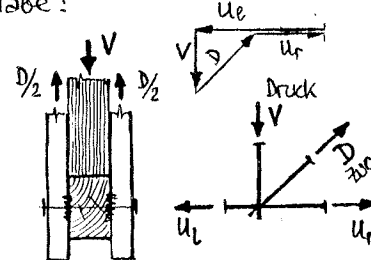
Es ist im Holzbau in der Regel nötig, sich Kreuzende Stäbe in mehreren Lagen anzutragen, und zwar wegen der Wirkungsweise der Verbindungen.

Alle Stäbe in einer Ebene anzutragen, gelingt nur mit den folgenden Verbindungsmitteln:

- Gag-Nägel (Kap. 2.42)
- Greim-System (Kap. 2.43)
- Zinken der Füllstäbe (Kap. 2.6)

Mit allen drei Systemen sind jedoch nur vergleichsweise kleine Kräfte ausdrückbar, sodass derartige Fachwerke auf kleine Spannweiten bzw. Belastungen beschränkt sind.

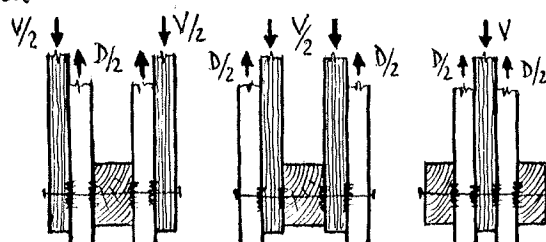
Die nächste Stufe ist die Anordnung der Stäbe in drei Ebenen, wobei die beiden äußeren symmetrisch sind, also zum gleichen Stab gehören. Es entstehen dadurch zT. zweiteilige Stäbe:



Man nimmt normalerweise den Gurt und den Druck-Füllstab einheitlich in die Mitte und führt den Zugstab zweiteilig. Aber auch das Gegenteil ist möglich und - zB bei langen Druckstäben - oft günstig. Als Verbindungsmittel stehen zur Verfügung:

- Querdruckstoß bzw. Weisatz für Druckstab
- Nägel, Bolzen, Schrauben, Rüng- und Einpressdübel für den Zugstab
- oder für Druck- und Zugstab
- Menig-Nägelplatten (Kap. 2.41)

Die nächste Stufe der Aufteilung im Querschnitt sind fünf Lagen, wobei zwei Stabtypen zweiteilig, einer einheitlich wird. Für den oben skizzierten Knoten sind damit zB die folgenden Lösungen möglich:



Die Beispiele lassen sich vermehren, doch ist das Prinzip wohl klar. Als Verbindungsmittel stehen Nägel, Bolzen, Schrauben, Rüng- und Einpressdübel zur Verfügung.

Einheitsmäßig sind auch sieben Lagen möglich und früher oft ausgeführt worden. Dabei ist

dann ein Stabtyp - meist der Gurtstab - dreiteilig und die anderen zweiteilig.

### c) Ermittlung der Stabkräfte

Der Ermittlung der Stabkräfte darf ein der Geometrie des Fachwerks entsprechendes Gelenkfachwerk (siehe Baustatik Kap. 4.4) zugrundegelegt werden. Hierbei wird angenommen, dass alle im Knoten zusammengeführten Stäbe gelenkig abgeschlossen seien. Dies ist natürlich in Wirklichkeit nicht der Fall, denn die Gurten laufen biegesteif durch und die Ausschlüsse der Füllstäbe sind je nach Art des Verbindungsmittels alles andere als reibungsfrei gelenkig. In Wirklichkeit treten deshalb zu den am Gelenkfachwerk ermittelten Stabkräften (Zug bzw. Druck) noch Biegemomente und Querkräfte auf, die zu Zusatzspannungen in Stäben und Verbindungen führen.

Es ist einleuchtend, dass diese Nebenspannungen je größer werden, je dicker die Gurtböller im Vergleich zur Höhe des Fachwerkträgers sind. Die Norm 81A 164 gestaltet deshalb die Stabkrafteinleitung am Gelenkfachwerk nur solange, als die Gurtböhle kleiner ist als  $\frac{1}{7}$  der Höhe des Fachwerks und sofern die zulässigen Spannungen in den Gurtböller höchstens zu  $\frac{2}{3}$  ausgenutzt werden. Hält man sich an diese Grenzen, ist demnach die Ermittlung der Stabkräfte - zumindest in statisch bestimmten Fachwerken, auf die man sich normalerweise beschränken kann - einfach und folgt den in Baustatik, Kap. 4.4 angegebenen Möglichkeiten.

### d) Bemessung der Stäbe

Die Bemessung der Stäbe ist in allen Einzelheiten unter 3.1 und 3.2 behandelt worden. Wir haben uns nur daran zu erinnern, dass die Spannungen in den Gurtstäben kleiner bleiben müssen als  $\frac{2}{3}$  der dort als zulässig eingeführten Werte.

Es ist jedoch zu beachten, dass die Ermittlung der Stabkräfte am Gelenkfachwerk voraussetzt, dass Lasten nur in den Knoten angreifen. Dies ist jedoch oft nicht von Vornherein der Fall, weshalb insbesondere die Aufrüttungen zwischen den Knoten angreifende Einzellasten und verteilte Lasten erst auf die Knoten übertragen müssen. Dadurch entstehen vor allem Biegemomente, die bei der Bemessung der Stäbe bzw. beim Spannungsnachweis berücksichtigt werden müssen.

Man nimmt in der Regel an, dass die zwischen den Knoten belasteten Stäbe die Lasten als einfache Balken auf die Knoten übertragen. Unter verteilten Lasten  $q$  entstehen dadurch Biegemomente der Größe:

$$\max M = \frac{q \cdot a^2}{8},$$

aus Einzellasten  $F$  in der Mitte zwischen den Knoten sollte der Größe

$$\max M = \frac{F \cdot a}{4}$$

wobei  $a$  der Abstand der Knoten ist. Es entsteht damit im Druckgurt Druck mit Biegung (siehe 3.22), im Zuggurt Zug mit Biegung (siehe 3.12). Der Nachweis wird damit unzulässiger, doch glücklicherweise kann oft schon ein kurzer Überschlag zeigen, dass der Effekt vernachlässigbar werden kann.

### e) Durchbiegungen

Die Durchbiegungen von Fachwerken sind normalerweise klein und führen zu einem erheblichen Teil vom Schluß und von der Verformung der Ausdehnung her. Die Berechnung der Verformungen ist grundsätzlich mit Hilfe der Arbeitgleichung möglich, wobei nur die Normalkraft integrale Berücksichtigung werden. Stabkräfte und Dehnestiffigkeit  $EA_i$  sind über die Stablänge  $l_i$  konstant, sodass sich aus der Arbeitsgleichung (siehe Baustatik, Kap. 6.32 a)) durch Kürze Kürzung und Erweiterung ergibt

$$\text{vorb } w = \sum_{i=1}^n N_i \cdot \left[ \frac{N_i}{E A_i} \cdot l_i + \left( s + \frac{N_i}{C} \right) \cdot 2 \right] \quad \text{nur bei Füllstäben}$$

Hierin ist die Summe über alle  $n$  Stäbe zu bilden, wozu  $N_i$  die virtuellen Stabkräfte aus der Größe "1" am Ort und in Richtung der gesuchten Verschiebung sind und  $N_i$  die Stabkräfte aus den Verformungsverzerrungen Lasten. Die beiden letzten Terme bedeuten Schluß und Verformung der Auschlüsse und sind nur für die Füllstäbe, dort jedoch zweimal, also für jeden Stabende, einzuführen.  $C$  ist der Verformungsmodul für die jeweilige Verbindung.

Für Parallelgurt-Fachwerke kann man näherungsweise auch mit folgender Formel die Durchbiegung abschätzen:

$$\text{vorb } w \approx [0,4 \cdot \frac{\max \sigma_g}{E_{II}} \cdot \frac{l^2}{h} + 4 \cdot n \cdot s] \cdot (1 + \delta \cdot \varphi)$$

wobei  $\max \sigma_g = \max N/A$  im stärkst beanspruchten Gurtstab,  $l$  die Spannweite des Fachwerks,  $h$  die Höhe des Fachwerks zwischen den Gurträgern,  $E_{II} = 10'000 \text{ N/mm}^2$ ,  $n$  die Anzahl der Füllstäbe und  $s$  der Schluß der Füllstab-Verbindung ( $10 \div 20 \text{ mm}$ ) sind. Die Größe  $\delta \varphi$  entspricht dem unter 3.31 c) eingeführten Wert. Die Formel gibt im Rahmen der überhaupt möglichen Voraussetzung-Gewährlosigkeit erstaunlich gute Resultate. Man kann sie dazu die unzulässige Ermittlung von  $N_i$  und die Auswertung der Summenformel ersparen. Fachwerke sind im übrigen überholtbar.

# Holzbau

## 4 Tragkonstruktionen aus Holz

4.1 Typische Tragsysteme		
4.11 Durchlaufende Träger	1	30
a) Gelenkträger	1	32
b) Koppelpfetten	2	33
c) Stebenbalken	3	34
d) Kopftaudräger	4	34
4.12 Hängewerke und Spanngwerke	5	35
a) Übersicht	5	36
b) statische Berechnung	5	36
c) Abschätzung der Durchbiegung	7	37
4.13 Bogentragwerke	8	38
4.14 Raumenttragwerke	8	38
4.15 Flächentragwerke	9	39
4.2 Decken und Wände	10	41
4.21 Holzbalkendecken	10	
4.22 Holzwände	12	
4.23 Skelett- und Riegelbauten	14	
4.24 Holztafelbau	17	
4.3 Dachtragwerke	18	
4.31 Allgemeines	18	
a) Dachaufbau	18	
b) statische Systeme	19	
c) Belastungen	20	
4.32 Spannendächer	21	
a) einfaches Spannendach	21	
b) Kehlbalkendächer	25	
4.33 Pfettendächer	27	
a) steifenloses Pfettendach	27	
b) abgestecktes Pfettendach	28	
c) weitgespannte Dachstühle	28	
d) weitere konstruktive Hinweise	29	
4.4 Hallentragwerke		
4.5 Holzerne Brücken		
4.51 Projektierungsunterlagen		
4.52 Fahrbahn		
a) Aufbau und Details		
b) Bemessung des Tragbelags		
4.53 Haupttrag systeme		
a) Einfache Balken, Gelenkträger usw		
b) Spanngwerke		
c) Hängewerke und Bögen		
d) Erdwerke		
4.54 Widerlager, Joche und Pfeiler		
4.6 Kostenabschätzungen		

## 4.1 Typische Tragsysteme

Tragsysteme werden aus Stäben zusammengebaut, deren Querschnittsbemessung im Kap. 3 behandelt wurde. Da im Holzbau Stützen im Fundament nur schwer biegesteif anzuschließen sind und auch sonst biegesteife Verbindungen (im Gegensatz zum Stahlbeton- und Stahlbau) selten sind, muss der Auflagerung von Tragsystemen besondere Aufmerksamkeit geschenkt werden. Dabei muss stets der räumliche Zusammenhang geschaffen werden, denn Tragwerke sind stets durch räumlich wirkende Kräfte beansprucht, auch wenn für die statische Berechnung räumliche Systeme fast immer in (mehrere) ebene Systeme zerlegt werden. Entsprechende Hinweise finden sich in Baustatik, Kap. 3.3 und 3.41. Es wird empfohlen, die entsprechenden Passagen nachzulesen.

Bei der Bildung von Tragsystemen des Holzbaus ist stets die natürliche Begrenzung der Abmessungen von Säulenholtz nach Länge, Breite und Höhe zu beachten. Diese Grenzen werden durch die Verwendung verleimter Stäbe ausgeweitet, zum Mindesten was Länge und Höhe anbelangt. Doch ergeben sich auch für solche Elemente Grenzen durch den Transport und die Montage der im Werk vorgefertigten Bauteile.

## 4.11 Durchlaufende Träger

Der einfache Balken ist im Holzbau selten günstig, da die Durchbiegungen bei steigender Spannweite rasch maßgebend werden. Im Holzbau arbeitet man deshalb wenn immer möglich mit durchlaufenden Trägern oder sucht Stäbe zusätzlich zu unterstützen. Die Begrenzung der Stablänge und die Schwierigkeit, Stäbe biegesteif zu stoßen, führt dann jedoch in der Regel zu Gelenkträgern verschiedenster Formen:

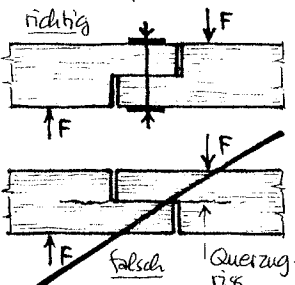
### a) Gelenkträger

Gelenkträger wurden in Baustatik, Kap. 4.23, ausgiebig besprochen. Durch die Gelenke werden die Momenten-Nullpunkte festgelegt. Durch geschickte Wahl der Gelenkkonstruktion kann eine günstige Momentenfläche erzeugt werden, bei der die Absolutwerte der negativen Momente über der Stütze mehr oder weniger gleich denjenigen der positiven Feldmomente sind. Im Vergleich zu den gleichlangen Einfeldträgern sinken dabei die Ausstände zu das Widerstandsmoment des Querschnitts (siehe 3.31 a)) auf die Hälfte, diejenigen zu das Trägheitsmoment auf rund 40%. Bei gleichgrossen Stützweiten sind die Endfelder maßgebend und erfordern dort einen grösseren Querschnitt als die Innenfelder. Wenn immer möglich wird man deshalb die Spannweite der Endfelder kürzer wählen als diejenigen der Innenfelder. Bei  $L_E \approx 0,8 \cdot L_I$  sind die Verhältnisse weitgehend ausgeglichen.

Die Durchbiegung von Gelenkträgern kann unter Bedingung der Form der Momentenfläche mit den

Angaben unter 3.31 c) ermittelt werden. Es zeigt sich dabei, dass es unter Umständen günstig ist, die Gelenkkonstruktion aus der für den Momentenausgleich günstigen Lage noch etwas gegen die Feldmitte hin zu verschieben, weil dadurch die Durchbiegungen noch etwas kleiner bzw. die Ausstände zu den Trägheitsmoment des Querschnitts geringer werden.

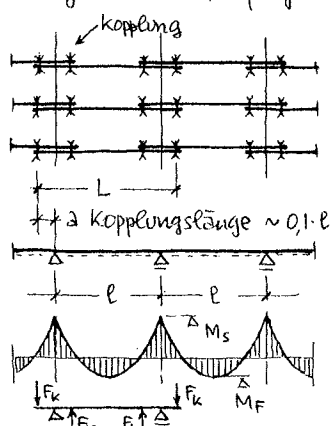
Die Gelenke sind im übrigen so auszubilden, dass die Querkraft im Gelenk durch eine Bauschraube mit grosser Unterlagschleibe (siehe 2.21, Sp. 10 unten) gehalten wird. Bei der (oft intuitiv als zweckmässiger angesehenen) umgedrehten Ausbildung sind Querzugrisse zu erwarten und damit ein Versagen des ganzen Trägers. Im übrigen ist



die am oben angegebenen Ort skizzierte Lösung natürlich noch besser (wenn auch zeitaufwendiger) als die hier skizzierte.

### b) Koppelpfetten

Eine besondere Form des Durchlaufträgers ist die bei sog. Sparrenkopfpfetten – d.h. in der Dachebene horizontal laufenden, die Dachhaut tragenden Balken – häufig angewandte Kopplung der beidseitig über die Auflager auskragenden Balken.



Dann steht für die Auflösung des negativen Biegemoments  $M_s$  über den Aufliegern der doppelte Holzquerschnitt zur Verfügung. Koppelpfetten können deshalb auf das Feldmoment  $M_F$  des durchlaufenden Trägers bemessen werden (siehe Baustatik Kap. 8.23), während das Stützenmoment automatisch als aufräumbar gelten kann.

Kann die Durchbiegung mit den normalen (oben skizzierten) Momentenfläche und dem Trägheitsmoment des Einzelstabs bestimmt. Die sog. Kopplungskraft hängt von der Kopplungslänge  $a$  (siehe Skizze) ab und ergibt sich zu

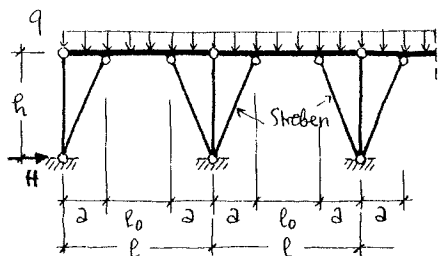
$$F_k = \frac{M_s}{2a}$$

Die Kopplung kann mittels (zureichend bemessener) Nägel oder mit Passschrauben, Bulldog- oder Ringdübeln erfolgen.

Als Kopplungslänge  $a$  wählt man in der Regel  $a \approx 0,1 \cdot l$ , womit die Einzelstäbe um den Platzbedarf für die Kopplung länger werden als  $L \geq 1,2 \cdot l$ . Diese Länge hält man auch für das Endfeld bei, womit die Kopplungslänge für das dort absolut grössere Stützenmoment günstigerweise grösser wird.

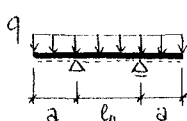
### c) Strebenträger

Bei sog. Strebenträgern wird die Spannweite der Balken durch Einbau von Zwischenstützen verkleinert.



Hierdurch werden die Biegemomente und Durchbiegungen verkleinert und zudem eine horizontale Aussteifung des Systems gegen Verschieben erreicht. Strebenträger werden bei Pfeilern und Trägern im Hallenbau und in Dachträgerwerken verwendet.

In statischer Hinsicht ist das System ( $n-1$ ) fach statisch unbestimmt, wobei  $n$  die Zahl der Streben ist. Verwachtigt man die Stützung auf den vertikalen Stützen, entsteht im Prinzip eine Reihe von Auslegerträgern (siehe Baustatik, Kap. 4.21 b)) mit einem Biegemoment über dem Strebenauschluss von



$$M_S = -q \cdot \frac{a^2}{2}$$

und einem Feldmoment in

$$M_F = q \cdot \frac{l_0^2}{8} - M_S = q \cdot \frac{l_0^2}{8} \cdot [1 - 4 \cdot (\frac{a}{l_0})^2].$$

Die getroffene vereinfachende Annahme ist für kleine Verhältnisse  $a/l_0$  weitgehend zutreffend, da der Träger von der Vertikalsstütze dann abheben will. Bei einem Verhältnis  $a/l_0 = 0,5$  wird das negative Biegemoment über dem Strebenauschluss gerade  $q l_0^2/8$ . Bei größeren Verhältnissen  $a/l_0$  wird der Träger auf den vertikalen Stützen aufliegen, womit ein Dreifeldträger entsteht, für  $a = l_0$  z.B. mit dem absolut größten Biegemoment von  $M = q a^3/8,6$  (siehe Baustatik Kap. 8.23 e)).

Für die Praxis wird empfohlen einen solchen Strebenträger für das Größere der beiden folgenden Biegemomente

$$M = q \cdot \frac{l_0^2}{8}$$

$$M = q \cdot \frac{a^2}{8}$$

wie einen einfachen Balken zu bemessen. Die Durchbiegungen sind normalerweise nicht maßgebend.

Die Streben sind unter Bedingung ihrer Länge auf Knicken zu bemessen, wobei Sicherheitsfaktor angenommen wird, dass die ganze Last durch die Streben abgeleitet wird. Die Strebekraft beträgt damit

$$F_s = q \cdot \frac{l}{2} \cdot \sqrt{1 + (\frac{a}{h})^2}.$$

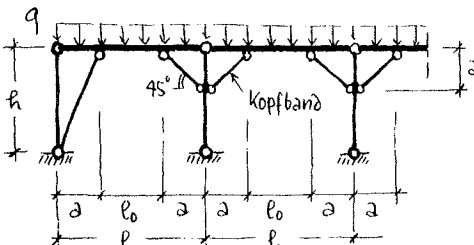
Bei der Endstützung ist im übrigen die entsprechende Horizontalkraft

$$H = q \cdot \frac{l}{2} \cdot \frac{a}{h}$$

zu beachten und in der Unterkonstruktion aufzunehmen während sich bei den Innensstützungen die Horizontalkräfte der beiden Streben gegenseitig aufheben.

### d) Kopfbandträger

Die Streben des Strebenträgers behindern häufig die Nutzung des Raums, in dem sie stehen. Die Streben werden deshalb oft höher gesetzt, wodurch der schon seit altertümlicher bekannte sog. Kopfbandträger entsteht:



Bei nicht zu stark verschiedenen Spannweiten darf auch hier der eigentliche Träger wie der Strebenträger vereinfacht als einfacher Balken mit den dort angegebenen Biegemomenten bemessen werden. Die Kopfbänder müssen die Kraft

$$F_k = \sqrt{2} \cdot q \cdot \frac{l}{2}$$

aufnehmen und werden mit Versatz. Bei kleinen Kräften mit Zappenversatz (siehe 2.21, Sp. 9 oben) abgeschlossen. Bei der Endstützung ist jedoch nach wie vor eine Strebe bis zu den Stützenfuß hinunterzuführen, da ein Kopfband die vertikale Stütze sonst stark auf Biegung beansprucht würde. Ist diese Strebe unerwünscht, muss das Endfeld um  $a$  verkürzt oder das Endfeld für

$$M = q \cdot \frac{(l_0+a)^2}{8}$$

als einfacher Balken bemessen werden.

Bei unglichen Spannweiten (und auch bei feldweise unterschiedlichen Lasten) gleichen sich die Horizontalkomponenten der Kopfbandkräfte nicht aus und die Stütze wird zusätzlich auf Biegung beansprucht. Bezeichnet man mit dem Index  $l$  alle Größen links der betrachteten Stütze, mit dem Index  $r$  alle Größen rechts, ergibt sich bei gleichem  $a$  in der Stütze ein Biegemoment von

$$M = \frac{1}{2} \cdot [q_l \cdot l_r - q_r \cdot l_l] \cdot \frac{a(h-a)}{h},$$

welches im – durch den beidseitigen Versatz ge- schwächtem – Stützenquerschnitt zusätzlich zur Normalkraft aufgenommen werden muss. Bei großem  $M$  wird dies schwierig, sodass Kopfbandträger zu vermeiden sind, wenn benachbarte Spannweiten um mehr als 20% voneinander abweichen.

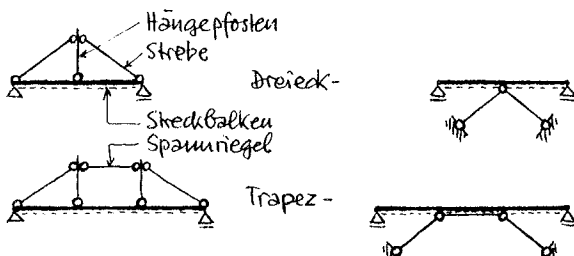
Kopfbandträger genügen normalerweise auch für die Aussteifung von normalen Dachstühlen gegen kleinere Kräfte (z.B. aus Wind) in Balkenrichtung. Dabei wirken – bei verwendeten Auschlüsse wegen nur die auf Druck beanspruchten Kopfbänder. Durch Zug- und druckfeste Ausschlüsse (z.B. durch seitliches Aufnageln von aus Brettern gebildeten Kopfbändern) kann dies verbessert werden.

## 4.12 Hängewerke und Sprengwerke

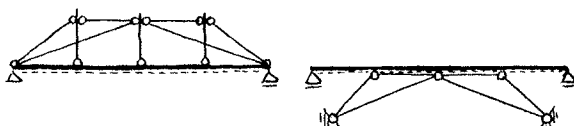
Zur Überbrückung größerer Spannweiten werden im Zimmermannsmäßigen Holzbau Hängewerke und Sprengwerke verwendet. Erstere sind "in sich verspannt" und äußerlich statisch bestimmt gelagert, letztere stützen sich "äußerlich", zB auf zusätzliche Widerlager, ab.

### a) Übersicht

Die folgenden Systemskizzen zeigen auf der linken Seite Hängewerke, auf der rechten Seite Sprengwerke. Die dick ausgezogenen Linien sind auf Biegung beansprucht und bei Hängewerken zusätzlich auf Zug. Dünne ausgezogene Stäbe sind Zug- oder Druckstäbe. Die Kreise deuten Kräftscheißige Verbindungen an.



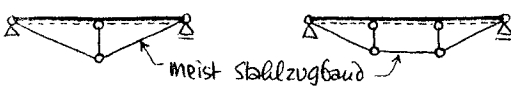
Kombinierte Formen schließen oben skizzierte Grundtypen ineinander:



Sog. Hängesprengwerke gleichen im Aufbau und einzelnen Konstruktionsdetails Hängewerken, sind jedoch - statisch gesehen - Sprengwerke:



Der bei Verstärkungen (zB von Brücken) häufig angewandte Unterspannte Balken ist - statisch gesehen - ein umgekehrtes Hängewerk:



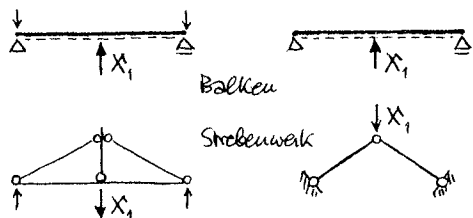
Ihr Anwendungsbereich finden Hängewerke in Dachstühlen über grossen, stützenfreien Räumen und bei - eher schwulen - Brücken. Sprengwerke finden wir fast ausschliesslich bei Brücken, wo das Flussprofil genügend Platz für das separat abgestützte Stabwerk lässt. Das Gleiche gilt für die unterspannten Balken.

### b) Statische Berechnung

Statisch gesehen sind Dreieck- und Trapez-Hängewerke bzw. Sprengwerke, sowie die skizzierten Hängesprengwerke und die unterspannten Balken einfache

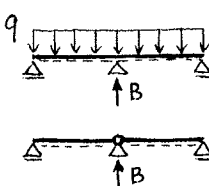
statisch unbestimmt. Die skizzierten Kombinierten Formen sind zweifach statisch unbestimmt. Dies erkennt man leicht, wenn man zählt, wieviele Druckstreben bzw. Spannriegel man jeweils eliminieren muss, um das System statisch bestimmt zu machen.

Bei der Ermittlung der Schnittkräfte machen die einfach aufgehängten oder einfach unterstützten Systeme keine grossen Schwierigkeiten, wenn man als überzählige Größe  $X_1$ , die Stützkraft zwischen Balken und Stabwerk einführt:



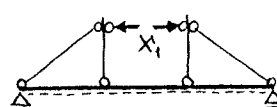
Die überzählige Größe  $X_1$ , lässt sich aus der Verformungsbedingung "Durchbiegung des Balkens = Durchbiegung des Stabwerks" mit Hilfe des in der Baustatik, Kap. 8 eingeführten Kräftegrössenverfahrens ermitteln. Bei der Ermittlung der Verformungsgrössen ist beim Balken die Biegeschwingung auf den Einfluss der Biegemomente zulässig, während bei der Ermittlung der Verformungsgrössen des Stabwerks lediglich der Normalkräftezufluss, allerdings unter Berücksichtigung der Verformung des Stabenauschlusses an beiden Stabenden, berücksichtigt werden muss.

Für normale Fälle reicht jedoch auch eine Näherung, bei der der Balken als Zweifeldträger oder gar nur als Zug- und Druckfest verbindende Kette von zwei einfachen Balken betrachtet wird. Die sich aus der Belastung dieses Balkens ergebende Auflagerkraft  $B$  ist dann im Stabwerk



aufzunehmen. Die Berechnung der Stabkräfte in diesem Stabwerk benutzt dann lediglich Gleichgewichtsbedingungen (Baustatik, Kap 4 und speziell 4.42 a)).

Bei Trapez-Hängewerken und -Sprengwerken führt man am besten die Kraft im Spannriegel als überzählige Größe  $X_1$  ein. Als Verformungsbedingung gilt die Erhaltung des Abstands der Hängepfosten-Köpfe, korrigiert um die Verkürzung des Spannriegels. Mit den



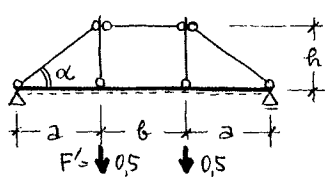
Regeln der Baustatik, Kap. 8 können die Schnittkräfte im Streckbalken und im Stabenzug ermittelt werden, wobei wieder bei der Ermittlung der Verformungsgrössen der Beitrag der Normalkräfte und die Verbindungsverformung bei Staben und Spannriegel berücksichtigt werden sollten. Auch hier ist eine sehr gute Näherung möglich, indem man die Größe  $X_1$  zu einem günstig gewählten

statisch bestimmten Ersatzsystem abschätzt. Dieses Bilden wird durch Einführung eines gedachten Gelenks im mittleren Bereich des Streck balkens, zB in Feldmitte des Hängewerks. Dies ist in Kap. 4.31 der Baustatik für Hängewerke und unter Kap. 4.24 für Sprengwerke gezeigt worden und bedarf hier keiner weiteren Erläuterung. Auch die dort gezeigten Beispiele sind typisch für den Holzbau.

Bei der Beurteilung des Strebewerks ist natürlich die Knickgefahr der Druckstäbe zu beachten. Zusätzlich ist durch räumliche Abstützung der Hängestützen von Hängewerken bzw. durch horizontale Aussteifung des Balkens bei Sprengwerken ein seitliches Ausweichen des ebenen Tragsystems zu verhindern.

### c) Abschätzung der Durchbiegung

Bei der Berechnung der Durchbiegungen von Häng- und Sprengwerken sind die Beiträge aus Normalkräften und die Verformung der Verbindungen zu berücksichtigen sowie die Beiträge der Biegemomente im Streckbalken. Die Durchbiegung des Systems an den Stellen der Hängepfosten lässt sich dabei



gut allgemein abschreiben, da für diese Werte der Beitrag der Biegemomente verschwindet. Für die Ermittlung der Durchbiegung

mit Hilfe der Arbeitsgleichung führen wir zwei virtuelle Kräfte  $F' = 0,5$  ein, die zusammen zu der symmetrischen Verformung die Arbeit  $2 \cdot 0,5 \cdot w$  erbringen. Es ist dann

$$w = \sum_{\text{alle Stäbe}} N_i^! \left[ \frac{N_i}{EA_i} \cdot b_i + \left( s + \frac{N_i}{C} \right) \cdot 2 \right].$$

Die Erklärung der einzelnen Terme findet sich unter 3.45 e). Hieraus lässt sich - bzw. ohne Ableitung - folgende einfache Formel herleiten, in der für die Gesamtverformung jeder Verbindung das doppelte des Schlußes von  $s = 1,0 \div 2,0$  mm und ein mittleres Spannungsniveau  $\bar{\sigma}_m$  in den Druck- und Zugstäben angenommen wurde. Es ist damit

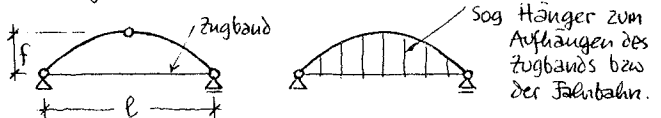
$$w \approx \left[ \frac{\bar{\sigma}_m}{E_{||}} \cdot \frac{2a^2 + 2b^2 + ab}{h} + s \cdot \frac{6a + 2b}{h} \right] \cdot (1 + \delta\varphi).$$

Die runde Klammer ist wieder der Knickeinfluss unter Dauerlasten. Es zeigt sich normalerweise, dass die Verformung der Verbindungen den größten Beitrag zu die Verformung des Hängewerkes leistet. Die Verformung insbesondere aus Verbindungs schlupf kann im übrigen durch Überhöhen kompensiert werden.

Hinzuzuzählen zur oben abgeschätzten Durchbiegung unter den Hängepfosten ist die Durchbiegung des Streckbalkens auf der Strecke  $b$ , die nach Kap. 3.31 c) ermittelt werden kann.

### 4.13 Bogentragwerke

Für Brücken über etwa 12 m Spannweite und die Überdeckung grosser stützenfreier Räume eignen sich Bogentragwerke besonders gut. Die Regel ist der Bogen mit Zugband (aus Holz oder Stahl), entweder als zweigelenkiger oder als dreigelenkiger Bogen mit einem Scheitelpfosten in der Mitte:



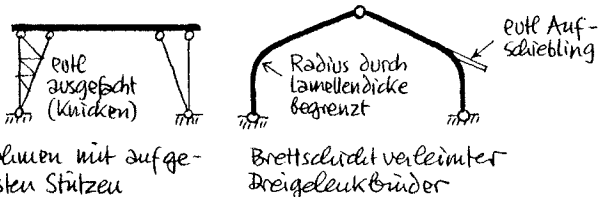
Die Form des Bogens ist in der Regel eine quadratische Parabel und damit Drucklinie für gleichmäßig verteilte Lasten (siehe Baustatik Kap. 4.22 c), 4.32 und 8.25). Aus verteilten Lasten sind damit die Biegemomente im Bogen null oder sehr klein. Unsymmetrische Lasten und Einzellasten führen zu Biegemomenten, die jedoch - im Vergleich zum einfachen Balken gleicher Spannweite - immer noch bescheiden sind.

Für die Beurteilung des Bogens sind in der Regel die Durchbiegungen unter unsymmetrischen Lasten und Einzellasten maßgebend sowie die Knickgefahr unter der Bogen-Normalkraft. In der Bogen-Ebene kann als Knicklänge  $l_K$  näherungsweise  $l_K = 1,25 \cdot s$  gesetzt werden mit  $s = 0,5 \cdot p \cdot [1 + \frac{8}{3} \cdot (\frac{f}{p})^2]$ . Gegen das Ausknicken aus der Bogenebene sind die in der Regel sehr schlanken Bögen durch Knickverbände oder seitliche Abstützungen in engen Abständen zu halten.

Wegen der Begrenzung der transportierbaren Längen ist über  $l = 20$  m der Dreigelenkbogen bevorzugt, es sei denn, man wolle die Schwierigkeiten eines biegesteifen Stoßes (zB verkleimte Längen, siehe 2.6) in Kauf nehmen. Dies ist bei Spannweiten über rd 40 bis 50 m jedoch auch beim Dreigelenkbogen unvermeidbar.

### 4.14 Rahmentragwerke

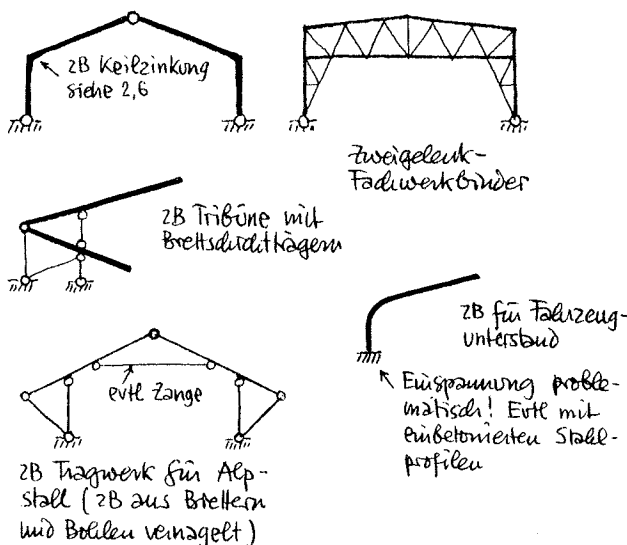
Für Rahmentragwerke gilt in mancher Beziehung ähnlich wie für Bogentragwerke. Auch hier sind Zweigelenk- und Dreigelenk-Lösungen möglich. Da die Rahmenform jedoch nicht der Drucklinie zu den Lasten entspricht, sind grössere Biegemomente, insbesondere in den Rahmencken, zu erwarten. Hingegen passt sich die Rahmenform besser der Raumnutzung an. In der Regel steht heute der breitdrückverkleimte Binder im Vordergrund, unter Umständen mit sog. aufgelösten Stützen. Aber auch Fachwerkrahmen sind möglich. Die nachfolgenden Skizzen geben einige Anregungen:



Rahmen mit aufgelösten Stützen

Brett drück verkleimter Dreigelenkbinder

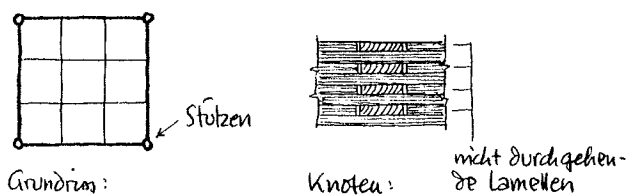
Weitere Beispiele für Raumtragwerke:



Deutlich wird, dass mit Raumtragwerken eine gute Anpassung an die Nutzung möglich ist und auch architektonisch befriedigende Bauwerke erstellt werden können.

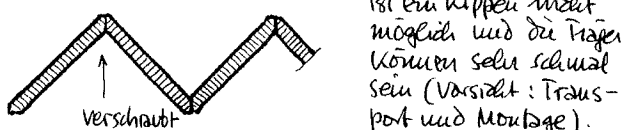
## 4.15 Flächentragwerke

Mit Holz sind auch - teilweise unerhört schöne und elegante - Flächentragwerke möglich, zB durch Kreuzweise Verleimung von Brettern zu Trägerrostern:



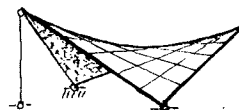
Begrenzung der Abmessungen durch Transport bedenken.

Flächentragwerke entstehen auch durch "gegenüberliegenden" Zusammenbau von schmalen Brettschichthägern zu Faltwerken; da sich die Träger gegenseitig stützen, ist ein Kippen nicht möglich und die Träger können sehr schmal sein (Vorsicht: Transport und Montage).



Auch im "Kistenbau" unter Verwendung von Spanholzplatten sind interessante Lösungen, insbesondere für demontable Bauwerke, möglich, zB durch räumlichen Zusammenbau von ebenen Dreieckflächen. Prüfung auf "Steifigkeit" und damit grundsätzliche Brauchbarkeit an Kantenmodellen!

Schliesslich sind räumlich gekrümmte Konstruktionen für ästhetisch ansprechende Dächer möglich, zB. Konoidshäulen und Hyparschalen (hyperbolisches Paraboloid), mit geraden Erzeugenden aus mehreren gekreuzten Brettereinlagen verklemt.



## 4.2 Decken und Wände

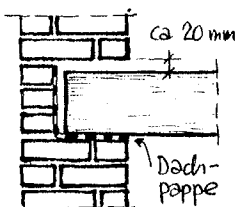
Decken und Wände werden - vor allem in ländlichen Gebieten und im Chaletbau - noch oft in Holz ausgeführt, wenngleich auch dort Stahlbeton für Decken und Mauerwerk für Wände immer häufiger anzutreffen sind.

### 4.21 Holzbalkendecken

Holzbalkendecken bestehen - statisch gesehen - praktisch ausschliesslich aus einfachen Balken mit darübergelegter und mit den Balken verankelter Bodenschalung. Als Spannweite soll wenn immer möglich die kleinere Abmessung der zu überdeckenden Räume gewählt werden. Balkenabstand und Dicke der Bodenschalung müssen aufeinander abgestimmt werden. Normal sind Abstände zwischen 0,60 m und 0,90 m. Grössere Abstände sind meist unwirtschaftlich.

Das Gebälk einer Decke soll - zB mit Bauteilen - für kleinere Kräfte zug- und druckfest miteinander verbunden werden, damit - zusammen mit der Bodenschalung - eine steife Scheibe entsteht, die auch den Wänden einen gewissen Halt gibt.

Die Auflagerung der Balken soll "Luft umspült" sein. Dies ist insbesondere bei der Auflagerung von Holzbalkendecken auf Mauerwerk zu beachten. Die Balkenköpfe dürfen also keinesfalls einbetoniert oder eingemauert werden, sondern sollen in leicht grösseren Aussparungen liegen, wobei die Lagerfläche und die Stirnfläche gegen Feuchtigkeit abzuschützen ist. Die Balken werden in der Nische mit Holzkeilen verkeilt, welche ihrerseits mit einem Nagel gesichert werden. Die Balkenköpfe müssen zudem mit einem Holzschutzmittel gestrichen werden.



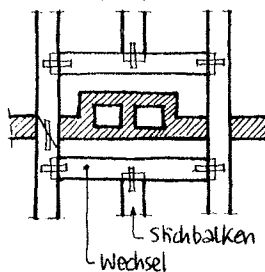
Oftmals wird auch über allen Mauerwerkswänden ein sog. Ringanker in Stahlbeton geführt, der allen Mauern einen Halt gibt und für die Balkenlage eine ebene Lagerfläche bietet. Auch hier werden die Balken auf Dachpappe gelegt und beim Weitermauern

wärmedämmung  
zB Sagex



jeder Kontakt mit dem Mauerwerk vermieden durch Ausbildung der erwähnten Nische. Während der Ringanker auf innerliegenden Wänden auf ganze Mauerbreite durchgeht, muss bei Außenwänden, wie oben skizziert, die schlechtere Wärmedämmung des Betons durch zusätzliche Wärmedämmvlieslagen ausgeglichen werden.

Im Bereich von Treppen und Kaminein muss das Gehölz "ausgewechselt" werden. Der sog. Stichbalken liegt dabei einseitig auf Mauerwerk auf, während er auf der anderen Seite mit Zapfen oder Brustzapfen (siehe Brüstung, 2.21) in einen anderen Balken eingreift. Sog. Wechsel greifen an beiden Enden in andere Balken ein. Die Verbindungen werden normalerweise mit versenkter Bauklemme gesichert.



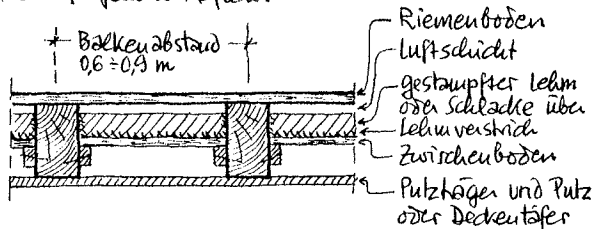
In statischer Hinsicht sind Holzbalkendekcen problemlos. Es sind die zulässigen Brücke- und Schubspannungen einzuhalten, sowie die zulässigen Durchdringungen (siehe Bemessung 3.31 d)).

Bei Wohnhausdecken, aber teilweise auch bei Decken über Ställen, sind jedoch zusätzlich die Forderungen nach ausreichender

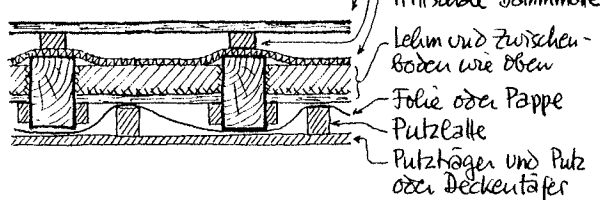
- \* Schalldämmung (zwischen bewohnten Räumen)
  - \* Wärmedämmung (gegen unbehizte Seiten)
- zu beachten.

Bei der Beurteilung der Schalldämmung ist zu unterscheiden zwischen Luftschall (Sprechen, Musik etc) und Körperschall (zB Trittschall). Die Luftschalldämmung einer Decke ist weitgehend proportional zu ihrem Gewicht (einschließlich Putz etc). Sie wird zudem durch Spalten und Riten in der Decke stark beeinträchtigt. Körperschall hingegen sollte man weitgehend an der Quelle bekämpfen, zB durch Sprungteppiche. Isolierende Zwischenschichten sollen den eigentlichen Fußboden von der Unterkonstruktion, aber auch von den Wänden, abisolieren.

Die traditionelle Decke mit guten Luftschalldämmung hat den folgenden Aufbau:

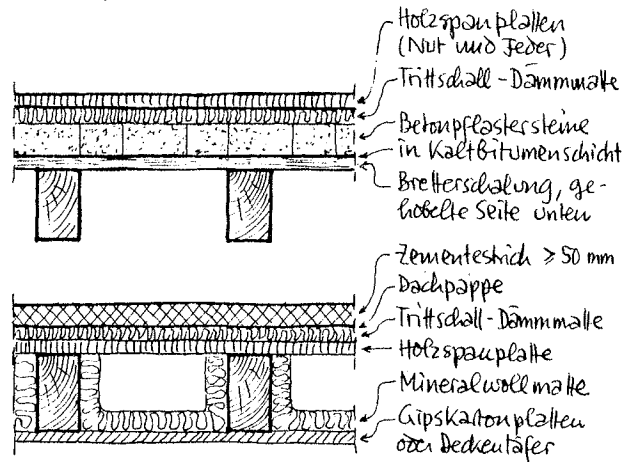


Die Schalldämmung kann verbessert werden durch Trennung der Tragdecke von dem Putzschicht sowie durch zusätzliche Anordnung einer Trittschall-Dämmplatte. So können auch bestehende ungenügende Decken verbessert werden:



Auch das Aufbringen eines trockenen Sandschlüttung, in welche Lagerhölzer eingelegt werden, welche dann den Riemenboden halten, kann zu einer besseren Luftschalldämmung beitragen.

Moderne Decken benötigen Holzspuplatten, womit insbesondere auch das bekannte Klettern von Holzbalkendekcen eliminiert werden kann. Typische Formen sind die folgenden:



Eine ausreichende Wärmedämmung flächiger Bauteile erzeugt man durch Anordnung von dicken Mineralwollmatten geringer Dichte, durch Schaumstoffplatten (zB "Sagex") und durch "stehende" Luftsichten (in denen keine Luftzirkulation möglich ist). Auf der "warm" Seite der Isolierschichten ist in der Regel eine sog. Dampfsperre nötig, um Kondensation von luftfeuchtigkeit in der Dämmschicht und damit Verlust an Isolationsvermögen zu verhindern. Handelsübliche Maten sind oft schon werkseits mit einer Dampfsperre versehen.

Wärmedämmende Decken sind vorwiegend über Kellerräumen und unter ungeheizten Dachräumen nötig, also an Stellen, wo die Schalldämmung eine untergeordnete Rolle spielt. Würden dennoch im wesentlichen die vorgeschlagenen Deckenquerschnitte beibehalten, wenn wir die gewölbungsbringenden Schichten durch leichte, dicke wärmedämmende Schichten ersetzen oder ergänzen.

Die vorstehenden Skizzen sind im übrigen lediglich als Beispiele zu verstehen. Handbücher führen viele weitere Möglichkeiten auf und geben u.U. auch Tabellenwerte für die Dämmeigenschaften.

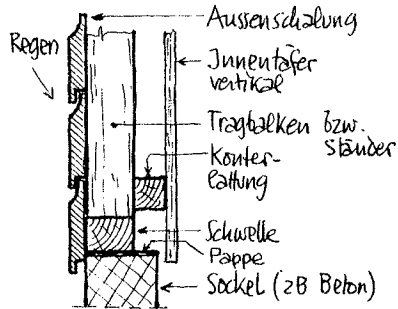
## 4.22 Holzwände

Zentrales Element von Holzwänden ist die möglichst geschlossene raumabschließende Bretterschicht. Diese muss auf ein tragendes Gerüst aus Balken aufgenagelt werden.

Weltseitige Bretterschichten werden dabei in der Regel horizontal gelegt. Bei Verwendung des Spundprofils ergeben sich dabei weitgehend regelwidrige Wände. Raumseitiges Wandtafel wird meist vertikal gestellt, wobei mit Nut- und Kamm-Profil ordentlich ebene Flächen entstehen.

Brett-Dänen sind auf den Abstand der Tragbalken abzustimmen. Normal sind Abstände von 1,0 m bis etwa 1,50 m. Je nach Breitstellung sind sog. Konter-

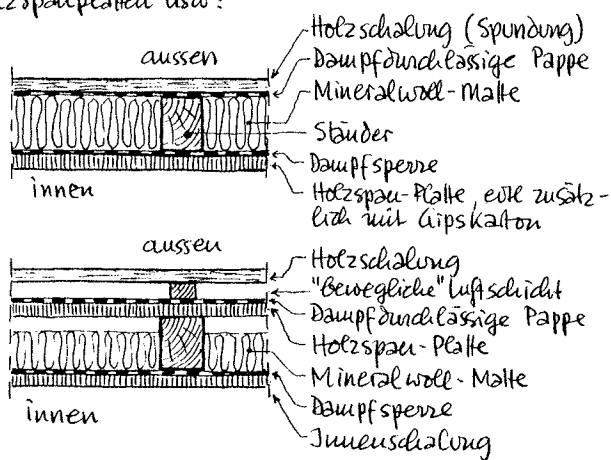
latten nötig, die zu den Tragbalken mit Holzschrauben oder Bausicherungen angeschlossen werden. Der prinzipielle Aufbau - hier noch ohne Wärmedämmende, schalldämmende und wiedichtende Zwischenschichten - ist damit der folgende:



Natürlich muss die Schwelle mit dem Sockel und dem Tragbalken geeignet verbunden werden. Dabei ist vor allem auch auf Windzugkräfte zu achten, die vom Dach über die Wand in Sockel und Fundament abgeleitet werden müssen. Dies ist insbesondere bei Bauten mit leidlicher Dachhaut nötig.

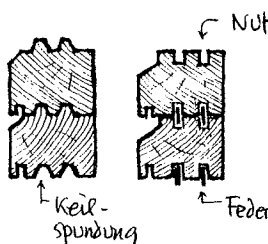
Winddichtigkeit wird durch Zwischenlage einer in engen Abständen befestigten Dachpappe erzeugt, zusätzliche Wärmedämmung - wie bei Decken - durch dicke, leichte Wärmedämm-Matten oder Schraumpfplatten. Hierbei ist wieder in der Regel eine Dampfsperre auf der warmen Seite nötig.

Damit entstehen folgende Wandquerschnitte, hier skizziert in modernen Formen unter Verwendung von Schraumpfplatten usw.:



Bei Innenwänden ohne Wärmeschutzfunktion kann die Dampfsperre entfallen. Die Mineralwoll-Matte wird vorteilhafterweise durch schwerere Schichten ersetzt (Luftschalldämmung).

Beim Vollholz-Blockbau besteht die ganze Wand massiv aus Holz. Die Wärmedämmung ist in der Regel ausreichend und die Luftschalldämmung nicht schlecht. Voraussetzung ist allerdings, dass die Fugen gut abgedichtet sind. Dies ist durch



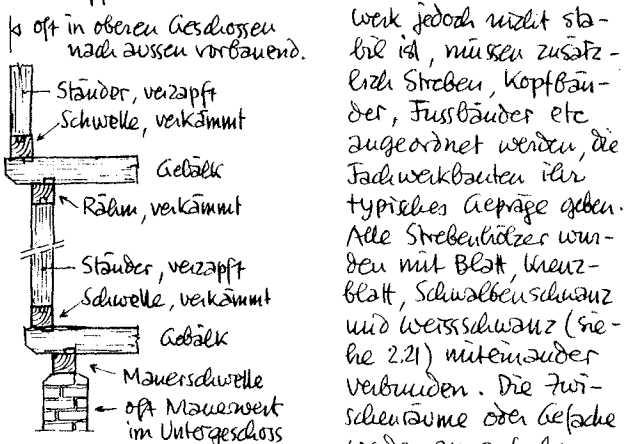
Keilförmige Spundung oder durch Nut und Feder bis zu einem gewissen Grad erreichbar. Durch Schwinden und Quellen des Holzes sowie das Verdrehen

einzelner Balken sind jedoch auf die Dauer Unbilligkeiten zu befürchten. In Wohnbauten sollte deshalb von vornherein ein inneres Wandtafel und eine dazwischenliegende Dampfsperre angeordnet werden.

## 4.23 Skelett- und Riegelbauten

In Skelett- und Riegelbauten bilden Decken und Wände eine aufeinander abgestimmte konstruktive Einheit.

Die traditionellen Riegelbauten (Fachwerkbauten) gehören zu den schönsten Ergebnissen der Zimmermannskunst, werden jedoch heute, abgesehen von Restaurierungen, nicht mehr hergestellt. Am Prinzip handelt es sich um Skelett-Bauten, bestehend aus den Elementen Schwelle, Gebälk, Pfosten (oder Stiel oder Ständer) und Rähm, alles Kunstvoll verzapft oder verklemt. Da ein solches Ständerwerk jedoch nicht stabil ist, müssen zusätzlich Stricken, Kopfbänder, Fußbänder etc. angeordnet werden, die Fachwerkbauten ihr typisches Gepräge geben.



Alle Strebenholzer werden mit Blatt, Kreuzblatt, Schwalbenschwanz und Weißschwanz (siehe 2.21) miteinander verbunden. Die Zwischenräume oder Gefache werden ausgefacht, entweder mit Backsteinmauerwerk oder mit Fachwerk und Stahlbewehrter Lehmfüllung, wobei das Holzwerk sichtbar bleibt und oft mit Ornamenten und Schnitzzügen reich verziert ist.

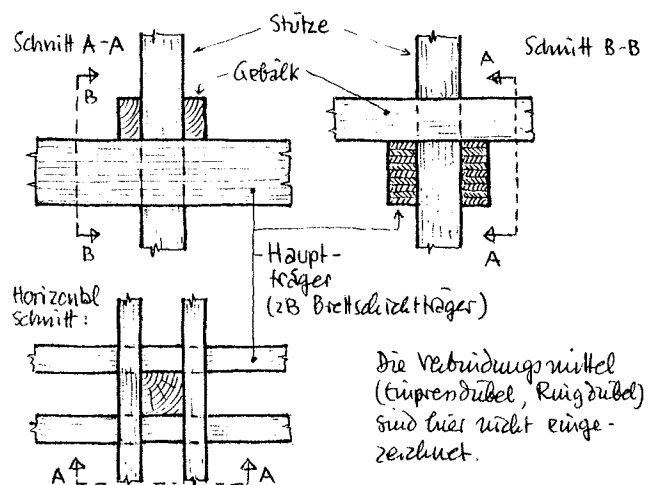
Die Art der Versteifung des Ständerwerks durch Streben, Kopf- und Fußbänder ist landschaftlich verschieden, lag jedoch offensichtlich innerhalb gewisser Regeln im Ermessen des Zimmermeisters, der - je nach gestalterischer Kraft - das für die Stabilisierung Nötige oft auch zu einer begeistert schönen geometrischen Zeitlinie des Gebäudes mache.

Es ist hier nicht der Platz, auf diese vorwiegend im deutschsprachigen Raum anzutreffenden Konstruktionsformen im Detail einzugehen (siehe hierzu beispielweise Klöckner, Alte Fachwerkbauten, Verlag Callwey, München, 1978). Lediglich ein Hinweis und Wunsch: Hinter mancher Bauernhaus-Fassade ist ein Fachwerk versteckt, das im Zuge gewandelter Wertvorstellungen verputzt wurde, um ein massives Bauwerk vorzutäuschen. Solche Fachwerke und damit alte Zimmermannskunst wieder sichtbar zu machen, kann bei nötigen Renovierungen gelingen. Jeder Freund des Holzbaus sollte dies ein Anliegen sein.

Zu neuerer Zeit ist ein Wiederaufleben der Holz-Skelett-Bauweise zu beobachten und zwar sowohl in Bergregionen beim Bau von Ferienwohnungen als auch bei Einfamilienhäusern und Versammlungscentren, Kirchen usw. Dieser moderne Skelett-Bau macht sich die modernen Verbindungsmitte Schrauben, Bolzen, Einpresstübel und Rügtdübel zunutze und verwendet brettschichtverleimte Träger, wo immer dies wirtschaftlich vertretbar ist. Der Grund ist vor allem der, dass solche verleimten Träger weit weniger zum Verziehen und Verdrücken neigen als normales Schnittholz.

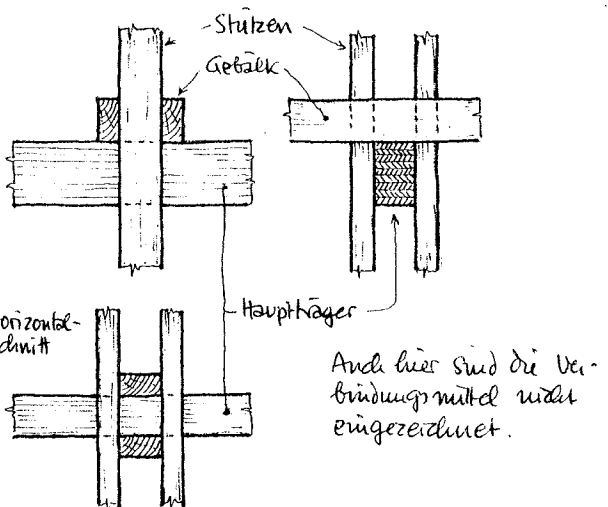
Insbesondere für grössere Bauwerke mit oft wendekreisenden Details wurden eigentliche Skelettbau-Systeme entwickelt, die - in ausgefeilter modularer Ordnung und Maßordnung - auch die letzten Details berücksichtigen. Es kann hier nicht darum gehen, diese Systeme hier darzustellen. Wir wollen hier lediglich die wichtigsten Konstruktionsprinzipien behandeln, die solchen Skelett-Konstruktionen zugrunde liegen. Hervorstechendes Konstruktionsmerkmal ist - den modernen Verbindungsmitten entsprechend - die sog. zangenartige Anordnung der Hölzer, wobei nach Möglichkeit sowohl die Stützen als auch die Balken über mehrere Felder bzw. Knoten durchlaufen. Hierbei werden entweder die Balken oder die Stützen mehrfach geführt.

Bei einteiligen Stützen ergeben sich Knoten der folgenden Art:



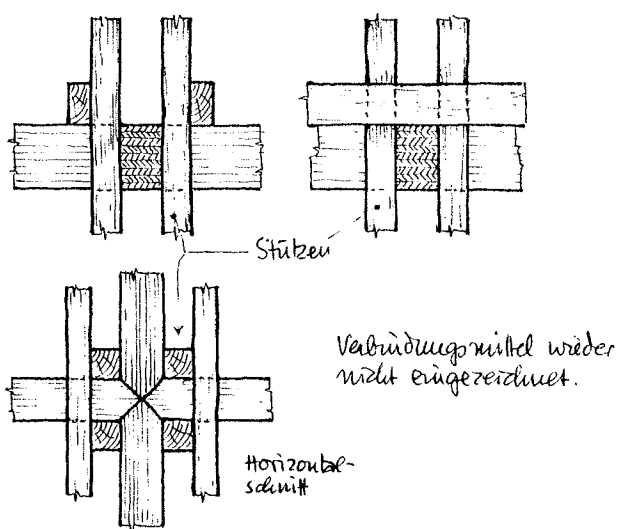
Die in der Skizze mit Gebalkt ausgeschilderten Hölzer nehmen bei jedem Knoten die Stütze in die Zange, werden jedoch dann in den für Holzbalkendecken üblichen Abständen als Türelbalken auf die Hauptträger ausgelegt und bilden die Tragbalken der Decke (siehe 2.21). Zu den Stützeenebenen werden die für die Stabilisierung des Skeletts benötigten Streben angeordnet und an Hauptträger bzw. Gebalkt mit den gewählten Verbindungsmitten angeschlossen. Wände liegen ebenfalls in der Stützeenebene, wobei die Stützendicke die Abmessung der Wände zwischen den beiden Schalen bestimmt (siehe 2.22).

Ganz analog können auch die Stützen zweiteilig geführt werden, wobei normalerweise der Hauptträger in die Zange genommen wird. Dabei entstehen Knoten von folgendem Typ

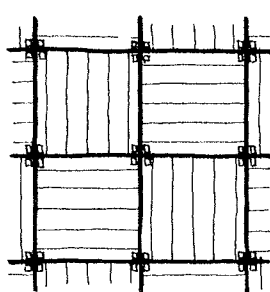


Für Streben, Decken und Wände gilt im Prinzip das schon vorher ausgeführte.

Schliesslich können die Stützen auch vierfach geführt werden, womit Hauptträger in zwei Richtungen möglich sind, allerdings in der Regel nur als einfache Balken zwischen zwei Knoten. Dabei entstehen Knoten von folgendem Typ:



Für die Anordnung von Streben, Wänden und Decken gilt wieder das vorstehend gesagte. Da jetzt jedoch Hauptträger in zwei Richtungen vorhanden sind, kann das Gebalkt auch "windmühelhaft" angeordnet werden. Damit erhält jeder Hauptträger nur die halbe Last eines Feldes und die Querschnitte werden kleiner und die Anschlüsse der Hölzer einfacher. Damit ist das wesentlichste über Skelettbau gesagt.



## 4.24 Holztafelbau

Aus dem Skelettbau hat sich - im Sinne einer möglichst weitgehenden Verlagerung der notwendigen Arbeiten von der Baustelle in die vor Witterungseinflüssen geschützte Werkstatt - der sog. Holztafelbau entwickelt. Am Prinzip bestehen diese Tafeln aus einem hlaufenden Holzrahmen, entw. dazwischenliegenden aussteifenden Riegeln und einer beidseitigen Beplankung mit Brettern, Holzspanplatten, Gipskartonplatten usw. Im Idealfall enthalten diese Tafeln je nach Funktion die notwendige Isolierung, elektrische und sanitäre Anstellungen, Türen und Fenster und für Dachplatten sogar die eigentliche Dachhaut.

Die Abmessungen der Tafeln sind durch den Transport begrenzt und übersteigen in der Breite selten etwa 2,50 m. Raumelemente sind geschlossenhoch, Deckenelemente so lang, dass sie die zu bildenden Räume als einziger Balken zu überbrücken vermögen. In statischer Hinsicht kommen bei entsprechender Verbindung zwischen Rippen und Holzspanplatten (zB bei Nagelpunktsystem) die letzteren nicht gerichtet werden, sodass im Prinzip ein I-Querschnitt entsteht. Für die Verbindung



der einzelnen Tafel wurden spezielle, für das jeweilige System typische Verbinder entwickelt, die

sich rasi (zB durch Fürtenden von Stahlkeilen in Stahlkästen oder ähnlich) bei der Montage schließen lassen.

Es kann hier nicht darum gehen, solche Tafelbausysteme in allen Details vorzustellen. Hierzu muss man auf entsprechende Prospekte und Systemzeichnungen zurückgreifen, aus denen auch die Kompatibilität von Platten und die Möglichkeiten der Raumteilung hervorgehen.

Ein weiterer Schritt der Industrialisierung gelang mit der Vorfertigung von grauen Raumelementen und Raumzellen, die - in immer noch transportierbarer Breite - einfach auf vorbereitete Sockel neben- einander gestellt und miteinander verbunden werden. Derartige Elemente finden vorwiegend für demontierbare, eingeschossige Baukörper Verwendung, zB für Schulbauten, Kindergärten, Baracken usw. Auch hier kann auf die Details nicht eingegangen werden.

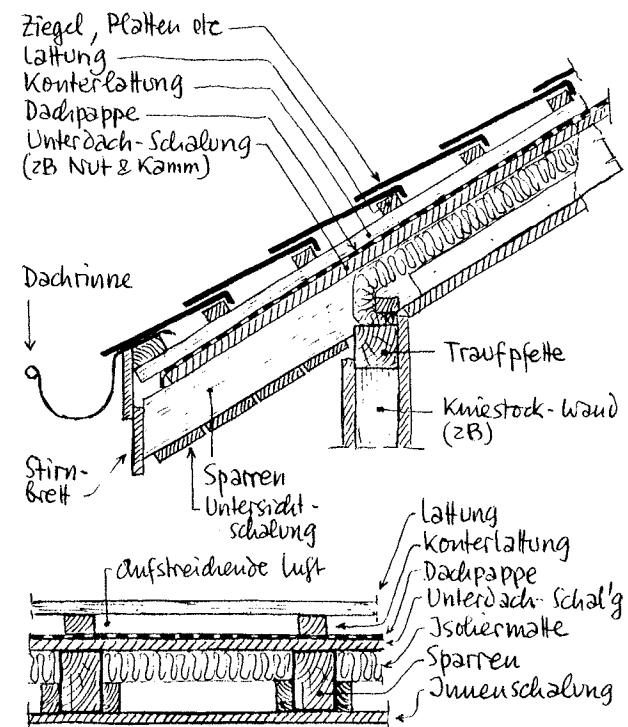
## 4.3 Dachtragwerke

Der folgende Abschnitt behandelt Dachtragwerke des zimmermannsähnlichen Holzbaus, wie sie im Hochbau bei praktisch allen geneigten Dächern anzutreffen sind.

### 4.31 Allgemeines

#### a) Dachaufbau

In grundsätzlicher Hinsicht besteht ein Dach aus Sparren, Latten und Ziegeln. Es erfüllt in dieser elementaren Form jedoch lediglich die Funktion des Schutzes vor Meteorwasser. Schon bei Schneekreisen kann es vorkommen, dass Schnee unter den Ziegeln hindurch in den Dachraum geblasen wird. Um dies zu verhindern, ist ein sog. Unterdach nötig. Zusätzlich wird man heute in beheizten Gebäuden eine Wärmedämmung anordnen. Unter Beachtung aller Anforderungen hat ein Dach deshalb etwa den folgenden Aufbau:



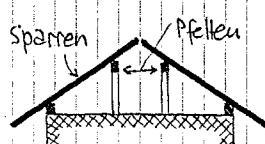
Natürlich wird dieser Aufbau vielfältig abgewandelt werden müssen je nach Dachform, Typ der Dachdeckung, Ansprüchen an Isolierung und Innenschalung usw. Aber das Prinzip ist immer das gleiche. Auch kann man, je nach Funktion des Daches, einzelne Elemente weglassen, zB die Innenschalung in neuen Speicher-Räumen, wo die Sparren sichtbar bleiben dürfen. Auch die Untersicht-Schalung im Bereich der Auskragung und das Stirnblech sind lediglich eine Frage der Ästhetik.

Die, die Ziegel bzw. die Dachhaut tragende, Lattung hat in der Regel die Querschnittsabmessungen 24 x 48 mm (sog. Dachlatten). Sie wird mit Nägeln auf der Konservierung direkt auf den Sparten befestigt. Ihr Abstand ergibt sich aus der Art der vorgesehenen Dachdeckung. Die Dachlatten müssen sowohl die Lasten aus Dachhaut und Schnee als auch die Windkräfte auf die Sparten übertragen. Während der Bauarbeiten müssen sie die Last von "Mann und Ausrüstung" tragen, was den Spartenabstand nach oben auf etwa 0,8 m begrenzt. Bei grösseren Lasten (z.B. Schnee in höheren Lagen) müssen die Sparten enger gesetzt werden. Ein noch vernünftiges Minimum ist etwa 0,5 m Abstand der Sparten.

## b) Statische Systeme

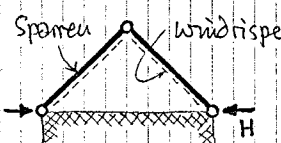
Die traditionellen, zumindest massstäblichen Dachkonstruktionen lassen sich nach ihrer statischen Wirkungsweise und ihrer Entwicklungsgeschichtlichen Herkunft entsprechend in zwei grundsätzlich verschiedene Gruppen unterteilen und zwar in sog. Pfettendächer und in sog. Sparrendächer.

Zu Pfettendächern bilden die sog. Pfetten zusammen mit Stützen und gegebenenfalls Streben einen sog. Dachstuhl, auf dem die



Sparten als einfache Balken, oft auskragend oder als über mehrere Pfetten durchlaufende Balken frei aufliegen. Sie werden mit einem langen Sparrennagel auf den Pfetten befestigt. Die Pfetten liegen horizontal und sind oft als Kopfbundnägel (siehe 4.11.d)) ausgebildet. Das Pfettendach geht auf das sogenannte geneigte Flachdach des Mittelmeerraums zurück.

Zu Sparrendächern bildet jedes Sparrenpaar (= Gesparre) einen Dreigelenkrahmen, der auf die Unterkonstruktion nicht nur vertikale Kräfte, sondern auch einen sog. Horizontaldruck abgibt. Während

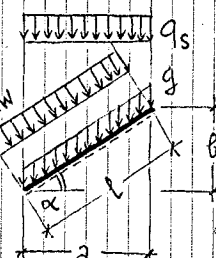


jedes Sparrenpaar in der Ebene stabil ist, muss es gegen Auskippen aus der Ebene durch sog. Windsrispen (schräg unter die Sparten genagelte Bretter oder Bohlen) gesichert werden. Das Sparrendach geht auf das durch Stangen gehaltene Zeltdach nomadisierender Völker zurück.

Beide Konstruktionsformen wurden natürlich je nach Spannweite, Grundrisse des Gebäudes usw. variiert. Die wichtigsten Formen werden in den Abschnitten 4.32 und 4.33 im Detail besprochen.

## c) Belastungen

Dächer werden durch ständige Lasten  $g$  (Ziegel, Unterdach, Sparten etc), durch Windkräfte  $q_w$  und Schneelasten  $q_s$  belastet. Dabei ist zu beachten, dass, obwohl alle Größen z.B. in  $\text{KN/m}^2$  ausgedrückt werden, Bezugsflächen und Richtung nicht übereinstimmen, also eine algebraische Addition nicht zulässig ist. Die Eigenlast des Daches bezieht sich natürgemäß auf den  $\text{m}^2$  der schrägen Dachfläche und wirkt vertikal, die Windkräfte beziehen sich ebenfalls auf die Dachfläche, wirken jedoch senkrecht zu ihr, während Schneelasten vertikal wirken, aber auf den  $\text{m}^2$  der horizontalen Grundfläche bezogen werden. Optimal ist es sinnvoll, mit horizontalen und vertikalen Komponenten der zu einer gegebenen Länge  $l$  gehörigen Resultierenden zu rechnen. Diese bewegen sich in einer äquivalent zu obengeschilderter Situation:



$$H = l \cdot q_w$$

$$V = a \cdot \left[ \frac{q}{\cos \alpha} + q_s + q_w \right].$$

Die Größe der Lasten bzw. Kräfte kann z.B. der Norm SIA 160 entnommen werden.

Die Eigenlasten hängen naturgemäß von der gewählten Dachdeckung und vom Aufbau des Daches ab und liegen - einschließlich Latten, Sparten, Schalung etc - zwischen 0,4 und 1,5  $\text{KN/m}^2$  Dachfläche.

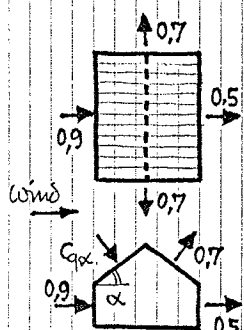
Für Schneelasten auf Dächern gilt nach SIA 160 mit  $h_0$  = Höhe über Meer

$$q_s = \xi_i \cdot \left[ 1 + \left( \frac{h_0}{350} \right)^2 \right] \cdot 0,4 \text{ KN/m}^2 \geq \xi_i \cdot 0,9 \text{ KN/m}^2.$$

Der Beiwert  $\xi_i$  berücksichtigt Dachform und Neigung des Daches. Normalerweise gilt  $\xi_i = 0,8$ , sind Dächer steiler als  $60^\circ$ , darf mit einem Abgleiten des Schnees gerechnet werden ( $\xi_i = 0$ ). In relativ schneereichen Gegenden (Tessin, Glarnerland) kommt zu  $h_0$  ein Zuschlag von bis zu 500 m, in Engadin z.B. darf man von  $h_0$  200 m abziehen (siehe hierzu Norm SIA 160).

Windkräfte wirken nur bei direkt angeblasenen Flächen als Druck. Auf dem Wind abgewandten Gebäudeflächen, auf Flächen, auf denen der Wind parallel vorbeistreift und auf flache Dächer wirkt der Wind als Zug. Die Windkräfte  $q_w$  werden mit sog. Windbeiwerten  $C_w$  aus dem sog. Staudruck  $q_r$  ermittelt. Dieser ist für normale Gebäudehöhen zu  $q_r = 0,9 \text{ KN/m}^2$

ausgesetzt. Die Windbeiwerte  $c_q$  sind stark von der Gebäudeform abhängig. Für übliche Gebäudeformen können die folgenden Werte als Anhaltspunkte dienen:

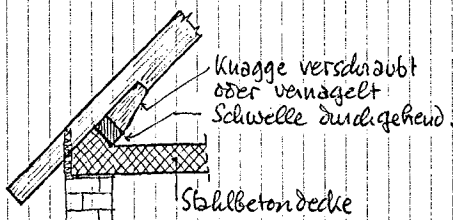


Front-, Rück- und Seitenwände sowie deren Wind abgewandte Dachfläche  $c_q$ -Werte geließ Skizze. Für Dachfrontseite:

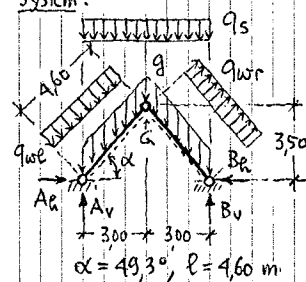
$$\begin{aligned} 0 \leq \alpha^{\circ} < 20^{\circ} : c_{q,x} &= -1,0 \\ 20 < \alpha^{\circ} < 50^{\circ} : c_{q,x} &= \frac{5 \cdot \alpha^{\circ} - 200}{100} \\ 50 < \alpha^{\circ} \leq 90^{\circ} : c_{q,x} &= \frac{\alpha^{\circ}}{100} \end{aligned}$$

Damit ist klar, dass immer mit Sogkräften auf Dächer gerednet werden muss, die behagsmäßig bis zur Größe des Staudrucks anzunehmen sind. Im übrigen ist zu beachten, dass die Beiwerte Mittelwerte über größere Teilflächen sind. Lokal (zB an Dachrändern und Gebäudekanten) können die Windkräfte noch weit größer werden und auch rütteln wirken, worauf bei der Konstruktion (zB durch dichtere Nagelung) Rücksicht zu nehmen ist.

Will man den Aufschiebung vermeiden, muss man in der Regel mit Kraggen arbeiten; das wird jedoch in der Regel recht aufwendig.



Für die Bewegung der Spannen sind die Schnittkräfte zu ermitteln. Dies soll an einem Beispiel gezeigt werden. Es sei die nebenstehende Geometrie gegeben, sowie



als Dachausbildung ein Falzriegeldach mit  $g = 0,7 \text{ kN/m}^2$  Dachfläche. Das Dach sei auf  $\varphi_0 = 590 \text{ m}$  und ein Abgleiten des Schnees sei verhindert. Das Holz werde leicht angekrochenet eingebaut und als zulässige Durchbiegung gelte  $\zeta_{\text{LW}} = l/200$  bei  $\delta \varphi = 0,5$ . Damit gilt für Wind von links mit Angaben von 4.31 c):

Belastung:

$$g = 0,70 \text{ kN/m}^2 \text{ Dachfläche}$$

$$q_s = 0,8 \cdot [1 + (590/350)^2] \cdot 0,4 = 1,23 \text{ kN/m}^2 \text{ Grundfläche}$$

$$q_wL = 0,9 \cdot (5 \cdot 49,3 - 200)/100 = 0,42 \text{ kN/m}^2$$

$$q_wR = 0,9 \cdot 0,7 = 0,63 \text{ kN/m}^2$$

Auflagerkräfte:

wir folgen dem Vorgaben von Baustatik Kap 4.21 a) und machen uns das unter 4.31 c) gezeigte zunutze:

$$\sum F_x = 0 = A_h - B_h + (0,42 + 0,63) \cdot 3,5$$

$$\sum F_y = 0 = A_v + B_v - 0,7 \cdot 4,6 \cdot 2 - 1,23 \cdot 6,0 - 0,42 \cdot 3,0 + 0,63 \cdot 3,0$$

$$\sum M_A = 0 = B_v \cdot 6,0 - 0,7 \cdot 4,6 \cdot 2 \cdot 3,0 - 1,23 \cdot 6,0 \cdot 3,0 - 0,42 \cdot 4,6^2/2 + 0,63 \cdot [3,0 \cdot 4,5 - 3,5^2/2]$$

$$M_Q = 0 = B_v \cdot 3,0 - B_h \cdot 3,5 - 0,7 \cdot 4,6 \cdot 1,5 - 1,23 \cdot 3,0^2/2 + 0,63 \cdot 4,6^2/2$$

Die Auflösung ergibt:

$$B_v = 6,88 \text{ kN/m}$$

$$B_h = 4,84 \text{ kN/m}$$

$$A_h = 1,17 \text{ kN/m}$$

$$A_v = 6,31 \text{ kN/m}$$

wobei die Bezugslänge "1 m" längs zur Traufe geht. Die Kontrollgleichung stellt nun am besten die Momentenbedingung um das Firstgelink A auf, was hier nicht gezeigt wird.

Schnittkräfte:

Die größten Querkräfte bzw. Normalkräfte sind an den Fußpunkten der Sparren zu erwarten. Für den linken Fußpunkt ergibt sich, wie man leicht einsieht:

$$N = -6,31 \cdot \sin \alpha - 1,17 \cdot \cos \alpha = -5,55 \text{ kN/m}$$

$$V = +6,31 \cdot \cos \alpha - 1,17 \cdot \sin \alpha = +3,23 \text{ kN/m}$$

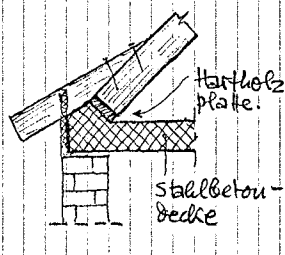
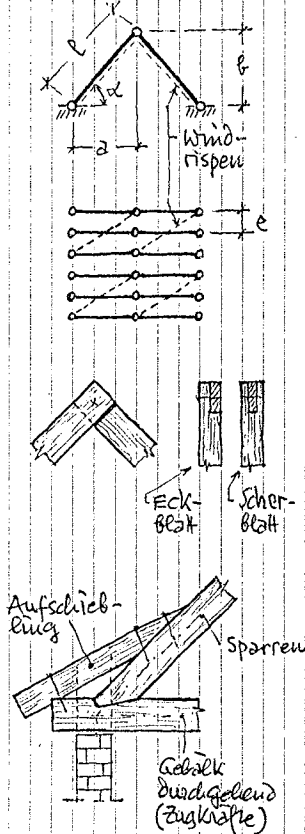
Für den rechten Fußpunkt gelten, mit den zugehörigen Auflager-

## 4.32 Sparrendächer

### a) Einfaches Sparrendach

Einfache Sparrendächer sind - statisch gesehen - Dreigelenk-Rahmen (siehe Baustatik, Kap. 4.22). Jedes der in relativ engen Abständen ( $0,5 \div 0,8 \text{ m}$ ) gesetzten Sparrenpaare ist in seiner Ebene stabil. Gegen Umkippen aus der Ebene sind jedoch Windrispen nötig, die in der Regel unter die Sparren genagelt werden.

Die Verbindung der beiden Sparren jedes Gesparres geschieht mittels Blatt oder Scherblatt, gesichert durch einen Nagel. Der Fusspunkt ist in der Regel nur mit einem sog. Aufschiebeling losbar, wo mit sich eine gebrochene Dachfläche ergibt:



Kräften unter Bedingung der Vorzeichen, die gleichen Formeln; es ergibt sich

$$N = -6,88 \cdot \sin \alpha - 4,84 \cdot \cos \alpha = -8,37 \text{ kN/m}$$

$$V = -6,88 \cdot \cos \alpha + 4,84 \cdot \sin \alpha = -0,82 \text{ kN/m}$$

Das maximale Biegemoment ergibt sich ohne Zweifel in der Mitte des linken Spans, da der rechte durch Windkräfte entlastet wird. Dort ist

$$\begin{aligned} \max M &= 6,31 \cdot 1,5 - 1,17 \cdot 1,75 - 0,70 \cdot \frac{4,6}{2} \cdot \frac{1,5}{2} - 1,23 \cdot \frac{1,5^2}{2} \\ &\quad - 0,42 \cdot 2,3^2 / 2 \\ &= 3,72 \text{ kNm/m} \end{aligned}$$

Die Normalkraft beträgt zu dieser Stelle

$$\begin{aligned} N &= \sin \alpha \cdot [-6,31 + 0,70 \cdot 2,3 + 1,23 \cdot 1,5] - 1,17 \cdot \cos \alpha \\ &= -2,93 \text{ kN/m} \end{aligned}$$

Das maximale Biegemoment kann auch mit der in Baustatik, Kap. 4.21 a) angegebenen Formel ermittelt werden. Diese ergibt mit den angegebenen Größen:

$$\max M = \frac{3,0^2}{8} \cdot \left[ \frac{0,70}{\cos \alpha} + \frac{0,42}{\cos^2 \alpha} + 1,23 \right] = 3,70 \text{ kNm/m}$$

also, im Rahmen der Rundungsfehler, das gleiche. Darauf wäre also für die Ermittlung des maximalen Biegemoments die vorgängige Berechnung der Auflagerkräfte nicht nötig.

#### Bemessung:

Für die Bemessung der Spans ist wieder die dem Wind zugewandte Seite maßgebend. Für Windbeanspruchung gilt  $c_D = 1,25$ . Unter Vernachlässigung der Normalkraft ergibt sich mit bekannten Formeln:

$$\text{erf } W_x = 0,1 \cdot 3,72 / 1,25 = 0,30 \cdot 10^6 \text{ mm}^3/\text{m}$$

$$\text{erf } A = 1,5 \cdot 3,23 / 1,25 = 3,9 \cdot 10^3 \text{ mm}^2/\text{m}$$

$$\text{erf } \exists_x = \frac{200}{60} \cdot 3,72 \cdot 4,6 = 57 \cdot 10^6 \text{ mm}^4/\text{m}$$

Bei einem Spansabstand von  $e = 0,7 \text{ m}$  genügt

Fl 12/16,  $e = 0,7 \text{ m}$ , FK II

mit (siehe 1.31 a)):

$$\text{voh } W_x = 0,51 \cdot 10^6 / 0,7 = 0,73 \cdot 10^6 \text{ mm}^3/\text{m} > 0,30 \cdot 10^6$$

$$\text{voh } A = 19,2 \cdot 10^3 / 0,7 = 27,4 \cdot 10^3 \text{ mm}^2/\text{m} > 3,9 \cdot 10^3$$

$$\text{voh } \exists_x = 41,0 \cdot 10^6 / 0,7 = 58,6 \cdot 10^6 \text{ mm}^4/\text{m} > 57 \cdot 10^6$$

Im Auschluss, zu die Bemessung sind in der Regel noch Nachweise zu führen. Wir fassen diese unter einer Übersicht

#### Nachweise:

zusammen (die vorstehend benutzte Anordnung der Berechnung im "System - Belastung - Auflagerkräfte - Schubkräfte - Bemessung - Nachweise" ist typisch für statische Berechnungen und sollte - wenn passend - grundsätzlich angewendet werden).

Als wichtigster Nachweis ist ein Spannungsabschneiden in Spansmitte unter Berücksichtigung der Normalkraft und der Knickgefahr nötig. Knick aus der Gespanne-Ebene ist dabei durch die Lattung und die Windrispen verhindert, sodass nur ein Ausknicken senkrecht zur Dachfläche zu befürchten ist. Als Knicklänge ist anzunehmen

$$l_K = l = 4,60 \text{ m}$$

Daraus lässt sich mit dem maßgebenden Träg-

heitsradius des Spans

$$l = \sqrt{J_x/A} = 0,289 \cdot h = 0,289 \cdot 160 = 46,2 \text{ mm}$$

die Schlankeit

$$\lambda_K = \frac{l_K}{46,2} = 100$$

ermitteln. Hierfür gilt gemäß 3.21 a)

$$K_K = 3100 / 100^2 = 0,31$$

womit

$$\text{zul } \bar{\sigma}_K = 8,5 \cdot 0,31 \cdot 1,0 \cdot 1,25 = 3,3 \text{ N/mm}^2$$

Die zulässige Biegespannung beträgt

$$\text{zul } \bar{\sigma}_B = 10,0 \cdot 1,0 \cdot 1,25 = 12,5 \text{ N/mm}^2$$

Die vorhandenen Spannungen sind

$$\text{voh } \bar{\sigma}_{d11} = \frac{2,93 \cdot 10^3}{274 \cdot 10^3} = 0,11 \text{ N/mm}^2$$

$$\text{voh } \bar{\sigma}_3 = \frac{3,72 \cdot 10^6}{0,73 \cdot 10^6} = 5,10 \text{ N/mm}^2$$

Die Nachweisbedingung lautet dann (siehe 3.22):

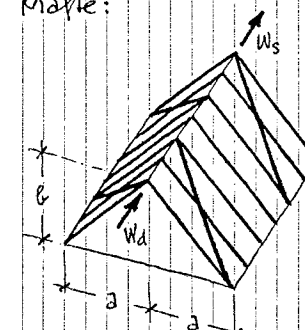
$$\frac{0,11}{3,3} + \frac{5,10}{12,5} = 0,44 < 0,9 \text{ OK}$$

Der Spans ist also auf Druck mit Biegung nicht gefährdet. Maßgebend ist die Durchbiegung.

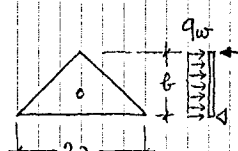
Zusätzlich wären nachzuweisen bzw. zu beweisen der Versatz am Fußpunkt (rechtes Auflager maßgebend), da dort Auflagerkräfte ungünstiger (und viele andere Verbindungen (Aufschließung, Kraggenanschluss)). Schließlich sind die

#### Windrispen

und deren Verriegelung festzulegen. Die Windrispen dienen gleichzeitig zur Aussteifung der Spans und zur Aufnahme der auf dem Giebel wirkenden Windkräfte:



Man nimmt an, dass der Giebel im First durch Dach und Windrispen gesichert sei:



Die Stützkraft  $W$  ergibt sich zu

$$W = \frac{a \cdot b}{3} \cdot q_w$$

Es ist zu beachten, dass nicht nur Winddruck auf den dem Wind zugewandten Giebel wirkt, sondern auch Windzug auf den dem Wind abgewandten Giebel. Die aufzunehmende Stützkraft beträgt demnach

$$W_d + W_s = q_r \cdot (0,9 + 0,5) \cdot \frac{a \cdot b}{3} = 14 \cdot q_r \cdot \frac{ab}{3}$$

womit die in der Klammer stehenden Werte die Winddruckbeiwerte gemäß 4.31 c) sind.

Jede Dachfläche mit den in ihr wirkenden Windrispen beteiligt sich zur Hälfte an der Aufnahme dieser Kraft. Die Dachfläche selbst kann als Tech-

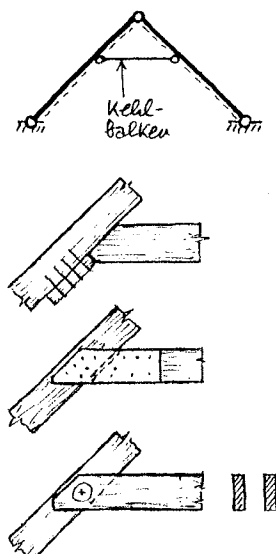
werk ausgeschlossen werden, in welchem die Sparten die Vertikalsäfte, die Windrispen die Streben und im Bereich des Firstes die Lattung die Funktion der Gurtung übernimmt. Die Summe aller Windrispenkräfte ist

$$\Sigma N = \frac{W_d + w_s}{\cos \beta}$$

womit  $\beta$  die Neigung der Windrispen in der Dachfläche ist. Jede im Bereich des Firstes endende Windrispe (im skizzierten Beispiel 4) beteiligt sich zu der Aufnahme dieser Kraft und muss für ihren Anteil im Endbereich abgeschlossen werden. Wie man der Formel entnimmt, sollte  $\beta$  nicht zu gross sein, zB  $60^\circ$  nicht übersteigen. Die Windrispen werden nicht nur im Endbereich mit Nägeln abgeschlossen, sondern mit jedem kreuzenden Sparten mit mind. 2 Nägeln verbunden, womit - zusammen mit der Lattung - die ganze Dachfläche als Scheibe wirken kann.

## b) Kehlbalkendächer

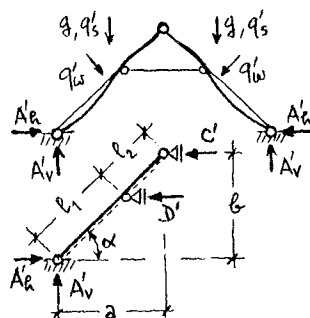
Es zeigt sich, dass Sparrendächer nur für relativ kleine Gebäudebreiten möglich bzw. wirtschaftlich sind. Eine wesentliche Verbesserung ist möglich durch Einbau eines sog. Kehlbalkens in jedes Gespärre. Diese



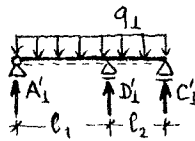
Kehlbalkenlage dient gleichzeitig als Träger des Dachbodens, welches ohnehin bei grösseren Dächern nötig ist. Kehlbalken sollten so abgeschlossen werden, dass sie den Sparten nicht schwächen, zB wie gezeichnet mit Brett und Nägeln im Prinzip eines Versatzes, mit Taschen, oder auf ganze Länge als Fügen zB mit Eimpress-Dübeln, wobei die Verbindung auf die Normalkraft im Kehlbalken und die vorhandene Querkraft aus lasten zu bemessen ist.

Die statische Wirkungsweise eines Kehlbalkendachs hängt von der Lastanordnung ab.

Unter symmetrischen Lasten kann sich der Kehlbalken aus symmetrie-gründen (siehe Baustatik, § 23 B)) nicht horizontal verschieben. Damit entspricht das Verformungsverhalten des Sparrens demjenigen eines Zweifeldträgers, wobei allerdings die Auflagerkräfte C und D aus symmetriegründen horizontal sind.



Für die Berechnung der Schnittkräfte kann ein Söldner-Sparren unter den senkrechten zur Balkenaxe wirkenden Komponenten der Lasten ganz normal als Durchlaufträger berechnet werden (siehe zB Baustatik, Kap. § 23 e)). Die einzuführende Belastung  $q_1$  setzt sich dabei aus der Eigenlast  $q$  und den symmetrischen Lastanteilen  $q'_s$  und  $q'_w$  von Schnee und Wind zusammen. Unter Beachtung der Winkels  $\alpha$  ergibt sich



$$q_1 = q \cdot \cos \alpha + q'_s \cdot \cos^2 \alpha + q'_w$$

Die sich aus dieser Berechnung ergebenden Biegemomente und Querkräfte entsprechen denjenigen des Sparrens. Die Auflagerkräfte sind jedoch nur die Komponenten der Kräfte senkrecht zur Stabaxe. Aus diesen ergibt sich

$$C' = C'_1 / \sin \alpha$$

$$D' = D'_1 / \sin \alpha$$

Die Kräfte  $A'_s$  und  $A'_w$  ergeben sich aus den Komponentengleichgewichtsbedingungen zu

$$A'_s = q(l_1 + l_2) + (q'_s + q'_w) \cdot 2$$

$$A'_w = C' + D' - q'_w \cdot b$$

Damit sind die Probleme für symmetrische Lasten geklärt.

Für antymetrische Lasten muss die Kraft im Kehlbalken aus Antymetrie-gründen Null sein und das Verformungsverhalten des Sparrens entspricht vollständig dem des einfachen Sparrendaches (siehe a)).

Damit kommen auch die Auflagerkräfte und Schnittkräfte wie dort ermittelt werden, allerdings nun mit den antymetrischen Lastanteilen  $q''_s$  und  $q''_w$  allein.

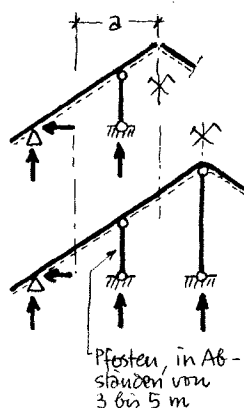
Die Auflagerkräfte und Schnittkräfte aus symmetrischen Lastanteilen ( $q$ ,  $q'_s$ ,  $q'_w$ ) sind nun mit denjenigen aus den antymetrischen Lastanteilen ( $q''_s$ ,  $q''_w$ ) zu überlagern. Auf dieser Basis sind dann Bemessung und Nachweise zu führen.

Wird das Kehlgiebalk, zB durch Einbau eines horizontal liegenden Verbundes und geeignete Befestigung desselben an den Giebelscheiben gegen horizontales Verschieben gehalten, entsteht das - statisch günstigere - unverschiebbliche Kehlbalkendach, welches auch für die antymetrischen Lastanteile funktioniert wie unter symmetrischen Lasten beschrieben. Der Sparren wirkt dann auch für die Lastanteile  $q''_s$  und  $q''_w$  als Zweifeldträger. Der im Kehlgiebalk liegende Verbund wird durch die zu den beiden Dachflächen gehörenden Stützkräfte  $2 \times D''$  beansprucht. Die Anordnung der Windrispen und ihre Bemessung folgt dem unter a) Ausgeführt.

## 4.33 Pfettendächer

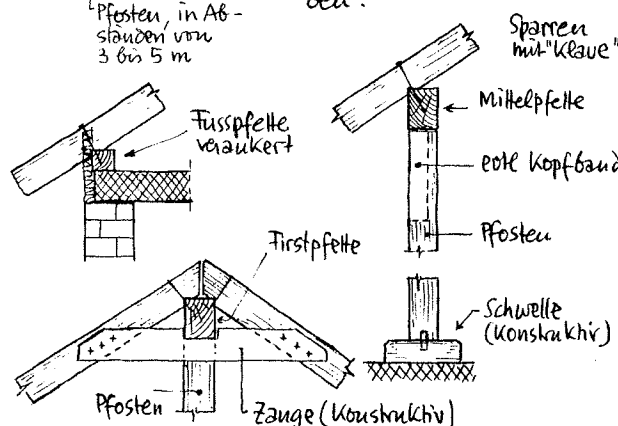
### a) Strebenloses Pfettendach

Beim strebenlosen Pfettendach erfolgt die Aussteifung der Dachebene durch unvermeidliche Befestigung der Sparrenfußpunkte auf einer Trauf- oder Fuß-Pfette, die ihrerseits fest auf der Unterkonstruktion verankert werden muss. Die Pfetten-Ebenen wirken für die Sparren als



Pendel-Ebenen und nehmen deshalb – auch aus Windkräften – nur vertikale Kräfte auf. Alle horizontalen Kräfte werden an den Sparrenfußpunkt abgegeben.

Die Konstruktions-Detals mögen den folgenden Skizzen entnommen werden:



Die in normalen Abständen angeordneten Sparren liegen (mit sog. Sparrenklaue) auf den Pfetten auf und werden dort – in der Regel mit langen Nägeln – gesichert. Statisch wirken sie als Auslegerträger oder Durchlaufträger. Die Berechnung

der Schubkräfte sollte keine Schwierigkeiten machen (siehe z.B. Baustatik Kap 4.21 a)). Unter Umständen reduziert man auch – wie beim Kellergeschossdach – mit den Komponenten der Belastung senkrecht zur Stabaxe.

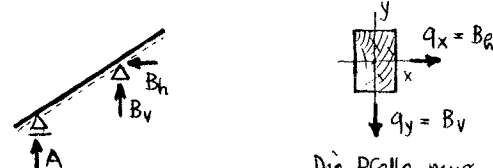
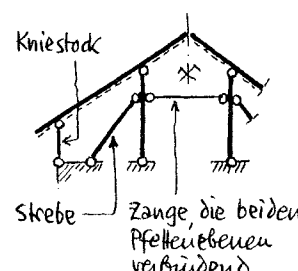
Die Auflagerkräfte ergeben sich automatisch z.B. in kN/m

und entsprechen der Belastung der Pfetten. Diese werden häufig als Strebenbalken (4.11 c)) oder als Kopfbauträger (siehe 4.11 d)) ausgebildet und übernehmen in dieser Form auch die Aussteifung des Daches senkrecht zur Ebene der Sparren, verhindern also eine Verschiebung der Pfetten in Pfettendirection. Windrispen sind in diesem Falle nicht nötig. Berechnung und Bezeichnung der Holzerdungen unproblematisch sein.

### b) Abgestrebtes Pfettendach

liegt die Fußpfette hoch, z.B. auf einem sog. Kniestock, können dort keine horizontalen Kräfte abgegeben werden, da der Kniestock wie eine Pendelwand wirkt. Die

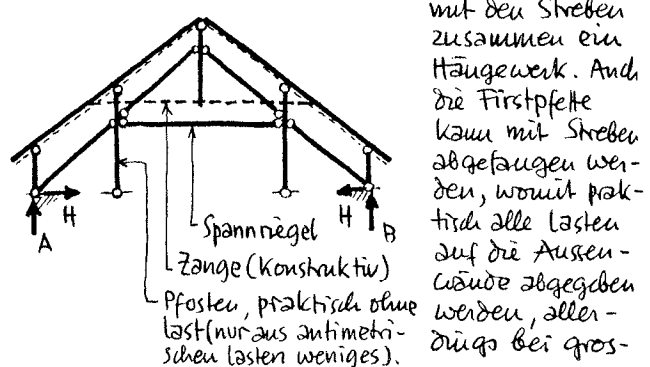
horizontalen Kräfte werden dann an der Mittelpfette abgegeben. Die beiden Komponenten  $B_h$  und  $B_v$  der Sparren-Auflager-Kraft bedingen die Pfette auf zusätzliche Belastung (siehe 3.32):



Die Pfette muss – auch gegen Horizontalkräfte gesichert – auf dem Pfosten befestigt werden. Das entsprechende Konstruktions-Detail findet sich, auch bzgl. Ausführung und Befestigung der Zangen, unter 2.21 auf Spalte 11 (zweite Skizze von oben). Die Bezeichnung einer solchen Pfette ist unter 3.32 gereicht, wobei bedeutet wurde, dass für  $q_y$  die Pfette als Kopfbauträger mit reduzierter Spannweite (4.11 d)) wirkt, während für  $q_x$  als Spannweite der Pfostenabstand maßgebend ist. Die Streben sorgen dabei für die Horizontalkräfte aus den Pfetten in die Unterkonstruktion ab. Da sie normalerweise mittels Versatz an die Pfosten und damit nur druckfest geschlossen sind, arbeitet jeweils nur die auf der dem Wind abgewandten Seite angeordnete Strebe, welche via Zange auch die Kräfte aus der luv-seitigen Pfette erhält. Deswegen darf die Zange nicht fallen. Für die Aussteifung des Dachstuhls senkrecht zur Sparrenebene gilt das unter a) angeführte.

### c) Weitgespannte Dachstühle

Gelegentlich darf die Unterkonstruktion nicht durch Lasten aus den Pfosten der Pfettenstruktur belastet werden. In solchen Fällen kann die unter b) eingezeichnete Zange durch einen kräftig bemessenen Spannriegel ersetzt werden. Dadurch entsteht

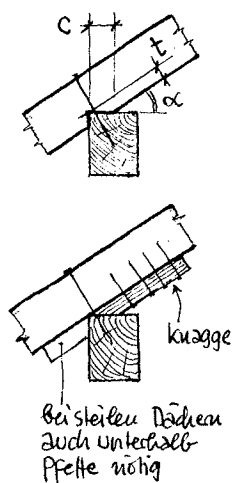


sem Horizontalschub  $H$ , der sicher durch die Unterkonstruktion aufgenommen werden muss. Ideenskizzen für konstruktive Ausbildung von Details – auch für den Fall, dass an die Pfeosten noch Lasten (zB aus der Decke) angelängt werden sollen, finden sich unter 2.21, insbesondere auf den Spalten 10 und 11. Solche, weitgespannten Dachstühle, zB über Kirchenräumen gehören seit Alters her zu den Meisterwerken der Zimmermannskunst. Wegen der Vielfalt der möglichen Formen müssen wir es hier bei Andeutungen bewenden lassen.

#### d) Weitere konstruktive Hinweise

Die wesentlichsten Holzeinsparungen bei Dachkonstruktionen sind durch eine sparsame Bemessung der Sparren zu erzielen. Hierbei sind Pfettenabstand und damit die Spannweite der Sparren, Spannabstand und das Verhältnis von Breite zu Höhe  $b/h$  des Sparrenquerschnitts zu beachten. Ungünstig wirkt sich oft die Schwächung durch die sog. Sparenklaue aus, insbesondere bei grossen Auskragungen. Die Einsparungstiefe  $t$  und damit die Schwächung des Querschnitts steht in Beziehung zur Auflagerlänge  $c$ , und zwar wie folgt:

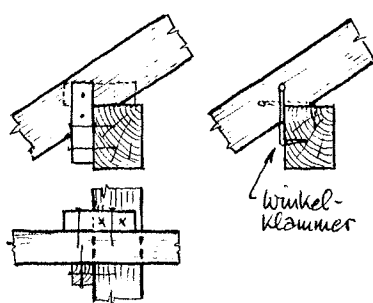
$$t = c \cdot \sin x .$$



Da im Auflagerbereich die Querdruckspannung auf der Pfette unter den zulässigen Werten zu halten ist, ergeben sich bei schwer belasteten Dächern oft grosse Schwächungen, die sich durch Anordnung einer Auflagerkragge vermeiden lassen. Natürlich ist der Nagelauschluss ausreichend zu bemessen, und zwar auf die

"schiebende" Komponente der Auflagerkraft  $A \cdot \sin x$ . Bei hohen Sparren reichen zudem oft die zur Vergrößerung stehenden Nagellängen nicht aus, um den Sparren auf der Pfette zu befestigen. In solchen Fällen

kann man mit quadratischen Bindenhölzern oder Winkelklammern (2.12) wieder kommen, die man jedoch paarweise anordnen muss, um einen sicheren Halt zu erreichen. Auch gibt es spezielle Stahlblech-Famitile (siehe 2.44), die aber meiner Meinung nach immer in gewissem Sinne Fremdkörper im Holzbau sind.



(siehe 2.44), die aber meiner Meinung nach immer in gewissem Sinne Fremdkörper im Holzbau sind.

#### 4.4 Hallentragwerke

Hallentragwerke aus Holz sind – insbesondere seit dem Aufkommen der Leimbauweise – oft wirtschaftlicher als entsprechende Stahl- oder Stahlbetonkonstruktionen (einschließlich Spannbeton und Verfabrikation). In Bezug auf die Brandgefahr ist durch die Entwicklung von Brandschutz-Austrichen (siehe 1.44) manches Einwand entknüpft.

Zur Einsparung von Gewicht wird praktisch immer eine leichte Dachdeckung gewählt (zB Wellplatten). Damit ist oft die Dachneigung vorgegeben. Die Dachform ihrerseits bestimmt dann meist auch die Tragkonstruktion: Sparrenpfetten parallel zur Trauf- und Firstlinie, ausgebildet als Gelenkträger oder Koppelpfetten (siehe 4.11 a) und b)), unterstützt durch sog. Binder in nicht zu grossen Abständen. Als Binder kommen Dreigelenkräger und -Bogen (siehe 4.13 und 4.14) oder Brettschichtträger in verschiedenen Formen bzw. Fachwerkträger (siehe 3.45) in Betracht.

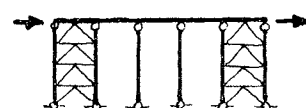
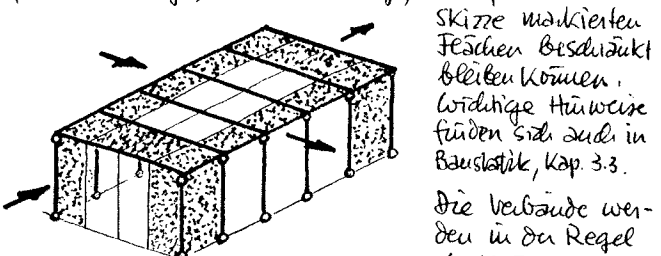
Besondere Bedeutung verdient die Einwirkung des Windes und zwar aus zweierlei Gründen:

- \* Sicherung der Konstruktion gegen Abheben
- \* Aussteifung der ganzen Konstruktion.

Hallentragwerke sind in der Regel sehr leicht und oft mit grossen Öffnungen versehen oder sogar einseitig überdacht offen. Die nach oben gerichteten Windkräfte (siehe Belastungs-Norm SIA 160) sind damit oft wesentlich grösser als die Eigenlast der Konstruktion. Sanftliche Konstruktionselemente (Dachhaut, Sparren, Latte, Sparrenpfetten, Binder) sind deshalb gegen Sog zu sichern und allfällige Zugkräfte bis in die Fundamente zu leiten. Dies muss man mit aller Sorgfalt machen: Wind ist mindestens so gefährlich wie Schnee (im Gegensatz zu ziegelgedeckten Dächern, wo gegebenenfalls die Ziegel einfach wegfliegen).

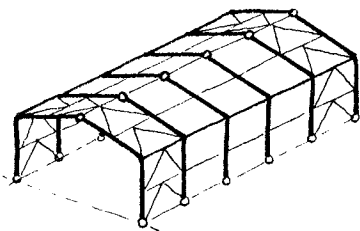
Die Aussteifung von Hallentragwerken für horizontale Windkräfte ist in der Regel für die beiden Richtungen längs und quer zu untersuchen, wobei jedesmal die horizontalen Kräfte von ihrem Angriffspunkt (Fassadenkonstruktion) bis in die Fundamente zu verfolgen sind.

Im ungünstigsten Fall besteht die Konstruktion aus Bindern auf Pendelstützen. Es sind dann in allen Wänden und in den Dachfläde (meist fachwerkartige) Verbände nötig, die auf die in den



Die Verbände werden in der Regel als K-Fachwerke (siehe Baustatik, Kap. 4.41 a)) ausgebildet, wie dies nebenstehend skizziert ist.

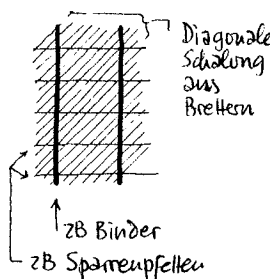
Ist der Binder (zB als Dreigelenkrahmen) in der Lage, in seiner Ebene Windkräfte zu übernehmen (und wird er auch auf diese Kraften bemessen), so können die entsprechenden Verbände wegfallen. Es verbleibt dann zB die folgende Situation. Bei in ihrer Ebene gekrümmten Verbänden (wie zB. in der Dachebene) entstehen bei Beaufströmung Ablenkkräfte, die bei der Bemessung den Bindern zu bedienen sind.



wie man der vorstehenden Skizze

entnehmen kann, entstehen solche Verbände unter Hinzufügen von Diagonalen zu den normalen Konstruktionselementen (Sparrenpfosten, Pfeilern, Holme) des Tragwerks. Die Wahl der Ausführungsform wird im wesentlichen durch den Wunsch nach einfachen Knoten bestimmt.

Steife Scheiben, die die Funktion eines Verbandes übernehmen können, entstehen auch durch Aufhängen einer Holzschalung in diagonaler Richtung. Diese Dia-



gonalschalung entspricht eigentlich "verschmierten" Diagonalen eines Fachwerks. Durch farbiges Aulegen von jeweils zwei Brettern, die auf Kreuzungspunkten von Bindern und Sparrenpfosten liegen, wird diese Wirkungsweise in vorstehender Skizze deutlich.

Von einer ausführlichen Beschreibung der Möglichkeiten des Baus von Holzhallen muss hier abgesehen werden. Kenntnis der Elemente des Holzbau und Konstruktive Fantasie führen bei sorgfältiger Entwurfsarbeit zu schönen Lösungen. Das Studium der Literatur über ausgeführte Beispiele und die sachkundige Betrachtung bestehender Bauten geben hierzu weitere Anregungen.

## 4.5 Hölzerne Brücken

Der Holzbrückenbau besitzt in der Schweiz eine lange Tradition. Er erreichte im 17. und 18. Jahrhundert seinen Höhepunkt mit über 1000 Kilometern und weitgespannten Brücken, gekrönt mit dem Bau einer Brücke über den Rhein bei Schaffhausen mit 119 m Spannweite in den Jahren 1754 bis 1757. Der Baumeister Hans-Ulrich Grubenmann aus Teufen im Appenzell bewies mit dieser und anderen von ihm gebauten Brücken und vielen bedeutenden Dachstrukturen eine außerordentliche Konstruktive Fantasie und höchste handwerkliches Können. Von einer Berechnung dieser Tragwerke war damals noch keine Rede. Bemessen wurden die Stäbe aufgrund eines tiefen Erfahrungsvorratens in das Kräfspiel von Tragwerken, gesetzt gelegentlich durch das Studium kleiner Modelle, womit Grubenmann auch den grossen Rat von Schaffhausen von seiner Idee überzeugte. Nachrechnungen alter Konstruktionen mit den modernen baustatischen Methoden unter Verwendung des Computers zeigen in der Regel eine außerordentlich gleichmässige Ausnutzung aller Holzer. Fast nichts ist unnötig, und fast nichts eindeutig zu schwach bemessen.

Der Holzbrückenbau ging mit der Entwicklung von Stahlbau, Stahlbetonbau und Spannbetonbau und schwerer werdendem Verkehr zurück und beschrankt sich heute auf den Bau kleinerer Brücken für leichten Verkehr (Fussgängerstege, Feldwegbrücken, Waldwegbrücken, Hofzufahrten, etc.) sowie Not-, Behelfs- und Baustellenbrücken. In diesen Bereichen sind hölzerne Brücken oft wirtschaftlich überlegen, auch dann, wenn man das Argument geringerer Lebensdauer (unvollständig fertigterweise) gelten lässt.

Hölzerne Brücken bestehen grundsätzlich aus

- \* der Fahrbahnkonstruktion bestehend aus Verschleiss- und Tragbelag mit Achse und Geländer
- \* den Hauptträgern bzw. der Haupttragkonstruktion gebildet durch verschiedene Systeme (siehe 4.12 und 4.13 sowie 3.45)
- \* Querträgern welche die Hauptträger verbinden und Lästen verteilen, indem sie für gleiche Durchbiegung befahbarer Träger sorgen
- \* Windverbänden welche die horizontalen Lästen (Wind, Bremskräfte) aufnehmen
- \* Widerlagern bzw. Tozeln, welche die Lästen aus der Haupttragkonstruktion auf den Baugrund übertragen.

Die vorstehenden Elemente bilden die eigentliche Brückenkonstruktion. Sie muss grundsätzlich so ausgebildet werden, dass sie eine beliebige räumliche Kräftegruppe auf die Fundation abtragen kann. Dabei betrachtet man wie üblich ebene Tragsysteme, deren räumlichen Zusammenhang man jedoch nicht aus den Augen verlieren darf.

## 4.51 Projektierungsgrundlagen

Von ausschlaggebender Bedeutung ist eine vernünftige Festsetzung der Belastungen, da sowohl die Gesamtlast als auch die grössten Raddrücke die Beurteilung dominieren.

Die Belastungsnorm SIA 160 enthält Angaben für die Belastung von Straßenbrücken sowie für Fußgängerstege, wobei nicht für Brückentypen, die für Holzbrücken von Interesse sind. Es ist deshalb nötig, mit dem Bauherrn zu vereinbaren, welches Fahrzeugtyp im ungünstigsten Fall die Brücke benützen soll. Dabei ist natürlich auch zB zu prüfen, ob Fahrzeuge zu deuten, die gegebenenfalls die Brücke passieren müssen, wenn keine anderen Wege zur Verfügung stehen. Besonderheiten der Nutzlast sind dann natürlich durch Signaltafel zu anzeigen.

Die folgenden Hinweise für lasten aus landwirtschaftlichen Geräten können bei der Festlegung der auftretenden Belastungen hilfreich sein. In der Regel sind drei Zahlen angegeben, die sich auf leichte, mittlere bzw. schwere Geräte derselben Typs beziehen:

	Gesamtgewicht in KN			max. Achslast in KN		
	e	m	s	e	m	s
Traktor mit schwerem Arbeitsergärt (Pflug)	30	35	45	25	30	40
Traktor mit Druckfass bzw. Einachs-Anhänger beladen	65	80	95	35	45	55
Zweiachsanhänger beladen	70	80	90	35	40	45
Mähdrescher	40	55	80	30	40	55

Aufgrund dieser Zahlen schaut es vernünftig, drei Kategorien zu bilden und der Beurteilung eine dieser Kategorien zugrunde zu legen. Dabei wird nach oben ein gewisser "Unsicherheitszuschlag" eingeschüttet. Als Vorschlag mag gelten:

	Kategorie			
	I	II	III	
Gesamtlast F <sub>a</sub>	KN	70	100	140
max. Achslast F <sub>a</sub>	KN	40	60	80
max. Raddruck F <sub>r</sub>	KN	20	30	40
Radaufstandsfläche	m	0,2	0,3	0,4

Lasten für normale Straßenbrücken sind der Belastungsnorm SIA 160 zu entnehmen. Entsprechende Raddrücke sind wesentlich höher und liegen zwischen 60 und 90 KN.

Falls dies ungünstiger ist, sollten die Brücken der oben aufgeführten Kategorien auch für eine gleichmäig verteilte Nutzlast vom Betrag

$$p = 4 \text{ KN/m}^2 \quad (\text{bzw. Schnee, falls ungünstiger})$$

untersucht werden, wobei die ungünstigere Beurteilung maßgebend ist.

Beide Lastarten sind mit einem Stosszuschlag 4% zu vermehren, welcher älteren Vorschlägen folgend, zu

$$4\% = 5 \cdot \frac{100 + L}{10 + L}$$

vom der Spannweite L [m] des untersuchten Bauteils abhängig gemacht ist. Wie man sieht, ist dieser, dynamische Effekte abdeckende, Zuschlag ziemlich gross (bei L = 4,0 m 28 4% = 37%).

Fußgängerstege sollten mit  $p = 4 \text{ KN/m}^2$  bzw. mit einer Einzellast von  $F = 10 \text{ KN}$  bewertet werden. Ein Stosszuschlag kann entfallen.

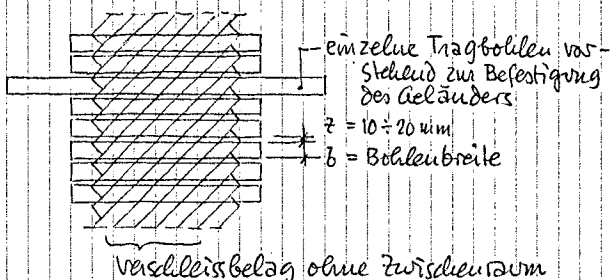
Die zulässigen Spannungen für die Holzbauteile sind in der Norm - unabhängig vom Bauwerkstyp - festgelegt. Alle Angaben dieser Autografie sind demnach auch für hölzerne Brücken gültig. Allerdings ist zu beachten, dass Brücken in aller Regel der Witterung ausgesetzt sind und deshalb  $C_w = 0,8$  berücksichtigt werden muss. Sind einzelne Bauteile unter Wasser (zB Topteile von Brücken), ist sogar  $C_w = 0,6$  zu setzen.

Durch Begrenzung der zulässigen Durchrechnungen auf kleine Werte, zB  $w = l/400$  wird schliesslich auch die Schwingungsfestigkeit von Brücken unter Kontrolle gehalten.

## 4.52 Fahrbahn

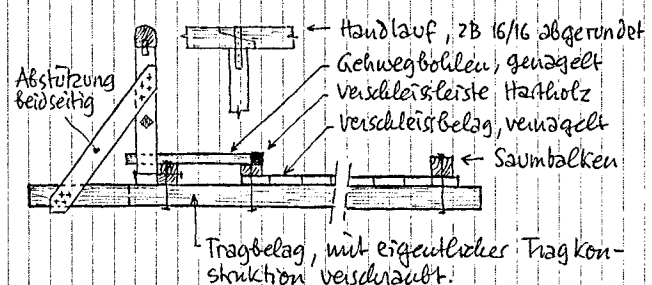
### a) Aufbau und Details

zentrales Element der Fahrbahn ist der aus mindestens 80 mm starken Bohlen gebildete Tragbelag. Die Bohlen werden mit 10 bis 20 mm Zwischenraum verlegt, damit Wasser rasch weg fließen kann. Über diesen Tragbelag kommt bei stark befahrenen Brücken ein sog. Verschleissbelag. Dieser wird in der Regel schräg, ohne Zwischenraum verlegt und auf dem Tragbelag verankert. Der Verschleissbelag sollte 30 bis 40 mm dick sein. Im Grunde hin sieht demnach die Fahrbahn wie folgt aus:



verschleissbelag ohne zwischenraum

Der Querschnitt sieht dann mit den üblichen Ausbau-Details, wie folgt aus:



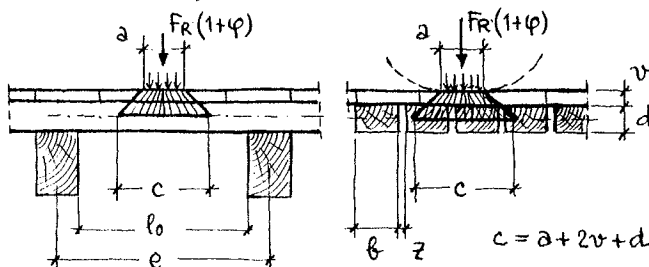
Links ist die Ausbildung mit Gehweg dargestellt, rechts eine einfache Lösung ohne Gehweg und Geländer.

In der skizzierten Form liegt der Tragbelag quer zur Brückenzugrichtung, was der Normalfall ist (Hauptträger in Brückenzugrichtung). Je nach Haupttrag system kann jedoch auch ein Verteilen des Tragbelags in Brückenzugrichtung zweckmäßig sein. Dann müssen natürlich Querträger in eugen Abständen liegen, damit der Tragbelag nicht zu dick wird.

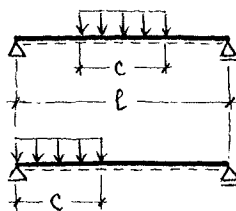
Für den Tragbelag und den Verschleissbelag, die beide bei Witterung unmittelbar ausgesetzt sind, muss unbedingt witterungsbeständiges Holz verwendet werden, zB Lärchenholz oder Föhrenholz (siehe 1.13). Die Fahrbalkuskonstruktion sollte im übrigen so ausgebildet werden, dass der Verschleissbelag ausgeweitet werden kann, ohne die eigentliche Tragkonstruktion in Mitleidenschaft zu ziehen.

## b) Bemessung des Tragbelags

Die Dicke des Tragbelags ist abhängig von der Größe der Radlast  $F_R$  (siehe 4.51), der Rad aufstandsfläche und dem Abstand der den Tragbelag unterstützenden Hauptträger (bzw Querträger bei längsgelagtem Tragbelag). Die Situation ist damit die folgende:



Die Radlast  $F_R$ , mit dem Stoßzuschlag  $q$  vermehrt, verteilt sich im Verschleissbelag und im Tragbelag etwa unter  $45^\circ$  bis in die Mitte der Tragbalken. Als Spannweite des Tragbelags ist entweder der Abstand  $e$  der Hauptträger oder  $1,10 \cdot l_0$  der lichten Weite einzusetzen. Damit haben wir statisch die folgende Situation mit den angegebenen größten Schnittgrößen (die man leicht nachprüfen kann):



$$\max M = F_R(1+q) \cdot \frac{l}{4} \left(1 - \frac{c}{2l}\right)$$

$$\max V = F_R(1+q) \cdot \left(1 - \frac{c}{2l}\right)$$

Aus diesen Schnittgrößen ergeben sich nach 3.31 d) mit  $c_D = 1,0$ ,  $c_W = 0,8$  und  $n = 400$  sowie  $\delta q = 0$  die erforderlichen Querschnittswerte der auf die Breite  $C$  mithagenden Tragbalken. Damit gelten folgende Bedingungen

$$\text{erf } W = \frac{0,1}{0,8} \cdot \max M = 0,125 \cdot \max M$$

$$\text{erf } A = \frac{1,5}{0,8} \cdot \max V = 1,90 \cdot \max V$$

$$\text{erf } \mathfrak{I} = \frac{0,104 \cdot 400}{10 \cdot 0,8} \cdot \max M \cdot l \cdot 1,2 = 5,6 \cdot \max M \cdot l$$

In diesen Formeln sind die Werte  $M$ ,  $V$  und  $l$  in KN, und  $m$  einzusetzen, um die Querschnittswerte in  $\text{mm}^2 \cdot 10^{-3}$  für  $A$  und  $\text{mm}^3 \cdot 10^{-6}$  bzw  $\text{mm}^4 \cdot 10^{-6}$  für  $W$  und  $\mathfrak{I}$  zu erhalten. Die vorhandenen Werte sind auf die Breite  $c$

$$\text{vorb } W = \frac{c \cdot d^2}{6} \cdot \frac{b}{b+z}$$

$$\text{vorb } A = c \cdot d \cdot \frac{b}{b+z}$$

$$\text{vorb } \mathfrak{I} = \frac{c \cdot d^3}{12} \cdot \frac{b}{b+z}$$

Damit ist eine geschätzte Tragbelags-Dicke  $d$  überprüft.

Detaillierte Untersuchungen zeigen, dass die Anordnung eines Verschleissbelags wider Erwarten kaum zu einer Erhöhung des gesunkenen Holzbedarfs führt wegen seiner günstigen Lastverteilenden Wirkung. Weiter zeigt sich, dass die Stützweite  $l$  des Tragbelags klein sein muss, damit die Tragbalken nicht zu dick werden. Als Richtwerte mögen für die drei unter 4.51 definierten Kategorien folgende Zahlen gelten:

Kat. I:  $l < \sim 1,20 \text{ m}$

II:  $l < \sim 0,80 \text{ m}$

III:  $l < \sim 0,50 \text{ m}$

Damit ist die Bezeichnung des Tragbelags geklärt.

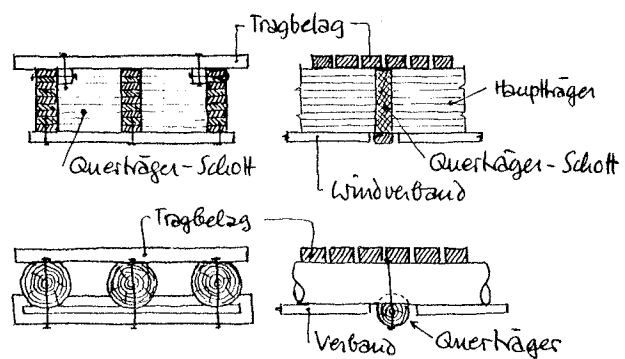
## 4.53 Haupttragsysteme

Die unter 4.52 besprochene Fahrbalkuskonstruktion wird von der eigentlichen Tragkonstruktion der Brücke getragen. Für diese bestehen viele Möglichkeiten:

### a) Einfache Balken, Gelenkträger usw.

Kräftige Vollholzträger, Brettschichtträger, verdübelte Balken, Fachwerkträger, aber auch einseitig bearbeitete Rundholzprofile usw werden in den durch den Tragbelag geforderten Abständen  $e$  angeordnet und laufen über die ganze Brückenzugänge als Hauptträger durch. Bei Spannweiten über etwa 5 m werden in Feldmitte, bei größeren Spannweiten in den Drittpunkten, Querträger angeordnet, die für ein Zusammenwirken aller Hauptträger sorgen und damit konzentrierte Lasten auf mehrere Träger verteilen.

Damit ergeben sich folgende Querschnitte:



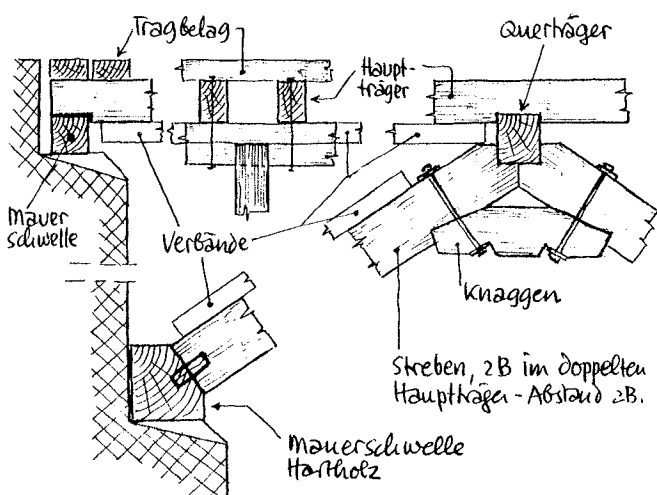
Der Windverband besteht in der Regel aus gekreuzten Stäben und wird unter die Hauptträger geschränkt. Querträger werden in einfachen Fällen ebenfalls unter die Hauptträger geschränkt. Bei grösseren Hauptträger-Höhen sollten jedoch auch die Zwischenräume zwischen den Hauptträgern durch "Schotte" ausgefüllt werden.

Für die Beurteilung der Hauptträger kann in der Regel angenommen werden, dass sich alle Hauptträger gleichmäßig an der Aufnahme der Gesamtlast  $F_a$  des Fahrzeugs beteiligen. Dies setzt voraus, dass - zB durch die vergleichsweise schmale Fahrbahn - die Fahrzeuge praktisch in Brückennähe fahren. Bei der Ermittlung der Schnittkräfte ist natürlich im Längsriß die jeweils ungünstigste Laststellung aufzusuchen. Dabei kann im übrigen angenommen werden, dass sich die Gesamtlast  $F_a$  auf zwei Achsen aufteilt, die ca. 3,5 bis 4,5 m auseinander liegen.

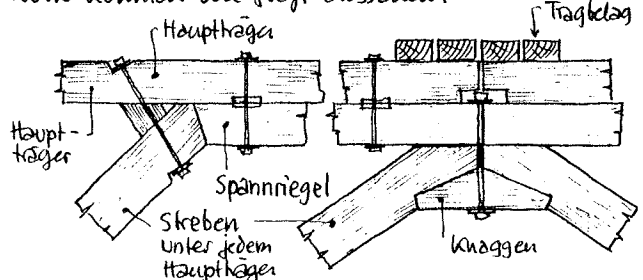
### b) Sprengwerke

Bei grösseren Spannweiten kann jeder Hauptträger des unter a) beschriebenen Brückentyps durch ein Sprengwerk (siehe 4.12) unterstützt werden, da diese unter den Hauptträgern liegen. Sprengwerke erzeugen jedoch einen erheblichen Horizontaldruck, der durch kräftige Widerläge aufgenommen werden muss. Sprengwerke sind im übrigen nur für die Überbrückung tieferer Einsenkungen geeignet, da die Konstruktionshöhe relativ gross ist.

Die folgende Skizze zeigt eine Unterstützung durch ein Dreiecksprengwerk, wobei durch Ausarbeitung eines Querträgers nicht jeder Längsträger einzeln unterstützt werden muss:



Detaillierte Ansicht eines kombinierten Dreieck-Trapez-Sprengwerks könnten wie folgt aussehen:

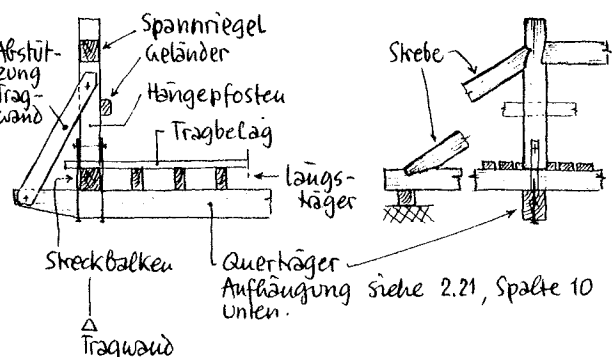


In vorstehender Skizze sind die notwendigen Verbindungen nicht detailliert. Diese sind jedoch unabdingbar nötig, damit die einzelnen Sprengwerk-Scheiben nicht aus ihrer Ebene ausweichen.

Die Skizzen können natürlich nur Anregungen für eine konstruktive Durcharbeitung geben. Auf keinen Fall handelt es sich hier um allgemein gültige Rezepte.

### c) Hängewerke und Bögen

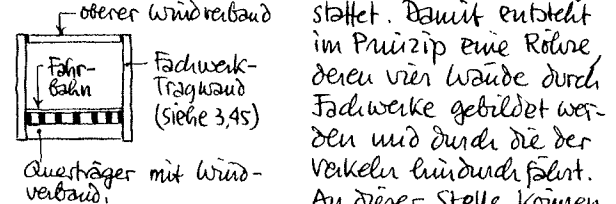
Hängewerke oder Bogentragsysteme liegen in der Regel über der Fahrbahn, können also nur seitlich der Fahrbahn angeordnet werden. Die beiden Tragwände werden durch angeschlagte Querträger untereinander verbunden. Diese tragen Längsträger, die in den durch die Fahrbahnkonstruktion geforderten Abständen liegen. Die Situation ist die folgende:



Die Tragwand kann auch als Bogenträger (siehe 4.13) ausgebildet werden. In diesem Fall liegen die Querträger in vergleichsweise engen Abständen, sodass zu prüfen wäre, ob nicht die Längsträger wegfallen könnten, wobei dann der Tragbelag in Brückennäherichtung gedreht werden müsste und direkt auf den Querträgern auflage. Das ist auch eine wirtschaftliche Frage, die durch Variantenstudium und Kostenabschätzung zu beantworten ist.

### d) Fachwerke

Mit den bis hierher besprochenen Tragsystemen ist man auf Spannweiten bis etwa 15m beschränkt. Eine Ausweitung ist wirtschaftlich noch möglich, wenn man die Tragwände als Fachwerke ausbildet. Diese erreichen dann jedoch eine Bauhöhe, die einen oberen Windverband gestaltet. Daraus entsteht im Prinzip eine Röhre, deren vier Wände durch Fachwerke gebildet werden und durch die der Verkehr hindurchfährt.

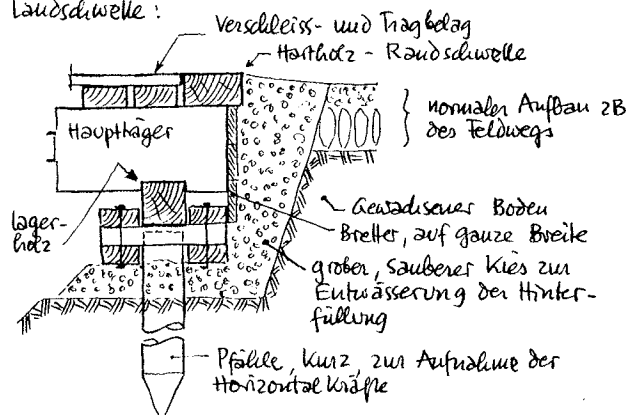


Auf dieser Stelle kommen derartige Brückentypen nicht im Detail besprochen werden (siehe Literatur und Beispiele).

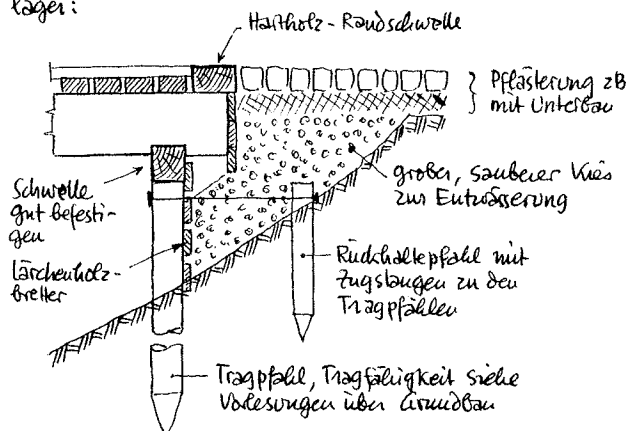
## 4.54 Widerlager, Jochs und Pfeiler

Widerlager, Jochs und Pfeiler müssen die (räumlich wirkenden) Kräfte aus der Brücke in den Baugrund ableiten und den Zutritt von Feuchtigkeit aus dem Boden in die Konstruktion so gut wie möglich unterbinden (Dauerhaftigkeit).

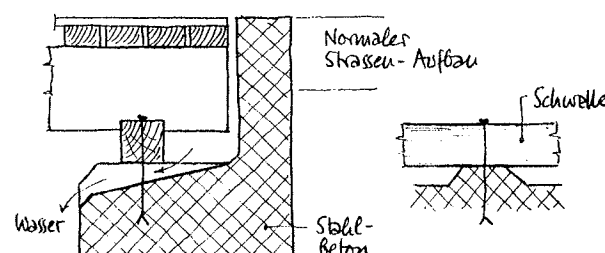
Die einfachste Möglichkeit, ein Widerlager für eine kleine Brücke herzurichten, ist die Anordnung einer sog. Lausdewelle:



Dauerhafter ist das folgende gerakunte hölzerne Widerlager:



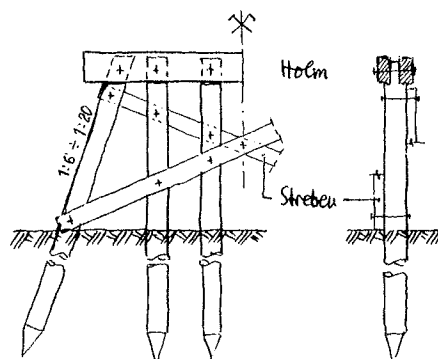
Die weit aus dauerhafteste Lösung ist ein betonierte Widerlager:



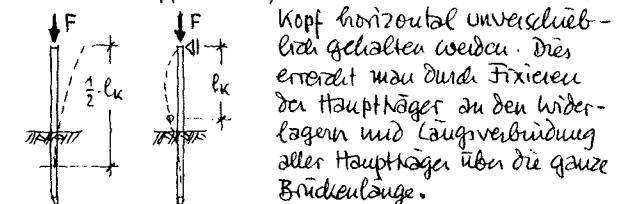
Derartige Widerlager unterscheiden sich praktisch nicht von solchen für massive Brücken (siehe entsprechende Vorlesungen).

Über mehrere Felder durchlaufende Brücken benötigen Zwischenpfeiler, auf denen das Tragwerk aufliegt. Die einfachste Form ist ein hölzernes Pfahljoch in einwandiger Bauweise. Derartige Jochs sind jedoch durch Eisgang, Geschwemmung etc. stark gefährdet und werden deshalb oft im Bereich des Hochwassers verstärkt. Sicherer sind mehrwandige Jochs oder

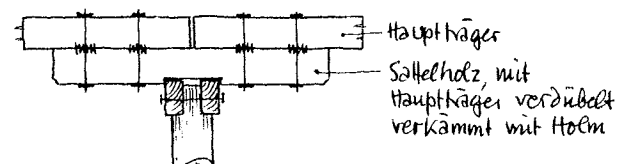
massive Pfeiler. Die nachfolgenden Skizzen zeigen einige Möglichkeiten:



Derartige Pfahljochs sind auf Knicke aus ihrer Ebene sehr empfindlich, wenn sie nicht am Jochkopf horizontal unverschieblich gehalten werden. Dies erreicht man durch Fixieren der Haupthäger an den Widerlagern und Längsverbindung aller Haupthäger über die ganze Brückelänge.

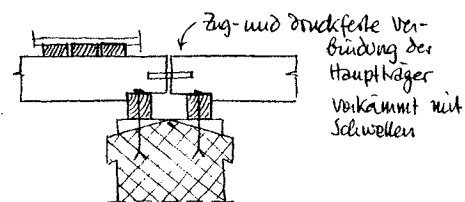


Wegen der schmalen Auflagerfläche ist ein Stoß der Haupthäger auf einwandigen Pfahljochen schlecht möglich. Es werden deshalb oft Sattelholzer angeordnet:



Zweiwandige Jochs sind im Prinzip einwandige Jochs, die paarweise nebeneinander stehen und untereinander mit Streben und Traversen verbunden sind. Sie müssen unbedingt versiert werden, dass sich Geschwemmung nicht verfangen kann.

Bei Auflagerung auf massiven Zwischenpfeilern werden zwei Schwellen angeordnet:



Mit diesen Skizzzen sind wieder lediglich Möglichkeiten ange deutet zur Auseinandersetzung Konstruktiver Fantasie. Normal-lösungen gibt es nicht.

## 4.6 Kostenschätzungen

Für die Kosten von Holzkonstruktionen sind die

- Materialpreise, die
- Höhe der Stundenlöhne, sowie der
- Arbeitsstunden-Aufwands

maßgebend. Hierzu kommen Abdruckungen auf Produktionsanrichtungen (Werkstatt, Maschinen etc.) Sozialkosten, Allgemeinkosten (Büropersonal etc.) sowie Zuschläge für Risiko und Gewinn.

Die Kosten werden vom Unternehmer aufgrund der Pläne und des vom Ingenieur aufgestellten Leistungsverzeichnisses (Levis) ermittelt. Hierbei wird der auffallende Verschleiß zu den von dem Ingenieur gelieferten Hölzern berücksichtigt und die in der Konstruktion enthaltenen Stahlteile und Verbindungsmitel eingerechnet. Eine wichtige und schwierige Aufgabe ist die Schätzung des Arbeitsstunden-Aufwands. Diese geschieht aufgrund von Erfahrungszahlen, die aus der Nachkalkulation abgewickelter Bauvorhaben gewonnen werden. Die Zahlen schwanken jedoch in weiten Grenzen je nach Art und Umfang der Arbeiten und sind ziemlich unsicher.

Aufgrund der ermittelten Kosten legt dann der Unternehmer den sog. Angebotspreis fest. Die Differenz zwischen Kosten und Preis spiegelt das Interesse des Unternehmers an der Übernahme des Auftrags und ist von Angebot und Nachfrage im entsprechenden Sektor des Baugewerbes abhängig. Im Normalfall liegt der Preis etwa in der Höhe der Kosten. Ist das Interesse des Unternehmers klein, liegen die Preise über den Kosten. Im Extremfall – aber volkswirtschaftlich bedeutsam – liegen die Preise unter den Kosten, z.B. dann, wenn der Unternehmer die Arbeit unbedingt braucht, z.B. um seinem Personal Beschäftigung zu geben.

Die vorstehenden Betrachtungen spiegeln die komplexe Situation stark vereinfacht wieder und es ist offensichtlich, dass dieses Problem im Rahmen einer Variierung über Holzbau nicht eingehend behandelt werden kann.

Im Verlauf von Entwurf und Projektierung steht man jedoch häufig der Situation gegenüber, zwei oder mehrere ausreichend mögliche Tragsysteme oder zwei mögliche Ausführungsarten oder Lösungen miteinander vergleichen zu müssen. Sind diese technisch gleichwertig, wird die kostengünstigere Lösung bevorzugt. Hierzu sind Kostenschätzungen nötig, die wenigstens für Vergleiche einigermaßen zuverlässig sein müssen. Hierfür dienen die nachfolgenden Angaben:

Die Kosten lassen sich in der Regel auf den  $m^3$  eingebauten Holzes beziehen, bei festsicheren Elementen (Schalung, Isolierstoffe) auf  $zu m^2$  und enthalten in dieser Form alle Aufwendungen des Unternehmers einschließlich Verbindungsmitel, Abbau in der Werkstatt und Aufträgen der Konstruktion auf der Baustelle.

Für die hier vorliegenden Bedürfnisse legen wir zunächst Grundkosten fest, die wir sodann mit einem Grundfaktor und mit – zu kumulierenden – Teilsfaktoren multiplizieren. Die Grundkosten entsprechen etwa der Preisbasis 1990; die Faktoren sind weitgehend von der Preisbasis unabhängig:

Konstruktionsholz FK II : Grundkosten 1400 Fr/ $m^3$

Schnittholz (siehe 1.31): Grundfaktor 1,0

Holzart:

Fichte/Tanne	: 1,0
Lärche & Föhre	: 1,4
Eiche	: 1,8

Querschnittsabmessungen:

Klein:	: 1,1
Mittel:	: 1,0
Gross:	: 0,9
Übergross:	: 1,0

Bearbeitungsaufwand:

gering:	: 0,9
normal:	: 1,0
gross:	: 1,1
sehr gross:	: 1,3

Zusammengefasste Träger: Grundfaktor 1,5

Verbügelter Balken: 0,9

Bohlenträger: 1,0

Fachwerkträger:

einfach:	: 0,9
kompliziert:	: 1,1

Stegträger: 1,3

Brettschichtträger B & FB: Grundfaktor 1,8

Querschnittsabmessungen:

Klein:	: 1,2
Mittel:	: 1,0
Gross:	: 0,8

Trägerform:

parallel:	: 1,0
variable Höhe:	: 1,7
gekrümmt & variable Höhe:	: 2,5

Schalungen: Grundkosten 60 Fr/ $m^2$

Bretterschalung: Grundfaktor 1,0

Qualitätsklasse:

QK II:	: 1,0
QK III:	: 0,8

Beateiligung:

ungelebelt d=24 mm:	: 0,7
einszeitig gehobelt:	: 0,9
beidseitig gehobelt:	: 1,1
Nut und Kam:	: 1,2

Spanplatten 16 mm: Grundfaktor 1,0

roh, stumpf gestossen:

geschliffen, Nut und Feder:

Sperrholzplatten d=16 mm:

Knotenplatten d=30 mm:

Zementgebundene Spanplatten:

0,9 ÷ 1,3

Dämm- und Isolierstoffe: Grundkosten 20 Fr/ $m^2$

"Kraftpapier": 0,4

Dämpfsperre: 0,5

Isoliermatte 60 mm:

100 mm:

Mineralwolle:

Korkschichtschaltung 60 mm:

Blähtonkugeln 60 mm:

Alle Zahlenwerte überschlägig → nur für Vergleiche!!